

1) Temel İfade Bilgisi

İfade Kavramı, İfadelerin Ölçülmesi, Gürültü Kavramı, İfadelerin Bilgisayara Aktarılması, Yuvarlatma Hataları ve AD kartının Çözünürlüğü, İfadelerin Değerlendirilmesi

2) Periyodik İfadeler

Genlik (amplitude, magnitude), Periyot, Faz (acı)(phase)

Sinüzoidal İfadelerin Spektrumu

3) İfadelerin Sinüzoidal Terimlerin Toplamı Cinsinden İfade Edilmesi, Fourier Serileri

4) Fourier Donusumu

5) Ayrik İfadeler

İfadelerin in bilgisayara aktarılması. Örneklememe teoremi

Ayrik Fourier Donusumu

Hızlı Fourier Donusumu

6) LINEER SİSTEMLER

analog sistemlerin transfer fonksiyonu

ayrik sistemler

7) Filtre(süzgeç) Kavramı ve FIR FIR filtre tasarımı

Filtre Kavramı

FIR filtre tasarımı

8) Laplas donusumleri

$Z$  donusumleri

9) Analog Filtre Dizayni

Genlik Karakteristigi Bilinen Analog Filtrenin Transfer

Genlik karakteristigi grafik olarak verilen filtrenin  $|H(j\omega)|^2$

genlik fonksiyonunun hesaplanması

AGF den Diğer tip Filtrelerin elde edilmesi

Frekans Donusumleri }

10) Analog Filtrelerin gerçekteşmesi

11) IIR filtreler ve Analog Sistemlerin Sayısal Esdeğeri

12) Sayısal Filtrelerin Gerçekteşmesi

1) Direk Programlama, 2) Standart Programlama, 3) Paralel Programlama

4) Seri Programlama (İANAL11A)

13) Merdiven tipi Programlama

14) Kafes Yapısında Programlama

15) Durum deklemleri formunda gerçekteşme

# Temel Isaret Bilgisi

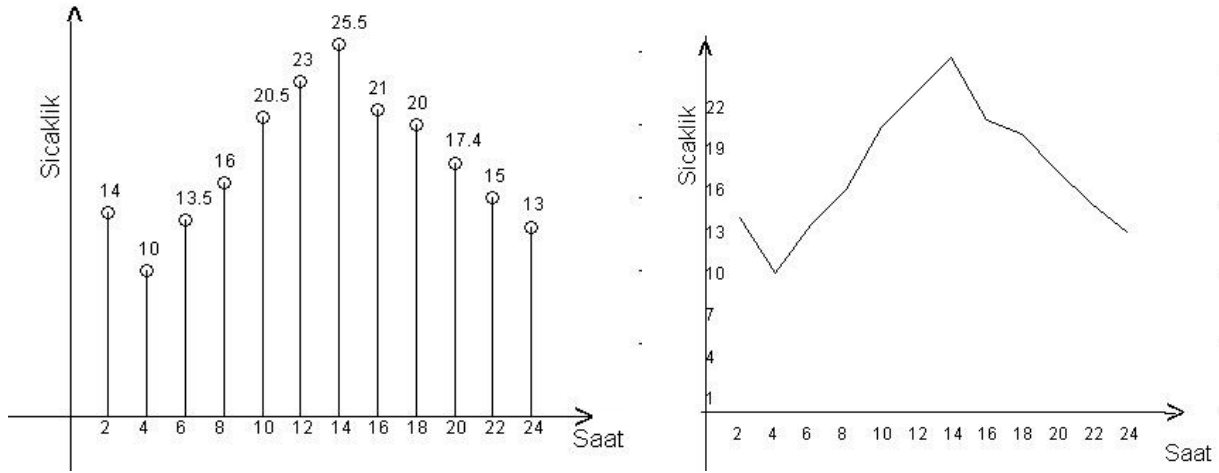
## Isaret Kavrami

Zamana bagli olarak degisen buyuklukler isaret olarak adlandirilir. Gunun degisik saatlerindeki elektrik tuketimini gosteren grafik veya oda sicakligin zamana gore degisimini gosteren grafik muhendislik dilinde isaret olarak adlandirilir.

Mesela Tablo(1.1)de gosterilen gunun degisik saatlerindeki sicalik degerlerini ele alalim. Bu tablo gercekte bir isareti gosterir. Isaretin grafigi sekil(1.1)'de gosterilmistir. Bunun gibi sekil(1.2)'de gosterilen icten yanmali bir dizel motorun icindeki sicakliklarin degisimini gosteren grafik de isaret olarak adlandirilir.

| Saat                    | 02 | 04 | 06   | 08 | 10   | 12 | 14   | 16 | 18 | 20   | 22 | 24 |
|-------------------------|----|----|------|----|------|----|------|----|----|------|----|----|
| Sicaklik <sup>0</sup> C | 14 | 10 | 13.5 | 16 | 20.5 | 23 | 25.5 | 21 | 20 | 17.4 | 15 | 13 |

Tablo(1.1) Gunun degisik saatlerindeki sicaklik degisimi



a) sutun gosterimi

b) cizgi grafik gosterimi

Sekil(1.1)Gunun degisik saatlerindeki sicakligin grafik olarak gosterimi

Sekil (1.1)a ve (1.1)b degosterilen grafikler ayni veriyi kullanirlar. Veri sayisi az ise a)gosterimi daha kolay anlasilir. Veri sayisi cok ise (1.1.)b de verilen grafik daha kolay anlasilir.

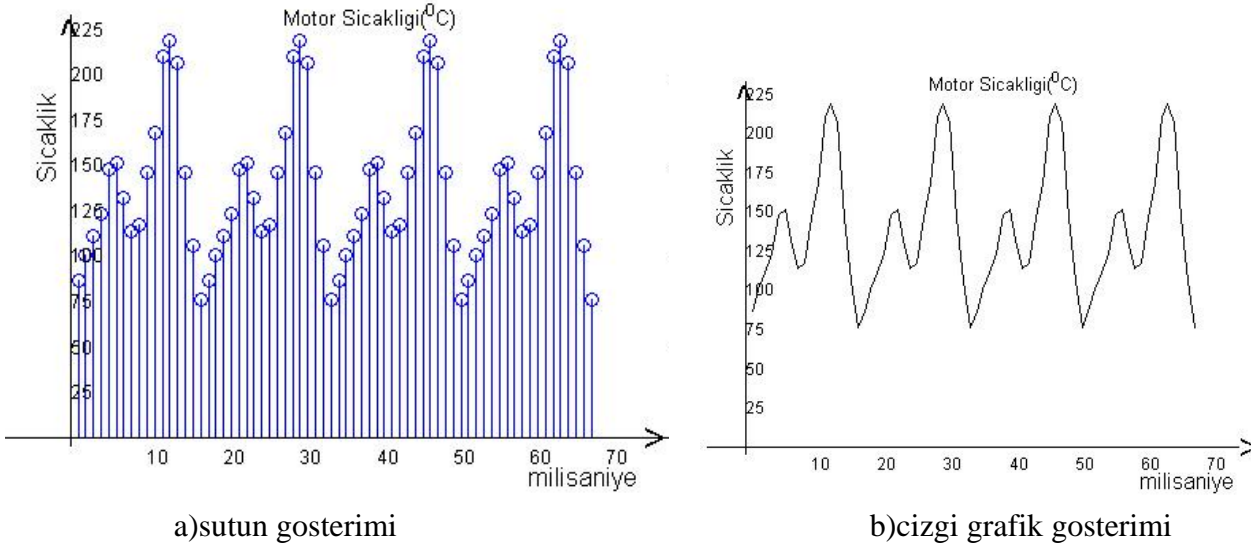
Tablo(1.2) de bir dizel motorun sicakliginin 60 milisaniye sure ile degisimi verilmistir.

|                 |    |     |     |     |     |     |     |     |     |     |     |     |     |     |     |     |    |    |     |     |
|-----------------|----|-----|-----|-----|-----|-----|-----|-----|-----|-----|-----|-----|-----|-----|-----|-----|----|----|-----|-----|
| Zaman (milisan) | 1  | 2   | 3   | 4   | 5   | 6   | 7   | 8   | 9   | 10  | 11  | 12  | 13  | 14  | 15  | 16  | 17 | 18 | 19  | 20  |
| sicaklik        | 87 | 100 | 111 | 123 | 148 | 151 | 132 | 114 | 117 | 146 | 168 | 210 | 219 | 207 | 146 | 105 | 76 | 87 | 100 | 111 |

|                 |     |     |     |     |     |     |     |     |     |     |     |     |     |    |    |     |     |     |     |     |
|-----------------|-----|-----|-----|-----|-----|-----|-----|-----|-----|-----|-----|-----|-----|----|----|-----|-----|-----|-----|-----|
| Zaman (milisan) | 21  | 22  | 23  | 24  | 25  | 26  | 27  | 28  | 29  | 30  | 31  | 32  | 33  | 34 | 35 | 36  | 37  | 38  | 39  | 40  |
| sicaklik        | 123 | 148 | 151 | 132 | 114 | 117 | 146 | 168 | 210 | 219 | 207 | 146 | 105 | 76 | 87 | 100 | 111 | 123 | 148 | 151 |

|                 |     |     |     |     |     |     |     |     |     |     |    |    |     |     |     |     |     |     |     |     |
|-----------------|-----|-----|-----|-----|-----|-----|-----|-----|-----|-----|----|----|-----|-----|-----|-----|-----|-----|-----|-----|
| Zaman (milisan) | 41  | 42  | 43  | 44  | 45  | 46  | 47  | 48  | 49  | 50  | 51 | 52 | 53  | 54  | 55  | 56  | 57  | 58  | 59  | 60  |
| sicaklik        | 132 | 114 | 117 | 146 | 168 | 210 | 219 | 207 | 146 | 105 | 76 | 87 | 100 | 111 | 123 | 148 | 151 | 132 | 114 | 117 |

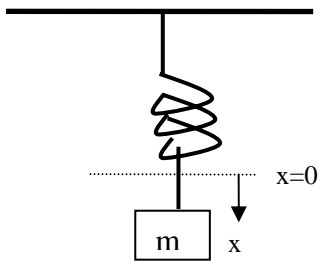
Tablo(1.2)Bir dizel motorun sicakliginin degisimi



Sekil(1.2)Bir dizel motorun sicakliginin degisiminin grafigi

Gunun sicakliginin degisimi ile, motorun sicakliginin degisimi, her ikiside bir isarettir. Birisinde degisim cok yavas digerinde cok hizlidir.

Sekil(1.3)de gosterilen duzenegi ele alalim. Burada m ile gosterilen bir agirlik bir yaya baglanmis ve yay da bir iple sabit bir noktaya baglanmistir. m ile gosterilen kutleye asagiya dogru, F kuvveti uygulansin. Bu durumda kutle once asagi dogru hareket edecek sonra yukariya dogru hareket edecek ve bu islem surekli olarak tekrar edecektir. Ortamda hava surtunmesi oldugundan bu hareket belli bir zaman sonra duracaktır. Simdi m kutlesine hic kuvvet uygulanmadigi durumda kutlenin alt ucunu  $x=0$  noktasi olarak ele alalim. Kuvvetin uygulandigi ani  $t=0$  ani kabul ederek zamana gore kutlenin hareketini kaydederek sekil(1.4)de oldugu gibi grafiginin cizelim. Elde edilen bu  $x(t)$  muhendislik terminolojisiinde mekanik bir isaret olarak isimlendirilir



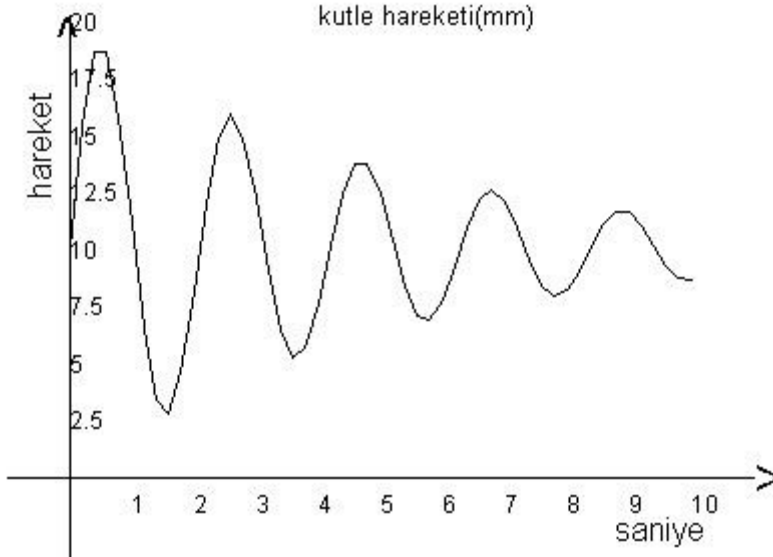
Sekil(1.3) Yay kutle sistemi

|                |      |      |      |      |      |      |      |     |     |      |      |      |     |      |      |      |      |      |      |      |
|----------------|------|------|------|------|------|------|------|-----|-----|------|------|------|-----|------|------|------|------|------|------|------|
| Zaman (saniye) | 4    | 4.2  | 4.4  | 4.6  | 4.8  | 5    | 5.2  | 5.4 | 5.6 | 5.8  | 6    | 6.2  | 6.4 | 6.6  | 6.8  | 7    | 7.2  | 7.4  | 7.6  | 7.8  |
| Hareket (mm)   | 7.59 | 10.1 | 12.5 | 13.8 | 13.7 | 12.4 | 10.4 | 8.4 | 7.1 | 6.89 | 7.74 | 9.29 | 11  | 12.2 | 12.6 | 12.1 | 10.9 | 9.53 | 8.42 | 7.93 |

|       |   |     |     |     |     |   |     |     |     |     |   |     |     |     |     |   |     |     |     |     |
|-------|---|-----|-----|-----|-----|---|-----|-----|-----|-----|---|-----|-----|-----|-----|---|-----|-----|-----|-----|
| Zaman | 4 | 4.2 | 4.4 | 4.6 | 4.8 | 5 | 5.2 | 5.4 | 5.6 | 5.8 | 6 | 6.2 | 6.4 | 6.6 | 6.8 | 7 | 7.2 | 7.4 | 7.6 | 7.8 |
|-------|---|-----|-----|-----|-----|---|-----|-----|-----|-----|---|-----|-----|-----|-----|---|-----|-----|-----|-----|

|              |      |      |      |      |      |      |      |     |     |      |      |      |    |      |      |      |      |      |      |      |
|--------------|------|------|------|------|------|------|------|-----|-----|------|------|------|----|------|------|------|------|------|------|------|
| (saniye)     |      |      |      |      |      |      |      |     |     |      |      |      |    |      |      |      |      |      |      |      |
| Hareket (mm) | 7.59 | 10.1 | 12.5 | 13.8 | 13.7 | 12.4 | 10.4 | 8.4 | 7.1 | 6.89 | 7.74 | 9.29 | 11 | 12.2 | 12.6 | 12.1 | 10.9 | 9.53 | 8.42 | 7.93 |

Tablo(1.3) Yay kütlesi sisteminin zamana göre değişim değerleri



Sekil(1.4) Yay kütlesi sistemi ve mekanik  $x(t)$  işaretleri.

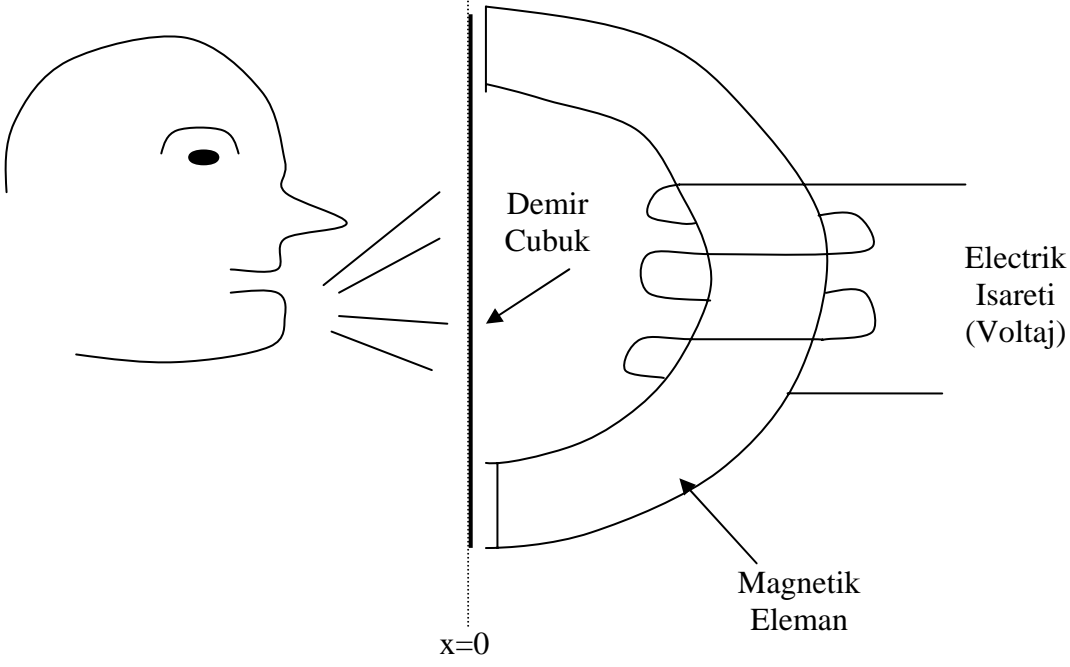
Sekil(1.5) Depremde ölçülen sismik işaret

Sekil(1.6)da basit bir mikrofona çalışma prensibi görülmektedir. İnsan konuştuğunda (veya herhangi bir cisim ses çıkardığında) havadaki molekülleri titreştirir. Bu titreşim bir basınç oluşturur. Bu basınç dalgası bizim kulağımıza gelir ve biz de ses isteriz. Tablo(1.6) da mikrofona hareketine ilişkin veriler, şekil(1.7)de ise bu verilerin grafik gösterimi verilmiştir. Sekil(1.8)a,b,c de bir insanın aaaa, eeee ve harran üniversitesi teleffuz ederkenki grafiği verilmiştir.

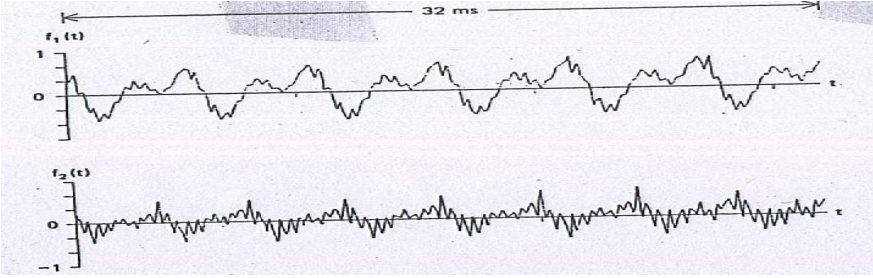
İnsandaki kanın basıncını gösteren kalp kardiografisi olarak bilinen grafik tıbbi bir işarettir.

Bunun gibi elektrik, elektromekanik, hidrolik, pnömatik, kimya, jeodezi, tıp vb gibi bilim dallarında da işaret kavramı benzer şekilde tanımlanmıştır.

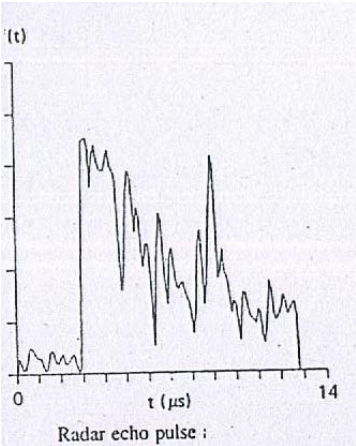
## Mikrofonun Calisma Prensibi



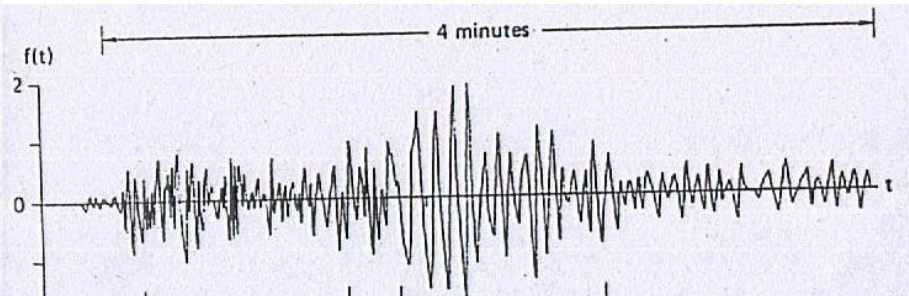
Sekil(1.6) Mikrofon sistemi



EEE sesi (Ustteki adama ait eee sesi alttaki cocuga ait eee sesi)

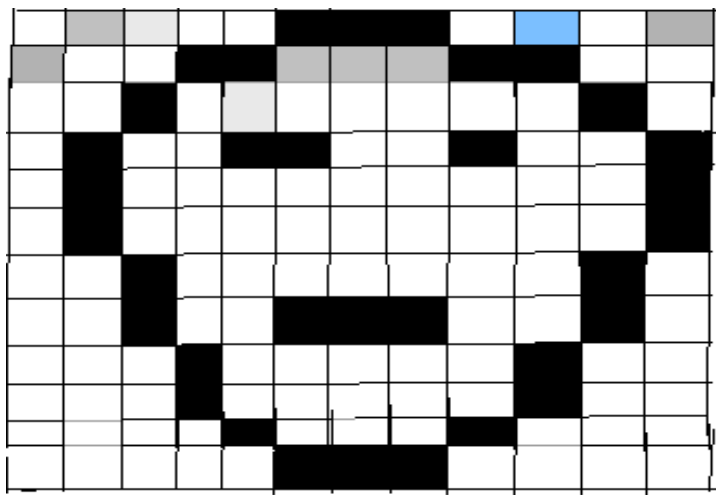
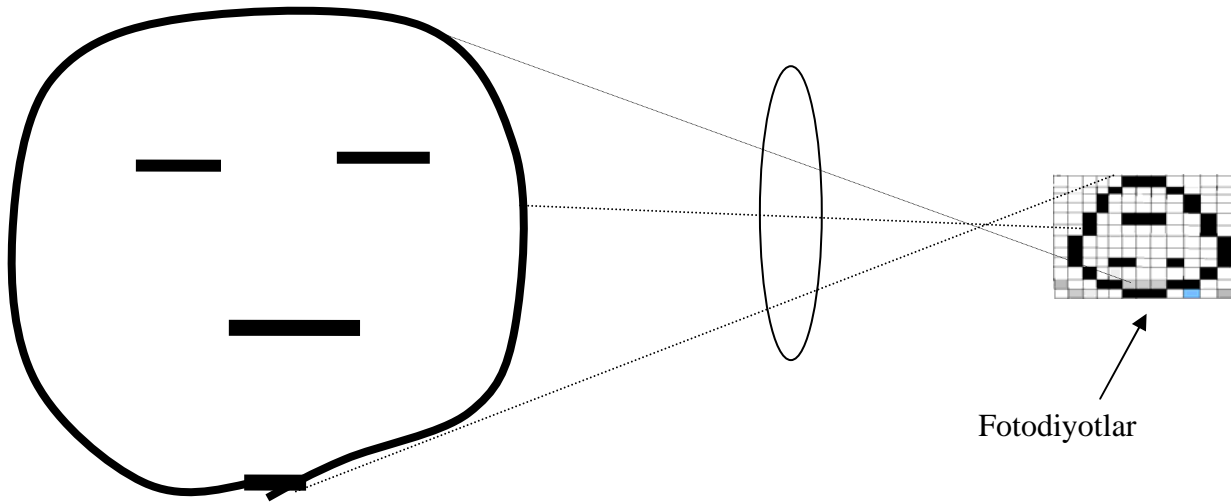


Radara gelen yansima isarti



Deprem esnasinda olculen titresim isareti

# SCANNER SISTEMI

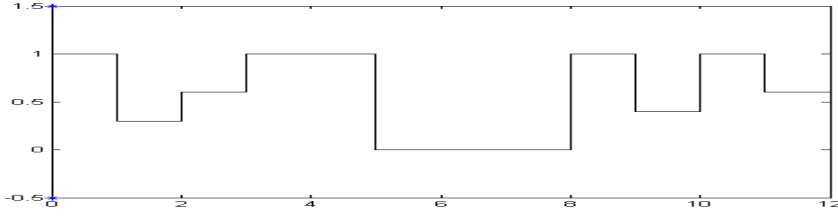


12x12 pixel Resim(image)

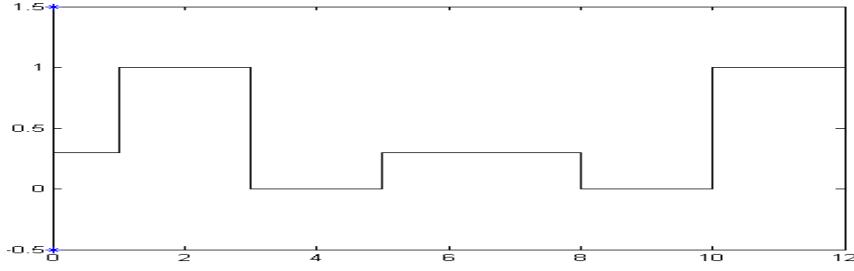
|     |     |     |   |     |     |     |     |   |     |   |     |
|-----|-----|-----|---|-----|-----|-----|-----|---|-----|---|-----|
| 1   | 0.3 | 0.6 | 1 | 1   | 0   | 0   | 0   | 1 | 0.4 | 1 | 0.6 |
| 0.3 | 1   | 1   | 0 | 0   | 0.3 | 0.3 | 0.3 | 0 | 0   | 1 | 1   |
| 1   | 1   | 0   | 1 | 0.6 | 1   | 1   | 1   | 1 | 1   | 0 | 1   |
| 1   | 0   | 1   | 1 | 0   | 0   | 1   | 1   | 0 | 1   | 1 | 0   |
| 1   | 0   | 1   | 1 | 1   | 1   | 1   | 1   | 1 | 1   | 1 | 0   |
| 1   | 1   | 0   | 1 | 1   | 1   | 1   | 1   | 1 | 1   | 0 | 1   |
| 1   | 1   | 0   | 1 | 1   | 0   | 0   | 0   | 1 | 1   | 0 | 1   |
| 1   | 1   | 1   | 0 | 1   | 1   | 1   | 1   | 1 | 0   | 1 | 1   |

|   |   |   |   |   |   |   |   |   |   |   |   |
|---|---|---|---|---|---|---|---|---|---|---|---|
| 1 | 1 | 1 | 0 | 1 | 1 | 1 | 1 | 1 | 0 | 1 | 1 |
| 1 | 1 | 1 | 1 | 0 | 1 | 1 | 1 | 0 | 1 | 1 | 1 |
| 1 | 1 | 1 | 1 | 1 | 0 | 0 | 0 | 1 | 1 | 1 | 1 |

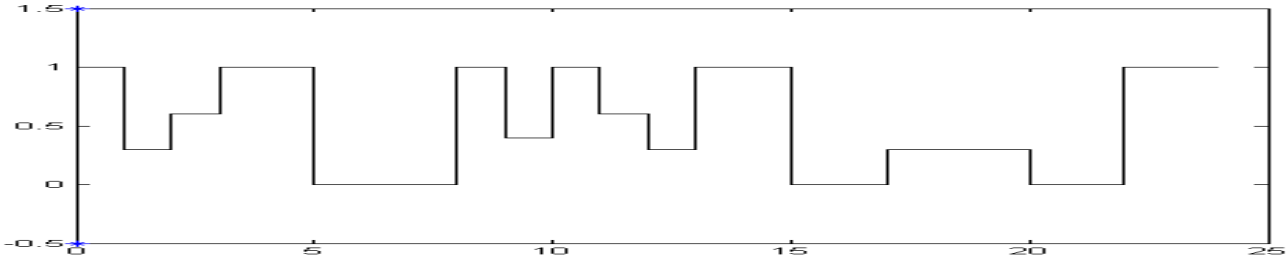
Resme karsilik gelen volt degerleri



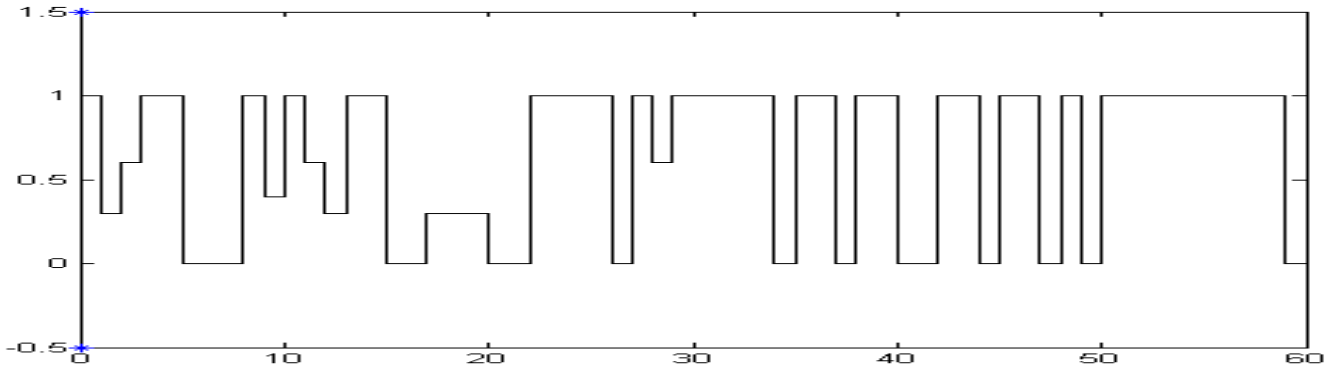
Birinci satira ait volt degerleri (1, 0.3, 0.6, 1, 1, 0, 0, 0, 1, 0.4, 1, 0.6)



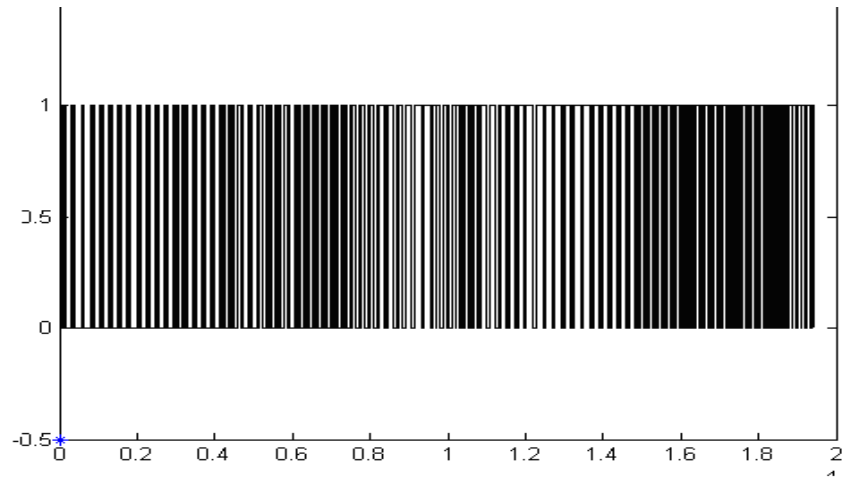
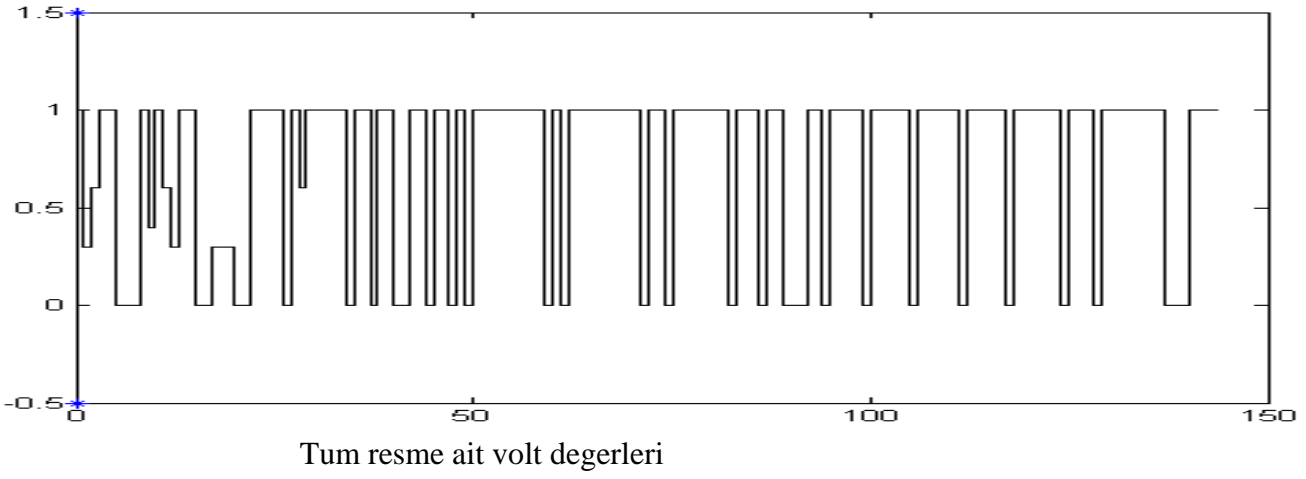
Ikinci satira ait volt degerleri (0.3, 1, 1, 0, 0, 0.3, 0.3, 0.3, 0, 0, 1, 1)



Birinci+ikinci satira ait volt degerleri (1, 0.3, 0.6, 1, 1, 0, 0, 0, 1, 0.4, 1, 0.6 --- 0.3, 1, 1, 0, 0, 0.3, 0.3, 0.3, 0, 0, 1, 1)



Ilk 5 satira ait volt degerleri

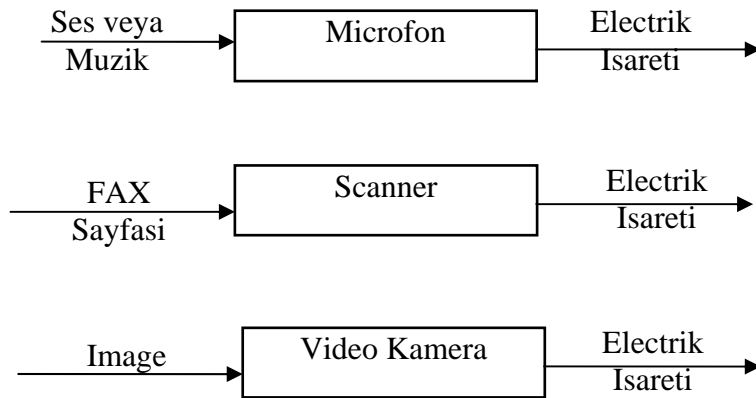


Gercek bir resim ve ona ait volt degerleri

Bir resim yaklasik olarak  $600 \times 400 = 240000$  pixel.

TV: bir saniyede 25 resim var.  $25 \times 240000 = 6000000$  pixel. =6megapixel

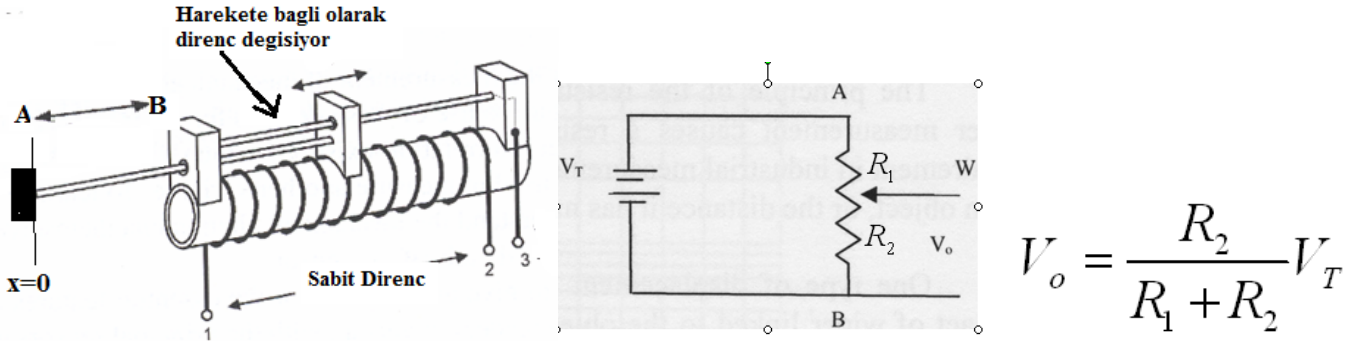
Bir TV signalini bir saniyede 6 megapixel veri tasir. (6 Megahertz'lik bir signal)





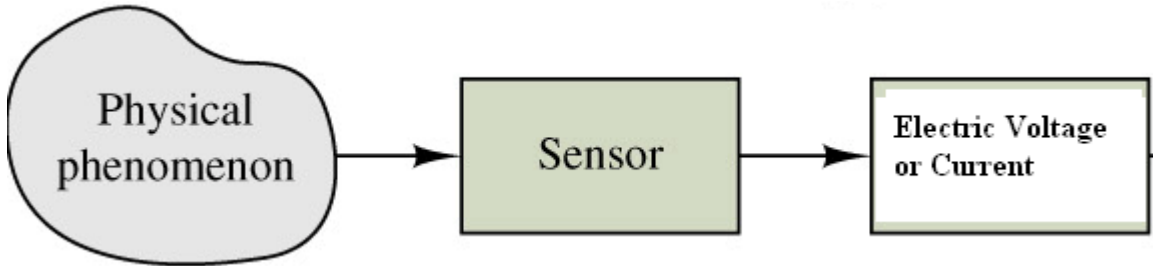
## Isaretlerin Olculmesi

Direk veya dolayli yoldan olculemeyen bir isaretin muhendislikte bir anlami yoktur. Isaretin olcumu icin ilk adim kucuk istisnalar disinda olculecek isaretin elektriksel isarete (elektrik akimi veya gerilimine) cevrilmesidir. Bu cevirmeyi yapan aletler duyarga(sensor, transducer) olarak adlandirilir.

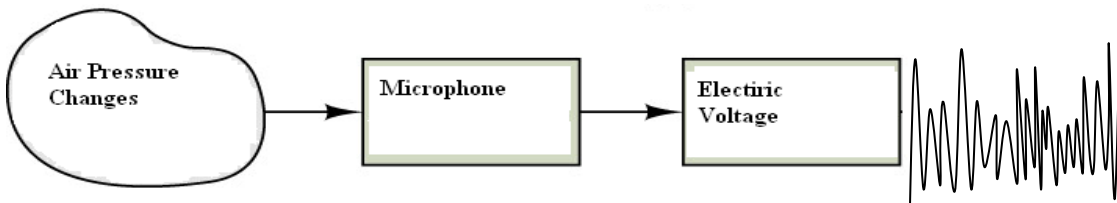


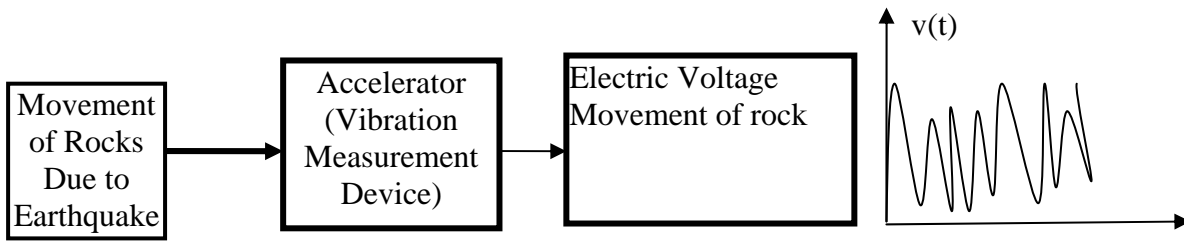
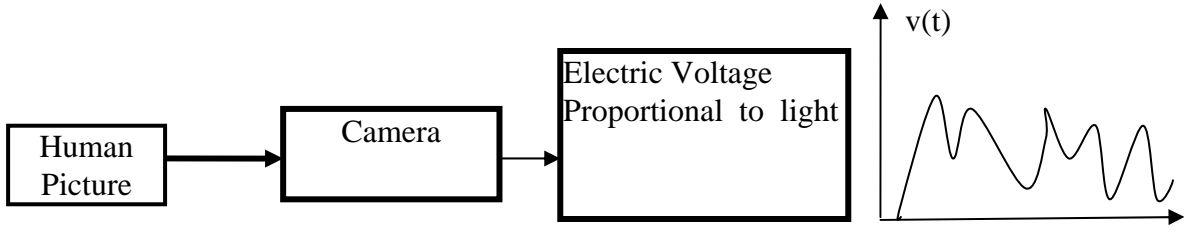
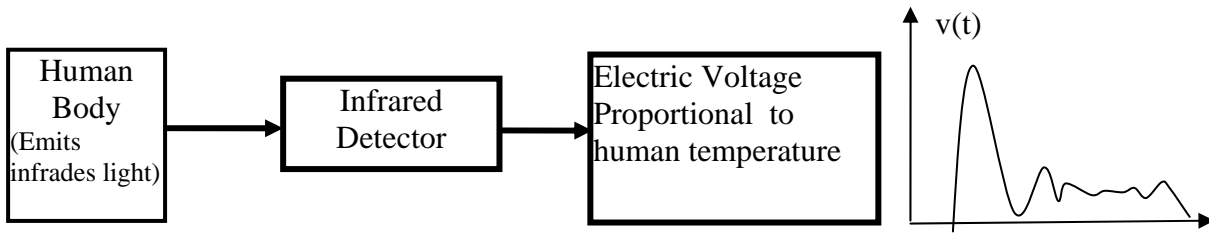
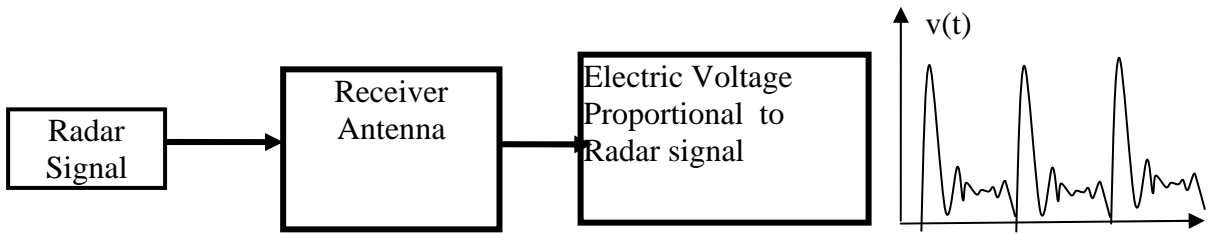
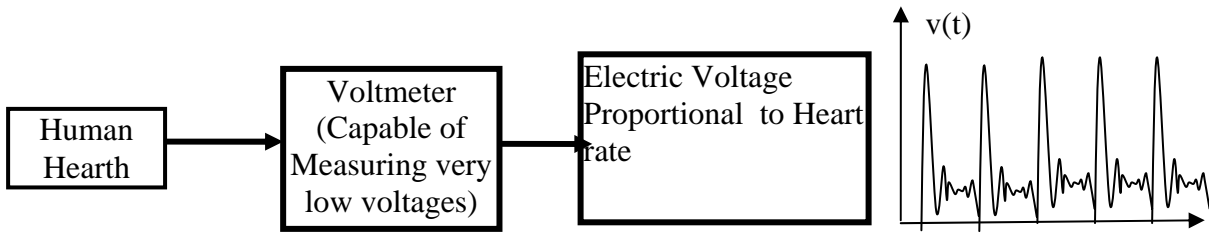
Sekil(1.11)Direnc yardimiyla mesafe olcumu

Sekil(1.11) de mesafe olcen bir duyarganin prensip semasi goruluyor. Burada cubuk hareket ettikce  $R_2$  direnci degisecektir. Olusan  $V_o$  gerilimi  $x$  mesafesine ait bilgiyi tasiyacaktir. Duyargalar konusu bu kitabın kapsami disindadir. Ancak butun duyargalar temel itibarile yukaridakine benzer sekilde is goruruler. Mesela basinc olcen piezoelektrik bir duyarga basınca orantili bir gerilim urettigi gibi bir ultrasonik duyarga da uzerine dusen basınca orantili bir gerilim uretir. Bunun gibi bir radyo veya televizyon anteni de uzerine dusen elektromagnetik dalganın siddeti ile orantili bir gerilim uretir. Cep telefonunun anteni de kendine gelen elektromagnetik dalganın siddeti ile orantili bir gerilim uretir.



### Examples





In the above examples  
 Microphone, Voltmetre, Receiving Antenna, Infrared detector, Camera, Accelerator are all **sensors**.

**What We Measure**

- Microphone example → We measure air pressure
- Human heart example → We measure the voltage produced by human body
- Radar Example → We measure the amplitude of electromagnetic wave
- Infrared detector example → We Measure the intensity of infrared light
- Camera example → We Measure the intensity of visible light

Earthquake example → We measure the acceleration

## Gurultu Kavrami

Muhendislikte olcülen bir isaretin yaninda istenmeyen fakat olcum esnasinda tabii olarak bulunan isaretler gurultu olarak adlandirilir. Mesela sekil(1.11)'deki duzenekle mesafe olcümü yapilirken o civarda bir elektrik dugmesi acilsa yada kapansa sisteme bir parazit(gurultu) isareti eklenecektir. Sekil(1.12)'de bu durum gosterilmistir. Gurultu isareti kesikli yada surekli olabilir. Sekil(1.11)'deki duzenegin yakninda bir motor calissa bu motorun meydana getirdigi elektromanyetik etkiler olcme isaretine surekli olarak bir parazit(gurultu) ekleyecektir.

Gurultu isaretlerinin degeri onceden hesaplanabiliyorsa bu tip gurultu isaretlerine deterministik gurultu isareti eger onceden hesaplanamiyorsa rasgele (random) isaretler denir. Yukaridaki olcme duzeneginde motorun cikardigi gurultu onceden hesaplanabilecegi icin deterministik gurultu sinifina girer. Elektrik acma kapama olayi ise ne zaman olacagi belli olmadigi icin rasgele gurultu sinifina girer. Sabit araliklarla elektrik dugmesinin acilip kapanmasi sonucu cikan gurultu ise haliyle deterministik gurultu olur.

Rasgele isarete bir baska ornek atmosferde ucağa etki eden turbilans etkisi ..... seklinde gosterilebilir.

Rasgele gurultu isaretleri onceden belli olmadigi icin bir matematiksel bir ifade ile gosterilemez. Ancak isaretin genligi ve frekansi hakkında belirli sinirlar kabul edilip olcme duzenegi bu sinirlara toleransli olacak sekilde dizayn edilir.

Bir isaretin dogru olarak olculmesi icin icindeki gurultu miktarinin az olmasi gerektiği aciktir.

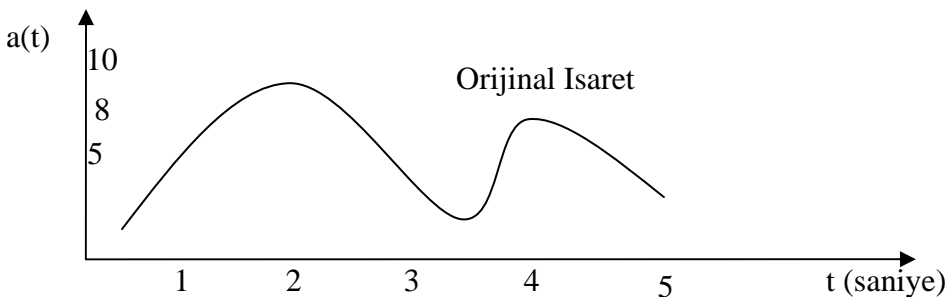
## Isaretlerin Bilgisayara Aktarilmasi

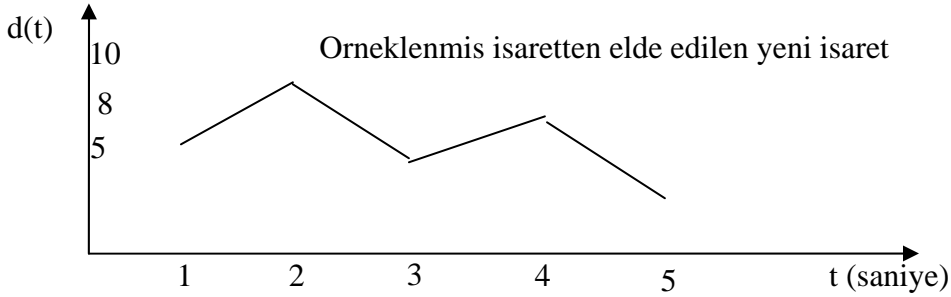
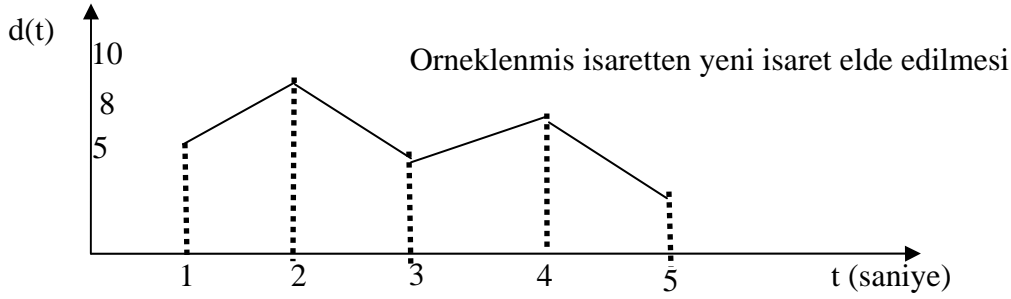
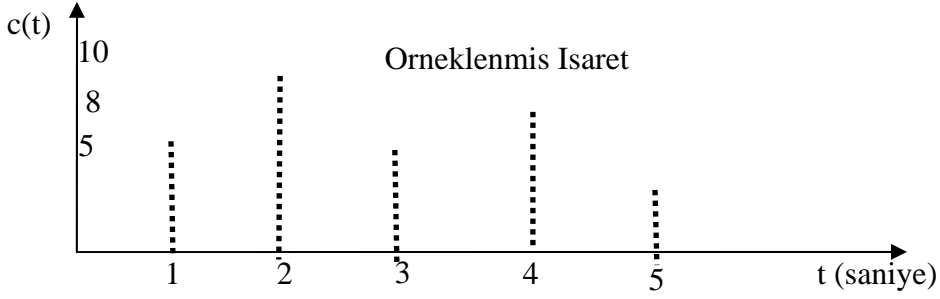
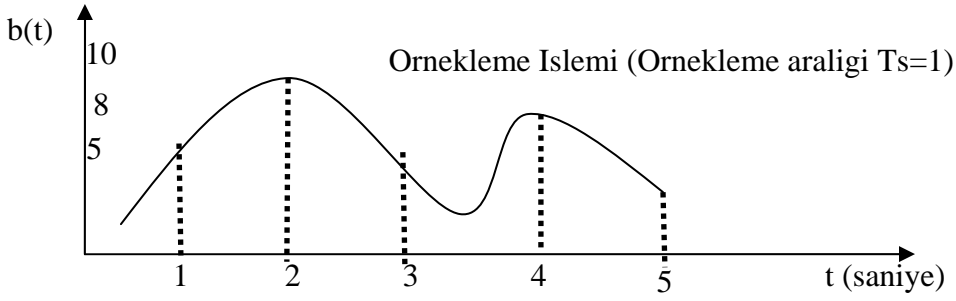
Ayrık isaretler zamanin belli anlarinda degerleri olan bu zaman araliginda degerlerinin anlami olmayan isaretlerdir. Ayrık isaretlerin bir kısmi tabiati gereği ayriktir, (bir dukkandaki gunluk esya satis sayisi, bir yeri ziyaret eden gunluk insan sayisi gibi) bir kısmi da surekli isaretlerin ayrik hale donusturulmus halidir (bir firinin sicakliginin her saat olculmesi, ucagin irtifasinin her dakika olculmesi gibi).

Bilgisayarların gelişmesi ile isaretleri bilgisayara aktararak analiz etmek daha kolay hale gelmiştir. Bilgisayara analog datanın aktarimi bilgisayara takılan elektronik devreler vasitasiyla yapilir. Analog datanın bilgisayara aktarilmasi endustride çok kullanildiği icin bu tip devreler ticari olarak imal edilmekte ve satılmaktadır. Bu tip elektronik devrelerin endustride en çok kullanilani piyasada PC olarak bilinen bilgisayarlar icin hazirlanmis olanlaridir. Bu tip devreler PC'lerin slotlarına hazır olarak takilmakta ve büyük bir kullanım kolayligi gertirmektedir. Bu tip kartları kullanan kisinin kart üzerindeki elektronik devrenin ic yapisini bilmesi gerekmez. Analog dijital cevirci kart veya kısaca AD cevirci kart olarak bilinen bu kartlar analog bir isareti belli araliklarla bilgisayara aktarir.

### Isareti Bilgisayara Aktarma Hizi

Bir isaretin bilgisayara aktarilmasi demek isaretin belirli anlardaki degerinin bilgisayara aktarilmasi demektir, yoksa isaretin her t anındaki degerinin bilgisayara aktarilmasinin pratik bir anlami yoktur.



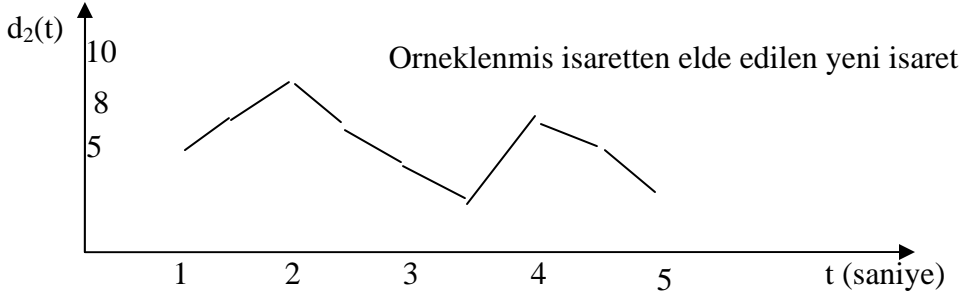
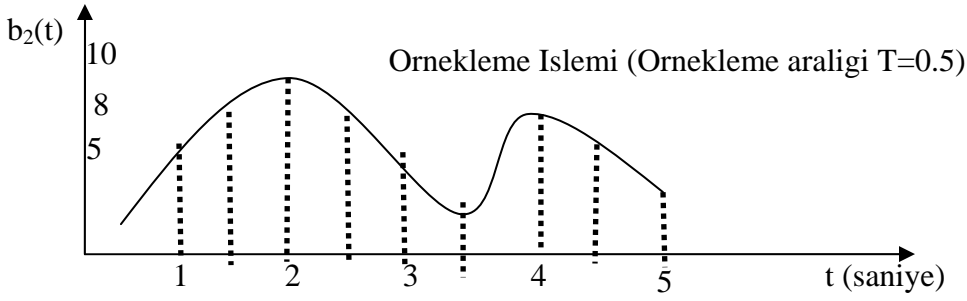


Sekil (1.15) Isaretin orneklenmesi

Sekil(1.15.a)daki  $g(t)$  isaretini ele alalım. Bu isaretin bilgisayara aktarılması için sekildeki  $t$  anlarındaki değeri bilgisayar tarafından ölçülmüş olsun.  $t=1$  ve  $t=2$  arasındaki bir zamanda isaretin ne olduğu bilgisayar tarafından bilinmemektedir. Bilgisayar isareti sekil(1.15.d) deki gibi zannetmektedir. Isaret bilgisayara aktarıldığında bilgisayarın hafızasında (veya bir data dosyasında) tablo (1.15)deki rakamlar olacaktır.

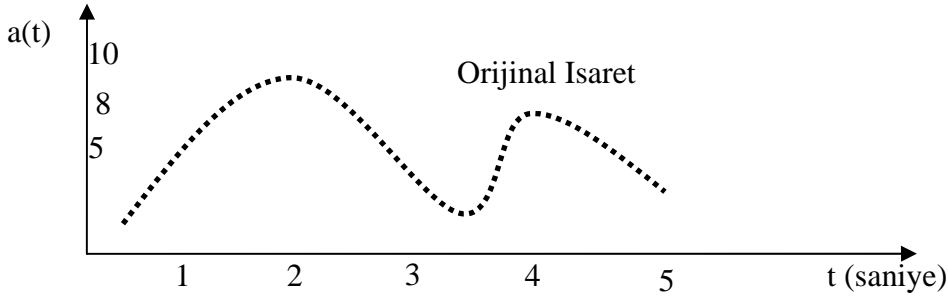
| Zaman  | 1 | 2 | 3   | 4   | 5   |
|--------|---|---|-----|-----|-----|
| Voltaj | 5 | 9 | 5.5 | 7.4 | 3.5 |
| Değeri |   |   |     |     |     |

Ornekleme araligi  $T=0.5$  olarak secilsin.



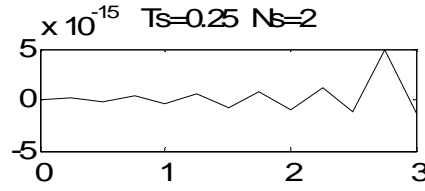
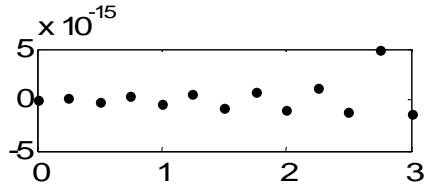
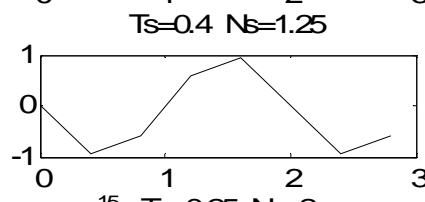
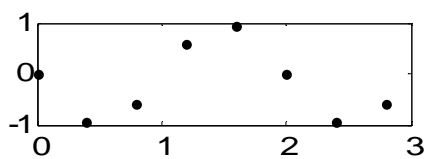
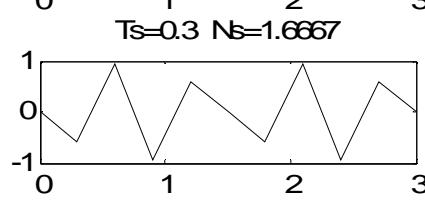
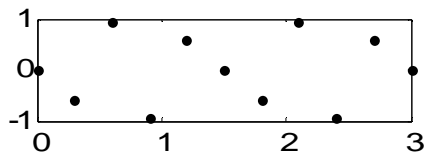
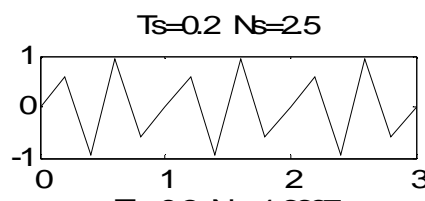
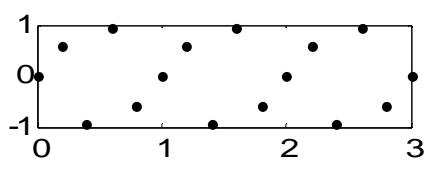
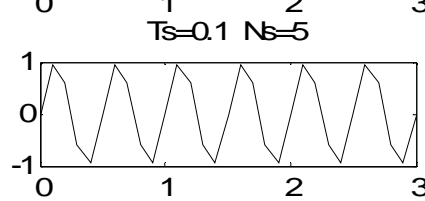
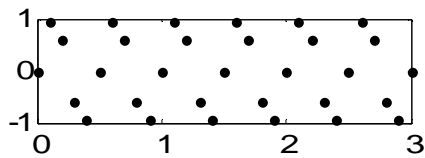
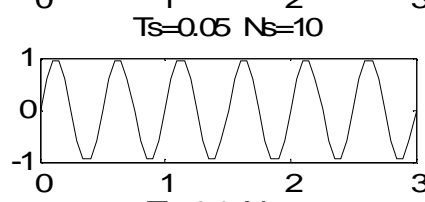
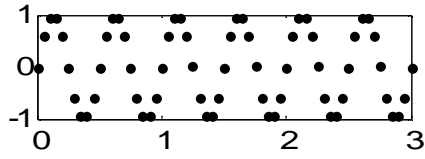
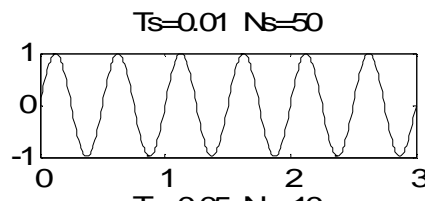
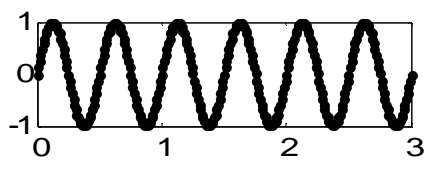
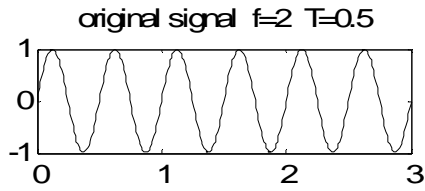
Sekil(1.16) isaretin  $T_s=0.5$  saniye araliklarla orneklenmesi.

Bu durumda bilgisayar isareti sekil(1.16.b) deki gibi varsayacatir. Ornekleme araligini  $T=0.01$  secelim bu durumda bilgisayar iareti Sekil(1.17) dekii gibi varsaycaktir.



Sekil(1.17) isaretin  $T_s=0.01$  saniye araliklarla orneklenmesi sonucu isaretin yeniden elde edilmesi.

a)  $g(t)=\sin 2t$  isaretinin orneklenmesi



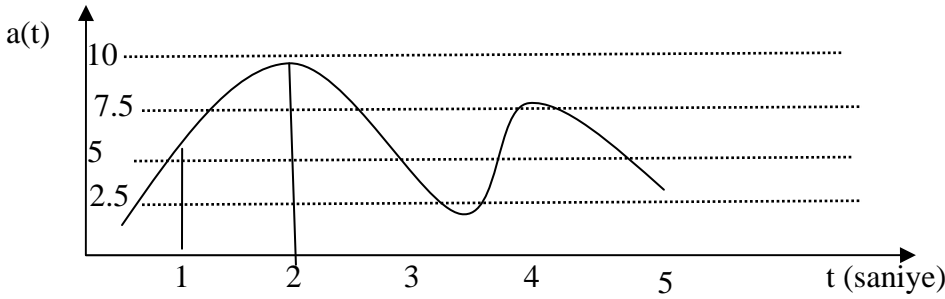
$T_s=0.01, 0.02, \dots, 0.1, 0.4$  saniye araliklarla ornekleyelim. gercek isaret sinus oldugu halde bilgisayara gelen bilgi sinuse benzer hali kalmamistir. O halde hemen su sorular akla gelir. Bilgisayara aktarilan data hangi olcude gercek isareti temsil eder? Gercek isarete benzemesi icin ornekleme araligi ne kadar kucuk olmalidir ki bilgisyardaki rakamlar gercek isaretin tasidigi bilgileri tasin?

Fabrikanizdaki bilgisayara boyle bir kart takmaniz gerektiginde, yukaridaki bilgilerin isigi altında bilgisayara aktarma hizi cok yuksek olan kart lazim diyeceginiz aciktir. Ancak burada fiat faktoru iisin icine

girer. Bilgisayara data aktarma hizi yuksek olan kartin fiati da yuksektir. O halde hangi hizda bir AD karti takilacak sorusu bilgisayara aktarilacak isaret nasildir sorusunu gündeme getirmektedir. Bolum(?)de  $t_1, t_2$  aralinin ne kadar kucuk olmasi konusu incelenecektir.

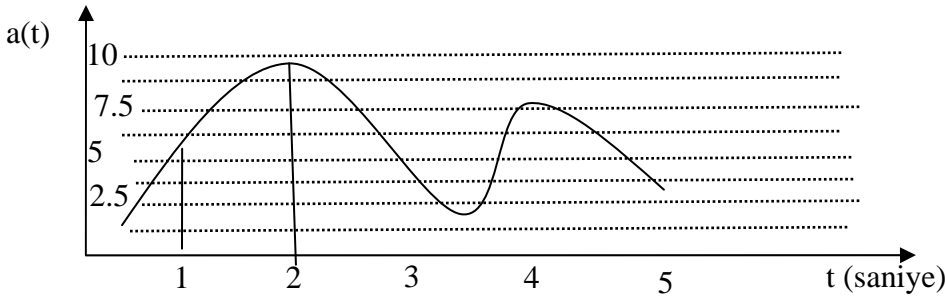
## Yuvarlatma Hatalari ve AD kartinin Cozunurlugu

Sekil(1.17)'de gosterilen  $g(t)$  isaretini bilgisayara aktarmak isteyelim. AD cevirci kartina isaretin maximum ve minimum degerleri onceden bildirildigini varsayalim. (Bu islem A/D cevirci kartin kullaniminda onceden ayarlanir).



Sekil(1.18)

A/D cevirci karti verilen maximum ve minimum degerler arasini N bolgeye boler. Analog  $g(t)$  isaretinin herhangi bir andaki degeri bu bolgelerden birinde oldugu varsayilir. Ornek olarak sekil(1.18)'de gosterilen isaret bilgisayara aktarim icin 4 bolgeye ayrilmistir. Bu durumda  $t=1$  anindaki gerilim 5V olarak alinacak  $t=2$  anindaki gerilim ise 10V olarak alinacaktır. Gercekte  $t=1$  noktasindaki gerilim 5.3V  $t=2$  noktasindaki gerilim ise 9.1V dur. Gerilimin daha hassas olarak olculebilmesi icin bolge sayisinin artirilmasi gerekir. Iste A/D kartinin ayirabildigi bolge sayisina A/D kartinin cozunurlugu denir.



Sekil(1.19)

Sekil(1.19) da isaret 8 bolgeye ayrilmistir. (0- 1.25- 2.5- 3.75-5.0 - 6.25 -7.5-9.75- 10.00 )

Konuyu daha acik gorebilmek icin bilgisayarlarin yapısına kisaca bakalim. Bugunku bilgisayar teknolojisi ikili sistem uzerine bina edilmistir. Bilgisayarlar da rakamlar 0 ve 1'lerin kombinezonlari seklinde tutulur. Kelimelerin cumlelerin, resimlerin sekillerin bilgisayarda tutulmasi da ayni sekilde ikili sistem ile dir. Piyasada ticari amacli satilan kartlarin cozunurlugu 4-bit, 8-bit, 12-bit, 16-bit olarak verilir. Bit sayisi arttikca A/D kartinin ayirabilecegi bolge sayisi da artacak dolayisiyla daha hassas olcum yapilacaktır. 4 bitlik ve 12 bitlik iki A/D cevirci karti ele alalim. 4-bitlik kartin ayirabilecegi bolge sayisi  $2^4=16$  olurken 16 bitlik bir kartin ayirabilecegi bolge sayisi  $2^{16}=65536$  olacaktır.

## Isaretlerin Degerlendirilmesi

Sekil(1.18)'de genel bir isaret isleme duzenegi gosterilmistir.

Olculen isaret icin ilk yapilacak islem isaretin icinde gurultunun ayiklanarak gercek isaretin elde edilmesidir. Bu is filtre kullanarak veya degisik bilgisayara algoritmaları kullanarak yapilir.

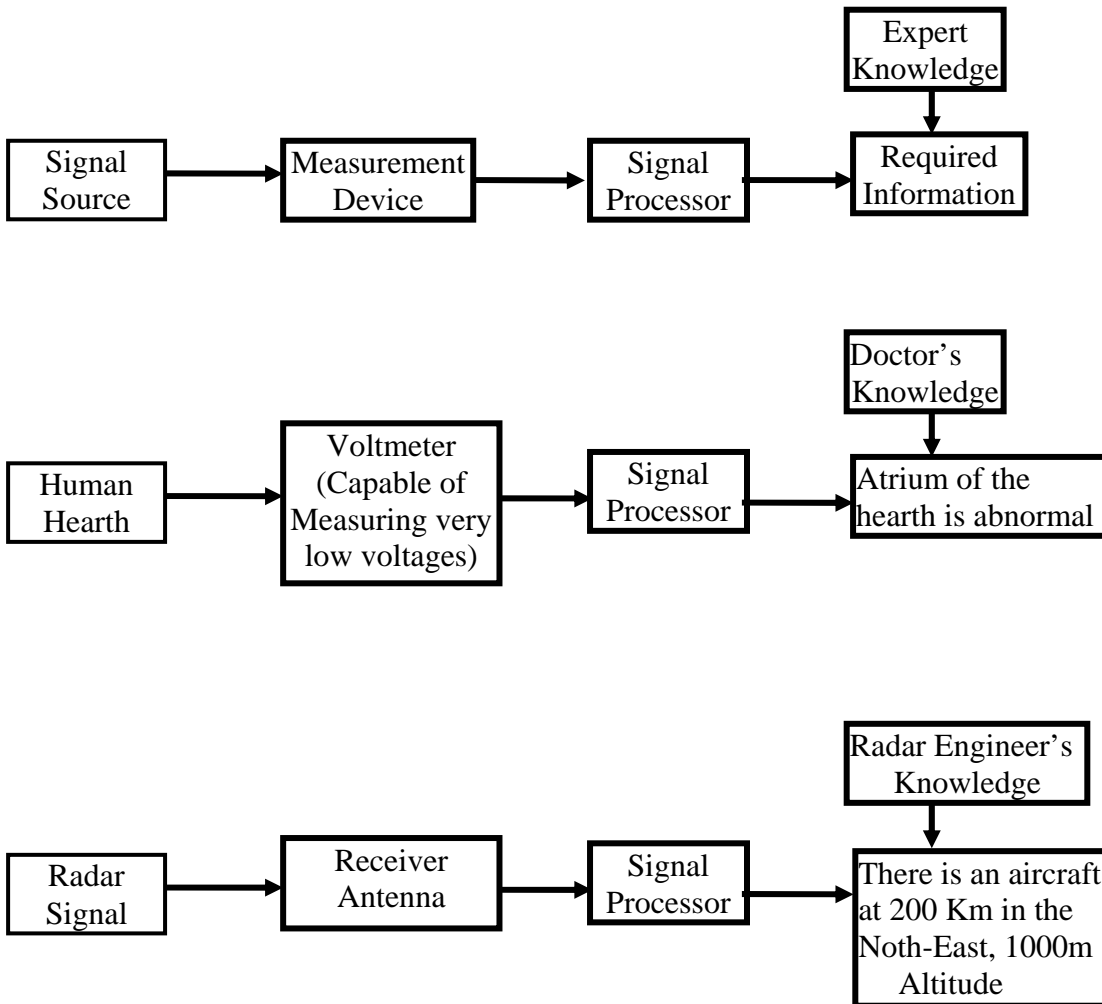
Gurultuden ayiklanmis bir isaret uzerinde bir yorum yapmak cogu kere imkansizdir. Bu yuzden isaretin Fourier donusumu alinir.

Isaret bilgisayara aktarilmis cesitli (akilli) algoritmalar kullanilarak isaret icindeki gurultu giderilebilir.

Olcme duzenegi  $g(t)+n(t)$  gurultu ayilama  $g(t)$  isaret isleme gozlem ve yorum

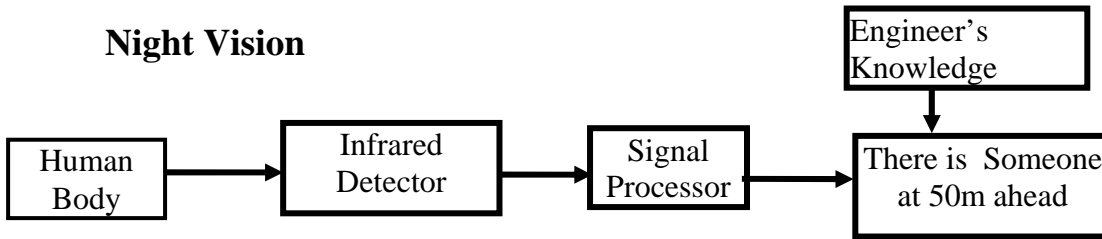
Sekil(1.18)Genel bir isaret isleme duzenegi

### Examples of Signal Processings

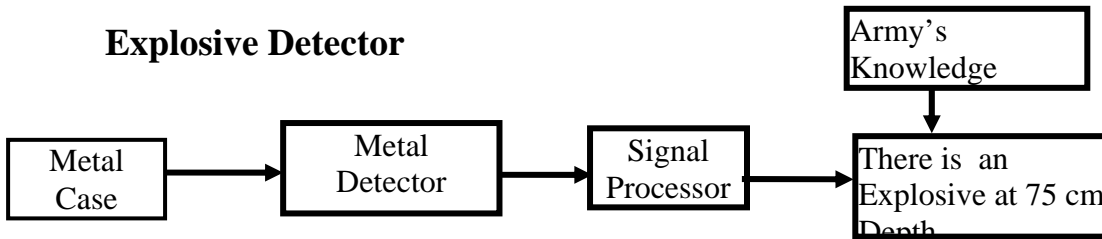




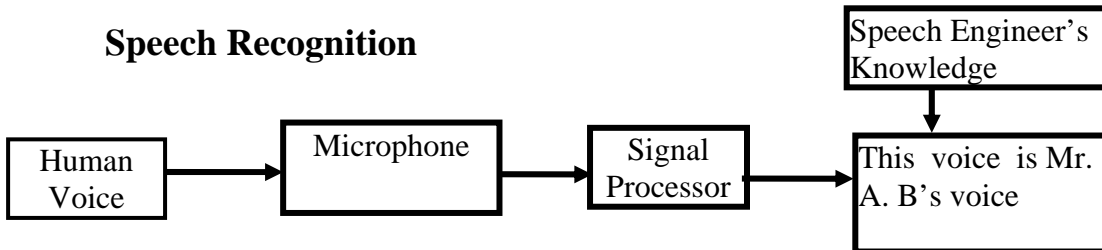
### Night Vision



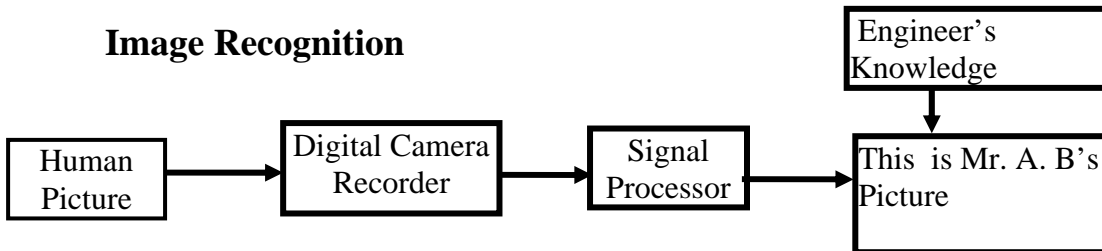
### Explosive Detector



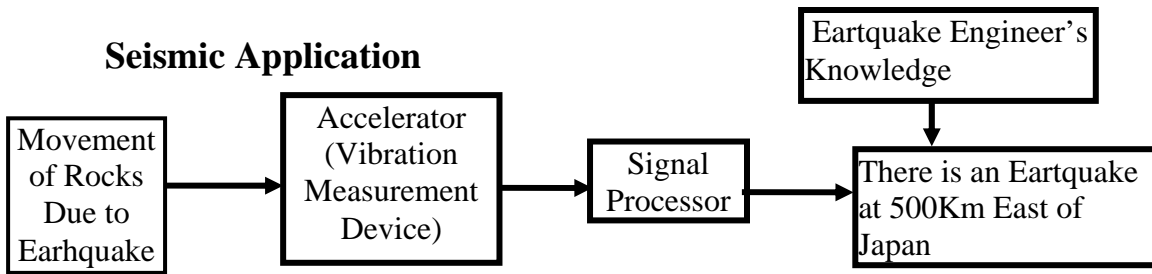
### Speech Recognition



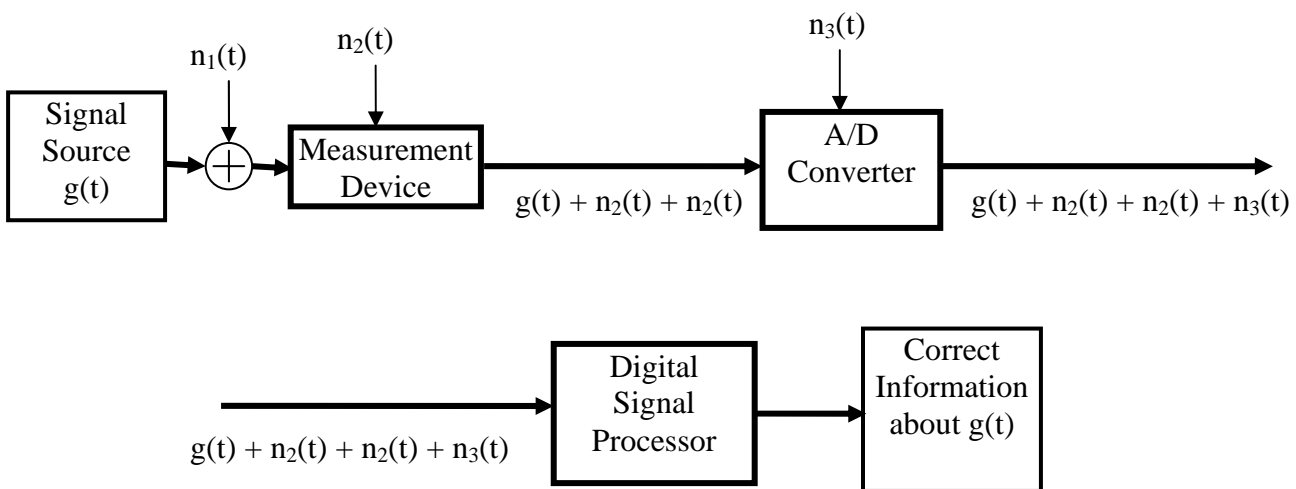
### Image Recognition



## Seismic Application



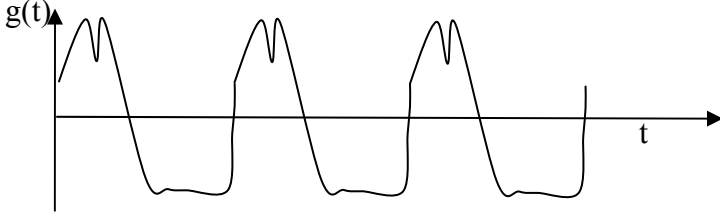
## Digital Signal Processing



# PERİYODİK İSARETLER VE SPEKTRUMLARI

## Periyodik İisaretler

Önceki bölümde açıklanan işaretler genel olarak periyodik işaretlerdir. Mesela şekil(1.33)'deki yay kutle sisteminde hava surlunmesi olmasa  $x(t)$  grafiği sonuflenmeden sonsuza kadar periyodik olarak artıp azalacaktır. Böyle bir  $x(t)$  işareti peroyodik bir isaret olarak adlandırılır.



Sekil(1.33) Periyodik İisaret

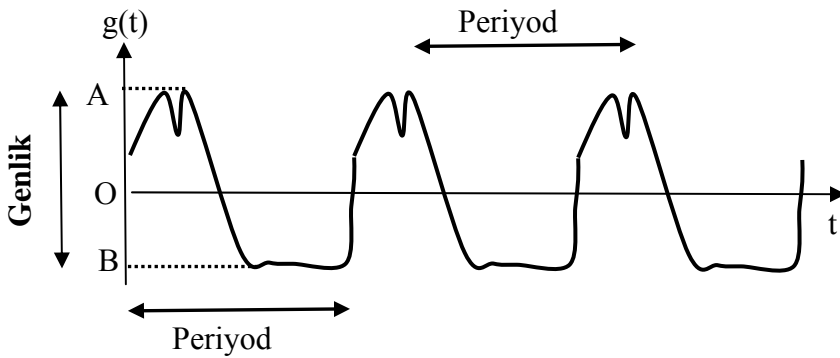
Bu kitapda küçük harf zamana bağlı işareti büyük harfde o işaretin Furier dönüşümü, Laplas dönüşümü veya Z dönüşümü gösterir. küçük 'x' ile büyük 'X' birbirine benzediğinden karışıklığa sebep olmaması için işaret  $g(t)$  veya  $f(t)$  notasyonları ile gösterilecektir.

Periyodik işareti karakterize eden 3 temel özellik vardır. genlik, frekans ve faz Şekil(1.21) de bu özellikler gösterilmiştir.

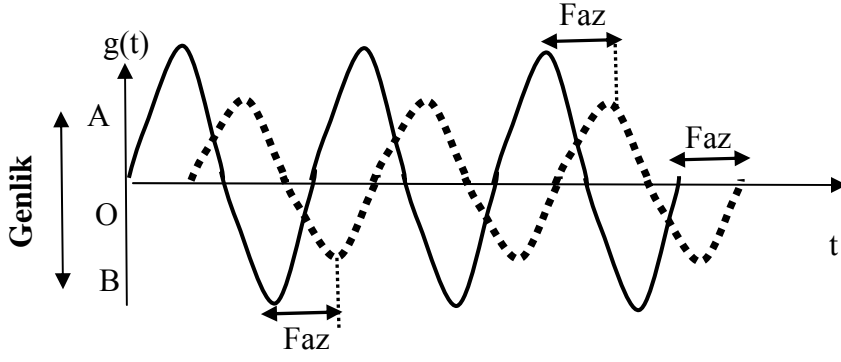
**Genlik (amplitude, magnitude):** Genlik olarak bazen alt tepeden üst tepeye uzaklık olan AB uzaklığı alınır, işaretin pozitif ve negatif tarafları simetrik ise çoğu kere tepeden tepeye uzaklığın yarısı olan OA uzaklığı genlik olarak alınır.

**Periyot:**  $g(t)=g(t+T)$ ,  $T \neq 0$  eşitliğini sağlayan en küçük T değerine  $g(t)$  işaretinin periyodu denir.

Frekans (frequency):  $f=(1/T)$  ifadesine  $g(t)$  nin frekansı,  $\omega=2\pi f=(2\pi)/T$  ifadesine  $g(t)$  nin acisal frekansı denir. T'nin birimi saniye, f'nin birimi Hertz,  $\omega$ 'nun birimi radyan'dir.



Sekil(1.33) Periyodik İisaretin genliği ve periyodu



Sekil(1.34)Periyodik iki isaret arasindaki faz farki

**Faz (aci)(phase):** Periyodik bir isaretin acisi(fazi) ya sabit bir referans noktasina gore veya ayni periyotda baska bir sekle gore tarif edilir. Bir periyotluk zaman  $360^{\circ}$  ye karsilik gelir. Sekil(1.34) de ayni periyotda iki isaret arasindaki faz farki gosterilmistir.

Periyodik isaretler ileriki bolumlerde isbatlanacagi uzere sinus ve kosinuslu terimlerin toplami olarak yazilabilir.

Periyodik isaretler ileriki boluimlerde isbatlanacagi uzere sinus ve kosinuslu terimlerin toplami olarak yazilabilir.

$$g(t) = a_0 + a_1 \cos w_0 t + a_2 \cos 2w_0 t + a_3 \cos 3w_0 t + \dots + a_k \cos kw_0 t \\ b_1 \sin w_0 t + b_2 \sin 2w_0 t + b_3 \sin 3w_0 t + \dots + b_k \sin kw_0 t$$

xA1

$$= a_0 + \sum_{n=1}^k [a_n \cos nw_0 t + b_n \sin nw_0 t]$$

sekinde bir isaret dusunelim. Bu isaretin periyodik oldugu ve periyodunun  $T_0 = \frac{2\pi}{w_0}$  oldugu kolayca gosterilebilir.

$$g(t + T_0) = a_0 + \sum_{n=1}^k [a_n \cos nw_0(t + T_0) + b_n \sin nw_0(t + T_0)] \\ = a_0 + \sum_{n=1}^k [a_n \cos(nw_0 t + nw_0 T_0) + b_n \sin(nw_0 t + nw_0 T_0)] \\ = a_0 + \sum_{n=1}^k [a_n \cos(nw_0 t + n2\pi) + b_n \sin(nw_0 t + n2\pi)] \\ = a_0 + \sum_{n=1}^k [a_n \cos nw_0 t + b_n \sin nw_0 t] \\ = g(t)$$

Not:  $w_0 T_0 = w_0 \frac{2\pi}{w_0} = 2\pi$  ve

$$\cos(nw_0 t + 2\pi n) = \cos(nw_0 t) \cos 2\pi n - \sin(nw_0 t) \sin 2\pi n = \cos(nw_0 t)$$

oldugu dikkate alinmistir. (ref: xA1) esitligi ile verilen  $g(t)$  isareti

$$A \cos(pt) + B \sin(pt) = \sqrt{A^2 + B^2} \cos(pt - \operatorname{arctg} \frac{B}{A}) = d \cos(pt - \theta_n)$$

a214

sekindeki trigonometrik baginti yardimiyla ayni frekansdaki sinus ve kosinus terimleri tek terim haline getirilerek

$$g(t) = a_0 + \sum_{n=1}^k [a_n \cos nw_0 t + b_n \sin nw_0 t] = d_0 + \sum_{n=1}^k d_n \cos(nw_0 t - \theta_n)$$

xAq1

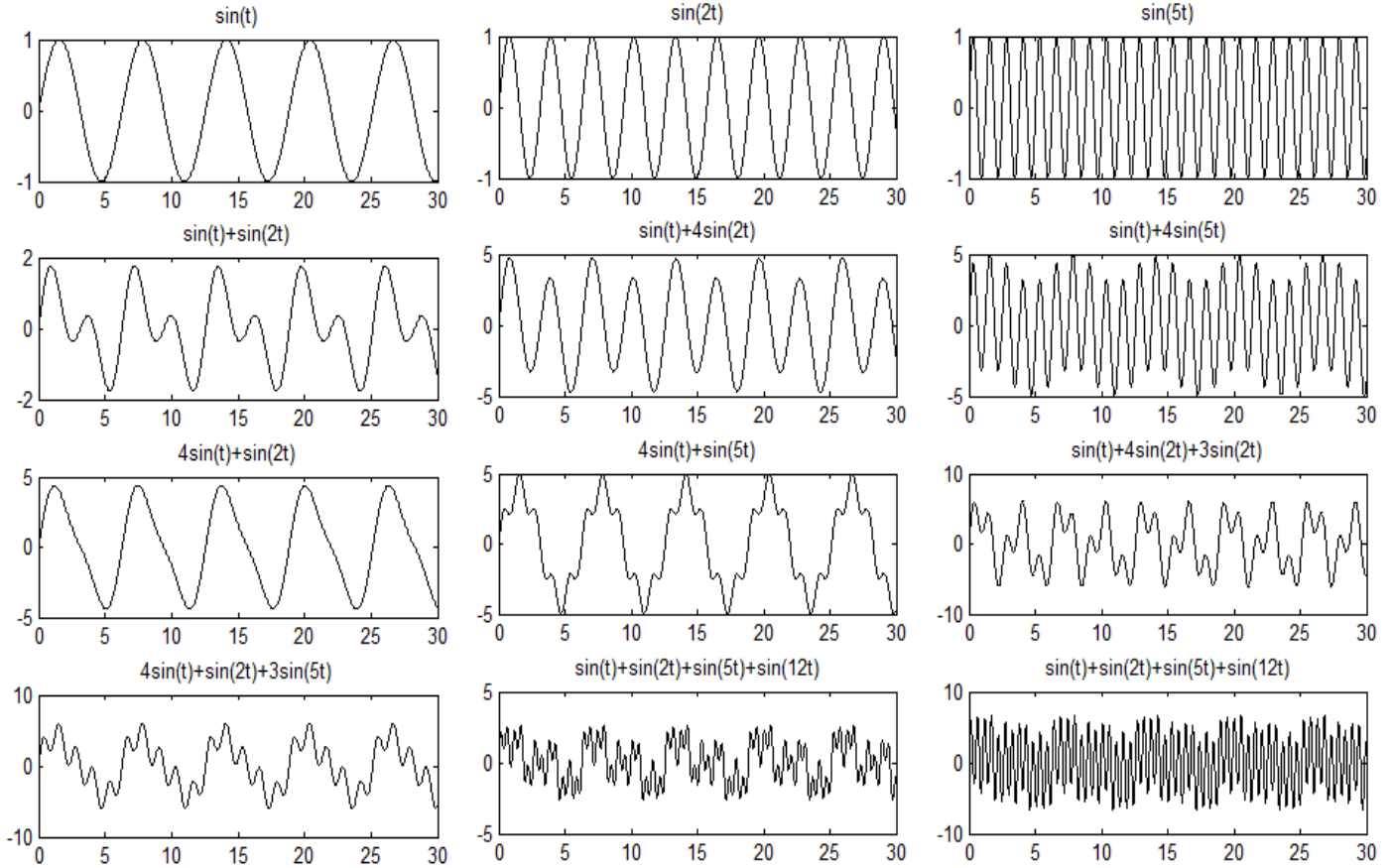
formunda da gosterilir.

O halde icinde  $w_0, 2w_0, 3w_0, \dots, kw_0$  frekansli bilesenler bulunan bir  $g(t)$  isareti  $T_0 = \frac{2\pi}{w_0}$  periyodu ile periyodiktir. (ref: xA1 esitliginde  $a_1, a_2, \dots, a_k, b_1, b_2, \dots, b_k$  katsayilari degistirilerek cesitli isaretler olusturulabilir. Ornek olarak  $T_0 = 0.25$ ,  $a_1 = -3$ ,  $a_2 = 2$ ,  $a_3 = 5$  ve diger katsayilar sifir olsa.

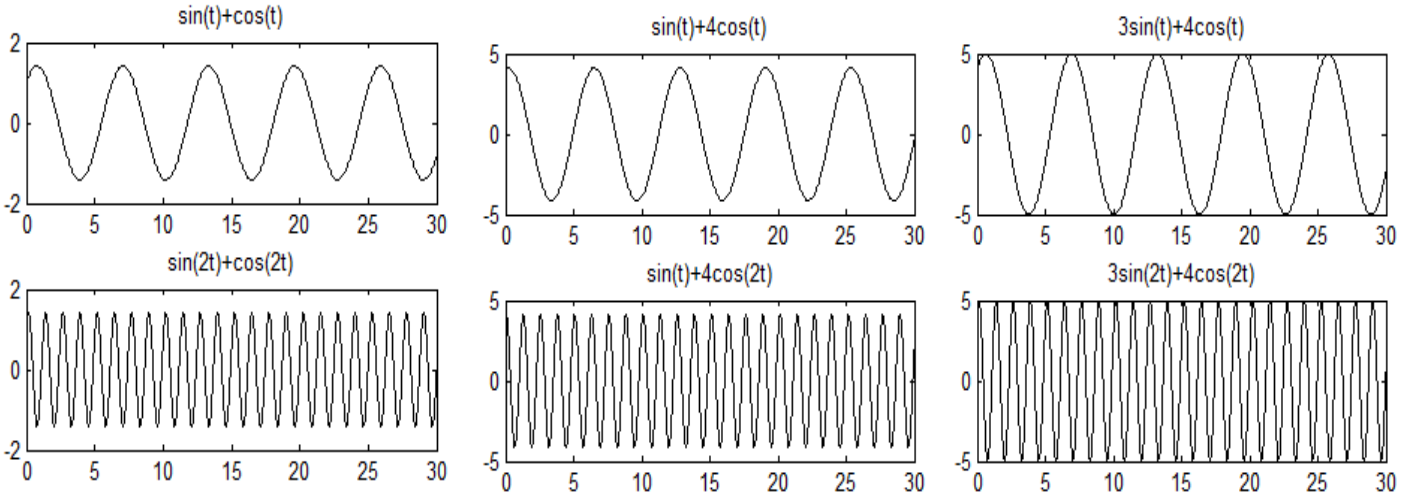
$$w_0 = \frac{2\pi}{0.25} = 8\pi = 25.1$$

$$x(t) = -3 \cos(25t) + 2 \cos(50t) + 5 \cos(75t)$$

elde edilir.



Sekil(xz13) Cesitli sinuzoidal isaretlerden uretilmis periyodik isaretler



Sekil(xz15)Ayni frekansdaki sinus ve kosinus isaretlerin toplami yine ayni frekansdadir.

Yukaridaki islemlerin tersi de bazi istisnalar disinda dogrudur. Yani  $T_0$  periyotlu bir isaret  $w_0, 2w_0, 3w_0, kw_0,$  acisal frekansli sinus ve kosinus fonksiyonlari cinsinden yazilabilir. Bir periyodik isaretin sinus ve kosinus fonksiyonlari cinsinden yazilmasi islemine isaretin FURIER SERISIne acilmasi denir. Fiziksel olarak elde edilen butun periyodik isaretler Furier serisine acilabilir. Furier serilerine girmeden once isaretlerin spektrumu kavraminin incelenmesi faydali olacaktır.

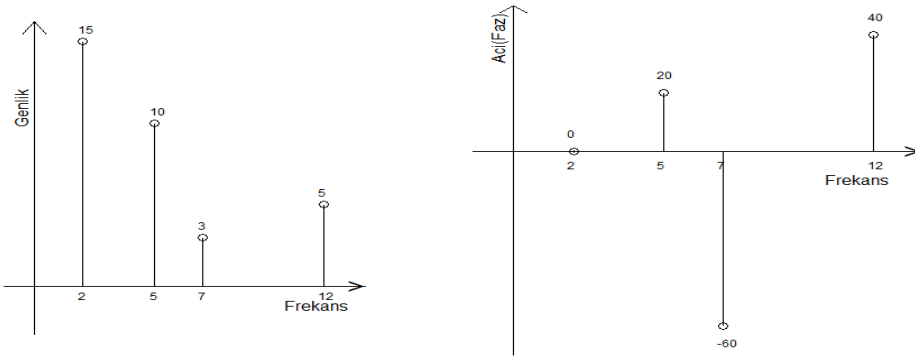
## Sinuzoidal Isaretlerin Spektrumu

$g(t)=A\cos(w_0t+\theta)$  seklindeki bir isarete  $A$  genlik,  $w_0$  acisal frekans  $\theta$  aci(faz)dir. Pratikteki isaretler tek bir sinuzoidal dalgadan degil bircok sinuzoidal dalganin toplamindan meydana gelir. Bu tip isaretleri bir grafikte toplayarak gozlemlemek icin genlikler bir eksende fazlar bir eksende gosterilir. Isaretin fazi icin kosinus'lu terim referans alinir. Yani  $\cos(wt)$  nin fazi 0  $\cos(wt+\theta)$  nin fazi  $\theta$  dir. Sinuslu terimlerin fazi asagida gorulecegi gibi trigonometrik bagintilar kullanilarak kosinuslu terim haline getirilerek bulunur. Kosinuslu terimin fazinin sifir kabul edilmesinin nedeni geleneksel olarak sinuzoidal terimleri kompleks duzlemde donen vektorlerden meydana geldiği varsayilarak incelenmesi ve kosinuslu terimi temsil eden vektorlerin baslangic noktasinin reel eksen olmasidir.

### Tek Tarafli Spektrum

Yukarida anlatilana gore

$g(t)=15\cos(2t)+10\cos(5t+20)+3\cos(7t-60)+5\cos(12t+40)$  isaretinin spektrumu sekil(xz23) deki gibi olacaktır.



Sekil(xz23)  $g(t)=15\cos(2t)+10\cos(5t+20)+3\cos(7t-60)+5\cos(12t+40)$  isaretinin tek tarafli spektrumu

$g(t)$ 'nin icinde sinuslu terim varsa, bazi terimler negatif ise asagidaki bagintilar kullanilarak butun terimler pozitif ve sadece kosinus terimlerini icerir eder hale getirilir.

$$\cos(-x)=\cos(x)$$

$$\sin(-x)=-\sin(x)$$

$$\sin(x)=\cos(90-x)=\cos(x-90)$$

$$-\sin(x)=\sin(-x)=\cos(90+x)=\cos(x+90)$$

$$-\cos(x)=\cos(x-180)=\cos(x+180)$$

$$\cos(x+y)=\cos(x)\cos(y)-\sin(x)\sin(y)$$

$$\sin(x+y)=\sin(x)\cos(y)+\sin(y)\sin(x)$$

$g(t)$  nin icinde ayni frekansda sinus ve kosinuslu terimler varsa

$$A\cos(x)+B\sin(x)=\sqrt{A^2+B^2}\cos(x-\theta), \quad \theta=\tan^{-1}(B/A)$$

trigonometrik bagintilar yardimiyla tek bir terim haline getirilir. Yukaridaki bagintida  $\tan^{-1}(B/A)$  ifadesini hesaplarken  $A$  ve  $B$  nin isaretlerine dikkat etmek lazimdir. ozellikle

$$\tan^{-1}(B/A) \neq \tan^{-1}((-B)/(-A))$$

$$\tan^{-1}((-B)/A) \neq \tan^{-1}(B/(-A))$$

oldugu gozden kacirilmamalidir.

Ornek olarak asagidaki numerik ifadeleri inceleyiniz.

$$3\cos(20t)+4\sin(20t)=\sqrt{(3^2+4^2)}\cos(20t-\arctg(4/3))=5\cos(20t-53.1)$$

$$-3\cos(20t) + 4\sin(20t) = 5\cos(20t - \arctg(4/(-3))) = 5\cos(20t - (180 - 53.1)) = 5\cos(20t - 126.9)$$

$$-3\cos(20t) - 4\sin(20t) = 5\cos(20t - \arctg((-4)/(-3))) = 5\cos(20t - (180 + 53.1)) = 5\cos(20t - 233.13)$$

$$3\cos(20t) - 4\sin(20t) = 5\cos(20t - \arctg((-4)/3)) = 5\cos(20t - (360 - 53.1)) = 5\cos(20t - 306.9)$$

Ayrıca  $\cos(x) = \cos(x+360) = \cos(x-360)$  bağıntısı kullanılarak  $\cos(20t - 306.9) = \cos(20t + 53.1)$  ve  $\cos(20t - 233.13) = \cos(20t + 127)$  elde edilir. işaretin fazı  $-180$   $+180$  arasında incelenir.

**Ornek Problem:** Aşağıdaki ifadeleri kosinüsle terime çevirin.

- a)  $\sin(2t+125)$  b)  $-\sin(5t)$  c)  $-\sin(7t+60)$  d)  $-\sin(9t-30)$  e)  $-\cos(7t)$  f)  $-\cos(7t-50)$   
g)  $3\sin(2t)+6\cos(2t)$  h)  $3\sin(2t)-6\cos(2t)$  j)  $-3\sin(2t)+6\cos(2t)$  k)  $-3\sin(2t)-6\cos(2t)$   
m)  $2\sin(2t+30)+3\cos(2t+60)$

**Cevaplar**

a)  $\sin(2t+125) = \cos(2t+125-90) = \cos(2t+35)$

b)  $-\sin(5t) = \cos(5t+90)$

c)  $-\sin(7t+60) = \cos(7t+60+90) = \cos(7t+150)$

d)  $-\sin(9t-30) = \cos(9t-30+90) = \cos(9t+60)$

e)  $-\cos(7t) = \cos(7t+180)$

f)  $-\cos(7t-50) = \cos(7t-50+180) = \cos(7t+130)$

$$\sqrt{3^2 + 6^2} = \sqrt{45} = 6.7, \quad \tan^{-1}(3/6) = 26.5, \quad \tan^{-1}(-3/6) = -26.5, \quad \tan^{-1}(3/-6) = 180 - 26.5 = 153.5$$

$$\tan^{-1}(-3/-6) = 180 + 26.5 = 206.5$$

g)  $3\sin(2t)+6\cos(2t) = 6.7\cos(2t-26.5)$

h)  $3\sin(2t)-6\cos(2t) = 6.7\cos(2t+153.5)$

j)  $-3\sin(2t)+6\cos(2t) = 6.7\cos(2t+26.5)$

k)  $-3\sin(2t)-6\cos(2t) = 6.7\cos(2t+206.5) = 6.7\cos(2t-153.5)$

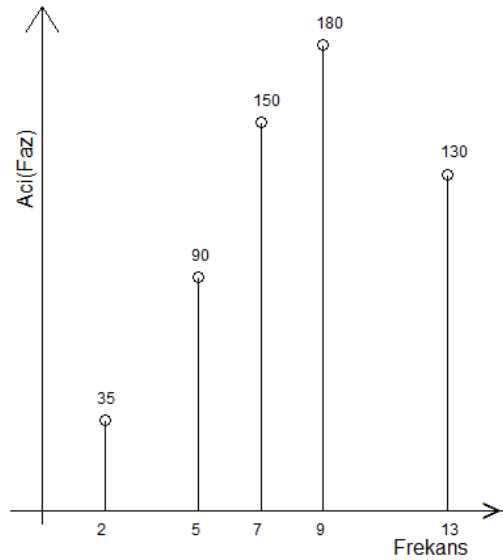
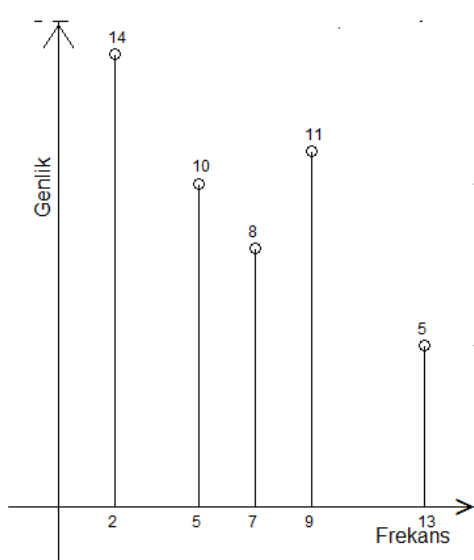
m)  $2\sin(2t+30)+3\cos(2t+60)$

**Ornek Problem:**  $g(t) = 14\sin(2t+125) - 10\sin(5t) - 8\sin(7t+60) - 11\cos(9t) - 5\cos(13t-50)$  ifadesinin spektrumunu çizin.

Çözüm: Yukarıdaki ifadeler yerlerine konulursa

$$g(t) = 14\cos(2t+35) + 10\cos(5t+90) + 8\cos(7t+150) + 11\cos(9t+180) + 5\cos(13t+130)$$

elde edilir.



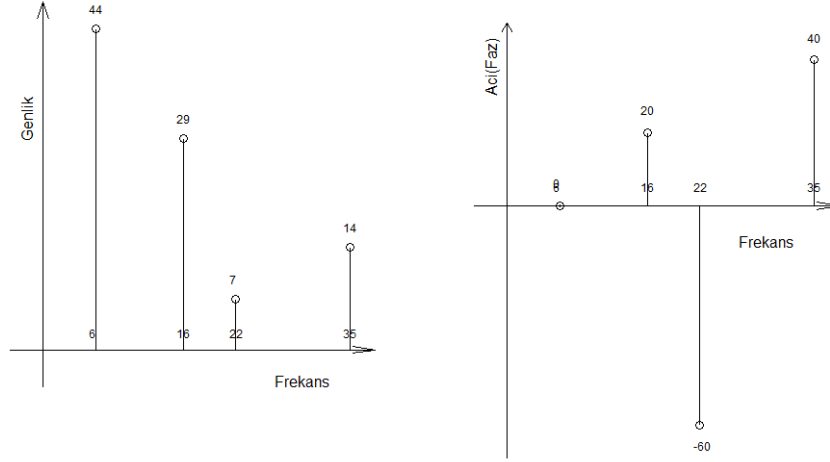


## Cift Tarafli Spektrum

Sinus ve kosinusterimleri ustel formda yazilarak cift tarafli spektrum elde edilir. Cift tarafli spektrum matematik islemlerin daha kolay yapilmasini saglar.  $g(t) = Ae^{j(w_0t+\theta)}$  seklindeki bir ifadede  $A$  genlik,  $w_0$  acisal frekans,  $\theta$  fazi gosterir. ornek olarak

$$g(t) = 44e^{j6t} + 29e^{j(16t+20)} + 7e^{j(22t-60)} + 14e^{j(35t+40)}$$

isaretinin spektrumu sekil(ref: xz26) daki gibidir.



“xz26  $g(t) = 44e^{j6t} + 29e^{j(16t+20)} + 7e^{j(22t-60)} + 14e^{j(35t+40)}$  isaretinin spektrumu

Isaret sinuzoidal formda verilmisse

$$\cos(wt) = \frac{e^{jwt} + e^{-jwt}}{2} \quad \sin(wt) = \frac{e^{jwt} - e^{-jwt}}{2j}$$

#

bagintilari kullanilarak sinus ve kosinuslu terimler ustel hale getirilir ve spektrum çizilir.

$g(t) = 15 \cos(2t) + 10 \cos(5t + 20) + 3 \cos(7t - 60) + 5 \cos(12t + 40)$  isaretinin cift tarafli spektrumunu cizin.

Sinuzoidal terimleri ustel hale getirelim.

$$\cos(2t) = \frac{e^{j2t} + e^{-j2t}}{2}$$

$$\cos(5t + 20) = \frac{e^{j(5t+20)} + e^{-j(5t+20)}}{2}$$

$$\cos(7t - 60) = \frac{e^{j(7t-60)} + e^{-j(7t-60)}}{2}$$

$$\cos(12t + 40) = \frac{e^{j(12t+40)} + e^{-j(12t+40)}}{2}$$

$$g(t) = 15 \cos(2t) + 10 \cos(5t + 20) + 3 \cos(7t - 60) + 5 \cos(12t + 40)$$

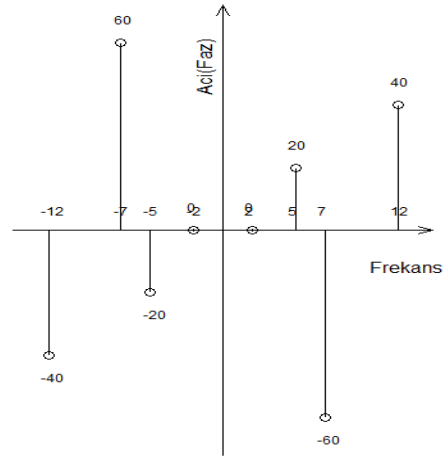
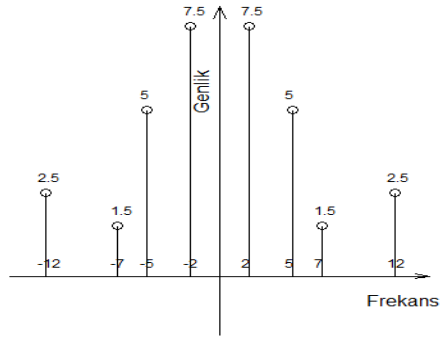
$$= 15 \frac{e^{j2t} + e^{-j2t}}{2} + 10 \frac{e^{j(5t+20)} + e^{-j(5t+20)}}{2} + 3 \frac{e^{j(7t-60)} + e^{-j(7t-60)}}{2}$$

$$+ 5 \frac{e^{j(12t+40)} + e^{-j(12t+40)}}{2}$$

$$= 2.5e^{-j(12t+40)} + 1.5e^{-j(7t-60)} + 5e^{-j(5t+20)} + 7.5e^{-j2t}$$

$$+ 7.5e^{j2t} + 5e^{j(5t+20)} + 1.5e^{j(7t-60)} + 2.5e^{j(12t+40)}$$

Onceki ornekte oldugu gibi spektrum çizilir.

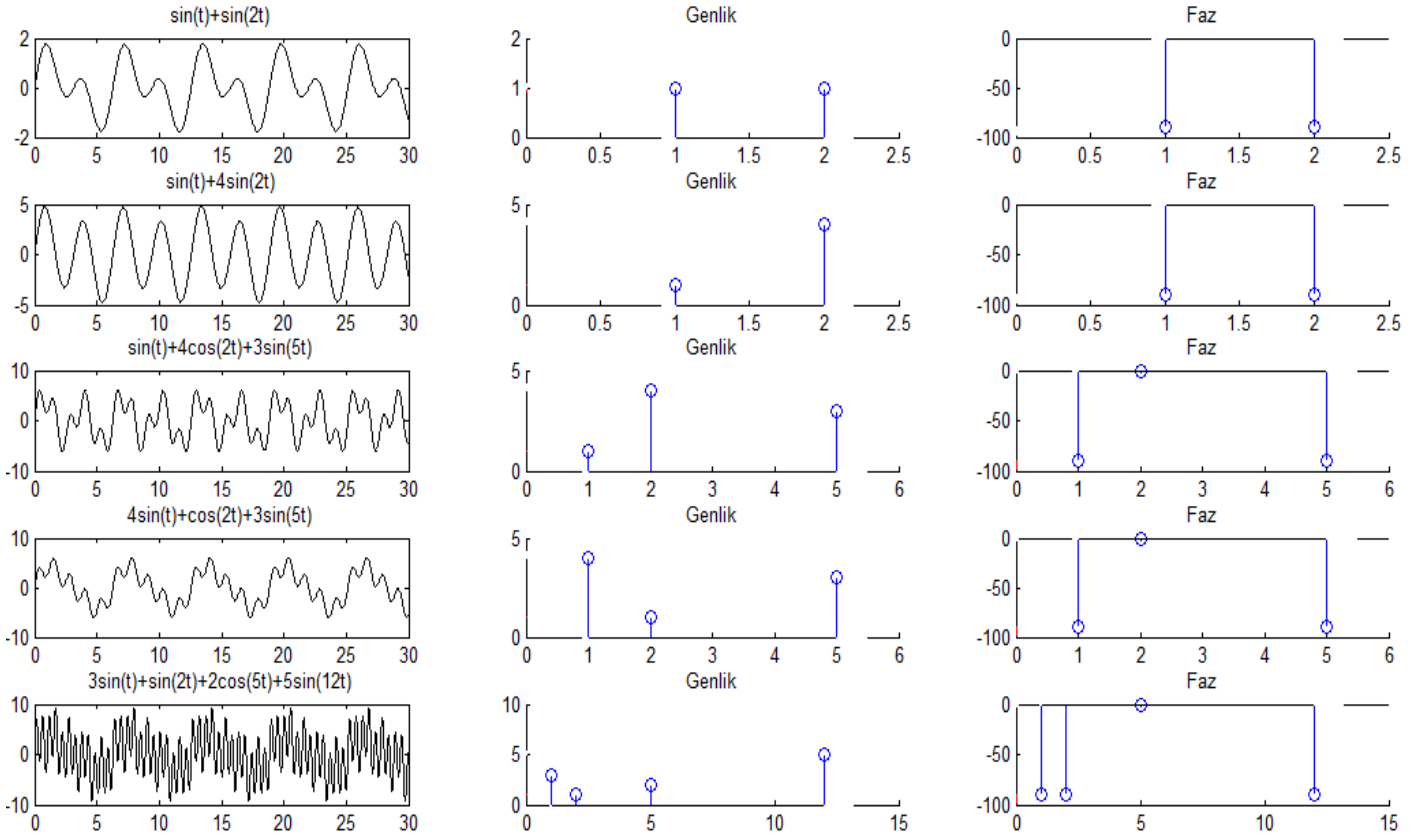


Sekil(xz27)  $g(t) = 15 \cos(2t) + 10 \cos(5t + 20) + 3 \cos(7t - 60) + 5 \cos(12t + 40)$  isaretinin çift taraflı spektrumu

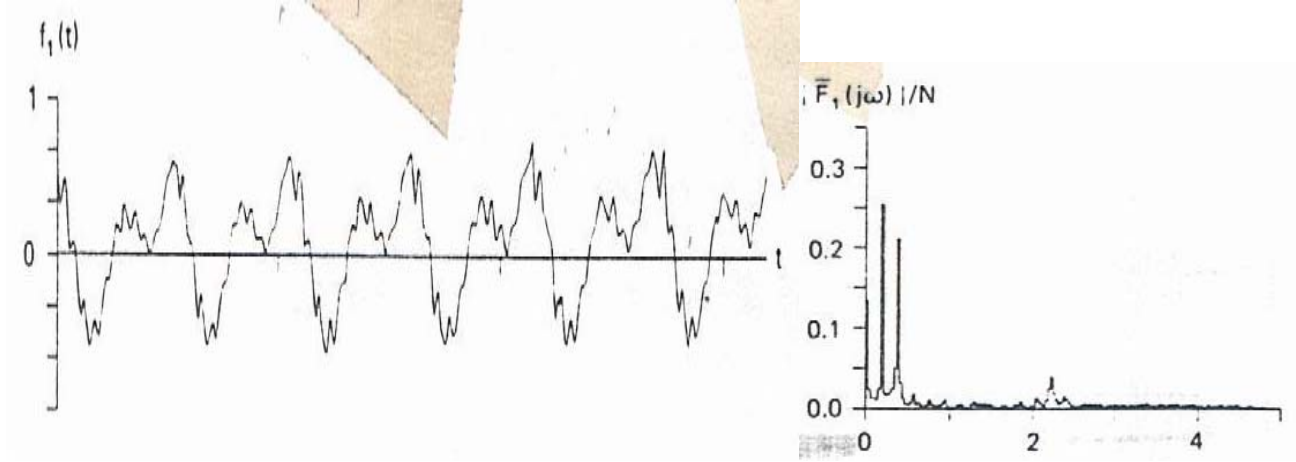
Sekil (ref: xz23) deki tek taraflı spektrum ile sekil (ref: xz27) deki çift taraflı spektrum arasında görülen ilişki aciktir. çift taraflı spektrumda genlikler yariya inmistir ve spektrum çift smetriye sahiptir. Faz spektrumu ise tek simetriye sahiptir.

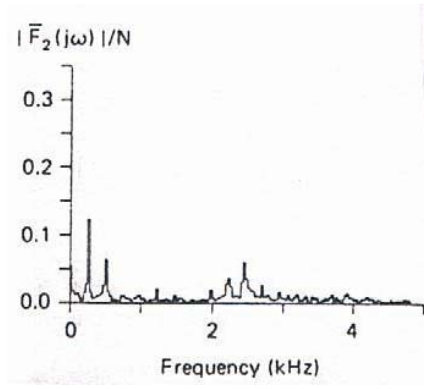
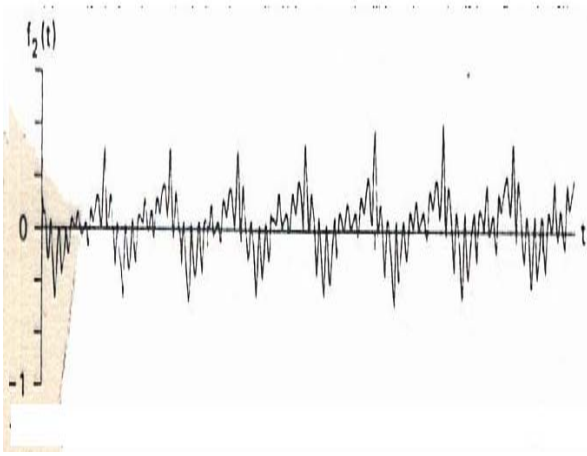
## Isaretlerin Sinuzoidal Terimlerin Toplami Cinsinden Ifade Edilmesi, Furier Serileri

Bir oncesi bolumde periyodik bir isaretin bazi istisnalar disinda sinuzoidal bileşenler cinsinden yazilabilecegini gormustuk.  $a_1, a_2, \dots, a_k, b_1, b_2, \dots, b_k$  katsayilarinin hesabina baslamadan once periyodik isaretin sinuzoidal terimlerin toplami cinsinden yazilmasi ne ise yarar bir ornek uzerinde kisaca inceleyelim. Pratikte olculen isaretler zaman domenindedir. Zaman domenindeki isaretlerin incelenmesi ve yorumlanmasi zor hatta cogu kere imkansizdir. Asagida sinuzoidal isaretlerin zaman domeninde ve frekans domeninde grafikleri verilmistir.

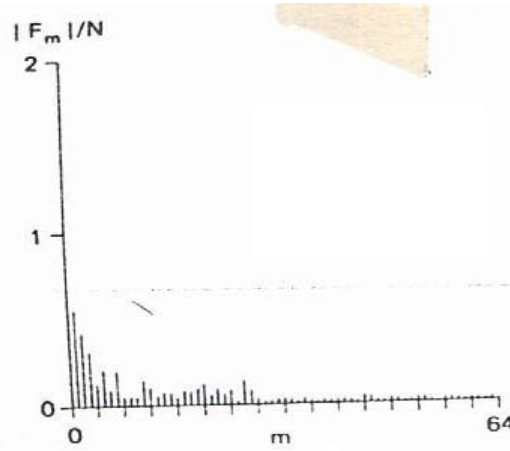
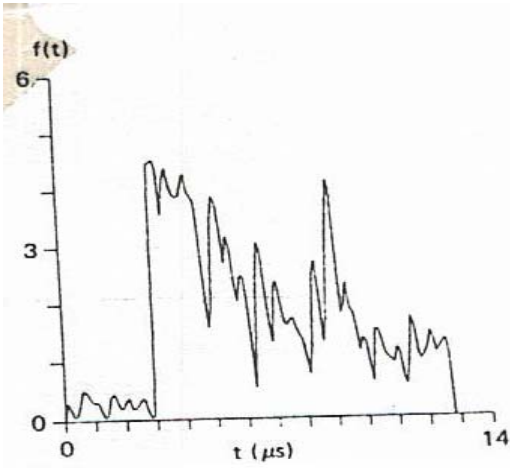


Isaretlerin zaman domenindeki grafiklerine bakarak isaretin icinde hangi sinuzoidal bileşenler var bulmamiz imkansiz. Halbuki isaretin spektrumuna bakarak isaret hakkında kolayca bilgi sahibi olabiliriz.



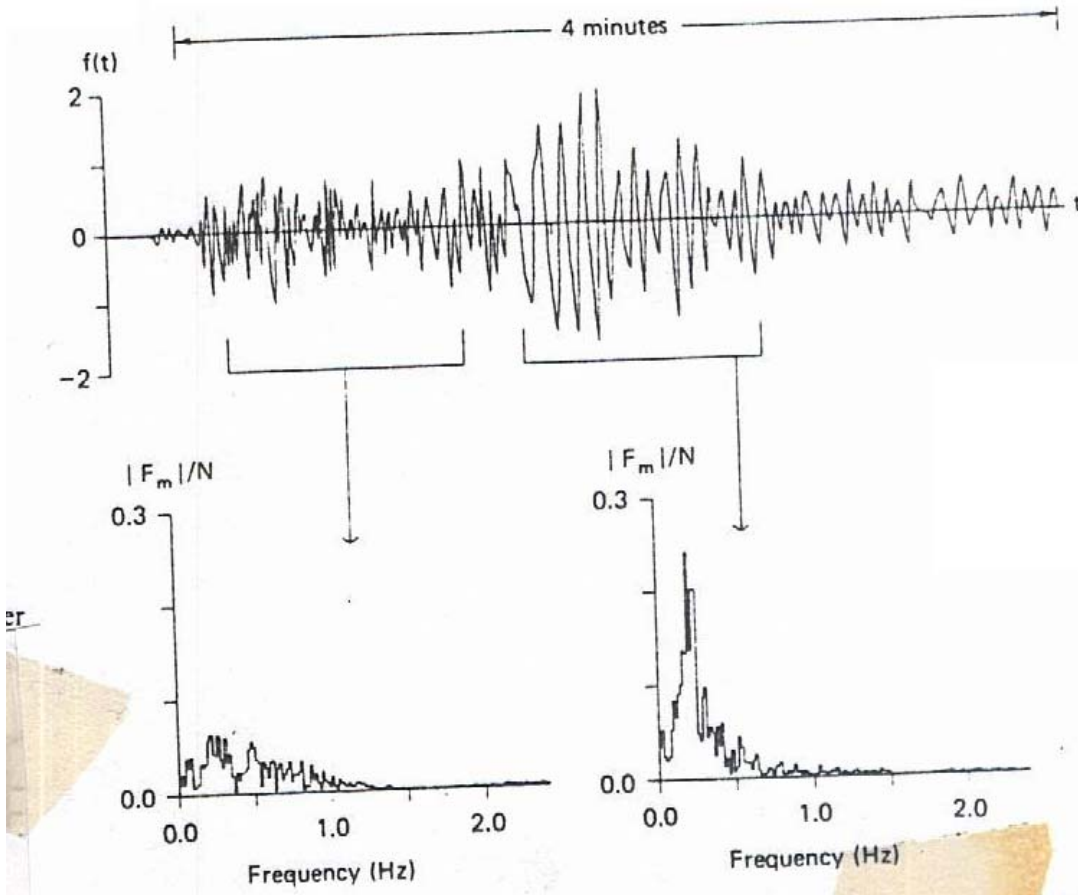


Eee sesinin bir adam ve bir cocuk tarafından soylemesi ve bu seslerin spektrumu



Radar echo pulse and its amplitude spectrum. Sampling interval  $T = 100$  ns;  $N = 128$ .

Radar isareti ve spektrumu



**Figure 5.26** Seismic waveform with spectra of two different segments. Time step  $T = 0.1$   
 $N = 512$  for each spectrum.

Deprem esnasında ölçülen titreşim ve spektrumu.

Görüldüğü gibi zaman domenindeki verilere bakarak bir yorum yapılamazken, spektrumlarına bakarak yorum yapmak çok daha kolay olmaktadır.

**Spektrum nedir nasıl elede edilir.**

## Furier Serisi Katsayilarinin Hesabi

( ref: xA1) bagintisi geregi periyodik bir  $g(t)$  isaretinin

$g(t) = a_0 + \sum_{p=1}^k [a_p \cos pw_0 t + b_p \sin pw_0 t]$  seklinde yazilabilecegini gormustuk.

$(A \cos x + B \sin x = \sqrt{A^2 + B^2} \cos(x - \theta), \quad \theta = \tan^{-1} \frac{b_p}{a_p}$  bagintisi uyarınca  $g(t)$

isareti

$$= a_0 + \sum_{p=1}^k d_p \cos(pw_0 t - \theta_p)$$

sekinde yazilabilir. burada  $d_p = \sqrt{a_p^2 + b_p^2}$ ,  $\theta_p = \tan^{-1} \frac{b_p}{a_p}$  seklinde dir.

Bu bolumde  $a_0, a_1, a_2, \dots, a_k, b_1, b_2, \dots, b_k$  katsayilarinin nasil hesaplanagi aciklanacaktır.

Asagidaki belirli integrallerin hesabi kısmi integrasyon yontemiyle integraller kolayca yapilabilir.

Problem(xz761) re bakiniz. Burada  $w_0 = \frac{2\pi}{T_0}$  ve  $k, n$  tamsayidir.

$$\int_{t_0}^{t_0+T_0} \cos(kw_0 t) \cos(nw_0 t) dt = \begin{cases} 0 & k \neq n \\ \frac{T_0}{2} & k = n \end{cases} \quad \text{s1}$$

$$\int_{t_0}^{t_0+T_0} \sin(kw_0 t) \sin(nw_0 t) dt = \begin{cases} 0 & k \neq n \\ \frac{T_0}{2} & k = n \end{cases} \quad \text{s2}$$

$$\int_{t_0}^{t_0+T_0} \sin(kw_0 t) \cos(nw_0 t) dt = 0 \quad \text{s3}$$

$$\int_{t_0}^{t_0+T_0} \sin(kw_0 t) dt = 0 \quad \text{s4}$$

$$\int_{t_0}^{t_0+T_0} \cos(kw_0 t) dt = 0 \quad \text{s5}$$

(ref: xA1) esitliginin her iki tarafini  $t_0, T_0$  araliginda integralini alalim.

$$\begin{aligned} \int_{t_0}^{t_0+T_0} g(t) dt &= \int_{t_0}^{t_0+T_0} a_0 dt + \int_{t_0}^{t_0+T_0} \sum_{n=1}^k \{a_n \cos(nw_0 t) + b_n \sin(nw_0 t)\} dt \\ &= \int_{t_0}^{t_0+T_0} a_0 dt + \sum_{n=1}^k \left\{ \int_{t_0}^{t_0+T_0} a_n \cos(nw_0 t) dt + \int_{t_0}^{t_0+T_0} b_n \sin(nw_0 t) dt \right\} \end{aligned}$$

Toplam isaretinin icindeki integraller (ref: s4) ve (ref: s5) bagintilarindan dolayi sifirdir. Dolayisiyla

$$\int_{t_0}^{t_0+T_0} a_0 dt = a_0 t \Big|_{t_0}^{t_0+T_0} = a_0 T_0 \quad \rightarrow \quad \int_{t_0}^{t_0+T_0} g(t) dt = a_0 T_0$$

olacaktır. Sonuc olarak  $a_0$  katsayisi

$$a_0 = \frac{1}{T_0} \int_{t_0}^{t_0+T_0} g(t) dt$$

s56

sekinde hesaplanabilir.

(ref: xA1) esitliginin her iki tarafini  $\cos(pw_0 t)$  ile carpip her iki tarafi  $t_0, t_0 + T_0$  arasinda integre edelim.

$$\begin{aligned} \int_{t_0}^{t_0+T_0} g(t) \cos(pw_0 t) dt &= \int_{t_0}^{t_0+T_0} a_0 \cos(pw_0 t) dt + \int_{t_0}^{t_0+T_0} a_1 \cos(w_0 t) \cos(pw_0 t) dt \\ &+ \int_{t_0}^{t_0+T_0} a_2 \cos(2w_0 t) \cos(pw_0 t) dt + \dots + \int_{t_0}^{t_0+T_0} a_p \cos(pw_0 t) \cos(pw_0 t) dt + \dots \\ &+ \int_{t_0}^{t_0+T_0} a_k \cos(kw_0 t) \cos(pw_0 t) dt + \int_{t_0}^{t_0+T_0} b_1 \sin(w_0 t) \cos(pw_0 t) dt \end{aligned}$$

$$\begin{aligned}
& + \int_{t_0}^{t_0+T_0} b_2 \sin(2w_0t) \cos(pw_0t) dt + \dots + \int_{t_0}^{t_0+T_0} b_p \sin(pw_0t) \cos(pw_0t) dt + \dots \\
& + \int_{t_0}^{t_0+T_0} b_k \sin(kw_0t) \cos(pw_0t) dt
\end{aligned} \tag{s21}$$

Estiligin sag tarafindaki birinci integral (ref: s5) esitliginden dolayi sifirdir.  $a_m \cos(pw_0t) \cos(pw_0t)$  li terim haric diger integraller de (ref: s1), (ref: s2) ve (ref: s3) esitligi geregi ( $k \neq n$  sikki) sifirdir. Kalan terim ise (ref: s1) esitligi geregi ( $k = n$  sikki)

$$\int_{t_0}^{t_0+T_0} a_p \cos(pw_0t) \cos(pw_0t) dt = a_p \frac{T_0}{2}$$

olacaktır. Dolayisiyla (ref: s21) esitligi

$$\int_{t_0}^{t_0+T_0} g(t) \cos(pw_0t) dt = a_p \frac{T_0}{2}$$

veya

$$a_p = \frac{2}{T_0} \int_{t_0}^{t_0+T_0} g(t) \cos(pw_0t) dt$$

s57

sekinde yazilabilir. Sonuc olarak  $a_1, a_2, \dots, a_n$  katsayilari yukaridaki formuldeki gibi hesaplanabilir. Simdi (ref: xA1) esitliginin her iki tarafini  $\sin(pw_0t)$  ile carpip her iki tarafi  $t_0, t_0 + T_0$  arasinda integre edelim.

$$\begin{aligned}
& \int_{t_0}^{t_0+T_0} g(t) \sin(pw_0t) dt = \int_{t_0}^{t_0+T_0} a_0 \sin(pw_0t) dt + \int_{t_0}^{t_0+T_0} a_1 \cos(w_0t) \sin(pw_0t) dt \\
& + \int_{t_0}^{t_0+T_0} a_2 \cos(2w_0t) \sin(pw_0t) dt + \dots + \int_{t_0}^{t_0+T_0} a_p \cos(pw_0t) \sin(pw_0t) dt + \dots \\
& + \int_{t_0}^{t_0+T_0} a_k \cos(kw_0t) \sin(pw_0t) dt + \int_{t_0}^{t_0+T_0} b_1 \sin(w_0t) \sin(pw_0t) dt \\
& + \int_{t_0}^{t_0+T_0} b_2 \sin(2w_0t) \sin(pw_0t) dt + \dots + \int_{t_0}^{t_0+T_0} b_p \sin(pw_0t) \sin(pw_0t) dt + \dots \\
& + \int_{t_0}^{t_0+T_0} b_k \sin(kw_0t) \sin(pw_0t) dt
\end{aligned} \tag{s25}$$

Yukaridakine benzer sekilde esitligin sag tarafindaki integraller  $a_p \sin(pw_0t) \sin(pw_0t)$  li terim haric diger elemanlar sifir olacaktır. Bu yuzden (ref: s25) esitligi

$$\int_{t_0}^{t_0+T_0} g(t) \sin(pw_0t) dt = b_p \frac{T_0}{2}$$

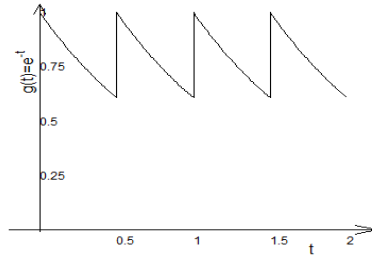
sekinde yazilabilir. Dolayisiyla  $b_p$  katsayilari

$$b_p = \frac{2}{T_0} \int_{t_0}^{t_0+T_0} g(t) \sin(pw_0t) dt$$

s26

sekinde hesaplanabilir.

**Sekil(ref: xz45) deki  $g(t)$  isaretinin Furier serisi katsayilarini hesaplayn.**



Sekil(xz45) Periyodik  $g(t) = e^{-t}$  isareti.

Sekilden goruldugu gibi isaretin periyodu  $T_0 = \frac{1}{2}$  frekansi  $f_0 = \frac{1}{T_0} = 2$  acisal frekansi  $w_0 = 2\pi f = 4\pi = 12.56$  dir.

$$a_0 = \frac{1}{T_0} \int_{t_0}^{t_0+T_0} g(t)dt = \frac{1}{T_0} \int_0^{T_0} g(t)dt = 2 \int_0^{1/2} e^{-t} dt$$

$$= 2[-e^{-t}]_0^{1/2} = 2(-e^{-1/2} - (-e^{-0})) = 2(-0.606 + 1) = 0.79$$

benzer sekilde  $a_p$  ve  $b_p$  katsayilari da hesaplanir.

$$\int e^{ax} \sin bx dx = \frac{e^{ax}}{a^2 + b^2} (a \sin bx - b \cos bx)$$

$$\int e^{ax} \cos bx dx = \frac{e^{ax}}{a^2 + b^2} (a \cos bx + b \sin bx)$$

$$a_p = \frac{2}{T_0} \int_0^{1/2} e^{-t} \cos pw_0 t dt = \frac{2}{T_0} \frac{1}{1 + p^2 w_0^2} e^{-t} [(-\cos pw_0 t + pw_0 \sin pw_0 t)]_0^{0.5}$$

$$= \frac{2}{0.5} \frac{1}{1 + p^2 (4\pi)^2} e^{-t} [(-\cos p4\pi t + p4\pi \sin p4\pi t)]_0^{0.5}$$

$$= \frac{4}{1 + p^2 (4\pi)^2} \left\{ \begin{array}{l} e^{-0.5} [(-\cos p4\pi 0.5 + p4\pi \sin p4\pi 0.5)] - \\ e^{-0} [(-\cos p4\pi 0 + p4\pi \sin p4\pi 0)] \end{array} \right\}$$

$$= \frac{4}{1 + p^2 (4\pi)^2} \{ e^{-0.5} [-1 + 0] - e^{-0} [(-1 + 0)] \}$$

$$= \frac{4}{1 + p^2 (4\pi)^2} \{-e^{-0.5} + 1\} = \frac{1.57}{1 + p^2 (4\pi)^2}$$

$$b_p = \frac{2}{T_0} \int_0^{1/2} e^{-t} \sin pw_0 t dt = \frac{2}{T_0} \frac{1}{1 + p^2 w_0^2} e^{-t} [(-\sin pw_0 t - pw_0 \cos pw_0 t)]_0^{0.5}$$

$$= \frac{2}{0.5} \frac{1}{1 + p^2 (4\pi)^2} e^{-t} [(-\sin p4\pi t - pw_0 \cos p4\pi t)]_0^{0.5}$$

$$= \frac{4}{1 + p^2 (4\pi)^2} \left\{ \begin{array}{l} e^{-0.5} [(-\sin p4\pi 0.5 - p4\pi \cos p4\pi 0.5)] - \\ e^{-0} [(-\sin p4\pi 0 - p4\pi \cos p4\pi 0)] \end{array} \right\}$$

$$= \frac{4}{1 + p^2 (4\pi)^2} \{ e^{-0.5} [-0 - p4\pi] - e^{-0} [(-0 - p4\pi)] \}$$

$$= \frac{4}{1 + p^2 (4\pi)^2} \{-e^{-0.5} p4\pi + p4\pi\} = \frac{4 \cdot 4\pi p (1 - e^{-0.5})}{1 + p^2 (4\pi)^2} = \frac{6.32\pi p}{1 + p^2 (4\pi)^2}$$



$$p=1, \text{ için } a_1 = \frac{1.58}{1+p^2 16\pi^2} = \frac{1.58}{1+1^2 \cdot 16 \cdot 3.14^2} = 0.009$$

$$b_1 = \frac{6.32\pi p}{1+p^2 16\pi^2} = \frac{6.32 \cdot 3.14 \cdot 1}{1+1^2 \cdot 16 \cdot 3.14^2} = 0.124$$

$$p=2, \text{ için } a_2 = \frac{1.58}{1+p^2 16\pi^2} = \frac{1.58}{1+2^2 \cdot 16 \cdot 3.14^2} = 0.002$$

$$b_2 = \frac{6.32\pi p}{1+p^2 16\pi^2} = \frac{6.32 \cdot 3.14 \cdot 2}{1+2^2 \cdot 16 \cdot 3.14^2} = 0.062$$

p=3,4,5... için hesaplanıp tablo yapalım.

| p     | 0    | 1     | 2     | 3     | 4      | 5      | 6      | 7      | 8      | 9      |
|-------|------|-------|-------|-------|--------|--------|--------|--------|--------|--------|
| $a_p$ | 0.79 | 0.009 | 0.002 | 0.001 | 0.0006 | 0.0004 | 0.0003 | 0.0002 | 0.0002 | 0.0001 |
| $b_p$ | 0    | 0.124 | 0.062 | 0.042 | 0.031  | 0.025  | 0.021  | 0.018  | 0.016  | 0.014  |

Tablo(xt54)  $g(t) = e^{-t}$  fonksiyonuna ilişkin Furier serisi katsayıları

$$\begin{aligned} g(t) &= a_0 + \sum_{p=1}^k [a_p \cos pw_0t + b_p \sin pw_0t] \\ &= a_0 + a_1 \cos w_0t + b_1 \sin w_0t + a_2 \cos 2w_0t + b_2 \sin 2w_0t + a_3 \cos 3w_0t + b_3 \sin 3w_0t + \dots \\ &= 0.79 + 0.009 \cos 12.56t + 0.124 \sin 12.56t + 0.002 \cos 25.13t + 0.062 \sin 25.13t \\ &\quad + 0.001 \cos 37.7t + 0.042 \sin 37.7t + \dots \end{aligned}$$

Aynı frekansdaki terimleri birlestirelim.  $[A \cos x + B \sin x = \sqrt{A^2 + B^2} \cos(x - \theta), \quad \theta = \tan^{-1} \frac{b_p}{a_p}]$

$$0.009 \cos 12.56t + 0.124 \sin 12.56t = \sqrt{0.009^2 + 0.124^2} \cos(12.56t - \tan^{-1} \frac{0.124}{0.009})$$

$$= 0.125 \cos(12.56t - 85)$$

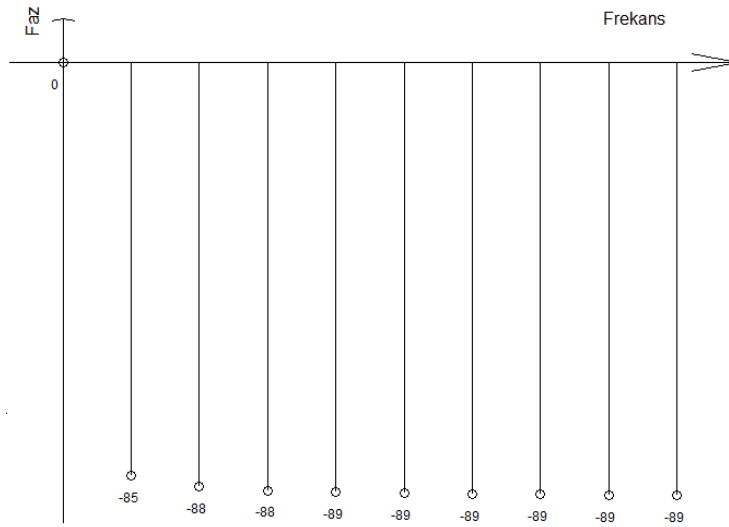
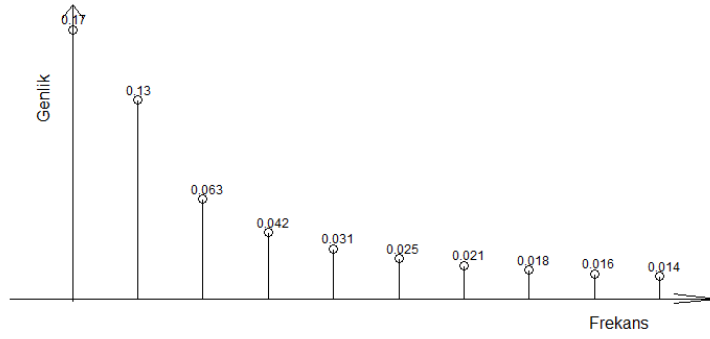
$$0.002 \cos 25.13t + 0.062 \sin 25.13t = 0.06 \cos(25.13t - 87)$$

$$0.001 \cos 37.7t + 0.0419 \sin 37.7t = 0.0419 \cos(37.7t - 88)$$

bu şekilde devam edilirse

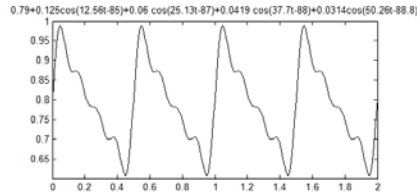
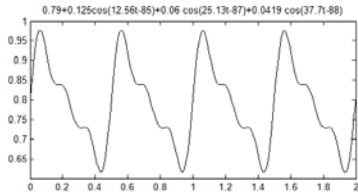
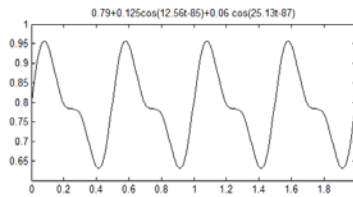
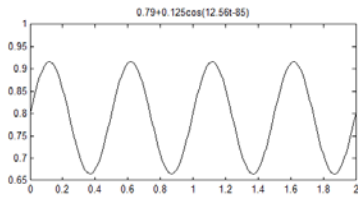
$$\begin{aligned} g(t) &= 0.79 + 0.125 \cos(12.56t - 85) + 0.06 \cos(25.13t - 87) + 0.0419 \cos(37.7t - 88) \\ &\quad + 0.0314 \cos(50.26t - 88.8) + 0.0251 \cos(62.83t - 89) + 0.021 \cos(75.39t - 89.2) \\ &\quad + 0.018 \cos(87.96t - 89.3) + 0.015 \cos(100.8t - 89.4) + 0.014 \cos(113t - 89.5) + \dots \end{aligned}$$

elde edilir. Bu  $g(t)$  isaretinin spektrumunu çizelim.

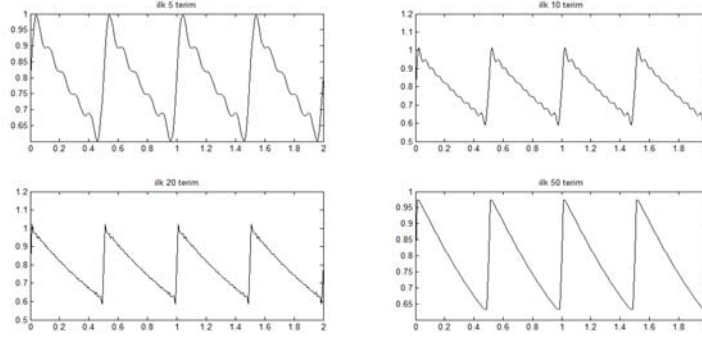


Sekil(xz46)  $g(t) = e^{-t}$  ( $0 < t < 0.5$  ile periyodik) isaretinin genlik ve faz spektrumu

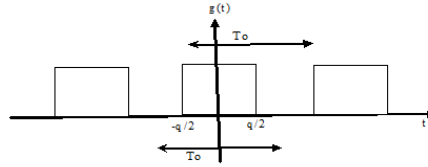
Burada sadece ilk 9 bileşen çizilmiştir. Grafik sonsuza kadar gitmektedir. Bu spektrum ne anlama gelir. Şimdi bunun üzerinde duralım. Biz  $g(t) = e^{-t}$  işaretini Fourier serisine aktık ve elde ettiğimiz seriden tekrar  $g(t) = e^{-t}$  fonksiyonunu elde etmeye çalışıyoruz. Şekil(xz49)da ilk iki terim, ilk üç terim, ilk dört terim olarak  $g(t) = e^{-t}$  fonksiyonunu elde etmeye çalıştık. Kabaca göz kararı ile yaptığımızda ilk dört terimi alınca elde ettiğimiz fonksiyon  $g(t) = e^{-t}$  ya benzemeye başladı. Bu şekilde devam ederek ilk 5 terim, ilk 10, 20, 50 terim olarak fonksiyon şekil(xz51) de çizilmiştir.



Sekil(xz49)  $g(t) = e^{-t}$  isaretinin Furier Serisinden elde edilmesi.



Sekil(xz51) Furier Serisinde daha cok terim alarak  $g(t) = e^{-t}$  nin elde edilmesi.  
Ornek Problem Sekil(ref: cx1) deki dikdortgen darbe katarinin Furier serisi katsayilarini hesaplayin



Sekil(cx1) Dikdortgen darbe katari  
Sekilden goruldugu gibi isaretin periyodu  $T_0$  frekansi  $f_0 = \frac{1}{T_0}$  acisal frekansi  $w_0 = 2\pi f = \frac{2\pi}{T_0}$  dir.

$$\begin{aligned} a_0 &= \frac{1}{T_0} \int_{t_0}^{t_0+T_0} g(t)dt = \frac{1}{T_0} \int_{-T_0/2}^{T_0/2} g(t)dt \\ &= \frac{1}{T_0} \int_{-T_0/2}^{-q/2} 0 dt + \frac{1}{T_0} \int_{-q/2}^{q/2} A dt + \frac{1}{T_0} \int_{q/2}^{T_0/2} 0 dt = 0 + \frac{1}{T_0} \int_{-q/2}^{q/2} A dt + 0 \\ &= \frac{1}{T_0} A t \Big|_{-q/2}^{q/2} = \frac{Aq}{2} \end{aligned}$$

Benzer sekilde

$$\begin{aligned} a_p &= 0 + \frac{2}{T_0} \int_{-q/2}^{q/2} A \cos pw_0 t dt + 0 = \frac{2}{T_0} \frac{1}{p} A \sin pt \Big|_{-q/2}^{q/2} = \frac{2A}{p\pi} \sin \frac{p\pi q}{T_0} \\ b_p &= \frac{2}{T_0} \int_{-q/2}^{q/2} A \sin pw_0 t dt = 0 \end{aligned}$$

veya (ref: a214) deki formda yazarsak

$$\begin{aligned} d_0 &= \frac{Aq}{T_0} \\ d_n &= \frac{2a}{\pi p} \sin \frac{p\pi q}{T_0} \\ \theta_n &= \begin{cases} 0 & n : \text{cift} \\ \pi & n : \text{tek} \end{cases} \end{aligned}$$

Ve  $g(t)$  isareti

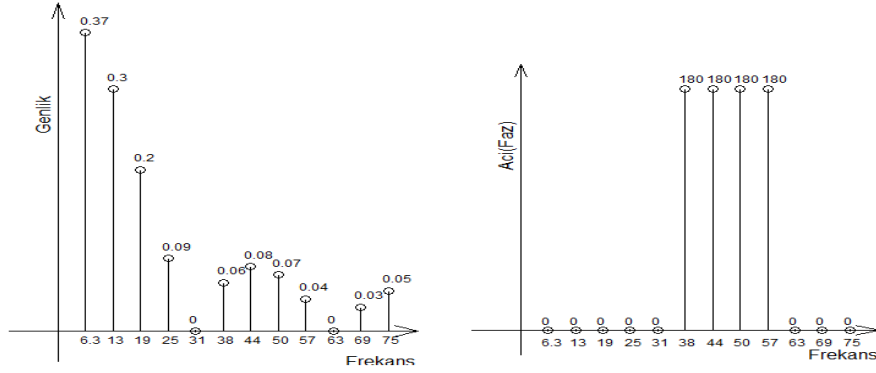
$$g(t) = \frac{Aq}{T_0} + \sum_{n=1}^{\infty} \frac{2a}{\pi p} \sin \frac{p\pi q}{T_0} \cos(pw_0 t)$$

sekinde yazilabilir.

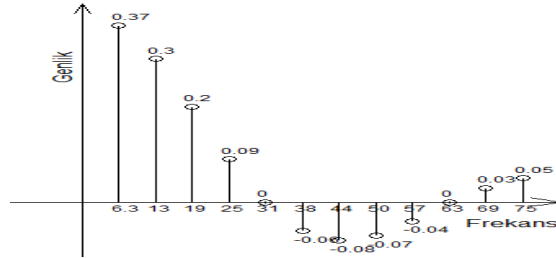
$q = 0.2, T_0 = 1$  haline ilişkin degisik  $p$  degerleri icin  $a_p, d_p, \theta_p$  degerleri tablo(ref: xt65)da verilmistir.

| $p$        | 0   | 1    | 2    | 3    | 4    | 5 | 6     | 7     | 8     | 9     | 10 | 11   | 12   |
|------------|-----|------|------|------|------|---|-------|-------|-------|-------|----|------|------|
| $a_p$      | 0.2 | 0.37 | 0.30 | 0.20 | 0.09 | 0 | -0.06 | -0.08 | -0.07 | -0.04 | 0  | 0.03 | 0.05 |
| $d_p$      | 0.2 | 0.37 | 0.30 | 0.20 | 0.09 | 0 | 0.06  | 0.08  | 0.07  | 0.04  | 0  | 0.03 | 0.05 |
| $\theta_p$ | 0   | 0    | 0    | 0    | 0    | 0 | 180   | 180   | 180   | 180   | 0  | 0    | 0    |

Tablo(xt65) Dikdortgen darbe katarina ilişkin Furier serisi katsayilari

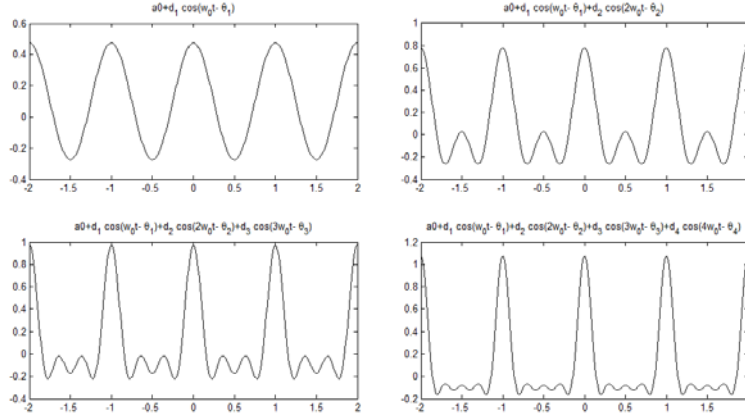


Sekil(xz21)Dikdortgen darbe katarina ilişkin genlik ve faz spektrumu

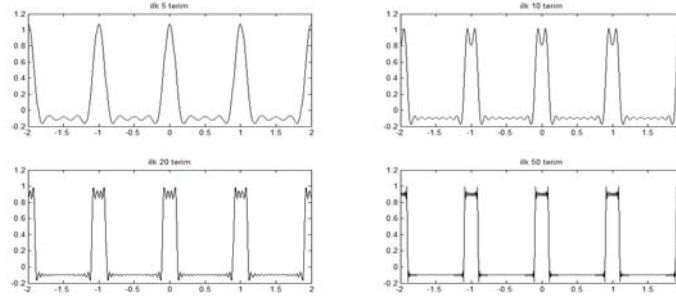


Sekil(xz22) (Genlik ve faz beraber) tek eksenle çizilmiş spektrum

Goruldugu gibi  $g(t)$  nin fazi  $\theta_n$  ya sifir veya  $180^0$  olmaktadır. Bu gibi durumlarda  $g(t)$  nin genligini ve fazini ayri ayri grafiklerde gostermek yerine tek grafikte gosterilebilir. Yani  $a_p$  nin  $p$  ye gore degisimi cizilerek  $g(t)$  nin spektrumu incelenebilir. Sekil(ref: xz21) genlik ve faz spektrumu ayri ayri çizilmiş. Sekil(ref: xz22) de  $g(t)$  nin spektrumu tek grafikte gosterilmiştir.



Sekil(xz56)Dikdortgen darbe katarinin furier serisinden elde edilmesi  $q=0.2, T_0=1$



Sekil(xz57)Dikdortgen darbe katarinin furier serisinden elde edilmesi

Ozel Durumlar

1.)  $g(t)$  tek fonksiyon ise:

Eger  $g(t)$  tek fonksiyon ise yani

$$g(t) = -g(-t)$$

#

ozelligini sagliyorsa

$$\int_{-x}^x g(t) dt = 0$$

olur ve (ref: s57) ile verilen integral sifir olur. Ayrica (ref: s26) integralini  $0 - 2\pi$  araliginda hesaplamak yerine  $0 - \pi$  araliginda hesaplayip iki kati alinarak basitlestirme yapılabilir.

**Ozetle:**

$$g(t) = -g(-t) \text{ ise } a_p = 0, \quad b_p = \frac{4}{T_0} \int_{t_0}^{t_0 + \frac{T_0}{2}} g(t) \sin(p\omega_0 t) dt$$

xq1e26

2.)  $g(t)$  çift fonksiyon ise:

Eger  $g(t)$  çift fonksiyon ise yani

$$g(t) = g(-t)$$

#

ozelligini sagliyorsa

$$\int_{-x}^x g(t) dt = 2 \int_0^x g(t) dt$$

olur. Yukaridaki gibi burada da

$$g(t) = g(-t) \text{ ise } b_p = 0, \quad a_p = \frac{4}{T_0} \int_{t_0}^{t_0 + \frac{T_0}{2}} g(t) \cos(p\omega_0 t) dt$$

xq1e28

sekinde basitlestirmeler yapılır.

$g(t)$  fonksiyonu  $g(t + \frac{T}{2}) = -g(t)$  şeklinde bir simetriye sahipse yukarıdaki formüller daha da basitleşir.  
**10 3.)**  $g(t) = -g(-t)$  ve  $g(t + \frac{T}{2}) = -g(t)$  ise: Sinüs teimlerine ilişkin çift katsayılar sıfır olur.

$$\left. \begin{array}{l} g(t) = -g(-t) \\ \text{ve} \\ g(t + \frac{T}{2}) = -g(t) \end{array} \right\} \text{ise : } \left\{ \begin{array}{l} a_p = 0 \\ b_{2p} = 0 \\ b_{2p-1} = \frac{4}{T_0} \int_{t_0}^{t_0 + \frac{T_0}{2}} g(t) \sin[(2p-1)\omega_0 t] dt \\ p = 1, 2, 3, \dots \end{array} \right. \quad \text{xq1e30}$$

**10 4.)**  $g(t) = g(-t)$  ve  $g(t + \frac{T}{2}) = -g(t)$  ise: kosinus teimlerine ilişkin çift katsayılar sıfır olur.

$$\left. \begin{array}{l} g(t) = -g(-t) \\ \text{ve} \\ g(t + \frac{T}{2}) = -g(t) \end{array} \right\} \text{ise : } \left\{ \begin{array}{l} b_p = 0 \\ a_{2p} = 0 \\ a_{2p-1} = \frac{4}{T_0} \int_{t_0}^{t_0 + \frac{T_0}{2}} g(t) \cos[(2p-1)\omega_0 t] dt \\ p = 1, 2, 3, \dots \end{array} \right. \quad \text{xq1e32}$$

### Komplex Furier Serisi Katsayılarının Hesabi

$g(t)$  isareti (ref: xA1) esitligi ile

$$g(t) = a_0 + \sum_{p=1}^k [a_p \cos(p\omega_0 t) + b_p \sin(p\omega_0 t)] \quad \text{r1}$$

olarak verilmisti

$$\cos(p\omega_0 t) = \frac{e^{j p \omega_0 t} + e^{-j p \omega_0 t}}{2} \quad \sin(p\omega_0 t) = \frac{e^{j p \omega_0 t} - e^{-j p \omega_0 t}}{2j}$$

bagintilari kullanilarak (ref: r1) esitligi asagidaki sekilde yazilabilir.

$$\begin{aligned} g(t) &= a_0 + \sum_{p=1}^k \left[ a_p \left\{ \frac{e^{j p \omega_0 t} + e^{-j p \omega_0 t}}{2} \right\} + b_p \left\{ \frac{e^{j p \omega_0 t} - e^{-j p \omega_0 t}}{2j} \right\} \right] \\ &= a_0 + \sum_{p=1}^k \left[ \left( \frac{a_p}{2} + \frac{b_p}{2j} \right) e^{j p \omega_0 t} + \left( \frac{a_p}{2} - \frac{b_p}{2j} \right) e^{-j p \omega_0 t} \right] \end{aligned} \quad \text{r3}$$

$$c_p = \frac{a_p}{2} + \frac{b_p}{2j} \quad \text{ve} \quad c_{-p} = \frac{a_p}{2} - \frac{b_p}{2j}$$

tanimlari yapilarak (ref: r3) esitligi

$$g(t) = c_0 + \sum_{p=1}^k [c_p e^{j p \omega_0 t} + c_{-p} e^{-j p \omega_0 t}] \quad \text{rx5}$$

şeklinde yazilabilir. Dolayisi ile reel periyodik bir  $g(t)$  fonksiyonu kompleks üstel fonksiyonların toplamı şeklinde yazilabilir.

$$\begin{aligned} g(t) &= c_0 + c_1 e^{j \omega_0 t} + c_{-1} e^{-j \omega_0 t} + c_2 e^{j 2 \omega_0 t} + c_{-2} e^{-j 2 \omega_0 t} \\ &+ c_3 e^{j 3 \omega_0 t} + c_{-3} e^{-j 3 \omega_0 t} + \dots + c_k e^{j k \omega_0 t} + c_{-k} e^{-j k \omega_0 t} \end{aligned} \quad \text{r7}$$

$$g(t) = \sum_{p=-k}^k c_p e^{j p \omega_0 t} \quad \text{r12}$$

$g(t)$ 'nin içinde sonsuz sayıda terim varsa toplam'ın alt ve üst sınırları da sonsuz ( $k = \infty$ ) olacağı açıktır. Yukarıdaki bağıntılardan açıkça görüldüğü gibi

$$c_p = \frac{a_p}{2} + \frac{b_p}{2j} = \frac{1}{2} \left( a_p + \frac{b_p}{j} \right) = \frac{1}{2} (a_p - j b_p) \quad \#$$

$$c_{-p} = \frac{a_p}{2} - \frac{b_p}{2j} = \frac{1}{2}(a_p + jb_p) \quad \#$$

$$c_0 = a_0 \quad \#$$

$$a_p = c_p + c_{-p} \quad b_p = j(c_p - c_{-p}) \quad \#$$

$$d_p = 2|c_p| \quad \theta_p = \angle C_p \quad \#$$

$c_p, c_{-p}$  katsayıları  $a_p, b_p$  katsayılarından yukarıdaki bağıntılar yardımıyla hesaplanabilir. Ancak direk olarak  $g(t)$  fonksiyonundan hesaplamak daha kolaydır. Önce aşağıdaki belirli integrallerin hesaplanması gerekir. (Bkz. C.P.ref: xp571)

$$\int_{t_0}^{t_0+T_0} e^{jk\omega_0 t} e^{-jp\omega_0 t} dt = \int_{t_0}^{t_0+T_0} e^{j(k-p)\omega_0 t} dt = \begin{cases} 0 & k \neq p \\ T_0 & k = p \end{cases} \quad \text{r16}$$

(ref: r7) eşitliğinin her iki tarafını  $e^{jp\omega_0 t}$  ile çarpıp  $t_0, t_0 + T_0$  arası integrale edelim.

$$\begin{aligned} \int_{t_0}^{t_0+T_0} g(t) e^{-jp\omega_0 t} dt &= \int_{t_0}^{t_0+T_0} c_0 e^{-jp\omega_0 t} dt \\ &+ \int_{t_0}^{t_0+T_0} c_1 e^{j\omega_0 t} e^{-jp\omega_0 t} dt + \int_{t_0}^{t_0+T_0} c_{-1} e^{-j\omega_0 t} e^{-jp\omega_0 t} dt \\ &+ \int_{t_0}^{t_0+T_0} c_2 e^{j2\omega_0 t} e^{-jp\omega_0 t} dt + \int_{t_0}^{t_0+T_0} c_{-2} e^{-j2\omega_0 t} e^{-jp\omega_0 t} dt + \dots \\ &+ \int_{t_0}^{t_0+T_0} c_p e^{jp\omega_0 t} e^{-jp\omega_0 t} dt + \int_{t_0}^{t_0+T_0} c_{-p} e^{-jp\omega_0 t} e^{-jp\omega_0 t} dt + \dots \\ &+ \int_{t_0}^{t_0+T_0} c_k e^{jk\omega_0 t} e^{-jp\omega_0 t} dt + \int_{t_0}^{t_0+T_0} c_{-k} e^{-jk\omega_0 t} e^{-jp\omega_0 t} dt \end{aligned} \quad \text{r20}$$

Eşitliğin sağ tarafındaki integraller  $c_p e^{jp\omega_0 t} e^{-jp\omega_0 t} dt$  terimli hariç diğerleri (ref: r16) bağıntısı gereği sıfırdır.

$$\int_{t_0}^{t_0+T_0} c_p e^{jp\omega_0 t} e^{-jp\omega_0 t} dt = \int_{t_0}^{t_0+T_0} c_p e^0 dt = c_p T_0$$

Bu şartlarda (ref: r20) eşitliği yeniden yazılırsa

$$\int_{t_0}^{t_0+T_0} g(t) e^{-jp\omega_0 t} dt = c_p T_0$$

$$c_p = \frac{1}{T_0} \int_{t_0}^{t_0+T_0} g(t) e^{-jp\omega_0 t} dt \quad \text{rx45}$$

olarak bulunur.

Örnek Problem: Şekil (ref: xz45) daki  $g(t) = e^{-t}$  işaretinin Kompleks Fourier serisi katsayılarını hesaplayın

$$g(t) = \sum_{p=-\infty}^{\infty} c_p e^{jp\omega_0 t} \quad c_p = \frac{1}{T_0} \int_{t_0}^{t_0+T_0} g(t) e^{-jp\omega_0 t} dt$$

Sekilden görüldüğü gibi işaretin periyodu  $T_0 = \frac{1}{2}$  frekansı  $f_0 = \frac{1}{T_0} = 2$  acısal frekansı  $\omega_0 = 2\pi f = 4\pi$  dir.

$$\begin{aligned} c_p &= \frac{1}{T_0} \int_{t_0}^{t_0+T_0} g(t) e^{-jp\omega_0 t} dt = \frac{1}{T_0} \int_0^{T_0} e^{-t} e^{-jp\omega_0 t} dt = 2 \int_0^{1/2} e^{-(1+jp\omega_0)t} dt \\ &= 2 \left[ \frac{1}{-(1+jp\omega_0)} e^{-(1+jp\omega_0)t} \right]_0^{1/2} = 2 \frac{1}{-(1+jp\omega_0)} \left( e^{-(1+jp\omega_0)\frac{1}{2}} - e^0 \right) \\ &= 2 \frac{-1}{1+jp\omega_0} \left( e^{-1/2} e^{jp\omega_0/2} - 1 \right) = 2 \frac{-1}{1+jp4\pi} \left( e^{-1/2} e^{jp2\pi} - 1 \right) \end{aligned}$$

$$= 2 \frac{-1}{1+j4p\pi} (e^{-1/2} - 1) = \frac{0.79}{1+j4p\pi}$$

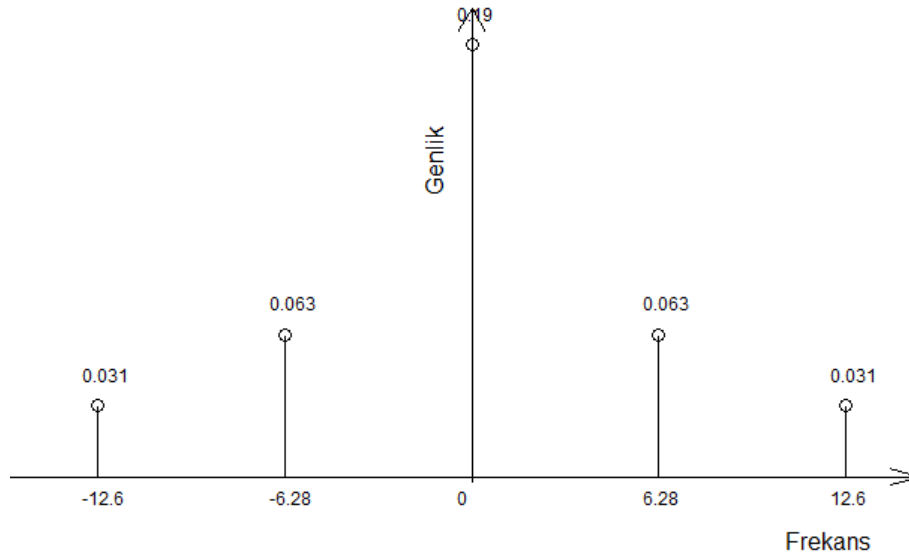
Genlik ve faz (Ek-ref: appx31) de gosterildigi gibi hesaplanabilir.

$$|c_p| = \frac{0.79}{\sqrt{1+16p^2\pi^2}} \quad \angle c_p = \operatorname{argtg} \frac{0}{0.79} - \operatorname{argtg} \frac{4p}{\pi} = -4p\pi \quad \#$$

Değişik p degerleri için  $c_p$  nin genligi ve fazi tablo(ref: xz32) da gosterilmistir.

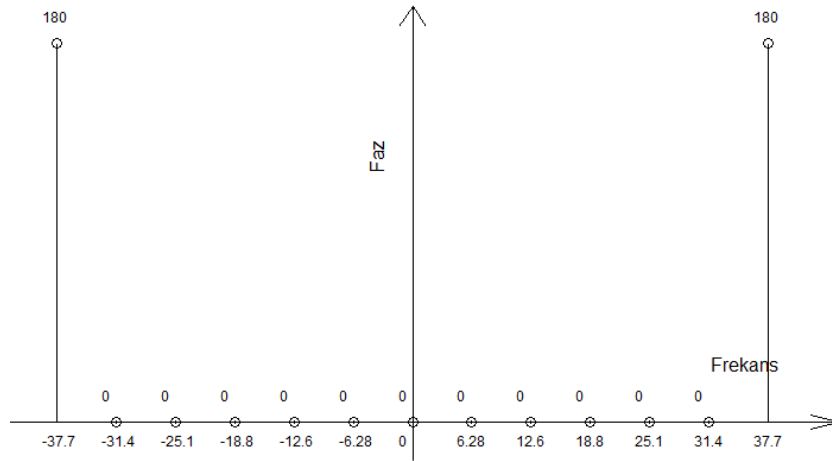
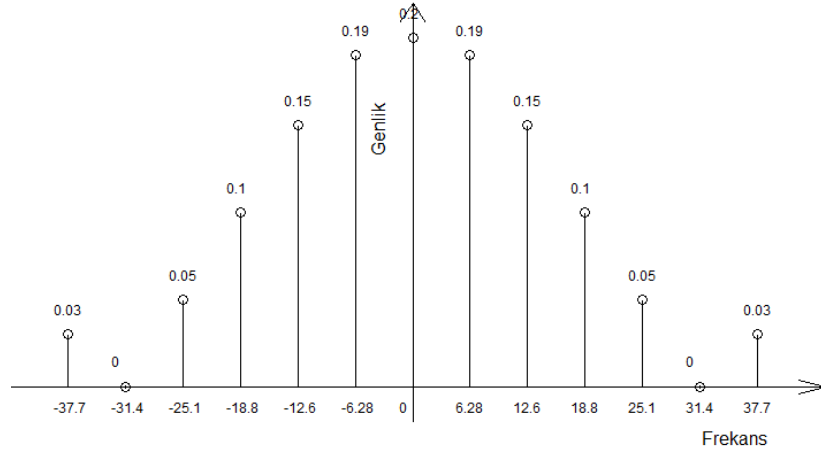
|              |                  |                  |      |                  |                  |
|--------------|------------------|------------------|------|------------------|------------------|
| $p$          | -2               | -1               | 0    | 1                | 2                |
| $c_p$        | $0.001 + j 0.03$ | $0.005 + j 0.06$ | 0.79 | $0.005 - j 0.06$ | $0.001 - j 0.03$ |
| $ c_p $      | 0.0314           | 0.0627           | 0.79 | 0.0627           | 0.0314           |
| $\angle c_p$ | 87.72            | 85.45            | 0    | -85.45           | -87.72           |

Tablo(xz32)  $g(t) = e^{-t}$  ye ait Kompleks Fourier serisi katsayilari









Sekil(xz63) dikdortgen darbeye iliskin çift taraflı spektrum

sonuc: Furier serisinden maksat bir isaretinin icindeki sinuzoidal isaretlerin ortaya cikmasidir. gerek  $a_p$ ,  $b_p$  katsayilarinda gerek  $d_p$ ,  $\theta_p$  katsayilarinda gerekse  $c_p$  katsayilarindaki bilgiler ozdes bilgilerdir. Herhangi birisi varsa digerleri hesaplanabilir.  $a_b$  ve  $b_p$  katsayilari tek baslarina fiziksel yorumdamlama zorlugundan  $d_p$  ve  $\theta_p$  katsayilari hesaplanarak yorum yapilir. ote yandan  $c_p$  katsayilari kompleks oldugundan onda da yorum yapmma zorlugu vardir.  $c_p$  nin genlik ve faz spektrumu çizilerek yorum daha kolay yapilir.

$$a_0 = \frac{1}{T_0} \int_{t_0}^{t_0+T_0} g(t) dt$$

$$a_p = \frac{2}{T_0} \int_{t_0}^{t_0+T_0} g(t) \cos(pw_0 t) dt$$

$$b_p = \frac{2}{T_0} \int_{t_0}^{t_0+T_0} g(t) \sin(p\omega_0 t) dt$$

$$c_p = \frac{1}{T_0} \int_{t_0}^{t_0+T_0} g(t) e^{-jp\omega_0 t} dt$$

$$c_p = \frac{1}{2}(a_p - jb_p)$$

$$c_{-p} = \frac{1}{2}(a_p + jb_p)$$

$$c_0 = a_0$$

$$a_p = c_p + c_{-p} \quad b_p = j(c_p - c_{-p})$$

$$d_p = 2|c_p| \quad \theta_p = \angle C_p$$

## Cozumlu Problemler

C.P(xd58)  $g(t) = \cos at$  fonksiyonunun periyodunu bulun. Burada

$$\cos(a(t+T)) = \cos(at)$$

esitligini saglayan  $T$  degerini ariyoruz.  $\cos(a(t+T))$  ifadesini acik olarak yazalim.

$$\cos(a(t+T)) = \cos(at + aT) = \cos(at)\cos(aT) - \sin(at)\sin(aT)$$

Buradan acikca goruldugu gibi esitligin ikinci tarafinin  $\cos(at)$  ye esit olmasi icin

$$\cos(aT) = 1 \quad \sin(aT) = 0$$

olmasi gerekir. Bu durum da ancak

$$aT = 0, \quad aT = 2\pi, \quad aT = -2\pi, \quad aT = 4\pi, \quad aT = -4\pi, \dots$$

veya en genel halde  $k$  tamsayi olmak uzere

$$aT = 2k\pi \quad T = \frac{2k\pi}{a}$$

olmasi hallerinde saglanir.  $g(t+T) = g(t)$  esitligini saglayan sifirdan farkli en kucuk deger periyod kabul edildiginden  $k = 1$  haline karsilik gelen

$$T = \frac{2\pi}{a}$$

degeri  $\cos(at)$  nin periyodudur,

C.P(xd61)  $\cos 7t$ ,  $\cos 0.5t$ ,  $\cos \frac{1}{3}t$ ,  $\cos(2 + \pi)t$ ,  $10 + \cos 7t$ ,  $\sin 7t$  fonksiyonlarının periyodunu bulun. (C.P.ref: xd58)'den

$$\cos 7t \text{ nin periyodu } T = \frac{2\pi}{7} = 0.28\pi = 0.89$$

$$\cos 0.5t \text{ nin periyodu } T = \frac{2\pi}{0.5} = 4\pi = 12.56$$

$$\cos \frac{2}{3}t \text{ nin periyodu } T = \frac{2\pi}{2/3} = 3\pi = 9.42$$

$$\cos(2 + \pi)t \text{ nin periyodu } T = \frac{2\pi}{2+\pi} = 1.222$$

$10 + \cos 7t$  nin periyodu  $\cos 7t$  nin periyodu ile aynidir. ( $g(t) = g(t+T)$  ise  $A + g(t) = A + g(t+T)$  olacagi aciktir.)

$\cos(7t + 20)$  nin periyodu  $\cos 7t$  nin periyodu ile aynidir.

$\sin 7t$  nin periyodu  $\cos 7t$  nin periyodu ile aynidir.

C.P(xd63)  $g(t) = \cos at + \cos bt$  fonksiyonunun periyodunu bulunuz. (C.P.ref: xd58)'den

$$\cos(at) = \cos(a(t+T_1))$$

esitligini saglayan  $T_1$  degeri,  $k$  tamsayi olmak uzere

$$T_1 = \frac{2k\pi}{a}$$

olarak verilmisti. Benzer sekilde  $m$  tamsayi olmak uzere

$$\cos(bt) = \cos(b(t + T_2))$$

esitligini saglayan  $T_2$  degeri

$$T_2 = \frac{2m\pi}{b}$$

olacaktır. Eger

$$T = T_1 = T_2$$

esitligini saglayan bir  $T$  degerleri varsa  $\cos at + \cos bt$  nin periyodu bu  $T$  degerlerinin en kucugu olacaktır.

C.P(xd65)  $g(t) = \cos 4t + \cos 5t$  fonksiyonunun periyodunu bulun. (C.P.ref: xd63)'den

$$T_1 = \frac{2m\pi}{4} \quad T_2 = \frac{2k\pi}{3}$$

olarak bulunur.  $T_1 = T_2$  olmasi icin

$$\frac{1}{2}m\pi = \frac{2}{3}k\pi \rightarrow m = \frac{4}{3}k$$

olmalıdır. Bu esitligi saglayan  $m, k$  tamsayilari deneme ile bulunabilir. Yukaridaki esitligi saglayan  $k, m$  degerlerinin en kucugu  $k = 3$   $m = 4$  olarak bulunur. O halde periyot  $T_1 = T_2 = 2\pi$  dir.

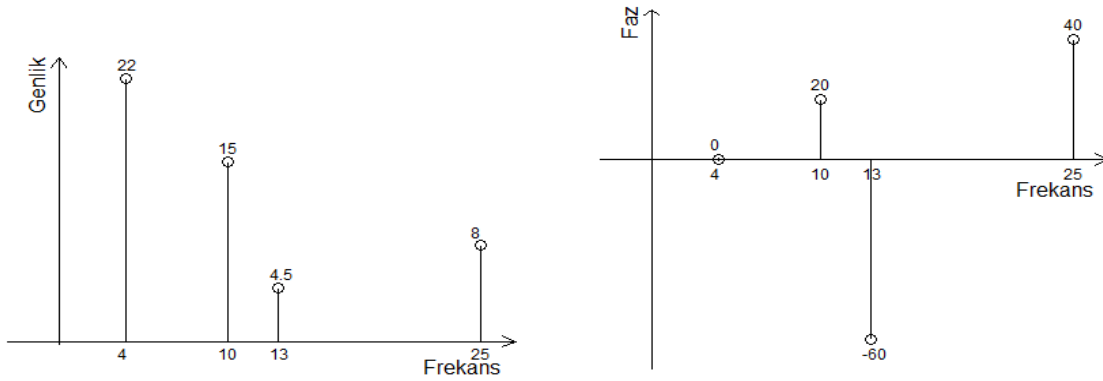
C.P(xd67)  $g(t) = \cos 5t + \cos(6 + \pi)t$  fonksiyonunun periyodunu bulun.  $\frac{2k\pi}{5} = \frac{2m\pi}{6+\pi}$  esitligini saglayacak  $k, m$  tamsayilari bulunamayacagi icin bu  $g(t)$  fonksiyonu periyodik degildir.

C.P(xp113)  $g(t) = 22\cos(4t) + 15\sin(10t + 110) + 4.5\sin(13t + 30) + 8\cos(25t + 40)$  isaretinin tek tarafli spektrumunu cizin.

$\sin(10t + 110) = \cos[90 - (10t + 110)] = \cos(90 - 10t - 110) = \cos(-10t - 20) = \cos(10t + 20)$   
 $\sin(13t + 30) = \cos[90 - (13t + 30)] = \cos(90 - 13t - 30) = \cos(-13t + 60) = \cos(13t - 60)$   
esitlikleri kullanilarak  $g(t)$  fonksiyonu

$$g(t) = 22\cos(4t) + 15\cos(10t + 20) + 4.5\cos(13t - 60) + 8\cos(25t + 40)$$

haline getirilir ve spektrum cizilir. Istenen spektrum sekil(ref: xz24)de gosterilmistir.



S(xz24)  $g(t) = 22 \cos(4t) + 15 \sin(10t + 110) + 4.5 \sin(13t + 30) + 8 \cos(25t + 40)$  isaretinin tek taraflı spektrumu.

C.P(xp115)  $g(t) = -33 \sin(10t) - 19 \cos(23t + 30) - 6 \sin(37t - 60) - 11 \cos(58t - 10)$  isaretinin spektrumunu cizin.

$$-\sin(10t) = \cos(10t + 90)$$

$$-\cos(23t + 30) = \cos(23t + 30 - 180) = \cos(23t + 150)$$

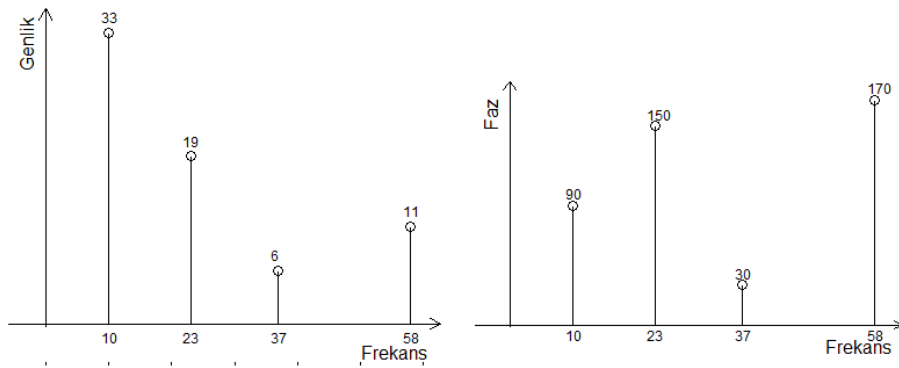
$$-\sin(37t - 60) = \cos(37t - 60 + 90) = \cos(37t + 30)$$

$$-\cos(58t - 10) = \cos(58t - 10 + 180) = \cos(58t + 170)$$

bağıntıları kullanılarak

$$g(t) = 33 \cos(10t + 90) + 19 \cos(23t + 150) + 6 \cos(37t + 30) + 11 \cos(58t + 170)$$

elde edilir. Bu isaretin spektrumu öncekilere benzer şekilde çizilir. Spektrum şekil(ref: xz25)de gösterilmiştir.



S(xz25)  $g(t) = -33 \sin(10t) - 19 \cos(23t + 30) - 6 \sin(37t - 60) - 11 \cos(58t - 10)$   
isaretinin tek taraflı spektrumu

C.P(xp117) Örnek problem  $g(t) = 2 \cos(10t + 30) + 3 \cos(10t - 45) + 5 \sin(10t - 80)$   
ifadesini tek terime indirgeyiniz. (Ek-ref: appx11) de verilen  $\cos(a + b)$  ve  $\sin(a + b)$   
açılımları kullanılarak

$$\begin{aligned} g(t) &= 2 \cos(10t + 30) + 3 \cos(10t - 45) + 5 \sin(10t - 80) \\ &= 2[\cos(10t)\cos(30) - \sin(10t)\sin(30)] \\ &\quad + 3[\cos(10t)\cos(45) + \sin(10t)\sin(45)] \\ &\quad + 5[\sin(10t)\cos(80) - \cos(10t)\sin(80)] \\ &= -1.07 \cos(10t) + 1.98 \sin(10t) = 2.259 \cos(10t - 118.28) \end{aligned}$$

bulunur.

P(xz761)  $w_0 = \frac{2\pi}{T_0}$  ve  $k, n$  birer tamsayı olduğuna göre aşağıdaki integralleri hesaplayın.

$$M_1 = \int_{t_0}^{t_0+T_0} \sin(kw_0t) dt \quad M_2 = \int_{t_0}^{t_0+T_0} \cos(kw_0t) \cos(nw_0t) dt$$

$k$  tamsayı olmak üzere  $\cos(2k\pi) = 1$  ve  $\sin(2k\pi) = 0$  olduğu gözönüne alınırsa  $M_1$   
integralini kolayca hesaplayabiliriz.

$$\begin{aligned} M_1 &= \int_{t_0}^{t_0+T_0} \sin(kw_0t) dt = -\frac{1}{kw_0} [\cos(kw_0t)]_{t_0}^{t_0+T_0} \\ &= -\frac{1}{kw_0} [\cos(kw_0(t_0 + T_0)) - \cos(kw_0(t_0))] \\ &= -\frac{1}{kw_0} [\cos(kw_0t_0 + 2k\pi) - \cos(kw_0t_0)] \\ &= -\frac{1}{kw_0} [\cos(kw_0t_0) \cos(2k\pi) - \sin(kw_0t_0) \sin(2k\pi) - \cos(kw_0t_0)] \\ &= -\frac{1}{kw_0} [\cos(kw_0t_0) - 0 - \cos(kw_0t_0)] = 0 \end{aligned}$$

xq1fw101

olarak bulunur. Aynı yöntemle

$$\int_{t_0}^{t_0+T_0} \cos(kw_0t) dt = 0$$

xq1fw103

olduğu kolayca gösterilebilir.

$M_2$  integrali için  $\cos(A)\cos(B) = \frac{1}{2}[\cos(A+B) + \cos(A-B)]$  bağıntısı ve yukarıdaki tanımlar gözönüne alınır.

$$\begin{aligned}
M_2 &= \int_{t_0}^{t_0+T_0} \cos(kw_0t) \cos(nw_0t) dt \\
&= \int_{t_0}^{t_0+T_0} \frac{1}{2} [\cos(kw_0t + nw_0t) + \cos(kw_0t - nw_0t)] dt \\
&= \frac{1}{2} \int_{t_0}^{t_0+T_0} [\cos(kw_0t + nw_0t) dt + \frac{1}{2} \int_{t_0}^{t_0+T_0} \cos(kw_0t - nw_0t)] dt \\
&= \frac{1}{2} \frac{1}{kw_0 + nw_0} \sin(kw_0t + nw_0t) \Big|_{t_0}^{t_0+T_0} + \frac{1}{2} \frac{1}{kw_0 - nw_0} \sin(kw_0t - nw_0t) \Big|_{t_0}^{t_0+T_0} \quad \text{xd54}
\end{aligned}$$

$w_0T_0 = 2\pi$  ve  $k$  tamsayi olmak üzere  $\sin(X + 2k\pi) = \sin(X)$  oldugu dikkate alinirsa

$$\begin{aligned}
\sin(kw_0t + nw_0t) \Big|_{t_0}^{t_0+T_0} &= \sin(kw_0(tt + TT) + nw_0(tt + TT)) - \sin(kw_0t_0 + nw_0t_0) \\
&= \sin(kw_0tt + kw_0TT + nw_0tt + nw_0T_0) - \sin(kw_0t_0 + nw_0t_0) \\
&= \sin(((k + n)w_0t_0 + (k + n)w_0T_0)) - \sin((k + n)w_0t_0) \\
&= \sin(((k + n)w_0t_0) - \sin((k + n)w_0t_0) = 0
\end{aligned}$$

elde edilir. Benzeri yontemle

$$\sin(kw_0t - nw_0t) \Big|_{t_0}^{t_0+T_0} = 0$$

oldugu da gosterilebilir. Dolayisiyla (ref: xd54) un iki terimi de sifir oldugundan  $k \neq m$  hali icin  $M_2 = 0$  olarak bulunur.

$k = m$  icin  $M_2$  integrali

$$M_2 = \int_{t_0}^{t_0+T_0} \cos^2(kw_0t) dt$$

haline gelir.  $\cos^2 X = \frac{1}{2}(1 + \cos 2X)$  bagintisini kullanarak ve yukaridaki islemlere benzer islemlerle

$$\begin{aligned}
M_2 &= \int_{t_0}^{t_0+T_0} \left( \frac{1}{2}(1 + \cos 2kw_0t) \right) dt = \frac{1}{2} \left[ t + \frac{1}{2kw_0} \sin 2kw_0t \right]_{t_0}^{t_0+T_0} \\
&= \frac{T_0}{2}
\end{aligned}$$

bulunur.

C.P(xp571)  $k, p$  birer tamsayi  $w_0 = \frac{2\pi}{T_0}$  olduguna gore

$$M = \int_{t_0}^{t_0+T_0} e^{jkw_0t} e^{-jpw_0t} dt$$



integralinin degerini hesaplayin.  $k \neq p$  ve  $k = p$  halleri ayri ayri ele aalinacaktır. Once  $k \neq p$  halini ele alalim.

$$M = \int_{t_0}^{t_0+T_0} e^{jk\omega_0 t} e^{-jp\omega_0 t} dt = \int_{t_0}^{t_0+T_0} e^{j(k\omega_0 - p\omega_0)t} dt$$

$$= \frac{1}{j(k\omega_0 - p\omega_0)} e^{j(k\omega_0 - p\omega_0)t} \Big|_{t_0}^{t_0+T_0} = \frac{1}{j(k\omega_0 - p\omega_0)} [e^{j(k\omega_0 - p\omega_0)(t_0+T_0)} - e^{j(k\omega_0 - p\omega_0)t_0}]$$

Not  $k = p$  olsa idi bu integral alma islemi gecersiz olurdu.  $\omega_0 T_0 = 2\pi$  ve  $k - p$  tamsayi olmak uzere  $e^{j(k-p)2\pi} = 1$  oldugunu gozonune alarak koseli parantez icindeki ilk terimi hesaplayalim.

$$e^{j(k\omega_0 - p\omega_0)(t_0+T_0)} = e^{j(k\omega_0 t_0 + k\omega_0 T_0 - p\omega_0 t_0 - p\omega_0 T_0)} = e^{j(k-p)\omega_0 t_0 + j(k-p)\omega_0 T_0}$$

$$= e^{j(k-p)\omega_0 t_0} e^{j(k-p)\omega_0 T_0} = e^{j(k-p)\omega_0 t_0} e^{j(k-p)2\pi}$$

$$= e^{j(k-p)\omega_0 t_0}$$

olur. Bu deger yukarida yerine konursa koseli parantezin ici sifir olur. Dolayisiyla  $k \neq p$  icin  $M = 0$  olur.

Simdi  $k = p$  veya  $k - p = 0$  durumunu gozonune alalim. Bu durumda  $M$  integrali

$$M = \int_{t_0}^{t_0+T_0} e^{jk\omega_0 t} e^{-jp\omega_0 t} dt = \int_{t_0}^{t_0+T_0} e^{j(k-p)\omega_0 t} dt$$

$$= \int_{t_0}^{t_0+T_0} e^0 dt = \int_{t_0}^{t_0+T_0} 1 \cdot dt = t \Big|_{t_0}^{t_0+T_0} = (t_0 + T_0) - t_0$$

$$= T_0$$

olur. sonuc olarak

$$\int_{t_0}^{t_0+T_0} e^{jk\omega_0 t} e^{-jp\omega_0 t} dt = \int_{t_0}^{t_0+T_0} e^{j(k-p)\omega_0 t} dt = \begin{cases} 0 & k \neq p \\ T_0 & k = p \end{cases}$$

xqf367

C.P(p448)  $g(t) = \cos^3(t)$  fonksiyonunun Furier serisi katsayilarini kompleks Furier serisi katsayilarini hesaplayin.

Problem normal yollarla cozulebilir. Yani  $a_0$   $a_p$   $b_p$  icin gerekli integraller yazilir integraller hesaplanir ve  $a_0$   $a_p$   $b_p$  katsayilari bulunur. Ancak Burada daha kolay bir yol izlenecektir.

$$\cos(a) \cos(b) = \frac{1}{2} (\cos(a + b) + \cos(a - b))$$

$$\cos^2(t) = \frac{1}{2} (1 + \cos(2t))$$

bagintilari kullanilarak  $g(t)$  fonksiyonu

$$\begin{aligned}
g(t) &= \cos^3(t) = \cos(t) \cos^2(t) = \cos(t) \frac{1}{2} (1 + \cos(2t)) \\
&= \frac{1}{2} \cos(t) + \frac{1}{2} \frac{1}{2} (\cos(3t) + \cos(t)) \\
&= \frac{3}{4} \cos(t) + \frac{1}{4} \cos(3t)
\end{aligned}$$

haline getirilir. Yukarıdaki eşitliği (ref: xA1) eşitliği ile karşılaştırdığımızda açıkça görüldüğü gibi

$$b_p = 0 \quad a_0 = 0 \quad a_1 = \frac{3}{4} \quad a_2 = 0 \quad a_3 = \frac{1}{4} \quad \text{ve } p > 0 \text{ için } a_p = 0$$

bulunur.

$c_p = \frac{1}{2}(a_p - jb_p)$  bağıntısından

$$c_0 = 0 \quad c_{-1} = \frac{3}{8} \quad c_1 = \frac{3}{8} \quad c_{-2} = 0 \quad c_2 = 0 \quad c_{-3} = \frac{1}{8} \quad c_3 = \frac{1}{8}$$

ve

$$|p| > 0 \text{ için } c_p = 0$$

olacaktır.

C.P(p385) Şekil(ref: cx2) deki impuls darbe katarinin kompleks Fourier serisi katsayılarını hesaplayın.

Şekil(cx2) Impuls Darbe katarini

$$\begin{aligned}
c_p &= \frac{1}{T_0} \int_{t_0}^{t_0+T_0} g(t) e^{-jpw_0 t} dt = \frac{1}{T_0} \int_{-T_0/2}^{T_0/2} e^{-jpw_0 t} g(t) dt \\
&= \frac{1}{T_0} \int_{-q/2}^{q/2} \delta(t) e^{-jpw_0 t} dt
\end{aligned}$$

(Ek-ref: appx51)de verilen bağıntılar gereği

$$\int_{-\infty}^{\infty} \delta(t) f(t) dt = f(0)$$

olduğundan

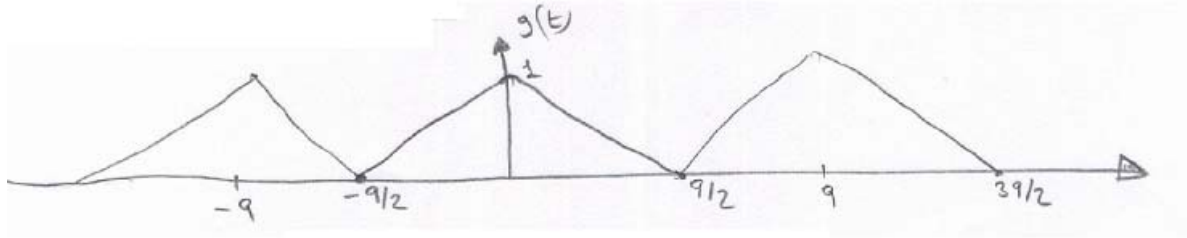
$$\int_{-q/2}^{q/2} \delta(t) f(t) dt = f(0)$$

olacağı açıktır. dolayısıyla

$$c_p = \frac{1}{T_0} e^{-jpw_0 0} = \frac{1}{T_0}$$

olarak bulunur.

C.P(x448) Sekil(ref: xz76) da gosterilen ucgen dalganin Fourier serisi katsayilarini hesaplayin.



S(xz76) ucgen dalga acikca goruldugu gibi  $g(t)$  isaretinin periyodu  $T_0 = q$  dur.  $g(t)$  isareti analitik olarak

$$g(t) = \begin{cases} 1 + \frac{4t}{q} & -\frac{q}{2} \leq t < 0 \\ 1 - \frac{4t}{q} & 0 \leq t < \frac{q}{2} \end{cases}$$

sekinde ifade edilebilir. Fourier serisi katsayilari bilinen yontemle hesaplanir.

$$\begin{aligned} a_0 &= \int_{-\frac{q}{2}}^{\frac{q}{2}} g(t) dt = \int_{-\frac{q}{2}}^0 \left(1 + \frac{4t}{q}\right) dt + \int_0^{\frac{q}{2}} \left(1 - \frac{4t}{q}\right) dt \\ &= \left[ t + \frac{2t^2}{q} \right]_{-\frac{q}{2}}^0 + \left[ t - \frac{2t^2}{q} \right]_0^{\frac{q}{2}} = 0 + 0 = 0 \end{aligned}$$

Benzer sekilde

$$\begin{aligned} a_p &= \frac{2}{T_0} \left\{ \int_{-\frac{q}{2}}^0 \left(1 + \frac{4t}{q}\right) \cos(pw_0 t) dt + \int_0^{\frac{q}{2}} \left(1 - \frac{4t}{q}\right) \cos(pw_0 t) dt \right\} \\ &= \frac{2}{T_0} \left\{ \int_{-\frac{q}{2}}^0 \cos(pw_0 t) dt + \int_0^{\frac{q}{2}} \cos(pw_0 t) dt + \int_{-\frac{q}{2}}^0 \frac{4t}{q} \cos(pw_0 t) dt + \int_0^{\frac{q}{2}} \frac{-4t}{q} \cos(pw_0 t) dt \right\} \\ &= \frac{2}{T_0} \left\{ \int_{-\frac{q}{2}}^{\frac{q}{2}} \cos(pw_0 t) dt \right\} + \frac{8}{T_0 q} \left\{ \int_{-\frac{q}{2}}^0 t \cos(pw_0 t) dt - \int_0^{\frac{q}{2}} t \cos(pw_0 t) dt \right\} \end{aligned}$$

(ref: xq1fw101) esitligi geregi birinci integral sifira esittir. ote yandan

$$\int x \cos(ax) dx = \frac{1}{a^2} \cos(ax) + \frac{x}{a} \sin(ax)$$

bagintisindan faydalanarak ikinci parantezin icindeki integraller hesaplanirsa.

$$a_p = \frac{4}{n^2 \pi^2} (1 - \cos n\pi)$$

bulunur.  $b_p$  katsayisi benzeri yöntemler kullanılarak ve

$$\int x \sin(ax) dx = \frac{1}{a^2} \sin(ax) - \frac{x}{a} \cos(ax)$$

bağıntısından faydalanılarak  $b_p = 0$  olduğu kolayca gösterilebilir.

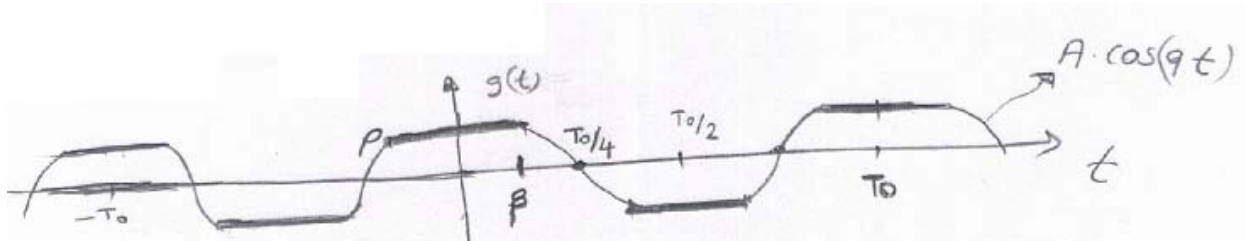
kompleks Fourier katsayıları da

$$c_p = \frac{1}{2}(a_p - jb_p) = \frac{2}{n^2 \pi^2} (1 - \cos n\pi)$$

olarak hesaplanır.

C.P(x457) Şekil(ref: xq1f161)deki alttan ve üstten kırılmış kosinus dalgası görülüyor.

- Verilen işaretin Fourier serisi katsayılarını hesaplayın.
- $\beta = 0.6$   $T_0 = 4$ ,  $A = 5$  için  $a_p$  katsayılarının numerik değerlerini hesaplayın.
- $p > 8$  için  $a_p$  katsayılarını ihmal ederek  $g(t)$  işaretini sinüzoidal terimlerin toplamı cinsinden yazınız.
- Elde ettiğiniz  $g(t)$  işareti ile asıl  $g(t)$  işaretini karşılaştırın.



Sekil(xq1f161)

a) Şekildeki dalga açıkça görüldüğü gibi

$$g(t + \frac{T}{2}) = -g(t)$$

$$g(t) = g(-t)$$

özelliklerini sağlamaktadır. O halde (ref: xq1e32) gerekli Fourier serisi katsayıları

$$b_p = 0, \quad a_p = \frac{8}{T_0} \int_{t_0}^{t_0 + \frac{T_0}{4}} g(t) \cos(p\omega_0 t) dt$$

#

$$p = 1, 3, 5, 7, 9, \dots$$

bağıntıları yardımıyla hesaplanabilir.  $a_0$  katsayısı normal yolla hesaplanır.  $g(t)$   $t$  eksenine göre simetrik olduğundan  $a_0 = 0$  olur. Öte yandan  $0 - \frac{T_0}{4}$  aralığında  $g(t)$

fonksiyonu

$$g(t) = \begin{cases} Q & 0 < t < \beta \\ A \cos(qt) & \beta < t < \frac{T_0}{4} \end{cases}$$

seklindedir ve  $Q = A \cos(w_0\beta)$ 'dir. O halde

$$\begin{aligned} a_p &= \frac{8}{T_0} \int_{t_0}^{t_0 + \frac{T_0}{4}} g(t) \cos(pw_0t) dt \\ &= \frac{8}{T_0} \int_0^\beta Q \cos(pw_0t) dt + \frac{8}{T_0} \int_\beta^{\frac{T_0}{4}} A \cos(w_0t) \cos(pw_0t) dt \\ &\quad \cos(A) \cos(B) = 0.5[\cos(A - B) + \cos(A + B)] \\ &\quad \cos(w_0t) \cos(pw_0t) = 0.5[\cos\{(p - 1)w_0t\} + \cos\{(p + 1)w_0t\}] \\ &= \frac{8}{T_0} \frac{Q}{pw_0} \sin(pw_0\beta) + \frac{8A}{T_0} \left\{ \frac{1}{2(p - 1)w_0} \sin \frac{(p - 1)\pi}{2} + \frac{1}{2(p + 1)w_0} \sin \frac{(p + 1)\pi}{2} \right. \\ &\quad \left. - \frac{1}{2(p - 1)w_0} \sin[(p - 1)w_0\beta] - \frac{1}{2(p + 1)w_0} \sin[(p + 1)w_0\beta] \right\} \end{aligned}$$

Ote yandan  $w_0T_0 = 2\pi$  ve  $p = 1, 3, 5, 7, \dots$  için

$$\sin \frac{(p - 1)\pi}{2} = 0, \quad \sin \frac{(p + 1)\pi}{2} = 0$$

oldugu gozonune alinirsa  $p = 1, 3, 5, 7, \dots$  için.

$$a_p = \frac{4Q}{p\pi} \sin(pw_0\beta) + \frac{4A}{\pi} \left\{ -\frac{1}{2(p - 1)} \sin[(p - 1)w_0\beta] - \frac{1}{2(p + 1)} \sin[(p + 1)w_0\beta] \right\}$$

arak  $a_1, a_2, a_3, \dots$  katsayilari hesaplanir.  $p = 1$  için  $a_1$  katsayisi limit alinarak bulunur.

$$a_1 = \frac{4Q}{\pi} \sin(w_0\beta) + A \left( 1 - \frac{4\beta}{T_0} - \frac{1}{\pi} \sin(2w_0\beta) \right)$$

**b)** Bulunan bagintida

$$\beta = 0.6 T_0 = 4, A = 5, w_0 = 1.57, Q = A * \cos(w_0 * \beta) = 3.53$$

degerleri konularak

$$a_1 = 4.73, \quad a_3 = -0.5, \quad a_5 = -0.16, \quad a_7 = 0.09$$

bulunur.

**c)** Dolayisiyla  $g(t)$  isarti

$$g(t) = 4.73 \cos(1.57t) - 0.5 \cos(4.71t) + 0.16 \cos(7.85t) + 0.09 \cos(11.0t)$$

seklinde yazilabilir.

**d)** Elde edilen  $g(t)$  isareti sekil(ref: xq1f163)'de gosterilmistir.

S(xq1f163) Fourier serisinden elde edilen  $g(t)$  isareti

C.P(xqp321) Kompleks Furier Serisi katsayilari

$$c_n = \frac{1 + jn}{n^2 + 1}$$

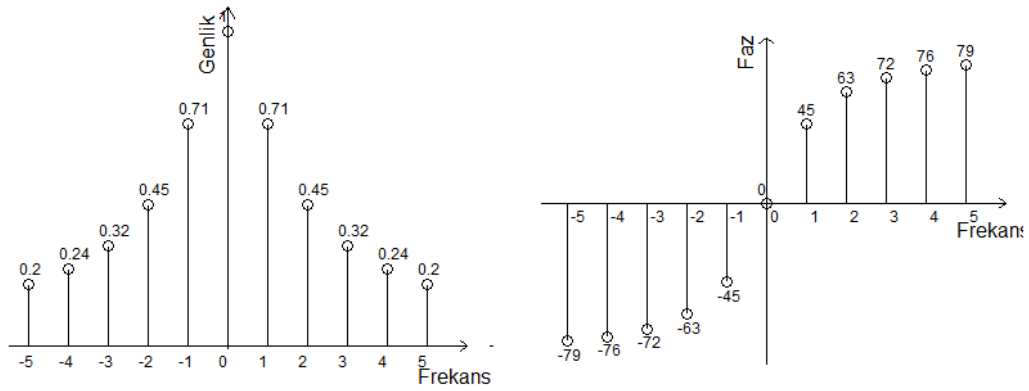
sekinde verilen bir isaretin spektrumunu cizin.  $n = 0$  icin

$$c_0 = \frac{1 + j0}{0^2 + 1} = 1, \quad |c_n| = 1 \quad \angle c_n = 0$$

$n = 1$  icin

$$c_1 = \frac{1 + j1}{1^2 + 1} = 0.5 + j0.5, \quad |c_n| = \sqrt{0.5} \quad \angle c_n = \frac{\pi}{4}$$

Benzer sekilde  $n = 0, 1, 2, 3, \dots -1, -2, -3, \dots$  degerleri icin  $c_n$  degerleri hesaplanir, daha sonra  $|c_n|$  ve  $\angle c_n$  hesaplanir sekil(refxq1s71)de oldugu gibi spektrum cizilir.



S(xq1s71)  $c_n = \frac{1+jn}{n^2+1}$  ifadesinin genlik ve faz spektrumu

P(xqp322) Kompleks Furier Serisi katsayilari

$$c_0 = 10, \quad c_1 = 2 - 3j, \quad c_{-1} = 2 + 3j, \quad c_2 = 7, \quad c_{-2} = 7,$$

$$c_3 = 11j, \quad c_{-3} = -11j$$

$$|n| > 3 \text{ icin } c_n = 0$$

sekinde verilen ve periyodu  $T = 0.1$  saniye olan bir  $f(t)$  isaretinin zamana bagli ifadesini yazin.  $t = 0$ ,  $t = 1$ ,  $t = 1.01$  icin  $f(t)$  nin degerini bulun.

Isaretin acisal frekansi

$$\omega_0 = \frac{2\pi}{T} = 20\pi = 62.8$$

olacaktır. (ref: r12) bagintisi geregi

$$g(t) = -11j(e^{-j3\omega_0 t} + 7e^{-j2\omega_0 t} + (2 + 3j)e^{-j\omega_0 t} + 10 + (2 - 3j)e^{j\omega_0 t} + 7e^{j2\omega_0 t} + 11je^{j3\omega_0 t}$$

yazilabilir. Benzer terimler ayni parantezde toplanirsa

$$g(t) = 10 + 2(e^{j\omega_0 t} + e^{-j\omega_0 t}) - 3j(e^{j\omega_0 t} - e^{-j\omega_0 t}) + 7(e^{j2\omega_0 t} - e^{-j2\omega_0 t}) + 11j(e^{j3\omega_0 t} - e^{-j3\omega_0 t})$$

olarak yazilabilir. (Ek-ref: appx11)'de verilen baginilar yardimiyla gerekli sadelestirmeler yapilirsa.

$$g(t) = 10 + 4\cos(\omega_0 t) + 6\sin(\omega_0 t) + 14\cos(2\omega_0 t) - 22\sin(3\omega_0 t)$$

elde edilir.  $\omega_0 = 62.8$  konulursa.

$$g(t) = 10 + 4\cos(62.8t) + 6\sin(62.8t) + 14\cos(125.6t) - 22\sin(188.4t)$$

elde edilir.

Bulunan ifadede  $t = 0$  konursa  $g(0) = 28$ ,  $t = 1$  konursa  $g(1) = 29$ ,  $t = 1.01$  konulursa  $g(1.01) = 0.37$  elde edilir.

\*\*\*\*\*

“xp1 Asagidaki ifadeleri sadelestirerek her bir frekansdaki bileseni tek terim halinde yazin.

$$\sin(10t + 45) + \cos(10t + 45)$$

$$\cos(10t) + \cos(10t + 45) + \sin(10t) + \sin(10t + 60)$$

$$\cos(20t) + \sin(20t + 60) + \sin(20t + 90)$$

$$\sin^2(10t) + \cos 10t + \cos(20t)$$

P.P(xp2)  $g(t) = \cos 3t + \cos 4t + \cos 5t$  fonksiyonunun periyodunu bulun.

P.P(xp3)  $g(t) = \cos 3t + \cos 3\pi t$  fonksiyonunun periyodunu bulun.

P.P(xp32)  $g(t) = \cos^5(\omega t)$  isaretinin Furier serisi katsayilarini hesaplayin.

P.P(Sekil(ref: xs81)'deki yarim sinus isaretinin Furier serisi katsayilarini hesaplayin.

S(xs81) Kirpilmis sinus dalgasi

$$g(t) = \begin{cases} 0 & -\frac{T_0}{2} < t < 0 \\ A \sin w_0 t & 0 < t < \frac{T_0}{2} \end{cases}$$

$$g(t + T_0) = g(t) \quad w_0 = \frac{2\pi}{T_0}$$

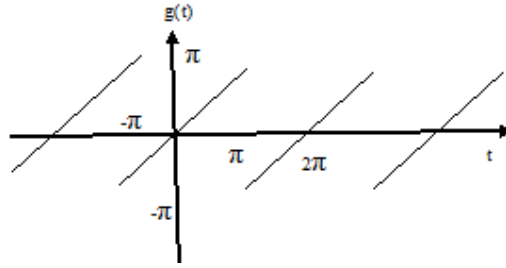
Cevap:

$$a_0 = \frac{2\pi}{A} \quad a_1 = 0$$

$$p > 1 \text{ için } a_p = \begin{cases} 0 & p \text{ tek ise} \\ \frac{2A}{(p-1)(p+1)p} & p \text{ çift ise} \end{cases}$$

$$b_p = 0$$

P.P(xp5) Sekil(ref: xs82)'deki  $g(t) = t$  isaretinin Furier serisi katsayilarini ve kompleks Furier serisi katsayilarini hesaplayin.



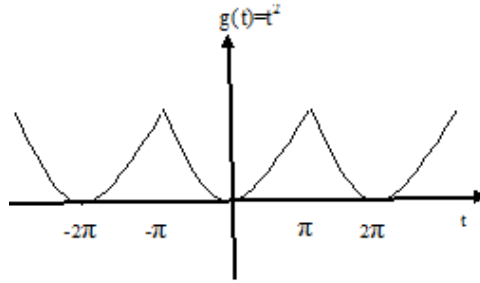
S(xs82) Periyodik  $g(t)=t$  isareti

Cevap:

$$a_p = 0 \quad b_p = 2 \frac{(-1)^{p-1}}{p}$$

P.P(xp6) Sekil ref: xs83'deki  $g(t) = t^2$  isaretinin Furier serisi katsayilarini ve kompleks Furier serisi katsayilarini hesaplayin.



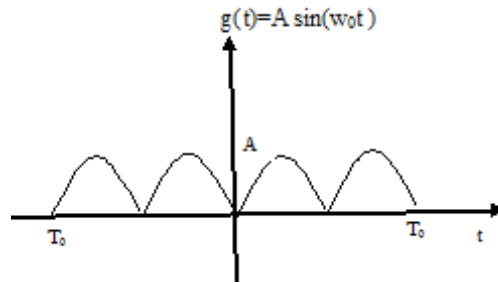


S(xs83)  $g(t) = t^2$  isareti

Cevap:

$$a_0 = \frac{1}{3}\pi^2 \quad a_p = 4 \frac{(-1)^p}{p^2} \quad b_p = 0$$

P.P(xp7) Sekil ref: xs84'deki  $g(t) = |A \sin(\omega_0 t)|$  isaretinin Furier serisi katsayilarini ve kompleks Furier serisi katsayilarini hesaplayin.



S(xs84)  $g(t) = |A \sin(\omega_0 t)|$  isareti

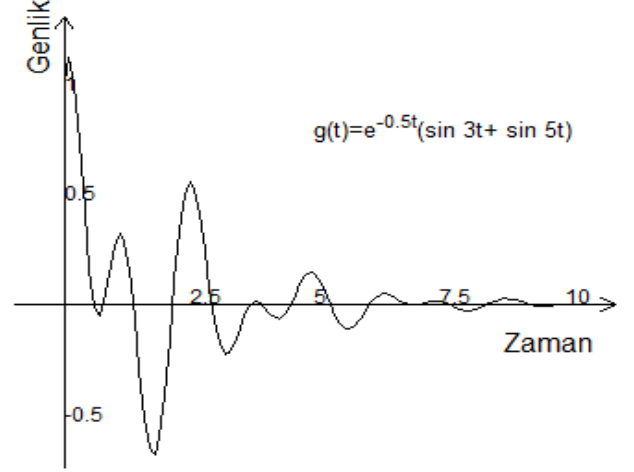
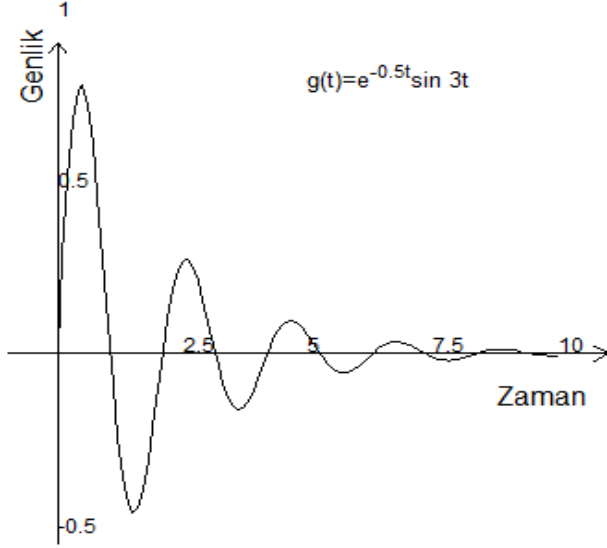
Cevap:

$$a_0 = \frac{2A}{\pi} \quad a_p = \frac{4A}{\pi} \frac{1}{1-p^2} \quad b_p = 0$$

cos7t cos5t, sin7t cos5t, sin7t sin5t deki harmonikleri bul. tektarafli spektrumunu cizin tek teraflispektrumunu ver cifttarfli spektrumun ver cift tarfli spektrum ver tek tarafli iste.

## FURIER DONUSUMU

Periyodik isaretleri Furier serisine acararak isaretin hangi sinuzoidal bilesenlerden meydana geldigini bulabiliyoruz. Simdi sekil(ref: xdd1)'de gosterilen  $g(t) = e^{-0.1t}(\sin(3t) + \cos(5t))$  isaretini ele alalim.



S(xdd1) a)  $e^{-0.5t}(\sin 3t)$  b)  $e^{-0.5t}(\sin(3t) + \cos(5t))$

isaretleri

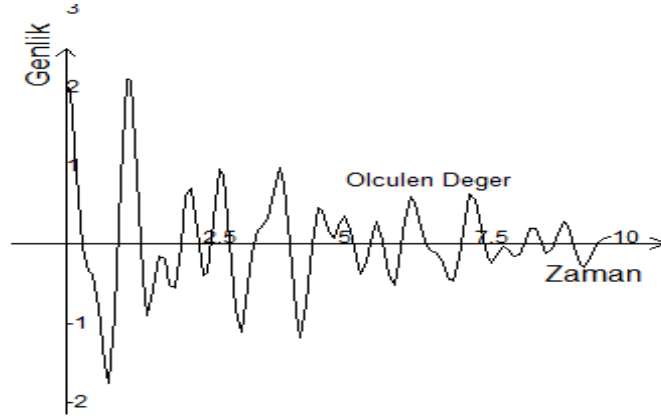
$g(t)$  isareti  $e^{-0.5t}$  ve  $\sin(3t) + \cos(5t)$  isaretlerinin carpimidir. Yani  $g(t)$  isaretinin icinde saklanmis olarak sinuzoidal isaretler mevcuttur. Ancak  $g(t)$  isareti periyodiklik sartini saglamaz, dolayisiyla Furier serisine acilamaz.

Bilgisayarda bir diskette veya grafik olarak elimizde  $g(t)$  isareti varken,  $\sin(3t)$  ve  $\cos(5t)$  isaretini  $g(t)$  isaretinin icinden nasil cekip cikaracagiz? Daha acik bir ifade ile grafigi inceleyerek bu isaret  $\sin(3t)$ 'li  $\cos(5t)$ 'li terimler barindiriyor diyebilecegimiz bir yontem varmidir.

Elektrik devrelerinde bir koldan gecen akim, bir robot kolundaki titresim asagidaki gibi olabilir.

$$g(t) = F_1 e^{-q_1 t} \cos(w_1 t + \theta_1) + F_2 e^{-q_2 t} \cos(w_2 t + \theta_2) + F_3 e^{-q_3 t} \cos(w_3 t + \theta_3) \quad \text{x added}$$

Akimi olctugumuzde Sekil(ref: xdd2)'deki gibi bir grafikte karsilasabiliriz. Olcum sonuclarina bakarak (Grafigi inceleyerek)  $F_1, F_2, F_3, w_1, w_2, w_3, q_1, q_2, q_3$  degerleri hesaplanmak istenmektedir.



Sekil(xdd2) Fiziksel olarak olculen deger.

Gercek dunyadan fiziksel olcumlerle elde edilen isaretler cogu kere periyodik degildir, fakat icerisinde yukaridaki ornekte oldugu gibi sinuzoidal terimler bulundururlar. Furier donusumu bu gibi periyodik olmayan isaretlerin iclerindeki sinuzoidal terimlerin frekanlarini ve genliklerini ( $F_1, F_2, F_3, w_1, w_2, w_3, q_1, q_2, q_3$  katsayilarini) hesaplamak icin kullanilan bir alettir. Furier serisi acilimi sadece periyodik isaretler icin olmasina karsilik Furier donusumu ile periyodik olmayan bir isaretin genlik ve faz spektrumu elde edilebilir. Bununla beraber Furier donusumu periyodik isaretlerin spektrumunu elde etmek icin de kullanilabilir.

### Furier Serisinden Furier Donusumunun Hesaplanmasi

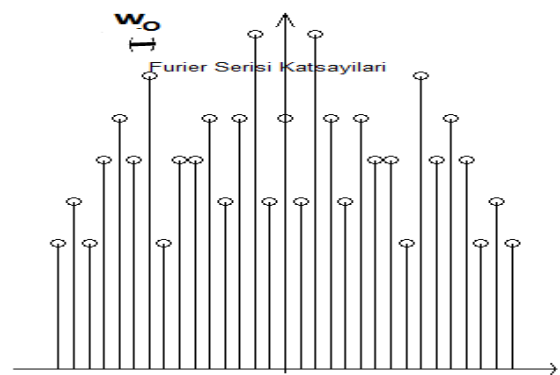
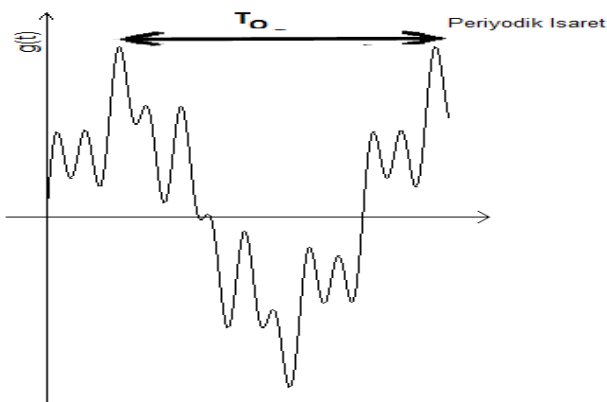
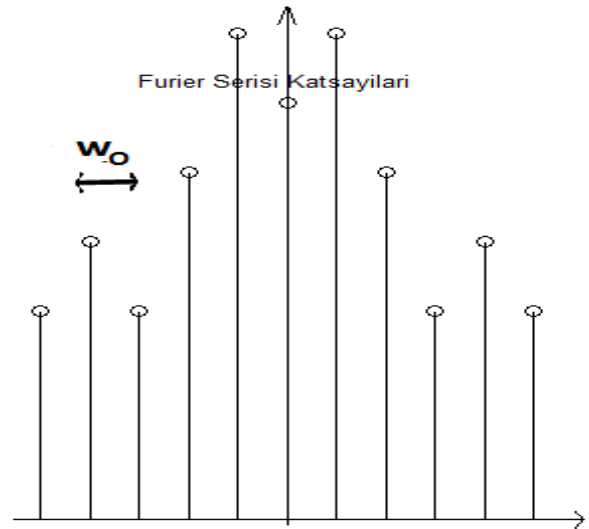
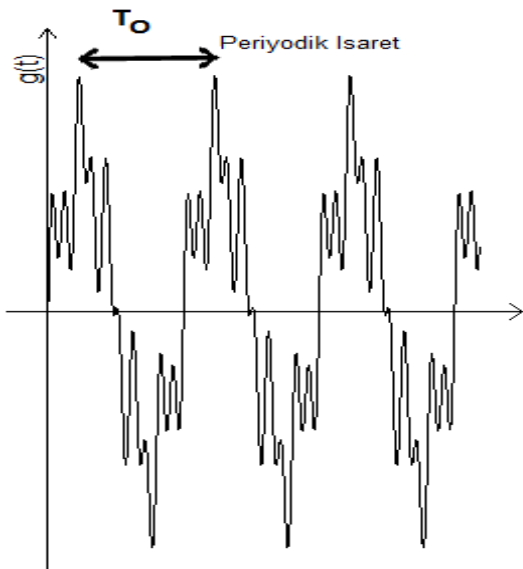
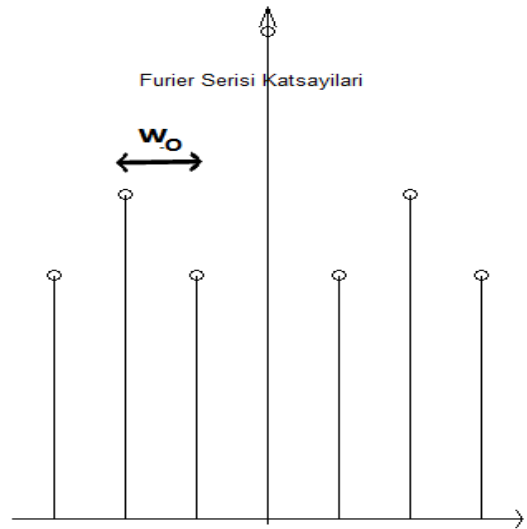
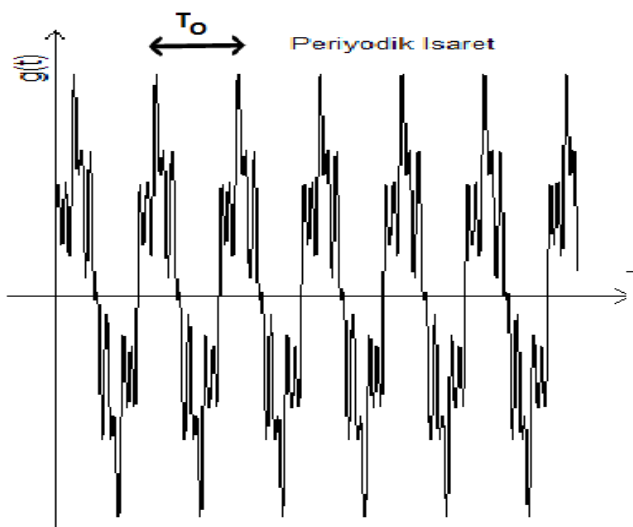
Periyodik olmayan bir isaretin spektrumunu elde etmek icin once periyodik isaretin spektrumuna kisa bir goz atalim. Kompleks Furier serisi bagintisi (ref: xq1b71) bolumden

$$g(t) = \sum_{n=-\infty}^{n=\infty} C_n e^{jnw_0 t} \quad \text{a12}$$

$$C_n = \frac{1}{T_0} \int_{-\frac{T_0}{2}}^{\frac{T_0}{2}} g(t) e^{-jnw_0 t} dt \quad \text{a13}$$

olarak verilmisti. ( $t_0$  rin secimi keyfi oldugundan  $t_0 = \frac{T_0}{2}$  olarak alinmistir.)

Sekil(ref: xfur1)'den goruldugu gibi  $T_0 \rightarrow \infty$  oldugunda  $w_0 = \frac{2\pi}{T_0} \rightarrow 0$  gider. Bu hali  $\Delta w$  ile gosterelim.



## Sekil(xfur1) FurierSerisinden Furier

donmusunun elde edilmesi

$$T_0 \rightarrow \infty \quad \omega_0 = \frac{2\pi}{T_0} = \Delta\omega \quad \frac{1}{T_0} = \frac{\omega_0}{2\pi} = \frac{\Delta\omega}{2\pi}$$

(ref: a13) esitligini yeniden duzenleyelim.

$$C_n = \frac{1}{T_0} \int_{-\frac{T_0}{2}}^{\frac{T_0}{2}} g(t) e^{-jn\omega_0 t} dt = \frac{\Delta\omega}{2\pi} \int_{-\frac{T_0}{2}}^{\frac{T_0}{2}} g(t) e^{-jn\Delta\omega t} dt \quad \text{a14}$$

(ref: a14) deki  $C_n$  degerini (ref: a12) de yerine yazalim.

$$g(t) = \sum_{n=-\infty}^{\infty} C_n e^{jn\omega_0 t} = \sum_{n=-\infty}^{\infty} \left[ \frac{\Delta\omega}{2\pi} \int_{-\frac{T_0}{2}}^{\frac{T_0}{2}} g(t) e^{-jn\Delta\omega t} dt \right] e^{jn\Delta\omega t} \quad \text{a15}$$

$n\Delta\omega$  degiskeni yerine surekli degisken olarak yeni  $\omega$  tanimi koyalim. ve esitligi yeniden duzenleyelim.

$$g(t) = \frac{1}{2\pi} \sum_{n=-\infty}^{\infty} \left[ \int_{-\frac{T_0}{2}}^{\frac{T_0}{2}} g(t) e^{-j\omega t} dt \right] e^{j\omega t} \Delta\omega \quad \text{a16}$$

Simdi  $T_0 \rightarrow 0$  oldugunda,  $\Delta\omega$  cok kuculecek ve esitligin basindaki toplam isareti integrale donusecektir. Integral degiskeni olarak  $\Delta\omega$  yerine geleneklere uygun olarak  $d\omega$  yazarak esitlik yeniden duzenlenirse.

$$g(t) = \frac{1}{2\pi} \int_{-\infty}^{\infty} \left[ \int_{-\infty}^{\infty} g(t) e^{-j\omega t} dt \right] e^{j\omega t} d\omega \quad \text{a17}$$

Koseli parantez ici  $G(\omega)$  olarak tanimlanirsa (ref: a17) esitligi .

$$g(t) = \frac{1}{2\pi} \int_{-\infty}^{\infty} G(\omega) e^{j\omega t} d\omega \quad \text{a18}$$

haline gelir.

$$G(\omega) = \int_{-\infty}^{\infty} g(t) e^{-j\omega t} dt \quad \text{a19}$$

olarak tanimlanmistir. (ref: a18) ve (ref: a19) esitlikleri Furier donusumu ve ters Furier donusumu olarak adlandirilir. Furier ve ters Furier donusumleri

$$g(t) \leftrightarrow G(\omega) \quad \#$$

$$\mathcal{F}\{g(t)\} = G(\omega) \quad \mathcal{F}^{-1}\{G(\omega)\} = g(t) \quad \text{a20}$$

sembolleri ile gosterilir.

Bir periyodik isaretin Furier serisine aciliminda ayrik degerlerde frekans bilezenleri

vardir. Periyodik olmayan isaretin Furier donusumu sonucu isaretin ayrik dedgil butun frekans araliginda bilesenleri vardir.

## Furier Transformu alinabilen fonksiyonlar:

Furier donusumunun tanimina gore Furier donusumunun olabilmesi icin

$$\int_{-\infty}^{\infty} g(t)e^{j\omega t} dt$$

integralinin hesaplanabilmesi gerekir.  $|e^{j\omega t}|= 1$  oldugundan ucgen esitsizligi ile

$$\int_{-\infty}^{\infty} g(t)e^{j\omega t} dt \leq \int_{-\infty}^{\infty} |g(t)e^{j\omega t}| dt = \int_{-\infty}^{\infty} |g(t)| dt \quad \text{g211}$$

yazilabilir. Ayrica eger

$$\int_{-\infty}^{\infty} |g(t)| dt < \infty \quad \text{g212}$$

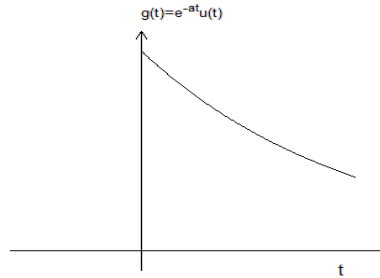
ise

$$\int_{-\infty}^{\infty} |g(t)|^2 dt < \infty \quad \text{g213}$$

sarti da saglanir. Dolayisiyla (ref: g212) veya (ref: g213) sartlarindan birisi saglanirsa  $g(t)$  nin Furier donusumu alinabilir. Bunun anlami ise  $g(t)$  nin  $-\infty < t < \infty$  araliginda  $t$  eksenini ile arasinda kalan alanin sinirli olmasi sonsuz olmamasidir. Bu sarti  $g(t) = e^{-at}u(t)$  gibi fonksiyonlar saglar. Fakat  $g(t) = u(t)$ , birim basamak fonksiyonu, gibi bazi fonksiyonlar bu sarti saglamadiklari halde Furier donusumleri vardir. Bu tip özel fonksiyonların Furier donusumleri genelleştirilmiş fonksiyonlar kullanılarak bulunur[ref44??]. Fiziksel isaretlerin Furier donusumleri vardir.

### Ornek Problem

$u(t)$  birim basamak fonksiyonu olmak üzere  $g(t) = e^{-at}u(t)$  fonksiyonunun Furier donusumunu bulun



Sekil(xq2sq10)  $g(t) = e^{-at}u(t)$  fonksiyonu

(ref: a19) bagintisi geregi

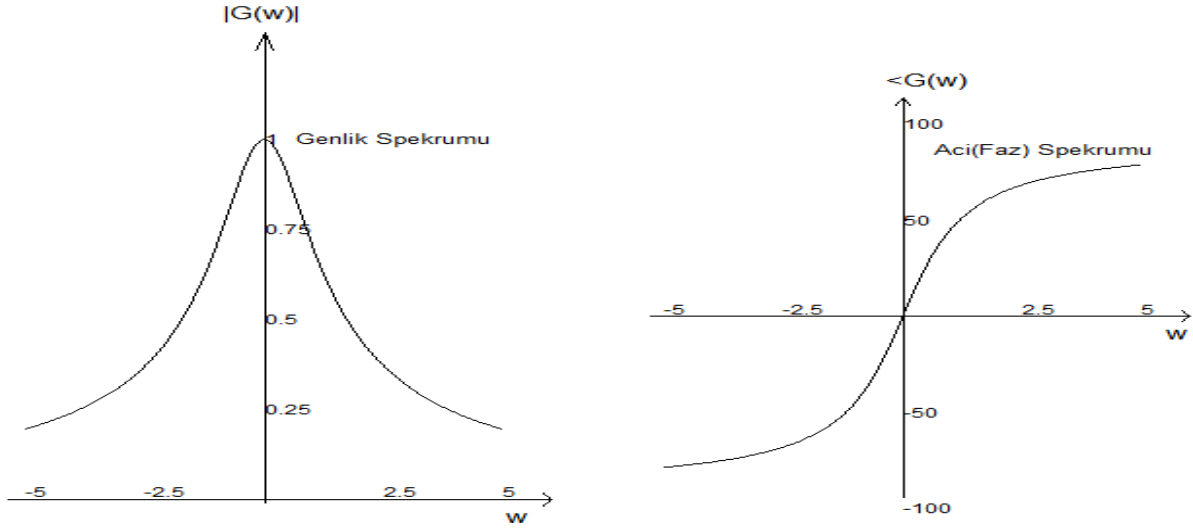
$$\begin{aligned}
G(w) &= \int_{-\infty}^{\infty} e^{-at}u(t)e^{-jw t} dt = \int_0^{\infty} e^{-at}e^{-jw t} dt = \int_0^{\infty} e^{-(a+jw)t} dt \\
&= \frac{1}{-(a+jw)} [e^{-(a+jw)t}]_0^{\infty} = \frac{-1}{a+jw} [e^{-\infty} - e^0] \\
&= \frac{1}{a+jw} \quad a > 0 \text{ için geçerli}
\end{aligned}$$

$a < 0$  için integral yakınsamaz.  $G(w)$  nin genliği ve fazi (Ek-ref: appx31)'de verilen yöntemle hesaplanır.

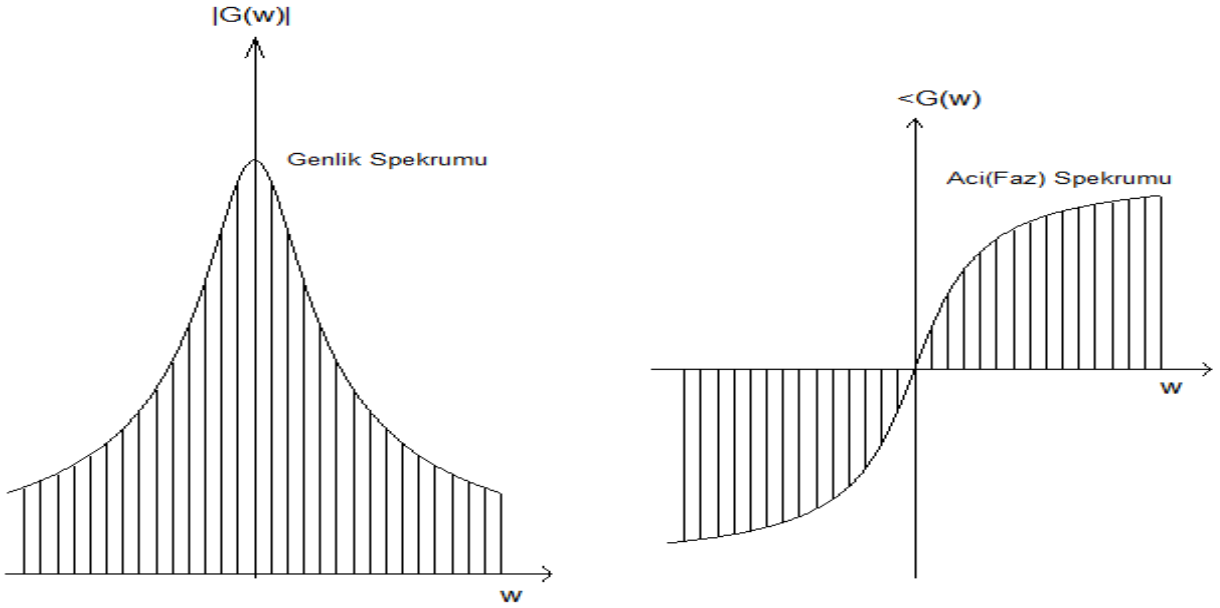
$$|G(w)| = \frac{1}{\sqrt{a^2 + w^2}}$$

$$\angle G(w) = \operatorname{argtg} \frac{0}{1} - \operatorname{argtg} \frac{w}{a} = -\operatorname{argtg} \frac{w}{a}$$

$w$ 'ya cesitli degerler vererek  $|G(w)|$  ve  $\angle G(w)$  degerlei hesaplanır ve grafik cizilir. Verilen  $g(t)$  fonksiyonuna iliskin genlik ve faz spektrumu  $a=1$  icin sekil(ref: xq2sq11)'de goruluyor.



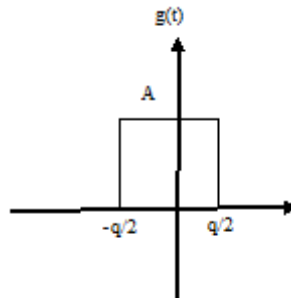
Sekil(xq2sq11)  $g(t) = e^{-t}u(t)$ 'nin genlik ve faz spektrumu.



Sekil(xq2sq51)  $g(t) = e^{-t}u(t)$ 'nin genlik ve faz spektrumunu kompleks furier katsayilari gibi temsil edilmesi .

Ornek Problem:  $\prod(\frac{t}{q})$  olarak gosterilen Sekil(ref: xsx21)deki darbenin Furier Donusumunu bulun.

$$g(t) = \prod\left(\frac{t}{q}\right) = \begin{cases} 1 & |t| < q \\ 0 & |t| > q \end{cases}$$



Sekil(xsx21) Dikdortgen darbe fonksiyonu

Isaretin  $-\infty < t < -q$  ve  $q < t < \infty$  araliklarindaki degeri sifir oldugundan Furier donusumu icin gerekli integrali sadece bu aralikta hesaplamak yeterlidir.



$$\begin{aligned}
G(\omega) &= \int_{-\infty}^{\infty} g(t)e^{-j\omega t} dt = \int_{-q}^q Ae^{-j\omega t} dt = A \frac{1}{-j\omega} [e^{-j\omega t}]_{-q}^q \\
&= A \frac{-1}{j\omega} (e^{-j\omega q} - e^{j\omega q}) = A \frac{1}{j\omega} 2j \frac{1}{2j} (e^{j\omega q} - e^{-j\omega q}) \\
&= \frac{2A}{\omega} \sin(\omega q) = 2Aq \frac{\sin(\omega q)}{\omega q} = 2Aq \frac{\sin(\pi \frac{\omega q}{\pi})}{\pi \frac{\omega q}{\pi}} \\
&= 2Aq \operatorname{sinc}\left(\frac{\omega q}{\pi}\right)
\end{aligned}$$

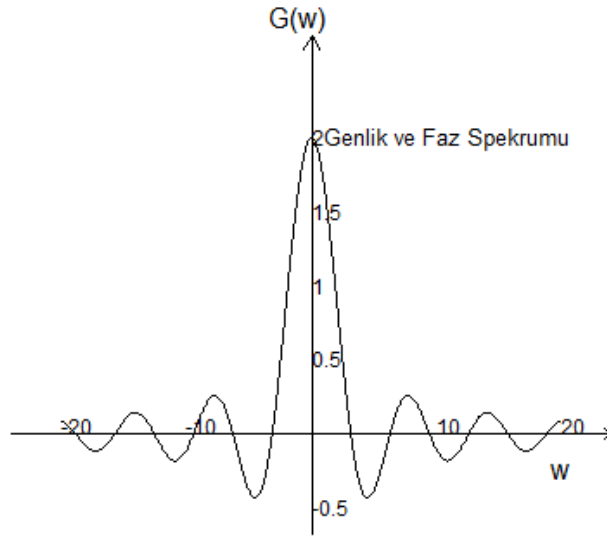
*sinc* fonksiyonu

$$\operatorname{sinc}(x) = \frac{\sin(\pi x)}{\pi x}$$

#

olarak tanımlanmıştır. Genlik fonksiyonu reeldir (kompleks değildir). Bu nedenle faz spektrumunu ayrı bir grafik olarak çizmeye gerek kalmamıştır.

Odev Problem: Genlik ve faz spektrumunu ayrı ayrı çizin.



Sekil(xsx21) Dikdörtgen darbe fonksiyonunun genlik ve faz spektrumu.

Ozel Durumlar

Eğer  $g(t)$  reel ve çift fonksiyon ise ( $g(t) = g(-t)$  ise)

$$G(\omega) = \int_{-\infty}^{\infty} g(t) \cos(\omega t) dt$$

j332

Eğer  $g(t)$  reel ve tek fonksiyon ise ( $g(t) = -g(-t)$  ise)

$$G(w) = \int_{-\infty}^{\infty} g(t) \sin(wt) dt$$

j333

bagintilari ile hesaplanabilir.

Furier serisi katsayilari ile Furier Donusumu arasindaki baginti (ref: rx45) de verilen kompleks Furier serisi Katsayisi ile (ref: a19) da verilen Furier Donusum formulunu tekrar yazalim.

$$c_p = \frac{1}{T_0} \int_{t_0}^{t_0+T_0} g(t) e^{-jp w_0 t} dt$$

xqx357

$$G(w) = \int_{-\infty}^{\infty} g(t) e^{-jw t} dt$$

xqx358

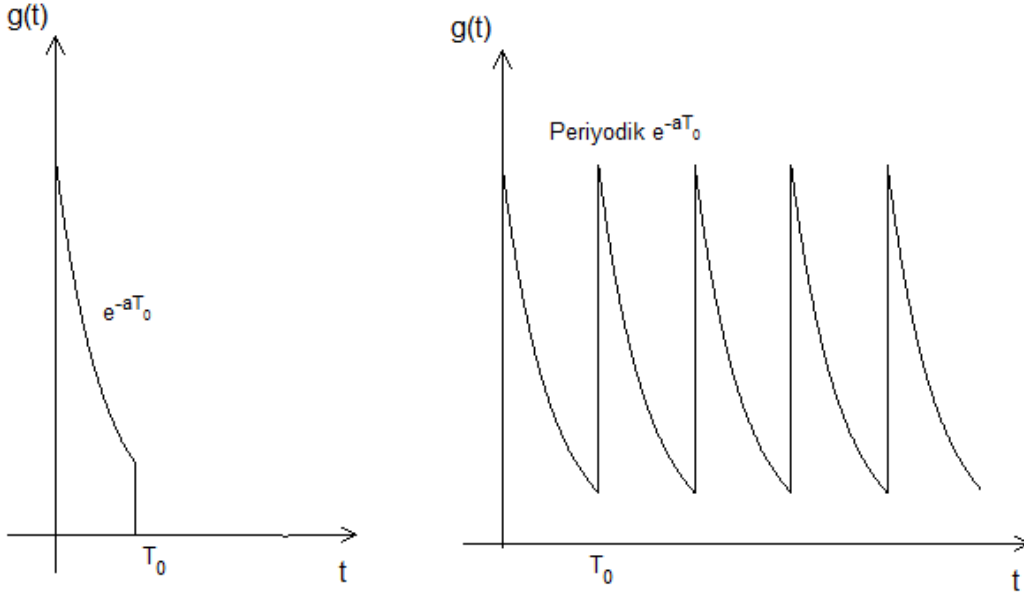
iki esitlige dikkat edilirse

$$c_p = \frac{1}{T_0} G(p w_0)$$

xqx766

bagintisi hemen goze carpar. Yani periyodik bir isaretin kompleks serisi katsayilari ile o isaretin bir periyodunun Furier donusumu arasinda ref: xqx766 bagintisi mevcuttur.

Sekil(ref: xqs391) deki  $g(t)$  isaretinin Furier donusumunu  $G(w)$ 'yi bulun. Buldugunuz  $G(w)$ 'dan faydalanarak Sekil(ref: xqs392) deki periyodik isaretin kompleks Furier Serisi katsayilarini hesaplayin



Sekil(xqs391) a)  $g(t) = e^{-at}$  ,  $t > T_0$  için  $g(t) = 0$   
 $g(t) = e^{-at}$  ,  $T_0$  ile periyodik

b) periyodik

Önce sekil ref: xqs391.a)'in Fourier dönüşümünü bulalım.

$$G(\omega) = \int_{-\infty}^{\infty} e^{-at} e^{-j\omega t} dt = \int_0^{T_0} e^{-at} e^{-j\omega t} dt$$

$$= \left| \frac{1}{-(a+j\omega)} e^{-(a+j\omega)t} \right|_0^{T_0} = \frac{-1}{a+j\omega} [e^{-(a+j\omega)T_0} - e^0]$$

$$= \frac{-1}{a+j\omega} [e^{-(a+j\omega)T_0} - 1]$$

Şimdi de kompleks Fourier serisi katsayılarını (ref: xqx766) bağıntısı ile hesaplayalım.

$$c_p = \frac{1}{T_0} \left\{ \frac{-1}{a+jp\omega_0} [e^{-(a+jp\omega_0)T_0} - 1] \right\}$$

$\omega_0 T_0 = 2\pi$  olduğu dikkate alınırsa

$$c_p = \frac{-1}{aT_0 + jp2\pi} [e^{-aT_0} - 1]$$

olarak bulunur.

Ödev Problem: kompleks Fourier serisi katsayılarını () bağıntısı ile hesaplayın ve sonuçları karşılaştırın.

Fourier Dönüşümünün Özellikleri

## Lineerlik

$$\mathcal{F}[g_1(t)] = G_1(w) \quad \mathcal{F}[g_2(t)] = G_2(w)$$

olmak üzere

$$\mathcal{F}[g_1(t) + g_2(t)] = G_1(w) + G_2(w)$$

dir.

İsbat:

$$\begin{aligned} \mathcal{F}[g_1(t) + g_2(t)] &= \int_{-\infty}^{\infty} [g_1(t) + g_2(t)] e^{-j\omega t} dt \\ &= \int_{-\infty}^{\infty} g_1(t) e^{-j\omega t} dt + \int_{-\infty}^{\infty} g_2(t) e^{-j\omega t} dt = \mathcal{F}[g_1(t)] + \mathcal{F}[g_2(t)] \end{aligned}$$

## Simetri

$$\mathcal{F}[g(t)] = G(w) \quad \text{ise} \quad \mathcal{F}[G(t)] = 2\pi g(-w)$$

özelliği vardır.

İsbat: (ref: a18) eşitlikte  $w$  yerine  $x$  sonra da  $t$  yerine  $-w$  koyalım.

$$g(-w) = \frac{1}{2\pi} \int_{-\infty}^{\infty} G(x) e^{-jxw} dx$$

şimdi de  $x$  yerine  $t$  koyalım.

$$g(-w) = \frac{1}{2\pi} \int_{-\infty}^{\infty} G(t) e^{-j\omega t} dt$$

veya

$$2\pi g(-w) = \int_{-\infty}^{\infty} G(t) e^{-j\omega t} dt = \mathcal{F}[G(t)]$$

Örnek Problem  $g(t) = \frac{1}{a+jt}$  nin Fourier dönüşümünü bulun.

$$\mathcal{F}[e^{-at}u(t)] = \frac{1}{a+j\omega}$$

olduğundan simetri prensibine göre

$$\mathcal{F}^{-1}[2\pi e^{aw}u(-w)] = \frac{1}{a+jt}$$

olacaktır. yani

$$\mathcal{F}\left[\frac{1}{a+jt}\right] = 2\pi e^{aw}u(-w)$$

## Ölçekleme

$$\mathcal{F}[g(t)] = G(w) \quad \text{ise} \quad \mathcal{F}[g(at)] = \frac{1}{|a|} G\left(\frac{w}{a}\right)$$

s65

İsbat:

$$\mathcal{F}[g(at)] = \int_{-\infty}^{\infty} g(at) e^{-j\omega t} dt$$

$x = at \quad t = \frac{x}{a} \quad dt = \frac{dx}{a}$  koyarak  $t > 0$  için

$$\mathcal{F}[g(at)] = \int_{-\infty}^{\infty} g(x)e^{-jwx/a} \frac{dx}{a}$$

$$\frac{1}{a} \int_{-\infty}^{\infty} g(x)e^{-jx(w/a)} dx = \frac{1}{a} G\left(\frac{w}{a}\right)$$

elde edilir.  $t < 0$  için

$$\mathcal{F}[g(at)] = \int_{\infty}^{-\infty} g(x)e^{-jwx/a} \frac{dx}{a}$$

$$- \frac{1}{a} \int_{-\infty}^{\infty} g(x)e^{-jx(w/a)} dx = -\frac{1}{a} G\left(\frac{w}{a}\right)$$

elde edilir. Dolayısıyla teorem isbatlanmış olur.

Ornek Problem  $\mathcal{F}[g(-t)] = G(-w)$  olduğunu gösterin.

(ref: s65) de  $a = -1$  konarak problem çözülür.

## Zaman ekseninde Kaydırma

$$\mathcal{F}[g(t)] = G(w) \quad \text{ise} \quad \mathcal{F}[g(t-a)] = G(w)e^{-jwa}$$

s66

İsbat:

$$\mathcal{F}[g(t-a)] = \int_{-\infty}^{\infty} g(t-a)e^{-j\omega t} dt$$

$x = t-a \quad dt = dx$  koyarak

$$\mathcal{F}[g(t-a)] = \int_{-\infty}^{\infty} g(x)e^{-j\omega(x+a)} dx = \int_{-\infty}^{\infty} g(x)e^{-j\omega x} e^{-j\omega a} dx$$

$$= e^{-j\omega a} \int_{-\infty}^{\infty} g(x)e^{-j\omega x} dx = e^{-j\omega a} G(w)$$

bulunur.

Ornek Problem  $g(t) = [e^{-a|t-t_0|}]$  isaretinin Fourier Donusumunu hesaplayın.

$$\mathcal{F}[e^{-a|t|}] = \frac{2a}{a^2 + w^2}$$

oldugu (C.P.ref: s443) den biliniyordu. O halde kaydırma teoremi gereği

$$\mathcal{F}[e^{-a|t-t_0|}] = \frac{2a}{a^2 + w^2} e^{-j\omega t_0}$$

olacaktır.

## Frekans Ekseninde kaydırma

$$\mathcal{F}[g(t)] = G(w) \quad \text{ise} \quad \mathcal{F}[g(t)e^{jat}] = G(w-a)$$

s341

İsbat:

$$\mathcal{F}[g(t)e^{jat}] = \int_{-\infty}^{\infty} g(t)e^{jat} e^{-j\omega t} dt = \int_{-\infty}^{\infty} g(t)e^{-j(\omega-a)t} dt = G(w-a)$$

Ornek Problem  $[g(t) \cos(at)]$  nin Fourier donusumunu hesaplayin.

$$\cos(at) = \frac{1}{2}(e^{jat} - e^{-jat})$$

yazilabilir. Frekans domeniinde kaydirma teoremine gore

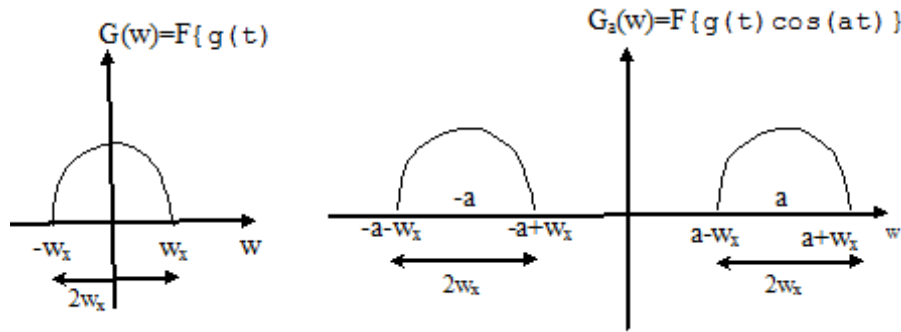
$$\mathcal{F}[g(t)e^{jat}] = G(w + a) \quad \mathcal{F}[g(t)e^{-jat}] = G(w - a)$$

yazilarak.

$$\mathcal{F}[g(t) \cos(at)] = \frac{1}{2}[G(w - a) + G(w + a)]$$

s211

elde edilir. Sekil(ref: x2.24) de  $g(t)$  ve  $g(t) \cos(at)$  isaretine iliskin spektrumlar goruluyor.



Sekil(x2.24)  $g(t)$  ve  $g(t)\cos(at)$  nin fur donusumleri

Odev Problem:  $g(t)=10 \cos(2t)+5 \cos(5t)+8 \cos(7t)$ ,  $m(t)=\cos(60t)$ ,  $h(t)=g(t) m(t)$  isaretleri veriliyor.  $g(t)$  ve  $h(t)$  nin tek taraflı ve çift taraflı spektrumlarını cizin. yukarıdaki teoremin sonuçları ile karşılaştırın.

Not:  $\cos(A)\cos(B)=0.5[\cos(A+B) + \cos(A-B)]$  bağıntisini kullanın.

Konvolüsyon

Tanım :

$$f_1(x) * f_2(x) = \int_{-\infty}^{\infty} f_1(z)f_2(z-x)dx = \int_{-\infty}^{\infty} f_1(z-x)f_2(z)dx$$

bağıntisi  $f_1(x)$  ve  $f_2(x)$  fonksiyonlarının konvolüsyonu olarak adlandırılır. Konvolüsyon bağıntisi birim impuls cevabı bilinen sistemlerin cevaplarını bulmada kullanılır. Örnek olarak birim impuls cevabı  $h(t)$  olarak verilen bir sistemin girişine  $f(t)$  isareti uygulanırsa sistem çıkışı  $y(t) = h(t) * f(t)$  şeklinde hesaplanabilir. Ayrıca  $H(w)$  sistemin transfer fonksiyonu olmak üzere  $\mathcal{F}[h(t)] = H(w)$  dir. Dolayısıyla konvolüsyon integrali bir sistemin herhangi bir girişe karşı sistemin çıkışını hesaplamak için kullanılır.

$$\mathcal{F}[g_1(t)] = G_1(w) \quad \mathcal{F}[g_2(t)] = G_2(w)$$

olmak üzere

$$\begin{aligned}\mathcal{F}[g_1(t) * g_2(t)] &= G_1(w)G_2(w) \\ \mathcal{F}[g_1(t) g_2(t)] &= \frac{1}{2\pi} G_1(w) * G_2(w)\end{aligned}$$

İsbat:

$$\begin{aligned}\mathcal{F}[g_1(t) * g_2(t)] &= \int_{-\infty}^{\infty} \left[ \int_{-\infty}^{\infty} g_1(x)g_2(t-x)dx \right] e^{-j\omega t} dt \\ &= \int_{-\infty}^{\infty} \int_{-\infty}^{\infty} [g_1(x)g_2(t-x)e^{-j\omega t}] dx dt \\ &= \int_{-\infty}^{\infty} g_1(x) \left( \int_{-\infty}^{\infty} g_2(t-x)e^{-j\omega t} dt \right) dx\end{aligned}$$

İçerideki integralde zaman domeninde kaydırma teoremi uygulanırsa

$$\int_{-\infty}^{\infty} g_2(t-x)e^{-j\omega t} dt = G_2(w)e^{-j\omega x}$$

elde edilir. Dolayısıyla

$$\begin{aligned}\mathcal{F}[g_1(t) * g_2(t)] &= \int_{-\infty}^{\infty} g_1(x)G_2(w)e^{-j\omega x} dx = G_2(w) \int_{-\infty}^{\infty} g_1(x)e^{-j\omega x} dx \\ &= G_2(w)G_1(w)\end{aligned}$$

elde edilir.

Konvolüsyon integralini normal integral olarak analitik yöntemlerle hesaplamak çok zor, çoğu kere imkansızdır. Bu teorem konvolüsyon integrali hesaplanmadan konvolüsyon sonucunu elde etmeye yarar. Yani  $g_1(t)$  ve  $g_2(t)$  fonksiyonlarının konvolüsyonunu hesaplamak için  $g_1(t)$  ve  $g_2(t)$  fonksiyonlarının Fourier dönüşümlerini çarpıp ters Fourier dönüşümlerini bulmak yeterlidir.

**Örnek Problem**

$g_1(t) = e^{-at}u(t)$ ,  $g_2(t) = u(t)$  olduğuna göre  $g_3(t) = g_1(t) * g_2(t)$  konvolüsyonunu hesaplayın.

Bu durumda

$$g_1(x) = e^{-ax}u(x), \quad g_2(x) = u(x) \quad g_2(t-x) = u(t-x)$$

olacak ve  $g_3(t)$  fonksiyonu

$$g_3(t) = g_1(t) * g_2(t) = \int_{-\infty}^{\infty} e^{-ax}u(x)u(t-x)dx$$

şeklinde yazılacaktır. Öte yandan

$$x < 0 \text{ için } u(x) = 0$$

ve

$$x > t \text{ için } u(t-x) = 0$$

oldugundan  $u(x)u(t-x)$  carpimi

$$u(x)u(t-x) = \begin{cases} 1 & 0 < x < t \\ 0 & x > t \text{ ve } x < 0 \end{cases}$$

olacaktır. Dolayisiyla

$$\begin{aligned} g_3(t) &= g_1(t) * g_2(t) = \int_{-\infty}^0 e^{-ax} 0 dx + \int_0^t e^{-ax} dx + \int_t^{\infty} e^{-ax} 0 dx \\ &= \int_0^t e^{-ax} dx = 1 - e^{-at} \quad t > 0 \end{aligned}$$

$$t < 0 \text{ icin } e^{-ax}u(x)u(t-x) = 0$$

oldugundan bulunan

$$g_3(t) = 1 - e^{-at}$$

degeri sadece  $t > 0$  icin gecerlidir.  $t < 0$  icin  $g_3(t) = 0$  dir.

Sekil(ref: x2.29) ?????da bu durum gosterilmistir.

Sekil(x2.29)????

## Zaman domeninde turev

$$\mathcal{F}[g(t)] = G(w) \text{ ve } \lim_{t \rightarrow \infty} g(t) = 0 \text{ ise}$$

$$\mathcal{F}\left[\frac{dg(t)}{dt}\right] = jwG(w)$$

#

Isbat:

$$G(w) = \int_{-\infty}^{\infty} g(t)e^{-jw t} dt$$

kismi integrasyon ile ikinci tarafin integrali alinirsa.

$$u = g(t) \quad dv = e^{-jw t} dt \rightarrow du = \frac{dg(t)}{dt} dt \quad v = \frac{1}{-jw} e^{-jw t}$$

$$G(w) = \frac{1}{-jw} e^{-jw t} g(t) \Big|_{-\infty}^{\infty} - \frac{1}{-jw} \int_{-\infty}^{\infty} \frac{dg(t)}{dt} e^{-jw t} dt$$

$\lim_{t \rightarrow \infty} g(t) = 0$  oldugundan ilk terim sifirdir ve

$$jwG(w) = \int_{-\infty}^{\infty} \frac{dg(t)}{dt} e^{-jw t} dt = \mathcal{F}\left[\frac{dg(t)}{dt}\right]$$

elde edilir.

## Frekans Domeninde turev

$$\mathcal{F}[g(t)] = G(w) \text{ ve } \lim_{t \rightarrow \infty} g(t) = 0 \text{ ise}$$



$$\mathcal{F}[-jtg(t)] = \frac{dG(w)}{dw}$$

İsbati zaman domeninde turevde oldugu gibi yapılabilir.

## Zaman domeninde integral

$$\mathcal{F}\left[\int_{-\infty}^t g(x)dx\right] = \frac{1}{jw}G(w) + \pi G(0)\delta(w)$$

İsbat:konvolusyon tanimina gore:

$$g(t) * u(t) = \int_{-\infty}^{\infty} g(x)u(t-x)dx$$

öte yandan

$$u(t-x) = \begin{cases} 1 & x \leq t \\ 0 & x > t \end{cases}$$

oldugundan

$$g(t) * u(t) = \int_{-\infty}^t g(x)dx$$

konvolusyon teoremine gore

$$\mathcal{F}[g(t) * u(t)] = G(w)U(w) = G(w)\left[\pi\delta(w) + \frac{1}{jw}\right]$$

veya

$$\begin{aligned} \mathcal{F}\left[\int_{-\infty}^t g(x)dx\right] &= G(w)\left[\pi\delta(w) + \frac{1}{jw}\right] \\ &= \frac{G(w)}{jw} + \pi G(w)\delta(w) = \frac{G(w)}{jw} + \pi G(0)\delta(w) \end{aligned}$$

not:  $\delta(w)$   $t = 0$  haric her yerde sifir oldugundan  $G(w)\delta(w) = G(0)\delta(x)$  olacaktır. (Bkz. Ek-ref: appx51) Boylece teorem isbatlanmis olur.

$\mathcal{F}[\delta(w)] = 1$  olduguna gore  $\mathcal{F}[u(t)]$  yi hesaplayin.

$$\int_{-\infty}^t \delta(x)dx = u(t) \text{ ve } \mathcal{F}[\delta(t)] = \Delta(w) = 1$$

oldugundan

$$\mathcal{F}[u(t)] = \frac{\Delta(w)}{jw} + \pi\Delta(0)\delta(w) = \frac{1}{jw} + \pi\delta(w)$$

olarak bulunur.

## Parseval Teoremi

Parseval teoremi  $g(t)$  isaretinin tasidigi gucu bulmada faydali olur.  $g(t)$  real ise:

$$\int_{-\infty}^{\infty} g^2(t)dt = \frac{1}{2\pi} \int_{-\infty}^{\infty} |G(w)|^2 dw$$

esitligi vardir.

Isbat Konvolusyon teoreminden

$$\mathcal{F}[g_1(t)g_2(t)] = \frac{1}{2\pi}G_1(w) * G_2(w)$$

yazilabilir. Esitligin her iki tarafini acik yazalim.

$$\int_{-\infty}^{\infty} g_1(t)g_2(t)e^{-j\omega t} dt = \frac{1}{2\pi} \int_{-\infty}^{\infty} G_1(u)G_2(w - u)du$$

Esitligin her iki yaninda  $w = 0$  kayalim.

$$\int_{-\infty}^{\infty} g_1(t)g_2(t)dt = \frac{1}{2\pi} \int_{-\infty}^{\infty} G_1(u)G_2(-u)du$$

Sag taraftaki integral degiskeni olarak  $u$  yeerine  $w$  kullanabiliriz.

$$\int_{-\infty}^{\infty} g_1(t)g_2(t)dt = \frac{1}{2\pi} \int_{-\infty}^{\infty} G_1(w)G_2(w)dw$$

$G_1(w) * G_2(w) = G_2(w) * G_1(w)$  oldugundan

$$\int_{-\infty}^{\infty} g_1(t)g_2(t)dt = \frac{1}{2\pi} \int_{-\infty}^{\infty} G_1(w)G_2(-w)dw = \frac{1}{2\pi} \int_{-\infty}^{\infty} G_1(-w)G_2(w)dw$$

elde edilir.  $g_1(t) = g_2(t) = g(t)$  olsa.

$$\int_{-\infty}^{\infty} g^2(t)dt = \frac{1}{2\pi} \int_{-\infty}^{\infty} G(w)G(-w)dw$$

Eger  $g(t)$  reel ise (pratikte boyledir.)  $G(-w) = G^*(w)$  olacak bunun sonucuda  $G(-w)G^*(w) = |G(w)|^2$  olacaktir. Dolayisiyla

$$\int_{-\infty}^{\infty} g^2(t)dt = \frac{1}{2\pi} \int_{-\infty}^{\infty} |G(w)|^2 dw$$

elde edilir.

$\int_{-\infty}^{\infty} g^2(t)dt$  integrali  $g(t)$  isaretinin tasidigi enerji miktarini verir. Ancak integrali hesaplamak cogu kere pratik degildir. Yukaridaki teorem vasitasiyla isaretin Furier donusumu yardimiyla isaretin tasidigi enerji hesaplanabilir. pratikte  $G(w)$  sinirli oldugundan  $\int_{-\infty}^{\infty} |G(w)|^2 dw$  integralini hesaplamak  $\int_{-\infty}^{\infty} g^2(t)dt$  integralini hesaplmaktan daha kolaydir.

## Autocorrelasyon fonksiyonu

\*\*\*\*\*

Neden sinuzoidal Muhendislikteki mekanik hareketlerin hemen tamamina duzgun sinuzoidal hareketler hakimdir (sabit hizda donen bir motor gibi). Tam duzgun sinuzoidal olmayan hareketler isesinuzoidal hareketlerin birlesimi imis gibi dusunulerek analiz edilir. Diferansiyel denklemlerin cozumunde sinuzoidal bilezenlerin bulunmasi bu yuzdendir.

Bir mikrofondaki zarin hareketini ele alalim. Sekilde goruldugu gibi zar bir uca varirken hizi yavaslar, varma noktasinda hiz sifir olur, donuste zarin hizi yavas yavas artar, obur uca yaklastiginda tekrar yavaslar. Esasen zar hizli olarak kiyilara carparak

hareket yapsa mikrofondan bozuk ugultular gelir. (Agiza cok yakin tutulan mikrofonlardaki durum gibi). insan sesinin girtlakta olusmasindada ses telleri cok hassas ayarli bir mikrofon zarindan daha nazik hareketler yapar, kiyilara vurarak hareket yapmis olsa insan sesi anlasilmaz olur.

Dunya yuvarlak. Yuvarlak harekette bir ahenk var. Dunmyanin koseli oldugunu dusunun. Veya dunyanin yorungesi kare seklinde olsa.?? Dolayisiyla Kainatta ekseriya dairesel harekler vardir.

Yukaridaki anlatildigi gibi dinamik hareketlerin incelenmesi isareti sinuzoidal bilesenlere ayrilmis oldugu dusunulerek yapilir. (Dinamik bir olcu aletinin katalogu aletin degisik frekanslardaki davranisini gosteren tablolar icerir).

Sinusun Tarihcesi: Sinusle ilgili islem yapan Furierin adi varda sinusu bulan endulus emevilerinin adi yok

\*\*\*\*\*

Problemin tam cozumu icin sistem dinamigi ve sistem kestirimi konularina vakif olmak gerekir. Biz basitlik icin sistemin tamamen lineer oldugu, olcmenin hassas oldugu, gurultuden arindirilmis oldugunu ve  $F_1 = F_2 \quad F_3 = 0$  oldugunu varsayalim.

Once  $g(t)$  isaretinin spektrumunu hesaplamamiz lazim. Su ana kadarki bilgilerimizle  $g(t)$ 'nin spektrumunu hesaplayamayiz. Fakat simdilik spektrum bulma isleminin (ref: xAq1) de verilen  $d_p$  ve  $\theta_p$  katsayilarinin hesabi oldugunu varsayin.  $g(t)$ 'nin genlik spektrumu sekil(ref: xs71) deki gibi cikmistir.

f?igure "xs71  $g(t) = F_1 e^{-a_1 t} \cos(w_1 t) + F_2 e^{-a_2 t} \cos(w_2 t)$

Bu spektrumu ileride verilecek olan  $e^{-at} \cos(wt)$  nin spektrumu ile karsilastirdigimizda hemen  $w_1 = ??? \quad w_2 = ????$  oldugunu kolayca goruruz. Ote yandan  $a_1 > a_2$  ise  $e^{-a_1} \cos(w_1 t)$  fonksiyonu  $e^{-a_2} \cos(w_2 t)$  fonksiyonuna gore daha cabuk sonumlenir.  $w_1$  frekansindaki tepe,  $w_2$  frekansindaki tepeden daha kucuk oldugundan  $a_1 > a_2$  oldugunu da soyleyebiliriz.

$a_1$  ve  $a_2$ 'nin kesin degerlerinin hesabi oldukca zordur. Ayrica ve  $F_1 \neq F_2$  olmama durumunda hesaplarin daha da zorlasacagi aciktir. Dikkati dagitmamak icin biz bu konuyu burada noktaliyoruz. Ilgilenen okuyucularin system dinamigi ve system kestirimi gibi kitaplara muracaat etmelerini tavsiye ederiz.

C.P.2.1 Sekil(ref: xs127)deki ucgen darbenin Furier Donusumunu bulun.

$$g(t) = \begin{cases} 1 - \frac{|t|}{q} & |t| < q \\ 0 & |t| > q \end{cases}$$

Sekil(xs127) Ucgen darbe Fonksiyonu

Cozum:

Bir oncesi problemde oldugu gibi integrali  $-q < t < q$  araliginda hesaplamak yeterlidir.

$$\begin{aligned} G(w) &= \int_{-\infty}^{\infty} g(t)e^{-j\omega t} dt = \int_{-q}^0 \left(1 + \frac{t}{q}\right) e^{-j\omega t} dt + \int_0^q \left(1 - \frac{t}{q}\right) e^{-j\omega t} dt \\ &= q \operatorname{sinc}^2\left(\frac{\omega q}{2\pi}\right) \end{aligned}$$

Integral alinirken islemler gosterilmemistir. (ek-??) deki integral tablosundan yararlanilmistir.

C.P.2.2 Impuls fonksiyonunun Furier Donusumunu bulun.

Impuls fonksiyonu tanimi geregi (Ek-ref: appx51) de verilen ozellikleri saglar. (ref: s223) bagintisi kullanilarak istenen Furier donusumunu bulabiliriz

$$\mathcal{F}[\delta t] = \int_{-\infty}^{\infty} \delta(t)e^{-j\omega t} dt = e^{-j\omega 0} = 1$$

xqg301

C.P.2.3  $g(t) = A$  seklinde verilen sabit sayinin Furier Donusumunu Bulun. (C.P.ref: s22)'den

$$\mathcal{F}[\delta(t)] = 1$$

oldugu hesaplanmisti. Ters Furier donusumu tanimmindan

$$g(t) = \frac{1}{2\pi} \int_{-\infty}^{\infty} G(w)e^{-j\omega t} dt$$

$$\delta(t) = \frac{1}{2\pi} \int_{-\infty}^{\infty} 1 e^{j\omega t} d\omega$$

yazilabilecegi aciktir. Son integralde  $\omega = -p$  donusumu yaparak.

$$\delta(t) = \frac{1}{2\pi} \int_{-\infty}^{\infty} 1 e^{-jp t} dp$$

s125

yazilabilir. Simdi 1 sayisinin Furier donusumunu alalim.

$$G(w) = \int_{-\infty}^{\infty} 1 e^{-j\omega t} dt$$

sx125

(ref: s125) de  $t$  yerine  $w$ , ve  $p$  yerine  $t$  harfleri kullanilarak

$$\frac{1}{2\pi} \int_{-\infty}^{\infty} 1 e^{-j\omega t} dt = \delta(\omega) \quad \text{s126}$$

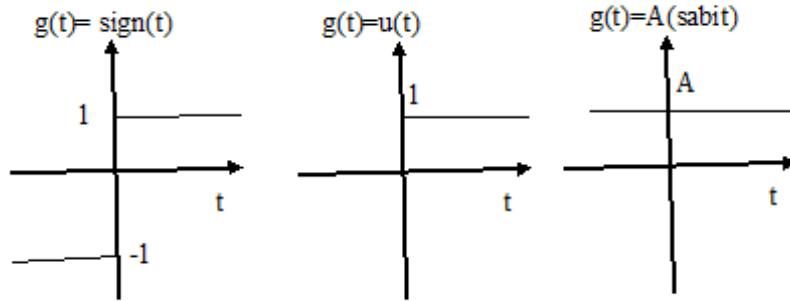
yazilir ve (ref: s125) den yararlanarak

$$\int_{-\infty}^{\infty} 1 e^{-j\omega t} dt = 2\pi\delta(\omega) \quad \text{s127}$$

bulunur. yazilabilir. Dolayisiyla Sabit sayinin Furier donusumu impuls fonksiyonunun  $2\pi$  ile carpilmisidir.

$$\mathcal{F}[1] = 2\pi\delta(\omega)$$

### C.P.2.5



Sekil(xsx81) Degisik fonksiyonlar

$$g(t) = \text{sgn}(t) = \begin{cases} 1 & t > 0 \\ -1 & t < 0 \end{cases}$$

sekinde tanimlanan isaret fonksiyonunun Furier donusumunu bulun.

Verilen isaret fonksiyonu

$$\text{sgn}(t) = \lim_{a \rightarrow 0} [e^{-at} u(t) - e^{at} u(-t)]$$

sekinde yazilabilir. Esitligin her iki tarafinin Furier donusumu alinirsa

$$\begin{aligned} \mathcal{F}[\text{sgn}(t)] &= \int_{-\infty}^{\infty} \left\{ \lim_{a \rightarrow 0} [e^{-at} u(t) - e^{at} u(-t)] \right\} e^{-j\omega t} dt \\ &= \lim_{a \rightarrow 0} \int_{-\infty}^{\infty} e^{-at} u(t) e^{-j\omega t} dt - \lim_{a \rightarrow 0} \int_{-\infty}^{\infty} e^{at} u(-t) e^{-j\omega t} dt \\ &= \lim_{a \rightarrow 0} \left[ \int_0^{\infty} e^{-at} e^{-j\omega t} dt - \lim_{a \rightarrow 0} \int_{-\infty}^0 e^{at} e^{-j\omega t} dt \right] \\ &= \lim_{a \rightarrow 0} \left[ \frac{1}{a + j\omega} - \frac{1}{a - j\omega} \right] = \frac{2}{j\omega} \end{aligned}$$

olarak bulunur.

C.P.2.6  $g(t) = u(t)$  birim basamak fonksiyonunun Fourier donusumunu bulun.

Cozum:  $u(t) = \frac{1}{2} + \frac{1}{2} \text{sgn}(t)$  oldugundan her iki tarafin Fourier donusumu alinarak

$$\begin{aligned}\mathcal{F}[u(t)] &= \mathcal{F}\left[\frac{1}{2} + \frac{1}{2} \text{sgn}(t)\right] = \mathcal{F}\left[\frac{1}{2}\right] + \mathcal{F}\left[\frac{1}{2} \text{sgn}(t)\right] \\ &= \frac{1}{2} 2\pi\delta(\omega) + \frac{1}{2} \frac{2}{j\omega} = \pi\delta(\omega) + \frac{1}{j\omega}\end{aligned}$$

$$\mathcal{F}[u(t)] = \pi\delta(\omega) + \frac{1}{j\omega}$$

s232

elde edilir.

C.P.2.7  $g(t) = \frac{j}{\pi t}$  nin Fourier donusumunu hesaplayin.

Cozum:  $\mathcal{F}[\text{sgn}(t)] = \frac{2}{j\omega}$  oldugu (ref: s136)de gosterilmisti. O halde simetri ozelligi geregi.

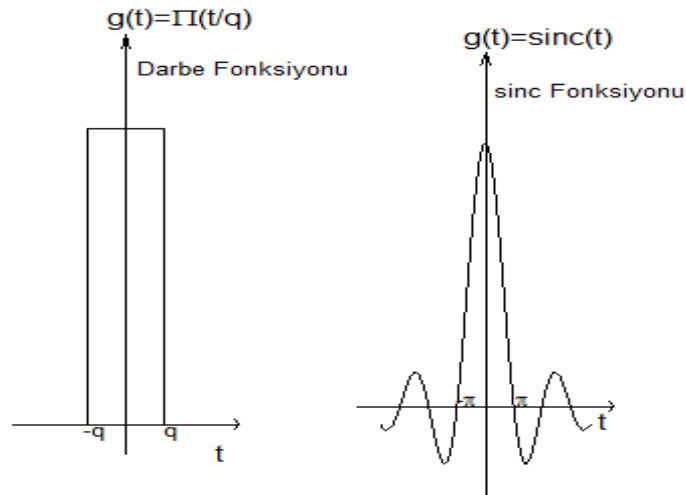
$$\mathcal{F}\left[\frac{2}{j\omega}\right] = 2\pi \text{sgn}(-\omega) = -2\pi \text{sgn}(\omega)$$

veya

$$\mathcal{F}\left[\frac{j}{\pi t}\right] = 2\pi \text{sgn}(-\omega) = \text{sgn}(\omega)$$

elde edilir.

C.P.2.8  $g(t) = \text{sinc}(at)$  nin Fourier donusumunu elde edin.



Cozum .(ref: xpo34) den goruldugu gibi

$$\Pi\left(\frac{t}{q}\right) \leftrightarrow 2q \text{sinc}\left(\frac{\omega q}{\pi}\right)$$

simetri prensibine gore

$$2q \operatorname{sinc}\left(\frac{qt}{\pi}\right) \leftrightarrow 2\pi \prod\left(\frac{-w}{q}\right)$$

ote yandan  $\prod\left(\frac{-w}{q}\right) = \prod\left(\frac{w}{q}\right)$  oldugu dikkate alindiginda

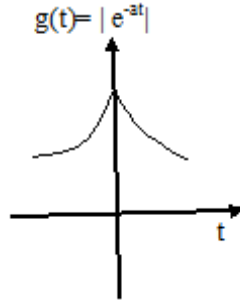
$$\operatorname{sinc}\left(\frac{qt}{\pi}\right) \leftrightarrow \frac{\pi}{q} \prod\left(\frac{w}{q}\right)$$

veya

$$\operatorname{sinc}(at) \leftrightarrow \frac{1}{a} \prod\left(\frac{w}{a\pi}\right)$$

elde edilir.

C.P.2.9  $g(t) = [e^{-a|t|}]$  isaretinin Fourier Donusumunu hesaplayin.



$|e^{-a|t|} = e^{at}u(-t) + e^{-at}u(t)$ dir. ote yandan

$$\mathcal{F}[e^{-at}u(t)] = \frac{1}{a + jw}$$

oldugundan olcekleme bagintisi geregi

$$\mathcal{F}[e^{at}u(-t)] = \frac{1}{a - jw}$$

olacaktır. Dolayisiyla

$$\mathcal{F}[e^{-a|t|}] = \frac{1}{a + jw} + \frac{1}{a - jw} = \frac{2a}{a^2 + w^2}$$

C.P.2.10  $g_1(t)$  isaretin Fourier donusumu  $G_1(w)$  dir.  $g_2(t) = 2g_1\left(-\frac{t}{1.5}\right)$  isaretin Fourier donusumunu  $G_1(w)$  cinsinden bulun.

.  $\mathcal{F}[g_1(t)] = G_1(w)$  oldugundan olcekleme teoremine gore

$$\mathcal{F}\left[2g_1\left(-\frac{t}{1.5}\right)\right] = 2 \cdot \frac{1}{1.5} G_1\left(\frac{-w}{-\frac{1}{1.5}}\right) = 3G_1(-1.5w)$$

$$G_2(w) = 3G_1(-1.5w)$$

C.P.2.11  $g(t) = e^{jat}$  ise  $G(w)$  yi hesaplayin.

Cozum: ref: s76) dan  $\mathcal{F}[1] = 2\pi\delta(w)$  oldugu bulunmustu. Frekans domeninde kaydirma teoremini uygulayarak.

$$\mathcal{F}[1e^{jat}] = 2\pi\delta(w - a)$$

C.P.2.12  $[g(t) \cos(at + \phi)]$  nin Fourier donusumunu hesaplayin.

Cozum:  $\cos(at + \phi)$  terimi ustel formda yazilip frekans domeninde kaydirma teoremi uygulanirsa.

$$\mathcal{F}[g(t) \cos(at + \phi)] = \frac{1}{2}[G(w - a)e^{j\phi} + G(w + a)e^{-j\phi}]$$

s165

elde edilir.

C.P.2.12  $[g(t) \sin(at)]$ 'nin Fourier donusumunu hesaplayin.

Cozum: (ref: s55) de  $\phi = -\pi/2$  konarak

$$\begin{aligned} \mathcal{F}[g(t) \cos(at - \pi/2)] &= \mathcal{F}[g(t) \sin(at)] \\ &= \frac{1}{2}[G(w - a)e^{-j\pi/2} + G(w + a)e^{j\pi/2}] \\ &= \frac{j}{2}[G(w + a) - G(w - a)] \end{aligned}$$

C.P.2.13  $g(t) = \cos(at + \phi)$  ise  $G(w)$  yi hesaplayin.

Cozum: de  $g(t) = 1$  koyup. 1 rin Fourier donusumunun  $2\pi\delta(w)$  oldugu dusunulurse.

$$\mathcal{F}[\cos(at + \phi)] = \pi[\delta(w + a)e^{-j\phi} + \delta(w - a)e^{j\phi}]$$

xqfq357

elde edilir.

C.P.2.14  $g(t) = \cos(at)u(t)$  ise  $G(w)$  yi hesaplayin.

Cozum  $u(t)$  nin Fourier donusumu (ref: s232) den

$$\mathcal{F}[u(t)] = \pi\delta(w) + \frac{1}{jw}$$

idi. (ref: s221) de  $g(t) = u(t)$  konulursa.

$$\begin{aligned} \mathcal{F}[u(t) \cos(at)] &= \frac{1}{2}[\pi\delta(w - a) + \frac{1}{j(w - a)} + \pi\delta(w + a) + \frac{1}{j(w + a)}] \\ &= \frac{\pi}{2}[\delta(w - a) + \delta(w + a)] + \frac{jw}{a^2 - w^2} \end{aligned}$$

sekil(ref: xs2.26) da  $g(t) = \cos(at)$ ,  $g(t) = \cos(at)u(t)$  isaretlerinin spektrumlari goruluyor.

Sekil(xs2.26)???  $g(t) = \cos(at)$ ,  $g(t) = \cos(at)u(t)$  isaretlerinin furier spektrumlari.

C.P.2.15  $g(t) = \sin(at)u(t)$  ise  $G(w)$  yi hesaplayin

Cozum: (ref: s155) de  $g(t) = u(t)$  yazilip yukaridaki islemlere benzer islemler yapilirsa.



$$\mathcal{F}[g(t) \sin(at)] = \frac{\pi}{2j} [\delta(w - a) - \delta(w + a)] + \frac{a}{a^2 - w^2}$$

bulunur. sekil(ref: xs2.262) da  $g(t) = \sin(at) u(t)$  isaretlerinin spektrumları goruluyor.

Sekil(xs2.262)  $g(t) = \sin(at) u(t)$  isaretlerinin furier spektrumları.

C.P.2.16  $g(t)$  periyodik bir isaret olduguna gore  $g(t)$  nin Furier donusumunu bulun.

Cozum (ref: r12) den goruldugu gibi  $T_0$  peryotlu bir isaret kompleks furier serisi formunda

$$g(t) = \sum_{n=-\infty}^{\infty} c_n e^{jn\omega_0 t} \quad \omega_0 = \frac{2\pi}{T_0}$$

sekinde yazilabilir. Dolayisiyla

$$\mathcal{F}[g(t)] = \mathcal{F}\left[\sum_{n=-\infty}^{\infty} c_n e^{jn\omega_0 t}\right] = \sum_{n=-\infty}^{\infty} \mathcal{F}[c_n e^{jn\omega_0 t}]$$

(ref: s341) den

$$\mathcal{F}[c_n e^{jn\omega_0 t}] = c_n 2\pi \delta(w - n\omega_0)$$

oldugundan.

$$\mathcal{F}[g(t)] = 2\pi \sum_{n=-\infty}^{\infty} c_n \delta(w - n\omega_0)$$

olarak bulunur.

C.P.2.16 sekil(ref: cx2) de gosterilen impuls dizisinin Furier donusumunu bulun.

Cozum (ref: s63) den impuls dizisi

$$g(t) = \sum_{n=-\infty}^{\infty} \frac{1}{T_0} e^{jn\omega_0 t}$$

sekinde yazilabilir. (ref: s341) den

$$\begin{aligned} \mathcal{F}[g(t)] &= \mathcal{F}\left[\sum_{n=-\infty}^{\infty} \frac{1}{T_0} e^{jn\omega_0 t}\right] = \frac{1}{T_0} \sum_{n=-\infty}^{\infty} \mathcal{F}[e^{jn\omega_0 t}] \\ &= \frac{1}{T_0} \sum_{n=-\infty}^{\infty} 2\pi \delta(w - n\omega_0) = \frac{2\pi}{T_0} \sum_{n=-\infty}^{\infty} \delta(w - n\omega_0) \end{aligned}$$

olarak bulunur.

## Odev Proplemler

O.P 21 ref: j332 ve ref: j333 bagintilarini ispatlayin.

O.P 22  $g(t) = \frac{1}{a^2+t^2}$  nin Furier donusumunu Bulun.

*Yol gosterme:* Problem (ref: s443)'e simetri ozelligini uygulayin.

*Cevap:*  $G(w) = \frac{\pi}{a} e^{-a|w|}$

O.P 23

$$p(t) = \begin{cases} 1 & |t| < q \\ 0 & |t| > q \end{cases}$$

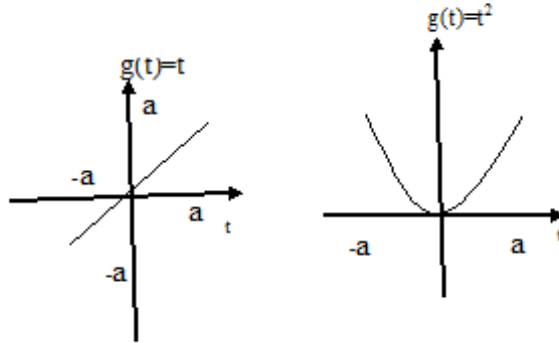
olmak uzere  $g(t) = p(t) \cos(w_0 t)$  fonksiyonunun Furier donusumunu bulun.

*Yol gosterme:*  $p(t)$ 'darbe fonksiyonudur. problem s55 den yaralaniniz.

*Cozum:*  $G(w) = \frac{\sin q(w-w_0)}{w-w_0} + \frac{\sin q(w+w_0)}{w+w_0}$

O.P 24  $p(t)$  problem O.P.23 de tanimlandigi gibi olmasi durumunda  $g(t) = p(t) \sin(w_0 t)$  ve  $g(t) = p(t) \sin(w_0 t + \phi)$  fonksiyonlarinin Furier donusumlerini bulun.

O.P 25 (ref: xqx766) bagintisindan faydalanarak sekil(ref: xqs387) deki isaretin Furier donusumunu bulun.



Sekil(xqs387)  $g(t)=t$  isreti    Sekil(xqs388)  $g(t) = t^2$  isreti

O.P 26 (ref: xqx766) bagintisindan faydalanarak sekil(ref: xqs388) deki isaretin Furier donusumunu bulun.

O.P 27  $g(t) = \sum_{p=0}^{p=k-1} \delta(t - nT_0)$  şeklinde tanımlanan birim impuls treninin Fourier dönüşümünü bulun.

Cevap:  $G(w) = e^{-j(k-1)wT_0/2} \frac{\sin(kwT_0/2)}{\sin(wT_0/2)}$

O.P 28  $\mathcal{F}\left[\frac{1}{t}\right] = -\pi j \operatorname{sgn}(w) = \pi j - 2\pi j u(w)$  olduğunu gösterin.

O.P 29  $\frac{d^2x}{dt^2} + 3\frac{dx}{dt} + 2x = 3\delta(t)$  diferansiyel denkleminin özel çözümünü Fourier dönüşümü yardımıyla bulun.

*Yol gösterme:* Her iki tarafın Fourier dönüşümünü alın,  $X(w)$  yi çekin,  $x(t) = \mathcal{F}^{-\infty}[X(w)]$  yi elde edin.

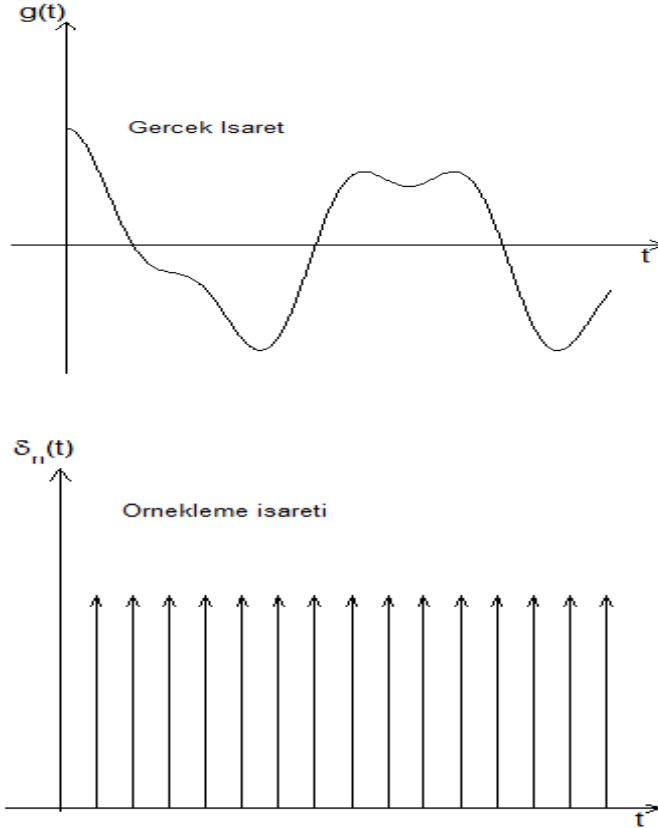
Cevap:  $x_o(t) = 3(e^{-t} - e^{-2t})u(t)$

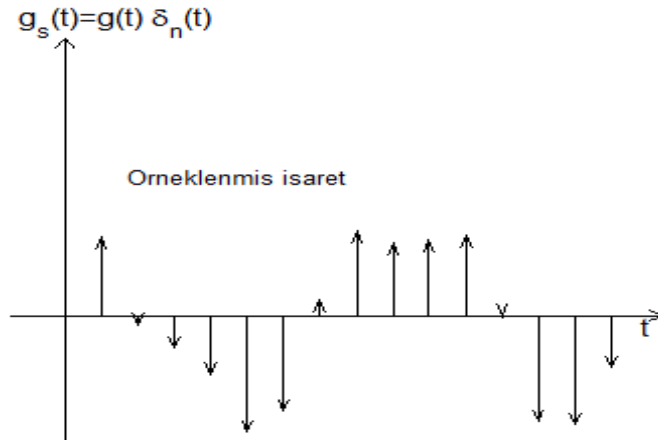
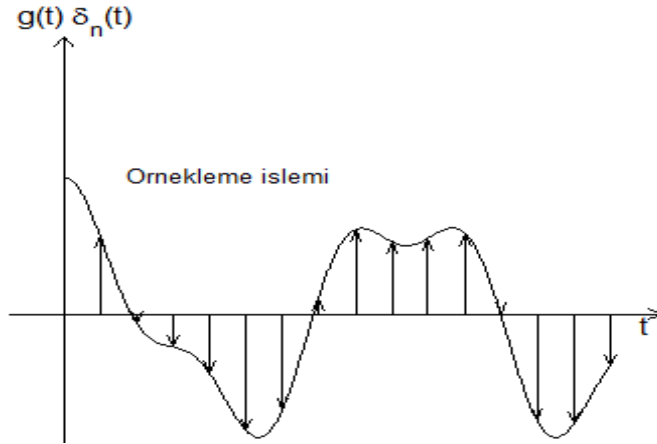
## Ayrık Isaretlerin Furier Donusumu

Isaretlerin bilgisayarda analizi icin isaretin bilgisayara nasil aktarilacagi bolum(ref: xq1bp11) de aciklanmisti. Bu bolumde isarete bilgi kaybi olmamasi icin iki ornekleme arasinda gecen zamanin minimum degeri bulunacaktır. Sonraki kisimlarda ise ayik hale gelmis (bilgisayara aktarilmis) isaretin Furier Donusumu incelenecektir. Son kisimda Ayrık Furier donusumunun hizlandirilmis sekli olan Hizli Furier donusumu aciklanacaktır.

## Ornekleme Teoremi

Seki(ref: xqs331.a) daki  $g(t)$  isaretini ornekleme (belirli anlardaki degerini bilgisayara aktarmak) icin sekil(ref: xqs331.b) deki gibi bir  $\delta_n(t)$  impuls darbe dizisi tanimlanir.  $g_n(t) = \delta_n(t)g(t)$  bilgisayara aktarilan isaret olacaktır.





Sekil(xqs33 a) analog  $g(t)$  isareti. b)  $\delta_h(t)$  :  $g(t)$ yi orneklemek icin impuls darbe katari.  
d)  $g_s(t)$  : bilgisayara aktarilan isaret.

$$g_s(t) = \delta_h(t)g(t)$$

q12

$\delta_h(t)$  impuls darbe dizisinin kompleks Fourier serisi katsayilari ref: p385'den

$$C_n = \frac{1}{T_s}$$

sekinde idi.  $\delta_h(t)$  isaretini kompleks furier serisi cinsinden yazarsak

$$\delta_h(t) = \sum_{n=-\infty}^{n=\infty} C_n e^{jnw_s t} = \sum_{n=-\infty}^{n=\infty} \frac{1}{T_s} e^{jnw_s t} = \frac{1}{T_s} \sum_{n=-\infty}^{n=\infty} e^{jnw_s t}$$

xq144

ref: xq144'de bulunan  $\delta_h(t)$  degerini (ref: q12) de yerine koyelim.

$$g_s(t) = g(t)\delta_h(t) = g(t)\frac{1}{T_s} \sum_{n=-\infty}^{n=\infty} e^{jnw_s t} = \frac{1}{T_s} \sum_{n=-\infty}^{n=\infty} g(t)e^{jnw_s t}$$

q21

Bulduumuz bu  $g_s(t)$  isaretinin Fourier donusumunu alalim.

$$\begin{aligned}\mathcal{F}\{g_s(t)\} &= \mathcal{F}\left\{\frac{1}{T_s} \sum_{n=-\infty}^{n=\infty} g(t)e^{jn\omega_s t}\right\} \\ &= \frac{1}{T_s} \sum_{n=-\infty}^{n=\infty} \mathcal{F}\{g(t)e^{jn\omega_s t}\}\end{aligned}$$

q23

Furier donusumunun toplam isaretinin icine girebilmesi Furier donusumunun lineerlik ozelliginden dolayidir. Toplamın Furier donusumu, her terimin ayri ayri Furier donusumunun toplamına esittir.

Ote yandan ref: s341 ile verilen Furier donusumunun frekans ekseninde kayma teoreminden

$$\mathcal{F}\{g(t)e^{jn\omega_s t}\} = G(\omega - n\omega_s)$$

xq351

Yazilabilir. ref: xq351de bulunan deger ref: q23 de yerine konursa  $g_s(t)$  in furier donusumu elde edilir.

$$\mathcal{F}\{g_s(t)\} = G_s(\omega) = \frac{1}{T_s} \sum_{n=-\infty}^{n=\infty} G(\omega - n\omega_s)$$

q25

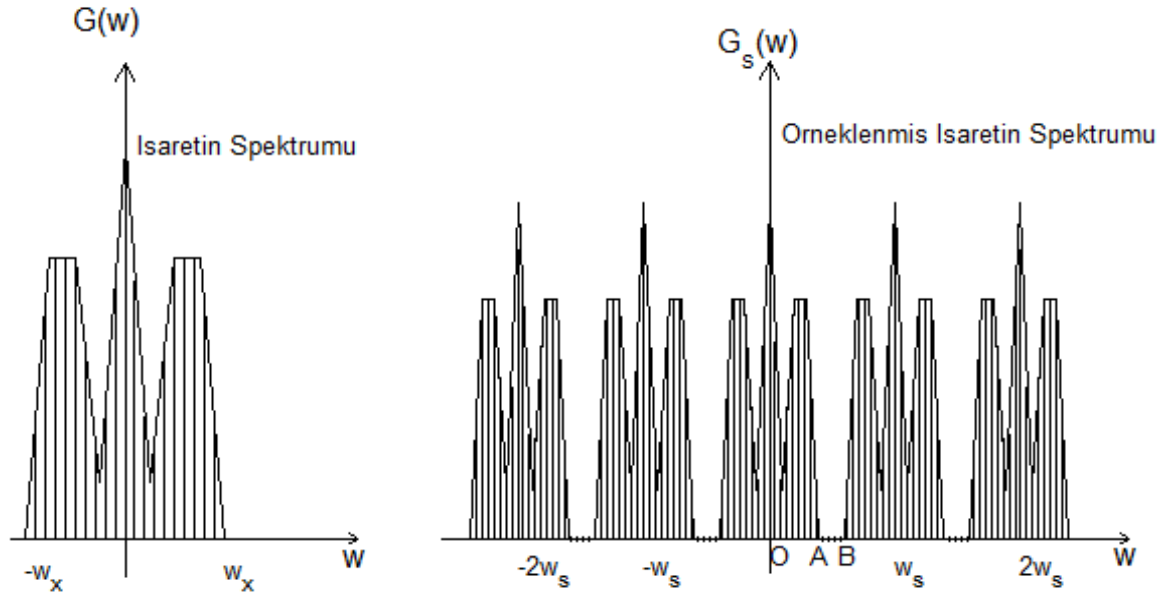
(ref: q25) de ki toplam terimini acik yazalim.

$$\begin{aligned}G_s(\omega) &= \frac{1}{T_s} [G(\omega) + G(\omega - \omega_s) + G(\omega + \omega_s) + G(\omega - 2\omega_s) \\ &+ G(\omega + 2\omega_s) + G(\omega - 3\omega_s) + G(\omega + 3\omega_s) + \dots \\ &.. + G(\omega - k\omega_s) + G(\omega + k\omega_s) \dots \dots \dots ]\end{aligned}$$

q30

Goruldugu gibi  $G_s(\omega)$   $G(\omega)$  yi ihtiva etmekte ilave olarak sagda ve sol tarafta  $G(\omega)$  nin  $\omega_s, 2\omega_s, 3\omega_s, \dots$  kadar kaymis hallerini de icermektedir.

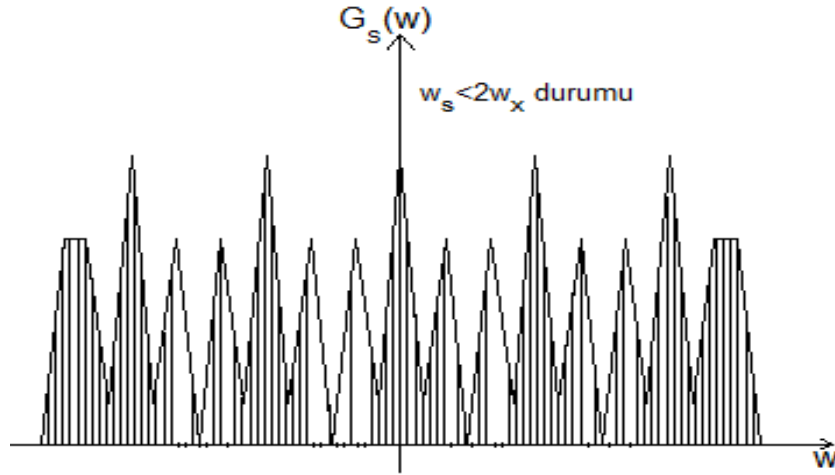
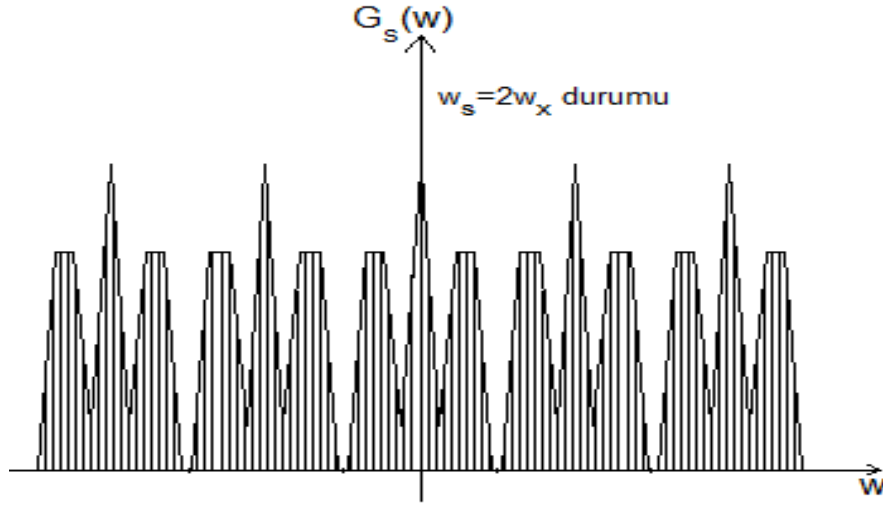
Ozetle  $g(t)$  isaretini ornekledik (darbe dizisi ile carptik)  $g_s(t)$  elde ettik.  $g_s(t)$   $g(t)$  deki bilgileri aynen muhafaza ediyorsa isaret bozulmamis demektir. Isaretin bozulup bozulmadigini isaretin spektrumuna bakarak da anlayabiliriz. Isaretin bozulmaması demek  $G_s(\omega)$  dan  $G(\omega)$  nin elde edilmesi demektir. Cunku  $G(\omega)$  nin ters Furier donusumu alinarak  $g(t)$  bulunabilir.



Sekil(xq384 a)  $g(t)$  isaretinin spektrumu  $G(w)$  b)  $g_s(t)$

isaretinin spektrumu  $G_s(w)$

Sekil(ref: xq384.b)da acikca goruldugu gibi eger A ve B noktaları arasında mesafe varsa  $G_s(w)$  dan  $G(w)$  elde edilebilir. Bir alçak geciren filtre kullanarak bu iş yapılır. Ancak O-A mesafesi O-B den büyük ise spektrumlar birbirine girer ve  $G_s(w)$   $G(w)$  yi artık içinde bulundurmaz. Isaretin ornekleme dolayisiyla bozulmaması için gerek şart OA mesafesinin OB den küçük olmasıdır. A noktasının anlamı  $g(t)$  isaretinin içinde bulunan en yüksek frekansıdır.  $x = OA$  mesafesine  $g(t)$  nin **bant genişliği** denir. Sekil(ref: xq385.a) ve (ref: xq385.b) de  $w_s = 2x$ ,  $w_s < 2x$  halleri için  $G_s(w)$ 'ya ilişkin spektrum çizilmiştir.



Sekil(xq385)  $g_s(t)$  isaretinin spektrumu  $G_s(w)$  a)  $w = 2x$  hali b)  $w_s < 2x$   
 Buradan acikca goruldugu gibi  $w_s > 2x$  hali icin  $G_s(w)$ 'dan herhangi bir filtre kullanarak  $G(w)$ 'yi elde etmek mumkun degildir.  $w_s < 2x$  olma durumuna Yani ornekleme frekansinin isaretin icinde bulundurdugu en yuksek frekans bileseninin iki katindan daha az oldugu duruma **frekans domeninde ortusme** denir.  $2x$  degerine **Nyquist frekansi** denir.

Ozetle isaretin ornekleme dolayisi ile bozulmaması (ortusme olmaması) icin

$$w_s > 2x$$

q33

olmalı.  $w_s$  ornekleme frekansi idi. Sozlu ifade ile

**Bir isaretin ornekleme dolayisiyla bozulmaması icin gerek ve yeter sart ornekleme frekansinin isaretin bant genisliginin iki katindan buyuk olmasidir**

Yukaridaki ifade **Shannon ornekleme teoremi** olarak da bilinir.



Ornek Problem 3.x1  $g(t) = 5 + \cos(8t + 20) + \cos(20t - 70) - \sin(3\pi t + 120)$  isaretinin bilgi kaybi olmadan bilgisayara aktarilabilmesi icin ornekleme araligi ne olmalidir.

Cozum: Isaretin icinde 0, 8, 20, 12.56 frekansli bileşenler vardır. Dolayısıyla isaret icindeki en yuksek frekans bileşeni  $w_s = 20$ 'dir. Ornekleme araligi en az  $T_s = \frac{2\pi}{w_s} = 0.628$  saniye olmalıdır.

Ornek Problem 3.x2 (O.P.ref: xpo34) deki dikdortgen dalganin Bu isaretin bilgisayara bilgi kaybi olmadan aktarilabilmesi icin orneklame araligi ne olmalidir.

Cozum: Spektrumdan goruldugu gibi dikdortgen dalga icindeki frekans bileşenlerinin en buyugu sonsuz olmaktadır. Benzer sekilde (C.P. ref: p338, ref: s22, ref: p137)'deki pratikte karsilasacagimiz isaretlerin spektrumlari da sonsuza uzanmaktadır. Ideal durum dusunuldugunde bu cesit isaretler hicbir zaman bilgi kaybi olmadan bilgisayara aktarilamaz. Pratikte ise bu cesit isaretlerde spektrumun ust bolgesi bir alcak geciren filtre ile atilir. Elde kalan kisim bilgisayar aktarilir. Aksi takdirde yani spektrumu sonsuza uzanan bir isareti filtresiz olarak bilgisayara aktarmaya kalkarsak isarete bozulmalar olacaktır. Bu tip bozulma olayina **zaman domeninde ortusme** olayi denir.

Ornek Problem 3.x14  $g(t) = 5 + \cos(3t) + \cos(5t)$  veriliyor. a)  $g(t)$  nin Furier donusumunu bulun b)  $w_s = 20$  c)  $w_s = 8$  alarak her iki durum icin orneklenmis isaretin spektrumunu cizin

## Ayrik Furier Donusumu

ref: xqb3x1 bolumde gordugumuz gibi bir isareti bilgi kaybi olmadan bilgisayara aktardigimizi varsayalim. Simdi soru bilgiyardaki bu datalari kullanarak bu isaretin icindeki sinuzoidal bileşenleri nasil bulabiliriz. Baska bir deyişle ayrik degerler halinde bulunan isaretin Furier donusumunu nasil alinabilir. Bu kisimda bu parca arastirilacaktır.

Sekil (ref: xqs331.b) deki impuls katarini

$$\delta_h(t) = \sum_{n=-\infty}^{n=\infty} \delta(t - nT) \quad \text{xs379}$$

sekinde gosterebiliriz. Bu gosterim altinda sekil(ref: xqs331.c) de gosterilen  $g_s(t) = \delta_h(t)g(t)$  isaretinin Furier Donusumunu alalim.

$$G_s(w) = \int_{n=-\infty}^{n=\infty} g_s(t)e^{-jw t} dt = \int_{n=-\infty}^{n=\infty} \sum_{n=-\infty}^{n=\infty} g(t)\delta(t - nT)e^{-jw t} dt \quad \text{xq381}$$

Toplam ve integral degiskenleri birbirinden bagimsiz oldugundan ref: xq381 esitliginde toplam ve integral yer degistirebilir.

$$G_s(w) = \sum_{n=-\infty}^{n=\infty} \int_{n=-\infty}^{n=\infty} g(t)\delta(t - nT)e^{-jw t} dt \quad \text{e11}$$

ref: s224 de verilen baginti geregi

$$\int_{n=-\infty}^{n=\infty} (g(t)e^{-j\omega t})\delta(t - nT)dt = g(nT)e^{-j\omega nT}$$

#

oldugu aciktir. Dolayisiyla (ref: e11) esitligi

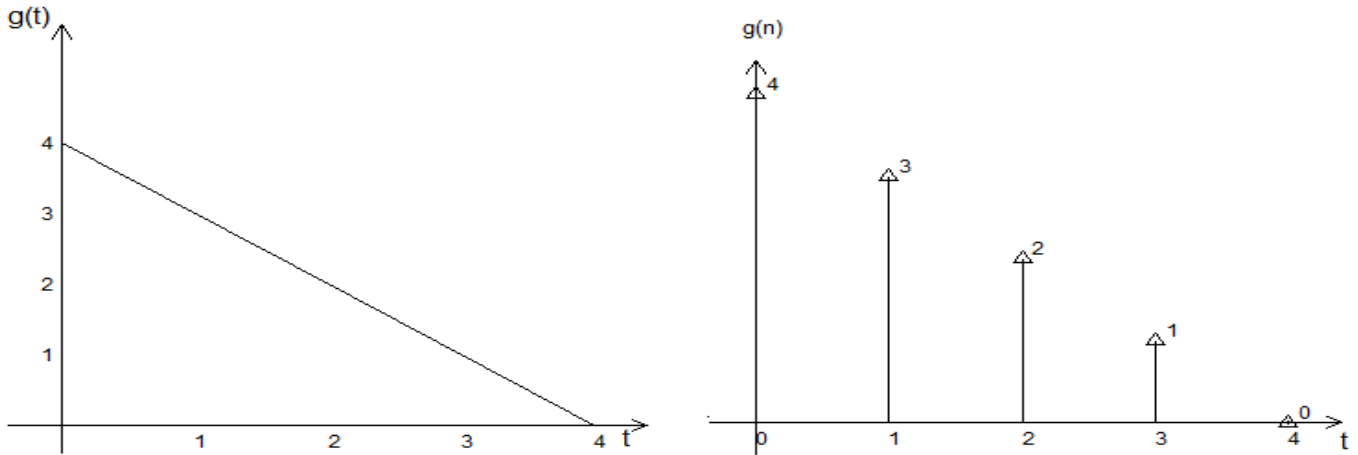
$$G_s(\omega) = \sum_{n=-\infty}^{n=\infty} g(nT)e^{-j\omega nT} = \overline{G(\omega)}$$

e20

haline gelir. Burada  $g(nT)$ ,  $g(t)$  isaretinin  $t = nT$  anindaki degeridir.  $t = nT$  anlarinda  $g_s(nT) = g(nT)$  olduguda aciktir.  $\overline{G(\omega)}$   $g(t)$  nin ayrik Furier donusumu  $g_s(t)$  nin Furier donusumu anlaminda kullanilir. Boylece bilgisyarda Data dizisi halinde verilen bir isaretin (ref: e20) formulu ile Furier donusumunu alip icindeki sinuzoidal bilesenler hakkında bilgi sahibi olabiliriz.

Sekil(ref: xqs381) deki isaret 1 saniye ara ile orneklenmistir. Orneklenmis isaretin ayrik Furier donusumunu bulun.  $\omega = 1$  icin genlik ve fazini hesaplayin. c)  $\overline{G(\omega)}$ 'nin genlik ve faz spektrumunu cizin.

Cozum



Sekil(xqs381) yarim ucgen darbe

Isaretin  $t = 0, t = 1, t = 2, t = 3, t = 4$  anlarinda degeri vardir. diger  $t$  degerleri icin sifirdir.

$$\begin{aligned} \overline{G(\omega)} &= \sum_{n=-\infty}^{n=\infty} g(nT)e^{-j\omega nT} = \sum_{n=0}^{n=4} g(nT)e^{-j\omega nT} \\ &= g(0)e^{-j\omega n0} + g(T)e^{-j\omega T} + g(2T)e^{-j\omega 2T} + g(3T)e^{-j\omega 3T} + g(4T)e^{-j\omega 4T} \end{aligned}$$

Ornekleme araligi  $T = 1$  verildiginden  $g(0)=4$ ,  $g(T)=3$ ,  $g(2T)=2$ ,  $g(3T)=1$ ,  
 $g(4T) = 0$ ,  $T = 1$  degerleri yukarida yerine konursa.

$$\overline{G(w)} = 4 + 3e^{-jw} + 2e^{-j2w} + e^{-j3w}$$

xqp308

elde edilir.  $w = 1$  icin

$$\begin{aligned} \overline{G(X)}1 &= 4 + 3(0.54 - j0.84) + 2(0.41 - 0.90) - 0.99 - 0.14 \\ &= 3.79 - j4.48 = 5.87e^{-j49.7} \end{aligned}$$

$|\overline{G(X)}1| = 5.87$   $\angle \overline{G(X)}1 = -49.7$  elde edilir.

Degisik  $w$  degerleri icin  $\overline{G(w)}$ 'nin degeri hesaplanir ve bu degerden faydalanarak spektrum cizilir. sekil(ref: xqs377) de de isaretin genlik ve faz spektrumu goruluyor.

Sekil(xqs377) ucgen Darbenin Ayrik Furier Donusumu

$g(t)$  isareti belli bir zaman araliginda deger alacagindan (ref: e20) esitligindeki toplami  $n = -\infty, n = \infty$  araligi yerine yukaridaki ornekte oldugu gibi  $n = 0$  dan  $n = N$  ye kadar hesaplamak yeterlidir. Ayrica  $g(nT)$  gosterimi yerine  $g(n)$  gosterimi kullanilir ve esitlik

$$\overline{G(w)} = \sum_{n=0}^{n=N} g(n)e^{-jwnT} =$$

xqf384

haline gelir. Hesap kolayligi icin  $T = 1$  alinir.  $T = 1$  den farkli oldugu durumlarda (ref: s65) de verilen zaman ekseninde olcukleme teoreminden faydalanilarak bulunan  $\overline{G(w)}$  degeri olceklenir.

## Ayrik Furier Donusumunun Ozellileri

Ayrik Furier donusumu Furier donusumunun sagladigi ozellikleri saglarlar. Ancak isaret belli bir zaman araliginda sifirdan farkli kabul edildiginden bu noktaya dikkat etmek gerektir.

$$\begin{aligned} 1) \text{ Lineerlik } \mathcal{F}_a[g(nT)] &= \overline{G(w)} \quad \mathcal{F}_a[f(nT)] = \overline{F(w)} \text{ olmak uzere} \\ \mathcal{F}_a[g(nT) + f(nT)] &= \overline{G(w)} + \overline{F(w)} \end{aligned}$$

dir.

2) Frekans ekseninde kaydirma

$$\mathcal{F}_a[g(nT)e^{jkn}] = \overline{G(X)}_{w-k}$$

3) Zaman ekseninde kaydirma

$$\mathcal{F}_a[g((n-p)T)] = \overline{G(w)}e^{-jpw}$$

4) simetri

$$\frac{1}{N} \mathcal{F}_a[g(nT)] = \overline{G(X)}_{-w}$$

5) Frekans domeninde turev

$$\mathcal{F}_a[ng(nT)] = j \frac{d\overline{G(w)}}{dw}$$

6) Parseval teoremi

$$\frac{1}{N} \sum_{n=0}^{N-1} |g(nT)|^2 = \sum_{m=-N}^{N-1} |G(mw)|^2$$

7) Ayrıca normal Fourier dönüşümünde olmayan fakat Ayrik Fourier dönüşümünde olan periyodiklik özelliği vardır.

$m$  tamsayı olmak üzere

$$\overline{G(w)} = \overline{G(X)}(w + mw_0) \quad w_0 = \frac{2\pi}{T}$$

xqf337

7. uncu özelliğinin ispatı:

$$\begin{aligned} \overline{G(X)}(w + mw_0) &= \sum_{n=-\infty}^{\infty} g(nT) e^{-j(w+mw_0)nT} \\ &= \sum_{n=-\infty}^{\infty} g(nT) e^{-jnT} e^{-jmw_0nT} = \sum_{n=-\infty}^{\infty} g(nT) e^{-jnT} \\ &= \overline{G(w)} \end{aligned}$$

## Degisik Formda Ayrik Fourier Serisi

(ref: xqf384) esitliğini acik olarak yazalim.

$$\overline{G(w)} = g(0)e^{-j0wT} + g(T)e^{-jwT} + g(2T)e^{-j2wT} + g(3T)e^{-j3wT} + \dots + g(NT)e^{-jNwT} \quad \#$$

Simdi elimizde  $g(0), g(T), g(2T), \dots, g(NT)$  seklinde  $N$  tane data var.

$w = \Omega_0, w = \Omega_1, w = \Omega_2, w = \Omega_3, \dots, w = \Omega_N$  degerleri icin  $\overline{G(w)}$  yi hesaplayalim ve sonucu bir matris formunda yazalim.

$$\begin{bmatrix} \overline{G(X)}(\Omega_0) \\ \overline{G(X)}(\Omega_1) \\ \overline{G(X)}(\Omega_2) \\ \dots \\ \overline{G(X)}(\Omega_{N-1}) \end{bmatrix} = \begin{bmatrix} e^{-j0\Omega_0T} & e^{-j\Omega_0T} & e^{-j2\Omega_0T} & \dots & \dots & e^{-j(N-1)\Omega_0T} \\ e^{-j0\Omega_1T} & e^{-j\Omega_1T} & e^{-j2\Omega_1T} & \dots & \dots & e^{-j(N-1)\Omega_1T} \\ e^{-j0\Omega_2T} & e^{-j\Omega_2T} & e^{-j2\Omega_2T} & \dots & \dots & e^{-j(N-1)\Omega_2T} \\ \dots & \dots & \dots & \dots & \dots & \dots \\ \dots & \dots & \dots & \dots & \dots & \dots \\ e^{-j0\Omega_{N-1}T} & e^{-j\Omega_{N-1}T} & e^{-j2\Omega_{N-1}T} & \dots & \dots & e^{-j(N-1)\Omega_{N-1}T} \end{bmatrix} \begin{bmatrix} g(0) \\ g(T) \\ g(2T) \\ \dots \\ \dots \\ g((N-1)T) \end{bmatrix} \quad \text{xqf386}$$

Buradan goruldugu gibi  $N$  adet  $g(0), g(1), g(2), \dots, g(N-1)$  datalarindan  $N$  tane frekansda  $\overline{G(w)}$  degerini hesaplayabiliriz. Hesaplayacagimiz yeni bir  $\overline{G(X)}(\Omega)$  degeri oncekilerin lineer kombinezonu olacaktır. Yani  $k_0, k_1, k_2, \dots, k_{N-1}$  sabit sayilar olmak üzere

$$\overline{G(X)}(\Omega_N) = k_0 \overline{G(X)}(\Omega_0) + k_1 \overline{G(X)}(\Omega_1) + k_2 \overline{G(X)}(\Omega_2) + \dots + k_{N-1} \overline{G(X)}(\Omega_{N-1}) \quad \#$$

seklinde olacaktır. Dolayisiyla  $\overline{G(w)}$  nin degerini  $N$  adet noktada hesaplamak yeterlidir. Herhangibir noktadaki  $\overline{G(w)}$  degeri hesaplanan  $N$  adet  $\overline{G(w)}$  nin lineer kombinezonu

olarak yazilabilir.  $N$  adet  $\overline{G(w)}$  degerini en uygun olani esit araliklarla hesaplamaktir.  $\overline{G(w)}$   $w_0$  periyodu ile periyodik oldugundan bir periyot boyunca hesaplamak yeterlidir. O halde bir periyot olan  $w_0$  ri esit araliklara bolup  $w_0 = N\Omega_0$   $\Omega_0 = \frac{w_0}{N} = \frac{2\pi}{TN}$  olmak uzere

$$\Omega_1 = \Omega_0, \quad \Omega_2 = 2\Omega_0, \quad \Omega_3 = 3\Omega_0 \quad \dots \dots \dots \Omega_{N-1} = (N-1)\Omega_0$$

noktalarinda  $\overline{G(w)}$  degerini hesaplamak en uygun olanidir.

$$\overline{G(X)}(m\Omega_0) = \sum_{n=0}^{n=N-1} g(nT)e^{-jnm\Omega_0T} = \sum_{n=0}^{n=N-1} g(nT)e^{-jnmT\frac{2\pi}{NT}} \quad \text{e42}$$

Boylece AFD bagintisi

$$\overline{G(X)}(m\Omega_0) = \sum_{n=0}^{n=N-1} g(nT)e^{-j2\pi mn/N} \quad \text{e43}$$

haline gelir. (ref: e43) bagintisinin icinde ornekleme araligi yoktur. Ornekleme araligi frekans eksenini olceklerken ise dahil olur.

Sekil(ref: xqs381) daki isaretin AFD'nu (ref: e43) den faydalanarak hesaplayin. Buldugunuz sonuclari (ref: xqp308) esitligi ile verilen formulle karsilastirin.

Cozum: Toplam data sayisi  $N=5$  dir.

$$g(0)=4, \quad g(T)=3, \quad g(2T)=2, \quad g(4T)=1, \quad g(4T)=0$$

(ref: e43) esitligi  $N=5$  icin.

$$\overline{G(X)}(m\Omega_0) = \sum_{n=0}^{n=4} g(nT)e^{-j2\pi mn/5}$$

haline gelir.  $m = 0, 1, 2, 3, 4$  icin hesaplanirsa.

$$\overline{G(X)}0=10, \quad \overline{G(X)}\Omega_0=2.5-j3.44, \quad \overline{G(X)}2\Omega_0=2.5-j0.81, \quad \overline{G(X)}3\Omega_0=2.5+j0.81$$

$$\overline{G(X)}4\Omega_0=2.5+j3.44, \quad \text{bulunur.}$$

Ote yandan  $N\Omega_0 = \frac{2\pi}{T} = 2\pi \rightarrow \Omega_0 = 1.256$  dir.

(ref: xqp308)esitligindeki  $\overline{G(w)}$  ifadesi  $w = 0, \quad w = \Omega_0 = 1.256$

$w = 2\Omega_0 = 2.512, \quad w = 3\Omega_0 = 3.768, \quad w = 4\Omega_0 = 5.024$  icin hesaplanirsa.

$$\overline{G(X)}0=10, \quad \overline{G(X)}1.256=2.5-j3.44, \quad \overline{G(X)}2.512=2.5-j0.81,$$

$$\overline{G(X)}3.768=2.5-j0.81, \quad \overline{G(X)}5.024=2.5+j3.44 \text{ bulunur.}$$

Burada akla hemen su soru takilir. (ref: xqp308) bagintisi ile AFD'nu istedigimiz frekans araliginda hesaplayabiliriz. (ref: e43) bagintisi ile sadece belli frekans degerlerindeki AFD'nu bulabiliriz. (ref: xqp308) bagintisi elimizde iken (ref: e43) bagintisine ne gerek var. Sorunun cevabi bir sonraki kisimda islenecek olan Hizli Furier Donusumu ile ilgilidir. (ref: e43) bagintisi sinirli frekanslarda hesaplamayi yapiyor. Ornekleme periyodu yeteri kadar kucukse (ki oyle olmak zorundadir) bu frekanslardaki AFD degerleri cogu kere isaret hakkında yeterli bilgiyi verir. Halbuki (ref: e43) bagintisi ile yapilacak hesaplamalar (ref: xqp308) ile yapilacak hesaplamalardan cok daha hizlidir.

## Ayrık Ters Furier Donusumu

AFD u belli olan bir isaretin  $g(nT)$  degerleri

$$g(nT) = \frac{1}{N} \sum_{m=0}^{m=N-1} G(m\Omega_0) e^{j2\pi nm/N} \quad \text{e51}$$

sekinde hesaplanabilir.

**Ispat:** (ref: e43) esitligi (ref: e51) de yerine konursa

$$\begin{aligned} g(nT) &= \frac{1}{N} \sum_{m=0}^{m=N-1} \left[ \sum_{k=0}^{k=N-1} g(kT) e^{-j2\pi km/N} \right] e^{j2\pi nm/N} \\ g(nT) &= \frac{1}{N} \sum_{m=0}^{m=N-1} \sum_{k=0}^{k=N-1} g(kT) e^{j[2\pi m(n-k)]/N} \\ &= \frac{1}{N} \sum_{m=0}^{m=N-1} g(kT) \sum_{k=0}^{k=N-1} e^{j[2\pi m(n-k)]/N} \end{aligned} \quad \text{e54}$$

elde edilir.

$$\sum_{k=0}^{k=N-1} e^{j[2\pi m(n-k)]/N} = \begin{cases} 0 & k \neq n \\ N & k = n \end{cases}$$

oldugu gozonune alinip bu (ref: e54) de yerine konulursa.

$$\frac{1}{N} \sum_{m=0}^{m=N-1} g(kT) \left[ \sum_{k=0}^{k=N-1} e^{j[2\pi m(n-k)]/N} \right] = Ng(nT) \quad \text{e543}$$

elde edilir ve boylece (ref: e54) esitligi

$$g(nT) = \frac{1}{N} \sum_{m=0}^{m=N-1} \sum_{k=0}^{k=N-1} g(kT) e^{j[2\pi m(n-k)]/N} = \frac{1}{N} Ng(nT) = g(nT) \quad \text{e57}$$

haline gelir ve teorem ispatlanmis olur.

Ayrık Furier donusum formullerini toplu halde yazarsak

$$\overline{G(X)}(m\Omega_0) = \sum_{n=0}^{n=N-1} g(nT) e^{-j2\pi nm/N} \quad \text{xqe317}$$

$$g(nT) = \frac{1}{N} \sum_{m=0}^{m=N-1} G(m\Omega_0) e^{j2\pi nm/N} \quad \#$$

$$\Omega_0 = \frac{2\pi}{NT}$$

haline gelir.

Ayrık Furier donusumu ile Furier serisi arasindaki baginti

(ref: rx45) bagintisi geregi periyodu  $P_0$  olan periyodik  $g(t)$  isaretinin Furier serisi katsayilari

$$c_k = \frac{1}{P_0} \int_{t_0}^{t_0+P_0} g(t) e^{-jkw_0 t} dt \quad \text{xqe61}$$

sekinde hesaplanabilir.  $w_0 = \frac{2\pi}{P_0}$   $g(t)$  isaretinin bir periyodunun AFD sini alalim.

Ornekleme araligi  $S$  olsun. Bunun icin  $g(t)$  isaretini  $S$  araliklarla impulslardan ibaret olan  $\delta_h(t)$  ile carpalim.

$$\delta_h(t) = \sum_{n=-\infty}^{n=\infty} \delta(t - nS) \quad \text{xqe62}$$

$$c_k = \frac{1}{P_0} \int_{t_0}^{t_0+P_0} g(t) \sum_{n=-\infty}^{n=\infty} \delta(t - nS) e^{-jkw_0 t} dt \quad \text{f11}$$

$$c_k = \frac{1}{P_0} \sum_{n=-\infty}^{n=\infty} \int_{t_0}^{t_0+P_0} \delta(t - nS) g(t) e^{-jkw_0 t} dt \quad \text{f12}$$

(ref: s224) bagintisi kullanilarak.

$$c_k = \frac{1}{P_0} \sum_{n=-\infty}^{n=\infty} g(nS) e^{-jknw_0 S} dt \quad \text{f13}$$

$g(t)$  isaretinin bir periyot boyunca AFD sini hesaplayacagimiz icin  $t_0 = 0$  alalim ve Bir periyotta  $N$  adet ornekleme olsun.  $N = \frac{P_0}{S}$   $P_0 = NS$  olsun. Bu sartlar altinda

$$c_k = \frac{1}{P_0} \sum_{n=0}^{n=N-1} g(nS) e^{-jknw_0 S} dt \quad \text{f14}$$

(ref: e42) esitligini ornekleme araligi  $S$  olmasi hali icin yeni notasyona gore yeniden yazalim.

$$\overline{G(X)}(k\Omega_0) = \sum_{n=0}^{n=N-1} g(nS) e^{-jnk\Omega_0 S} \quad \#$$

Acikca goruldugu gibi

$$c_k = \frac{1}{P_0} \overline{G(X)}(k\Omega_0) \quad \#$$

Dolayisiyla AFD si alinan bir isarettten kompleks Furier serisi katsayilari hesaplanabilir.

Bu sekilde hesaplanan (kompleks) Furier serisi katsayilarina **ayrik (kompleks) Furier serisi katsayilari** denir Ornekleme periyodunun onemi burada da kendini gosterir. Ornekleme periyodu yeteri kadar kucuk degilse ayrik (kompleks) Furier serisi katsayilari ile (ref: rx45) bagintisi ile hesaplanan analog Furier serisi katsayilari farklilik gosterir.

Ornek Problem 3.x5  $g(t)=[1 \ -3 \ 6 \ 1 \ -2]$   $T=0.1$  saniye olduguna gore isaretin AFD'nu hesaplayip genlik ve faz spektrumunu cizin.

Cozum: (ref: e43) bagintisinda  $N = 5$  alarak  $m = 0, 1, 2, 3, 4$  icin  $G_m$  degerleri

$$G_0 = 3 \quad G_1 = -6.2 - j1.9 \quad G_2 = 7.2 + j5.3 \quad G_3 = 7.2 - j5.3 \quad G_4 = -6.2 + j1.98$$

olarak hesaplanir. AFD'nun periyodikligi geregi  $G_m = G_{m+N} = G_{m-N}$ dir. (ref: e43) de  $m$  ye degisik degerler vererek bu durum gozlenebilir.

$N\Omega_0 = \frac{2\pi}{T} \rightarrow \Omega_0 = 12.56$  rad/s oldugu gozonune alinarak Tablo(ref: xqt359) deki listeyi cikarabiliriz.  $G_{-1}$  ve  $G_5$  degerleri periyodikligi gosterme icin ilave edilmistir.

Isaretin Genlik ve faz spektrumu sekil(ref: xqs376) dedir.

|       |            |   |           |          |          |            |      |  |
|-------|------------|---|-----------|----------|----------|------------|------|--|
| $m$   | -1         | 0 | 1         | 2        | 3        | 4          | 5    |  |
| $w$   | 12.56      | 0 | 12.56     | 25.12    | 37.68    | 50.24      | 62.8 |  |
| $G_m$ | -6.2+j1.98 | 3 | -6.2-j1.9 | 7.2+j5.3 | 7.2-j5.3 | -6.2+j1.98 | 3    |  |

Tablo(xqt359)  $g(nT)$  nin AFD katsayilari

Sekil(xqs376) rakamlarin AFD sinin genlik ve faz spektrumu

Hizli Furier Donusumu

## Giris

Hizli Furier donusumu (HFD), (Fast Fourier Transform,(FFT)) prensip olarak ayrik furier donusumunun cok az islem sayisi ile hesaplanmasi teknigidir. (ref: xqe317) bagintisi  $e^{-j2\pi nm/N}$  seklinde ustel terimlerden meydana gelmistir. Ornek olarak  $N = 6$  durumunda  $\overline{G(X)}3\Omega_0$  yi hesaplamak icin  $e^{-j\pi}$ ,  $e^{-j2\pi}$ ,  $e^{-j3\pi}$ ,  $e^{-j4\pi}$ ,  $e^{-j5\pi}$  terimlerinin hesaplanmasi gerekir. Ustel terimler bilgisayarda hesaplanirken cok sayida carpma yapmak gerekir. Halbuki  $e^{-j2\pi} = (e^{-j\pi})^2$  ve  $e^{-j4\pi} = (e^{-j2\pi})^2$  oldugu dikkate alindiginda ustel terim yerine kare alma islemi ile bazi terimler kolayca hesaplanabilir. Hizli Furier donusumu gereksiz yere ustel terim hesabininin tekrar tekrar yapilmasini onler.

## Hizli Furier Donusumu

$\overline{G(X)}(m\Omega_0)$  terimini kisaltarak  $G_m$  ile gosterelim

$$W_N = e^{-j\frac{2\pi}{N}}$$

xqf351

tanimini yapalim.  $W_N^{nm} = (W_N)^{nm} = (e^{-j\frac{2\pi}{N}})^{nm} = e^{-j\frac{2\pi nm}{N}}$  olacaktır. Bu tanimlarin isiginda (ref: e43) bagintisi

$$G_m = \sum_{n=0}^{n=N-1} g(n)W_N^{nm}$$

r11



olacaktır. Ayrıca

$$W_N^2 = \left( e^{-j\frac{2\pi}{N}} \right)^2 = e^{-j\frac{4\pi}{N}} = e^{-j\frac{2\pi}{N/2}}$$

olduğundan

$$W_N^2 = W_{N/2} \quad \#$$

Benzer şekilde aşağıdaki eşitlikler de gösterilebilir.

$$\begin{aligned} W_N^K &= W_N^{K+N} & W_N^N &= 1 & W_{N/2}^{N/2} &= 1 \\ W_N^K &= -W_N^{K+N/2} & W_N^0 &= 1 & & \# \end{aligned}$$

(ref: r11) eşitliğini açık olarak yazalım.

$$G_m = g(0)W_N^0 + g(1)W_N^m + g(2)W_N^{2m} + g(3)W_N^{3m} + \dots + g(n)W_N^{nm} \quad \#$$

Tek ve çift indisli terimleri gruplandırarak yazalım.

$$\begin{aligned} G_m &= g(0)W_N^0 + g(2)W_N^{2m} + g(4)W_N^{4m} + \dots \\ &\quad g(1)W_N^m + g(3)W_N^{3m} + g(5)W_N^{5m} + \dots + g(n)W_N^{nm} \\ &= \sum_{r=0}^{\frac{N}{2}-1} g(2r)W_N^{2rm} + \sum_{r=0}^{\frac{N}{2}-1} g(2r+1)W_N^{(2r+1)m} \\ &= \sum_{r=0}^{\frac{N}{2}-1} g(2r)(W_N^2)^{rm} + W_N^m \sum_{r=0}^{\frac{N}{2}-1} g(2r+1)(W_N^2)^{rm} \end{aligned} \quad \text{rx21}$$

Notasyonları kısaltmak için

$$P_m = \sum_{r=0}^{\frac{N}{2}-1} g(2r)(W_N^2)^{rm} \quad Q_m = \sum_{r=0}^{\frac{N}{2}-1} g(2r+1)(W_N^2)^{rm} \quad \text{xr9}$$

tanımları yapılarak. (ref: rx21) bağıntısı

$$G_m = P_m + W_N^m H_m \quad \text{r56}$$

şeklinde yazılabilir.

Örnek Problem 3.x76  $g(n) = [-1 \ 8 \ 7 \ 6 \ 12 \ 9 \ -2 \ 5]$  olduğuna göre  $P_m, Q_m$  katsayılarını hesaplayın. Bu katsayılardan faydalanarak  $G_m$  katsayılarını hesaplayın.

Çözüm:  $N=8$  dir. (ref: xr9) bağıntısından

$$\begin{aligned} P_m &= \sum_{r=0}^{\frac{N}{2}-1} g(2r)W_{N/2}^{rm} = g(0)W_{N/2}^0 + g(2)W_{N/2}^m + g(4)W_{N/2}^{2m} + g(6)W_{N/2}^{3m} \\ &= g(0) + g(2)e^{-j\frac{2\pi}{N/2}m} + g(4)e^{-j\frac{2\pi}{N/2}2m} + g(6)e^{-j\frac{2\pi}{N/2}3m} \\ &= (-1) + (7)e^{-j\frac{\pi}{2}m} + (12)e^{-j\pi m} + (-2)e^{-j\frac{3\pi}{2}m} \end{aligned}$$

buradan  $m = 0, 1, 2, 3, 4, 5, 6, 7, 8$  için  $P_m$  değerleri hesaplanırsa

$$\begin{aligned} P_0 &= 16 & P_1 &= -13 - 9j & P_2 &= 6 & P_3 &= -13 + j9 \\ P_4 &= 16 & P_5 &= -13 - 9j & P_6 &= 6 & P_7 &= -13 + j9 \end{aligned}$$

(ref: xr9) bağıntısı ile verilen

$$Q_m = \sum_{r=0}^{\frac{N}{2}-1} g(2r+1)(W_N^2)^{rm}$$

esitliginde  $m = 0, 1, 2, 3, 4, 5, 6, 7, 8$  icin  $Q_m$  degerleri hesaplanirsa

$$\begin{aligned} Q_0 &= 28 & Q_1 &= -1 - j & Q_2 &= 6 & Q_3 &= -13 + j9 \\ Q_4 &= 16 & Q_5 &= -13 - 9j & Q_6 &= 6 & Q_7 &= -1 + j \end{aligned}$$

Bu degerleri (ref: r56) esitliginde yerine koyarak  $G_m$  degerlerini hesaplayabiliriz.

$$\begin{aligned} G_0 &= 44 & G_1 &= -14.41 - 9j & G_2 &= 6 - 6j & G_3 &= -11.58 + 9j \\ G_4 &= 12 & G_5 &= -11.58 - 9j & G_6 &= 6 + 6j & G_7 &= -14.41 + 9j \end{aligned}$$

Yukarida goruldugu gibi  $P_0 = P_4$   $P_1 = P_5$   $P_2 = P_6$   $P_3 = P_7$

$Q_0 = Q_4$   $Q_1 = Q_5$   $Q_2 = Q_6$   $Q_3 = Q_7$  olmmasi tesadufu degildir.  $P_m$  ve  $Q_m$  lerin yapisi tipki  $G_m$  lerin yapisi gibidir.  $W_N^2 = W_{N/2}$  oldugunu gozonune alarak (ref: r11), (ref: xr9) esitliklerini yeniden yazalim.

$$G_m = \sum_{n=0}^{n=N-1} g(n)W_N^{mn} \quad P_m = \sum_{r=0}^{\frac{N}{2}-1} g(2r)(W_{N/2})^{rm} \quad Q_m = \sum_{r=0}^{\frac{N}{2}-1} g(2r+1)(W_{N/2})^{2rm}$$

$G_m$  tanimindeki  $N$  yerine  $P_m$  ve  $Q_m$  tanimlarında  $N/2$  gelmektedir. ref: xqf337 ile verilen AFD'nun periyodikligi geregi

$$G_m = G_{m+N} \quad \#$$

oldugundan  $P_m$  ve  $Q_m$  ifadeleri de

$$P_m = P_{m+N/2} \quad Q_m = Q_{m+N/2} \quad \#$$

ozelliklerini saglamak zorundadirlar.

## Islem Sayisi Hesabi

Simdi yukaridaki esitliklerin hesaplanmasi icin gereken islem sayisini hesaplayalim.  $G_m$ 'i (r11) den hesaplayalim. Bir eleman (ornek olarak  $G_1$ 'i hesaplamak icin  $N$  adet terimin toplanmasi lazim. Her terim icin de bir us alma ve bir de carpma gerekir.  $G_0, G_1, G_2, \dots, G_{N-1}$  rin tamaminin hesabi icin  $N \times N = N^2$  adet carpma ve us alma islemi gerekir.

Bunun gibi butun  $P_m$  leri hesaplamak icin toplam  $(\frac{N}{2})^2$  islem gerekir.  $Q_m$  leri hesaplamak icin yine  $(\frac{N}{2})^2$  adet carpma ve us almam islemi gerekir.

Sonuc olarak eger  $G_m$ 'i (ref: r11) den hesaplarsak  $N^2$  adet (ref: r56) dan hesaplarsak  $(\frac{N}{2})^2 + (\frac{N}{2})^2 + N + N = \frac{N^2}{2} + N + N \cong \frac{N^2}{2}$  adet carpma ve us alma islemi gerekir. (Ilave gelen ve ihmal edilen  $N + N$  terimi  $G_m$ 'yi hesaplariken  $W_N^m$ 'yi ve  $W_N^m P_m$  hesabından dolayidir)

Goruldugu gibi  $G_m$  terimlerini tek ve cift guruba ayirarak carpma ve us alma islem sayisini  $N^2$  den yaklasik olarak  $\frac{N^2}{2}$  e indirgemis olduk.

Simdi  $G_m$  ifadesini ayirdigimiz gibi  $P_m$  ve  $Q_m$  ifadelerini de yeniden tek ve cift guruplara ayiralimm.

$$P_m = R_m + W_{N/2}S_m \quad Q_m = T_m + W_{N/2}U_m \quad r71$$

Burada yine  $P_m$   $Q_m$  ifadelerini (ref: r56) den hesaplamak  $\frac{N^2}{2}$  islem yapmak gerektiriyordu. (ref: r71) formulunden hesaplamak ise

$$\left(\frac{N}{4}\right)^2 + \left(\frac{N}{4}\right)^2 + \left(\frac{N}{4}\right)^2 + \left(\frac{N}{4}\right)^2 = \frac{N^2}{4}$$

islem gerektirir. ( $W_N^m$  ile yapilan carpma dahil edilirse islem sayisi  $\frac{N^2}{4} + N + \frac{N}{2}$  olur) Hesaplar normal yolla yapilrsa  $N^2$  adet islem gerektirdigi halde iki tane  $\frac{N}{2}$ 'lik guruplara bolundugunde yaklasik  $\frac{N^2}{2}$  adet islem gerektiriyor. Demek ki her ikiye bolumde toplam islem sayisi da oncekine gore yaklasik ikiye bolunecektir.

Eger n tamsayi olmak uzere  $N = 2^n$  ise Bu bolme islemi iki terim kalana kadar devam eder.

Bu durumda gerekli toplam islem sayisi yaklasik olarak  $2N$  olacaktır. Ornek olarak  $N = 4096$  olsa normal yolla AFD hesap yapildiginda 16777216 islem gerektirdigi halde yukaridaki HFD yontemiyle 8192 islem gerektirir. Ayrica  $G_m^* = G_{N-m}$  ve  $n > \frac{N}{2}$  icin  $W_N^n = -W_N^{n-N/2}$  oldugu dikkate alinarak islem sayisi daha da azaltilir. HFD isaret isleme tekniginde cok kullanildigindan konu ile ilgili cesitli optimum algoritmalar gelistirilmistir.

### $N = 3n$ durumu

Eger  $N = 3n$  ise HFD formu degisik sekilde duzenlenebilir.

$$\begin{aligned} G_m &= g(0)W_N^0 + g(3)W_N^{3m} + g(6)W_N^{6m} + \dots \\ &+ g(1)W_N^m + g(4)W_N^{4m} + g(7)W_N^{7m} + \dots \\ &+ g(2)W_N^{2m} + g(5)W_N^{5m} + g(8)W_N^{8m} + \dots \end{aligned} \quad \#$$

$$G_m = \sum_{r=0}^{\frac{N}{3}-1} g(3r)W_N^{3rm} + \sum_{r=0}^{\frac{N}{3}-1} g(3r+1)W_N^{(3r+1)m} + \sum_{r=0}^{\frac{N}{3}-1} g(3r+2)W_N^{(3r+2)m} \quad \#$$

$$= \sum_{r=0}^{\frac{N}{3}-1} g(3r)W_N^{3rm} + W_N^m \sum_{r=0}^{\frac{N}{3}-1} g(3r+1)W_N^{3rm} + W_N^{2m} \sum_{r=0}^{\frac{N}{3}-1} g(3r+2)W_N^{3rm} \quad \#$$

Burada da onceki duruma benzer sekilde kisaltmalar yapilir. Eger  $N = n3x2$  ise isaret onde 2 ye sonra uce bolunerek HFD hesaplanabilir.

### Zaman domenindeki datanın sonuna sifir ilave etmek

HFD'nun en hizli hesaplama teknigi  $N = 2^n$  oldugu zamandır. Dolayisiyla  $N = 2^n$  yapilmaya calisilir.  $N \neq 2^n$  ise  $g(nT)$  data vektorunun boyu  $N = 2^n$  olana kadar sifir ilave edilerek artirilir.  $g(nT)$  nin sonuna sifirlar ilave edilerek HFD degerleri hesaplanir.

$g(nT)$  nin sonuna sifirlar ilave etmek AFD degerini degistirmez. Bunu gormek icin  $g(nT)$  nin sonuna K adet sifir ilave ederek  $N + K$  boyunda yeni bir  $g_x(nT)$  vektoru

olusturalim.

$$g_x(nT) = [g(nT) \ 0 \ 0 \ 0 \ 0]$$

#

$g_x(nT)$ 'nin (ref: e43) bagintisine gore AFD'nu alalim.

$$\begin{aligned} (G_x)_m &= \sum_{n=0}^{n=K+N-1} g_s(nT)e^{-j2\pi nm/N} \\ &= \sum_{n=0}^{n=N-1} g(nT)e^{-j2\pi nm/N} + \sum_{n=N}^{n=K} 0e^{-j2\pi nm/N} \\ &= \sum_{n=0}^{n=N-1} g(nT)e^{-j2\pi nm/N} \\ &= G_m \end{aligned}$$

#

Datanin sonuna sifir ilave etmek AFD degerlerini degistirmez fakat degisik frekanslarda AFD hesaplanmasina neden olur. Bu durumda frekans ekseninin olceklemesini ayarlamak gerektir.

Ornek Problem (ref: xqp311) deki  $g(t)$  isaretinin sonuna a)5 adet sifir b)3 adet sifir ilave edilirse yeni AFD degerleri ne olur. sonuclari yorumlayin.

Cozum: a) Yeni data dizisi  $g(nT) = [1 \ -3 \ 6 \ 1 \ -2 \ 0 \ 0 \ 0 \ 0 \ 0]$  seklinde olacaktır. (ref: e43) bagintisinde  $T = 0.1$  ve  $N = 10$  koyarak AFD'nu alalim.  $\Omega_0 = \frac{2\pi}{NT} = 6.28$  oldugu gozonune alinirak AFD sonuclari Tablo(ref: xqt363) da gosterilmistir.

|       |           |          |           |           |           |           |          |
|-------|-----------|----------|-----------|-----------|-----------|-----------|----------|
| $m$   | -2        | -1       | 0         | 1         | 2         | 3         | 4        |
| $w$   | -12.56    | -6.28    | 0         | 6.28      | 12.56     | 18.84     | 25.12    |
| $G_m$ | -6.2+j1.9 | 1.7+j3.7 | 3         | 1.7-j3.7  | -6.2-j1.9 | -2.7+j8.8 | 7.2+j5.3 |
|       |           |          |           |           |           |           |          |
| $m$   | 5         | 6        | 7         | 8         | 9         | 10        | 11       |
| $w$   | 31.4      | 37.6     | 43.96     | 50.24     | 56.52     | 62.8      | 69.08    |
| $G_m$ | 7         | 7-j5.3   | -2.7-j8.8 | -6.2+j1.9 | 1.7+j3.7  | 3         | 1.7-j3.7 |

Tablo(xqt363)  $g(nT)$ 'nin sonuna 5 sifir ilave edildiğinde AFD

b)Bu durumda  $T = 0.1$  ve  $N = 8$  alinirsa  $\Omega_0 = \frac{2\pi}{NT} = 7.85$  elde edilir. a) daki gibi islemler yapilrsa Tablo(ref: xqt364) deki degerler elde edilir.

|       |           |       |           |         |           |       |
|-------|-----------|-------|-----------|---------|-----------|-------|
| $m$   | -1        | 0     | 1         | 2       | 3         | 4     |
| $w$   | -7.85     | 0     | 7.85      | 15.7    | 23.55     | 31.4  |
| $G_m$ | 0.17+j4.5 | 3     | 0.17-j4.5 | -7.+j4. | 5.8+j7.4  | 7     |
|       |           |       |           |         |           |       |
| $m$   | 5         | 6     | 7         | 8       | 9         | 10    |
| $w$   | 39.25     | 47.1  | 54.95     | 62.8    | 70.65     | 78.5  |
| $G_m$ | 5.8-j7.4  | -7-j4 | 0.17+j4.5 | 3       | 0.17+j4.5 | -7-j4 |

Tablo(xqt364)  $g(nT)$  nin sonuna 3 sifir ilave edildiğinde AFD  
Datanin sonuna data sayisi kadar sifir ilave etmekle temel frekanslardaki bilgiler de  
kaybolmuyor.

(ref: xqs345.a) orneginde ilave edilen sifir sayisi data sayisi kadardir. Eski AFD  
katsayilarinin hesaplandigi tum frekanslarda yeni AFD de hesaplanmistir. Ilave olarak  
ara frekanslarda da AFD hesaplanmistir.

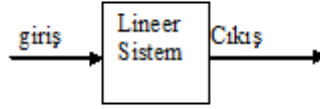
(ref: xqs345.b) orneginde ise AFD katsayilari sifir ilave edilmemis haldeki AFD  
katsayilarindan tamamen farkli frekanslarda hesaplaniyor.

Ilk anda bu bir kayip gibi gozüksede gercekte kayip degildir. Cunku AFD'den  
beklenen genis bir frekans araligindaki genlik ve faz spektrumunu vermesidir.  
Ornekleme araligi yeteri kadar kucuk secilmisse sifir ilave edilerek elde edilen genlik  
ve faz spektrumu sifir ilave edilmemis haldekinin aynisidir.

Dolayisiyla sifir ilave edilerek hesaplarin hizlandirilmesi cogu kere kullanilabilecek bir  
tekniktir.

# LINEER SİSTEMLER

Muhendislikte herhangi bir sistem şekil(ref: xqs402) deki gibi dikdörtgen blok içinde gösterilir. Sisteme dışarıdan etki eden faktörler **giris**, sistemin bu girişlere karşı gösterdiği tepki **çıkis** olarak adlandırılır. Sisteme birden fazla giriş olursa **cokgirisli**, sistemin bu girişlere gösterdiği tepki birden fazla değişken üzerinden dışarıdan gözleniyorsa **cokcikisli** sistem olarak adlandırılır.



xqs402 Fiziksel Sistem semasi

## lineerlik ve nonlineerlik

Lineerlik (doğrusallık) prensip olarak giriş ile çıkışın orantılı olmasıdır. Sistem girişi  $x$  ve çıkışı  $y$  olsun. Matematiksel olarak lineerlik aşağıdaki gibi tarif edilir.

girişte  $x_1$  uygulandığında çıkış  $y_1$

girişte  $x_2$  uygulandığında çıkış  $y_2$

olsun. Sisteme

$$x_3 = ax_1 + bx_2$$

girişi uygulandığında  $a, b$  herhangi sabitler olmak üzere, sistem çıkışı

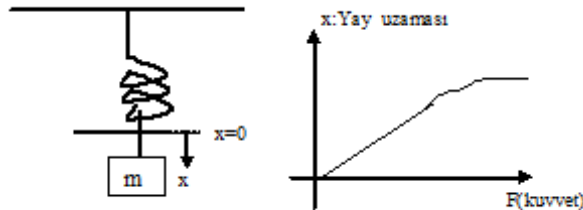
$$y_3 = ay_1 + by_2$$

oluyorsa sistem lineerdir denir.

şekil(ref: xqs401) de görülen yay sisteminde  $k$  yayın uzama katsayısı,  $F$  uygulanan kuvvet,  $x$  uygulanan kuvvet sonucu yayın uzamasıdır. Sistemin giriş çıkış bağıntısı

a)  $x = \frac{F}{k}$       b)  $x = \frac{F^2}{k}$

olarak veriliyor. Her iki durum için sistemin lineer olup olmadığını araştırın.



xqs401 a)Yay ve kuvvet sistemi b)Kuvvet-yerdegistirme grafiği

**cozum:**a) Sisteme giriş  $F$ , çıkış ise  $x$ 'dir. Sistem modeli yukarıdaki notasyonla  $y = \frac{x}{k}$

olur.

$$\begin{aligned}x_1 = F_1 &\Rightarrow y_1 = \frac{F_1}{k} \\x_2 = F_2 &\Rightarrow y_2 = \frac{F_2}{k} \\x_3 = aF_1 + bF_2 &\Rightarrow y_3 = \frac{aF_1 + bF_2}{k} = a\frac{F_1}{k} + b\frac{F_2}{k}\end{aligned}$$

$y_3 = ay_1 + by_2$  olduğundan sistem lineerdir.

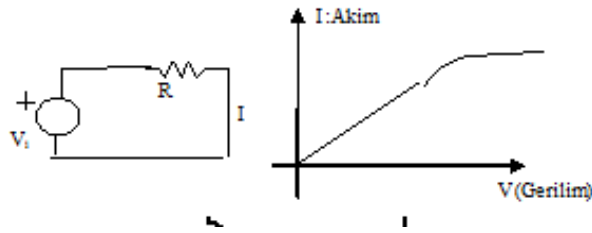
**b)**Yukarıdaki işlemler aynen burada da yapılır.

$$\begin{aligned}x_1 = F_1 &\Rightarrow y_1 = \frac{F_1^2}{k} \\x_2 = F_2 &\Rightarrow y_2 = \frac{F_2^2}{k} \\x_3 = aF_1 + bF_2 &\Rightarrow y_3 = \frac{(aF_1 + bF_2)^2}{k} = a^2\frac{F_1^2}{k} + b^2\frac{F_2^2}{k} + \frac{+2abF_1F_2}{k}\end{aligned}$$

$y_3 \neq ay_1 + by_2$  olduğundan sistem lineer değildir.

Fiziksel sistemlerin hiçbirisi ideal anlamda lineer değildir. Örnek olarak O.P(ref: xqp401) deki yay kutle mekanizmasını ele alalım. Küçük yerdeğistirmeler için yayın kuvvet-yerdeğistirme bağıntısı  $x = \frac{F}{k}$  şeklindedir. Fakat yay belli bir miktar uzadıktan sonra giriş çıkış bağıntısı  $x = \frac{F^2}{k}$ , yay aşırı uzatılıp sınıra dayanırsa  $x = l$  olur. Yani giriş  $F$  ne olursa olsun çıkış  $x$  sabit kalır. Bu durum şekil(ref: xqs401.b) de gösterilmiştir.

Baska bir örnek olarak şekil(ref: xqs405) deki direnç ve gerilim kaynağından devreyi ele alalım. Devreden geçen akım  $I = \frac{V}{R}$  dir. Fakat dirençten geçen akım direnci bir miktar ısıtır. Isınan direncin  $R$  direnç değeri değişir. Dolayısıyla geçen akım değişir. Bu işe uygulanan  $V$  gerilimi ile geçen  $I$  akımı arasındaki ilişkinin lineer olmaması(nonlineer olması) anlamına gelir.



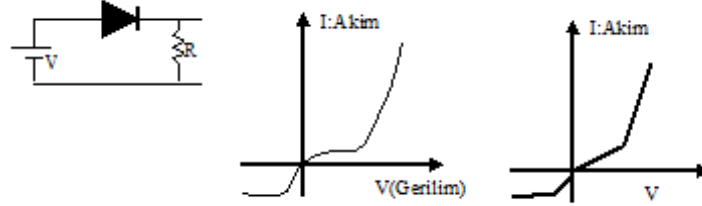
Şekil(xqs405 a)Dirençli devre b)gerçekte ve pratikteki akım-gerilim grafiği

Lineerliği kısaca giriş çıkış bağıntısı orijinden geçen bir doğru ise o sistem lineerdir diye tanımlayabiliriz. Şekil(ref: xqt401)de pratikte raslanan bazı nonlineerlikler gösterilmiştir.

xqt401 Pratikte raslanan nonlineerlikler ??athertondan aktar.

Fiziksel dünyada hiçbir sistem ideal anlamda lineer olmamasına karşılık kullanım

sinirlari icinde linear kabul etmekte buyuk bir hata yoktur. Nonlineerligin ihmal edilemeyecek boyutlarda oldugu cogu durumlardada sistem belli linear bolgelere ayrilir. Ornek olarak Sekil(ref: xqs407.a) deki diyodun karakteristigini ele alalim. Diyodun akim-gerilim karakteristigi analiz edilirken diyot Sekil(ref: xqs407.b) deki gibi varsayilir. Boylece linear bolgeler elde edilerek analiz yapilir.

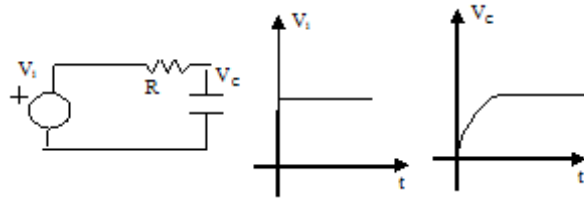


Sekil(xqs407) a)Diyodun akim-gerilim karakteristigi b)linear bolgelere ayrilmis (lineerlestirilmis karakteristik

## Sistem Dinamigi

Fiziksel sistemlerin az veya cok ataletleri(tembellikleri) vardir. Yani sisteme etkiyen etken ile sistemin verdigi tepki arasinda belli bir sure gecir.

Mesela sekil(ref: xqs411.a) de elektrik devresinde de kondansator elemaninin ataletinden dolayi uygulanan gerilim etkisini zamana yayilarak gosterir. sekil(ref: xqs411.b) de uygulanan gerilim ve sekil(ref: xqs411.c) de uygulanan gerilimin etkisi ile kondansator geriliminin degisimi gosterilmistir.



sekil(xqs411) a)Kondansatorlu devre b) $u(t)$  uygulanan gerilim c)Gerilimin etkisi ile gecen akim.

Benzer sekilde sekil(ref: xqs401.a) daki yay sisteminde yaya etkiyen kuvvet etkisini hemen gosteremez. Kuvvetin etkisi yayin kutlesi ve hava surtunmesinden dolayi zamana yayilarak etkisini gosterir.

Bu sekildeki sistem ataleti matematik modellemede diferansiyel denklemler olarak karsimiza cikar. Linear sistemlerin modelleri

$$\frac{d^n x}{dt^n} + a_{n-1} \frac{d^{n-1} x}{dt^{n-1}} + \dots + a_1 \frac{dx}{dt} + a_0 x = b_n \frac{d^n r}{dt^n} + b_{n-1} \frac{d^{n-1} r}{dt^{n-1}} + \dots + b_1 \frac{dr}{dt} + b_0 r$$



sekinde lineer diferansiyel denklemlerle ifade edilir.

## Zamanla Degismeme

Dinamik sistemin modeli zamandan bagimsiz ise, zamanla degismiyorsa sistem zamanla degismeyen sistemdir. Matematiksel olarak zamanla degismeme su sekilde tanimlanir.

$x(t)$  girisine karsi  $y(t)$  cikisini veren bir sistem eger  $x(t - p)$  girisine karsi  $y(t - p)$  cikisini veriyorsa sistem zamanla degismeyen sistem olarak adlandirilir.

Butun sistemlerin modelleri sicaklik basinc gibi etkenler altinda degismekle beraber pratik anlamda cogu sistemler zamanla degismez kabul edilir. Zamanla degismesi dikkate alınmasi gereken sistemlere ornek olarak bir savas ucaginin veya roketin yakiti azaldikca kutlesinin azalması ve sistemin matematik modelinin degismesini ornek olarak gosterebiliriz. Sistem lineerse ve zamanla degisiyorsa (ref: xqe401) deki  $a_1, a_2, \dots, a_n, b_1, b_2, \dots, b_n$  katsayilari  $a_1(t), a_2(t), \dots, a_n(t), b_1(t), b_2(t), \dots, b_n(t)$  seklinde zamana bagli olarak degisir.

## Lineer Sistemlerin Analizi

Yukarida bahsedildigi gibi mekanik hidrolik, elektrik sisteemler cogu kere lineer kabul edilerek liner zamanla degismeyen diferansiyel denklemlerle modellenebilir. Bu yuzden Lineer zamanla degismeyen diferansiyel denklemlerin cozumlerini kisaca incelemek gerekir.

(ref: xqe401) ile verilen diferansiyel denklemin homojen ve ozel cozum olarak adlandirilan iki cozumu vardir. Toplam cozum iki cozumun toplamidir.

### Homojen (Oz) Cozum

Diferansiyel denklemin homojen(oz) cozumunun  $\alpha$  sabit bir sayi olmak uzere

$$x(t) = ce^{\alpha t} \quad \text{xqe461}$$

formunda oldugu gosterilebilir. (ref: xqe461)'deki  $x(t)$  degeri

$$\frac{dx(t)}{dt} = c\alpha e^{\alpha t}, \quad \frac{d^2x(t)}{dt^2} = c\alpha^2 e^{\alpha t} \quad \dots \quad \frac{d^n x(t)}{dt^n} = c\alpha^n e^{\alpha t}$$

seklinde turetilerek (ref: xqe401)'de yerine konulursa

$$c\alpha^n e^{\alpha t} + a_{n-1}c\alpha^{n-1} e^{\alpha t} + a_{n-2}c\alpha^{n-2} e^{\alpha t} + a_1c\alpha e^{\alpha t} + a_0c e^{\alpha t} \quad \text{xq4e472}$$

elde edilir. (ref: xq4e472)'in her iki yani  $(\frac{1}{c} e^{-\alpha t})$  ile çarpırsa. ( $c \neq 0$ )

$$\alpha^n + a_{n-1}\alpha^{n-1} + a_{n-2}\alpha^{n-2} + \dots + a_1\alpha + a_0 \quad \text{xqe403}$$

elde edilir. (ref: xqe403) polinomunun kokleri  $\alpha_1, \alpha_2, \alpha_3, \dots, \alpha_{n-1}, \alpha_n$  olsun. Eger butun kokler birbirinden farkli ise (ref: xqe401) dif denkleminin cozumu de

$$x(t) = c_1 e^{\alpha_1 t} + c_2 e^{\alpha_2 t} + c_3 e^{\alpha_3 t} + \dots + c_n e^{\alpha_n t}$$

sekinde dir. Burada  $c_1, c_2, c_3, \dots, c_n$  tamamen keyfi sabitlerdir. Yani  $c_1, c_2, c_3, \dots, c_n$  katsayilar  $-\infty, +\infty$  arasnda herhangi bir degeri alabilirler. Btn aldklar deşerler iğin dif

denklem saglanr.

### Katli kokler hali

(ref: xqe403) polinomunun kokleri katli ise cozume  $t$  carpan olarak gelir. Ornek olarak  $\alpha_p$  koku  $p$  katli  $\alpha_s$  koku  $s$  katli diger koklerin tamamı tek katli olsun. Bu durumda cozum.

$$x(t) = c_1 e^{\alpha_1 t} + c_2 e^{\alpha_2 t} + c_3 e^{\alpha_3 t} + \dots + [c_{p1} + c_{p2} t + c_{p3} t^2 + \dots + c_{pp} t^{p-1}] e^{\alpha_p t} \\ + [c_{s1} + c_{s2} t + c_{s3} t^2 + \dots + c_{ss} t^{s-1}] e^{\alpha_s t} + \dots + c_{n-p-s+2} e^{q_{n-p-s+2} t}$$

sekinde olacaktir. (Bkz. C.P. ref: katlikok1)

### Ozel Cozum

Dif denklemin ozel cozumu ise dif denklemin sag tarafındaki terimlere baglidir. Ozel cozumu bulmak icin  $x(t)$ 'ye denklemin sag tarafındaki fonksiyonların integralleri ve turevleri cinsinden tahmini fonksiyonlar verilir. Bu  $x(t)$  degeri dif denklemden yerine konularak ozel cozum ile ilgili katsayılar bulunur.

Ornek Problem:

$$4 \frac{dx}{dt} + 6x = 60 \cos(3t)$$

xqe417

dif denkleminin

a)homojen (oz) cozumunu bulun.

b)ozel cozumunu bulun.

c)Toplam cozumu bulun

d)  $t = 0$  anında  $x(0) = 10$  olduguna gore  $x(t)$ 'nin  $t$ 'ye gore degisimini gosteren grafigi cizin.

Cozum a)**Oz cozum:** Karakteristik polinom ve koku

$$4q + 6 = 0 \rightarrow q = -\frac{3}{2} = -1.5$$

#

Dolayisiyla cozum

$$x(t) = ce^{-1.5t}$$

xqf431

seklindedir.

**Ozel Cozum:**dif denklemin ikinci tarafını verebilecek  $x(t)$ , ifadesi  $A, B$  birer sabit olmak üzere  $x = A \cos(3t) + B \sin(3t)$  sekinde olmalıdır.

$$x = A \cos(3t) + B \sin(3t)$$

$$\frac{dx}{dt} = -3A \sin(3t) + 3B \cos(3t)$$

degerleri (ref: xqe417) de yerine konularsa

$$4(-3A \sin(3t) + 3B \cos(3t)) + 6(A \cos(3t) + B \sin(3t)) = 60 \cos(3t)$$

#

elde edilir. Esitligin her iki tarafındaki benzer terimler birbirine esitlenirse

$$-12A + 6B = 0 \quad 12B + 6A = 60$$

Bu denklemler cozulerek.  $A = 2$ ,  $B = 4$  bulunur. Sonuc olarak ozel cozum.

$$x = 2 \cos(3t) + 4 \sin(3t)$$

xqf433

d)(ref: xqf431) ve (ref: xqf433) dan tam cozum.

$$x(t) = ce^{-1.5t} + 2 \cos(3t) + 4 \sin(3t)$$

xqf435

olarak bulunur.  $t = 0$  icin  $x(0) = 10$  konulursa

$$10 = c + 2 \rightarrow c = 8$$

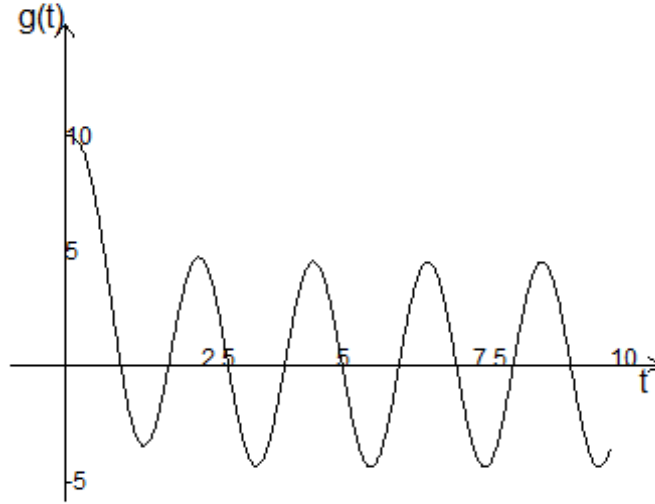
#

olarak bulunur. Dolayisiyla cozum

$$x(t) = 8e^{-1.5t} + 2 \cos(3t) + 4 \sin(3t)$$

#

$x(t)$ 'nin  $t$  ye gore degisimi sekil(ref: xqs413) de gosterilmistir.



Sekil(xqs413)  $x(t) = 8e^{-1.5t} + 2 \cos(3t) + 4 \sin(3t)$  grafigi

## Kararlilik Analizi

Lineer dif denklemin cozumu iki ayri cozumun toplanmasiyla bulunuyor. sekil(ref: xqs413) den goruldugu gibi oz cozumunun etkisi belli bir zaman sonra ortadan kayboluyor ve

**tamcozum  $\cong$  ozelcozum**

xqp448

haline gegliyor. Baslangictan *tam cozum*  $\cong$  *ozel cozum* olana kadar gecen zamana **gecici rejim cevabi** ve *tam cozum*  $\cong$  *ozel cozum* oldugu andan sonraki kismada

**surekli rejim cevabi** denir. (ref: xqp442)deki ifadeden cikan sonuc sudur sistemin surekli haliyle ilgilenen bir kimsenin oz cozumle ugrasmasina gerek yoktur.

Fakat burada onemli bir nokta vardir. O.P (ref: xqp401) deki dif denklem

$$4 \frac{dx}{dt} - 6x = \dots\dots$$

sekinde olsa idi dif denklemin cozumu de

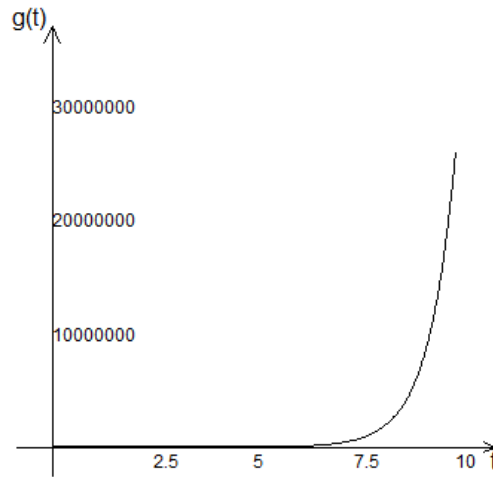
$$x(t) = ce^{1.5t} + \dots\dots$$

sekinde olacakti. Bu durumda diferansiyel denklemin ikinci tarafi ne olursa olsun  $e^{1.5t}$  terimi baskin terim olacak ve belli bir zaman sonra ilk durumun tersine

**tamcozum  $\cong$  ozcozum**

xqp442

olacaktır. Bu durum diferansiyel denklemin (ve bu diferansiyel denklem modeli olan dinamik sistemin) **kararsizligi(dengesizligi)** olarak bilinir.



Sekil(xqs419)i Karasiz bis sistemin cikis grafigi

Kararlilik dinamik sistemlerin analizinin temel konusudur. Kararsiz bir sistemin pratik kullanimi hemen hemen hic yoktur. Kararlilik cok genis kapsamli incelenmesi gereken bir konudur. Burada kisaca asagidaki kriterle yetinecegiz.

(ref: xqe401) ile verilen lineer diferansiyel denkleminin (bu diferansiyel denklemin temsil ettigi lineer sistemin) kararli olmasi icin gerek ve yeter sart bu diferansiyel denklemin (ref: xqe403 ile verilen karakteristik polinomunun koklerinin reel kisminin sifir veya sifirdan kucuk olmasi, reel kisim sifir olan koklerin cakisik olmamasidir. (Bkz. O.P ref: xq4p263)

## Serbest Kararlı Sistemler

Sistem e herhangi bir giriş uygulanmadığı zaman sistem kararlı olduğu halde bazı özel giriş fonksiyonlarına kararsızlık gösterebilir.

() ile verilen karakteristik polinomun köklerinin reel kısmının sıfır olması hali bu duruma en çarpıcı örnektir. Konuyu basit olarak açıklayabilmek için aşağıdaki basit diferansiyel denklemi ele alalım.

$$\frac{d^2x}{dt^2} + p^2x = \cos(pt) \quad p > 0 \quad \text{xq4f691}$$

Homojen çözüm

$$x(t) = c_1 e^{jpt} + c_2 e^{-jpt} = A \cos(pt) + B \sin(pt) \quad \text{xq4f781}$$

şeklinde olacaktır.

Özel çözüm için tahmini çözümün şu ana kadarki bilgilerimizle

$$x_o(t) = E \cos(pt) + F \sin(pt) \quad \text{xq4f695}$$

şeklinde olması gerekir. Ancak bu tahmini çözüm ile (ref: xq4f781) ile verilen öz çözüm aynıdır. Dolayısıyla (ref: xq4f781) ile verilen çözümde  $A$  ve  $B$  ne olursa olsun  $x(t)$  (ref: xq4f691) diferansiyel denklemin öz çözümüdür. Yani (ref: xq4f781) ile verilen çözüm

$$\frac{d^2x}{dt^2} + p^2x = 0 \quad p > 0 \quad \text{xq4f693}$$

diferansiyel denkleminin çözümüdür. Aynı durum (ref: xq4f693) ile verilen  $x_o(t)$  için geçerlidir. Yani  $E$  ve  $F$  ne olursa olsun  $x_o(t)$  (ref: xq4f693) ile verilen tek taraflı diferansiyel denklemin sağ tarafını sağlar. Diğer bir ifadeyle  $E$  ve  $F$  ne olursa olsun  $x_o(t)$  (ref: xq4f691)'de yerine konulsa ikinci tarafı devamlı sıfır çıkar.

O halde tahmini çözümümüz doğru değildir. Baska tahmini çözümler aramalıyız. Gerçekten böyle durumlarda özel çözüm

$$x_o(t) = t(E \cos(pt) + F \sin(pt)) \quad \text{xq4f785}$$

şeklinde olacaktır.

Sisteme herhangi bir giriş yokken sistemin (ref: xq4f781) ile verilen çözümü  $t \rightarrow \infty$  için  $x(\infty) < \infty$ 'dir yani sistem kararlıdır. Halbuki sisteme  $\cos(pt)$  girişi uygulandığında (ref: xq4f785) ile verilen çözüm  $t \rightarrow \infty$  için  $x(\infty) = \infty$ 'dir yani sistem kararsızdır. Bu tip sistemler **serbest kararlı (doğal kararlı)** sistem olarak adlandırılır.

## Lineer Sistemlerin Frekans Cevabı

Frekans cevabı kararlı sistemlerin sürekli rejim cevabıdır. Değişik frekanslarda sinüzoidal işaretler sisteme giriş olarak uygulandığında sistemin bu girişlere karşı verdiği cevabı inceleme tekniğidir.

$x(t)$  ve  $r(t)$ 'nin Fourier dönüşümlerinin alınabildiğini varsayarak (ref: xqe401) denkleminin her iki tarafının Fourier dönüşümünü alalım.

$$(j\omega)^n x(j\omega) + a_{n-1}(j\omega)^{n-1} x(j\omega) + \dots + (j\omega) a_1 x(j\omega) + a_0 x(j\omega) = (j\omega)^n r(j\omega) + b_{n-1}(j\omega)^{n-1} r(j\omega) + \dots + (j\omega) b_1 r(j\omega) + b_0 r(j\omega) \quad \#$$

Denklemi duzenlersek

$$\frac{x(j\omega)}{r(j\omega)} = \frac{(j\omega)^n + a_{n-1}(j\omega)^{n-1} + \dots + a_1(j\omega) + a_0}{(j\omega)^n + b_{n-1}(j\omega)^{n-1} + \dots + b_1(j\omega) + b_0} \quad \text{xqf432}$$

elde edilir. Buradaki  $\frac{x(j\omega)}{r(j\omega)}$  ifadesine sistemin **transfer fonksiyonu** denir.

$$H(j\omega) = \frac{x(j\omega)}{r(j\omega)} \quad \text{xqg432}$$

Transfer fonksiyonu tanim olarak sistem cikisinin Furier donusumunun sistem girisin Furier donusumune oranidir. Dolayisiyla (ref: xqe401) dif denklemleri ile verilen sistemin transfer fonksiyonu

$$H(j\omega) = \frac{(j\omega)^n + a_{n-1}(j\omega)^{n-1} + \dots + a_1(j\omega) + a_0}{(j\omega)^n + b_{n-1}(j\omega)^{n-1} + \dots + b_1(j\omega) + b_0} \quad \text{xqf434}$$

olarak elde edilir.

Simdi giris isareti  $r(t) = A \cos(pt + \phi)$  olmasi durumunda  $x(t)$  ne olur onu hesaplayalim. (ref: xqg432) den acikca goruldugu gibi

$$x(j\omega) = H(j\omega)R(j\omega) \quad \text{xqf437}$$

(ref: xqf437) esitliginde  $\omega$  reel bir sayidir,  $H(j\omega)$  belli bir  $\omega$  degeri icin kompleks bir sabit olarak dusunulebilir.  $r(\omega)$  ise  $r(t) = A \cos(pt + \phi)$  nin Furier donusumudur. (ref: xqf357) den

$$r(\omega) = \mathcal{F}[A \cos(pt + \phi)] = A\pi[\delta(\omega + p)e^{-\phi} + \delta(\omega - p)e^{\phi}] \quad \text{xqf439}$$

oldugundan  $r(\omega)$  nin bu degeri (ref: xqf437) de yerine koyalim.

$$x(j\omega) = H(j\omega)A\pi[\delta(\omega + p)e^{-\phi} + \delta(\omega - p)e^{\phi}] = A\pi[H(j\omega)\delta(\omega + p)e^{-\phi} + H(j\omega)\delta(\omega - p)e^{\phi}] \quad \text{xqf443}$$

Esitligi elde edilir. Ote yandan

$$\delta(x - a)f(x) = \delta(x - a)f(a) \quad \#$$

oldugundan (ref: xqf443) esitligi

$$x(j\omega) = A\pi[H(-jp)\delta(\omega + p)e^{-\phi} + H(jp)\delta(\omega - p)e^{\phi}] \quad \text{xqf445}$$

haline gelir.  $H(-jp)$  ve  $H(jp)$  ifadelerini

$$H(-jp) = |H(-jp)|e^{j\angle H(-jp)} \quad H(jp) = |H(jp)|e^{j\angle H(jp)}$$

sekinde yazip

$$|H(-jp)| = |H(jp)| \quad \angle H(-jp) = -\angle H(jp)$$

oldugu dikkate alinirsa ref: xqf445 esitligi

$$x(j\omega) = A\pi|H(jp)| \left[ \delta(\omega + p)e^{-j(\phi + \angle H(jp))} + \delta(\omega - p)e^{j(\phi + \angle H(jp))} \right] \quad \text{xqf447}$$

(ref: xqf447) esitliginin her iki tarafinin Ters Furier donusumunu alalim.

$$x(t) = A|H(jp)| \cos(pt + \phi + \angle H(jp)) \quad \text{xqf449}$$

elde edilir. Dolayisiyla (ref: xqe401) ile verilen diferansiyel denklemin giris fonksiyonu  $r(t) = A \cos(pt + \phi)$  seklinde bir sinuzoidal fonksiyon ise sistemin cikis fonksiyonu  $x(t)$  de bir sinuzoidal fonksiyondur.  $x(t)$  nin genligi  $H(jp)$  ile carpilmis, acisina da  $\angle H(jp)$  kadar bir deger ilave edilmistir.

Ornek Problem:  $4 \frac{dx}{dt} + 6x = r(t)$  dif denkleminde  $r(t) = 60 \cos(3t)$  olduguna gore dif denklemin ozel cozumunu bulun.

Cozum: ref: xqf434 den sisteme iliskin transfer fonksiyonu

$$H(j\omega) = \frac{1}{4j\omega + 6} \quad \#$$

Burada  $p = 3$  icin

$$H(j3) = \frac{1}{4j3 + 6}$$

$$|H(j3)| = \left| \frac{1}{12j + 6} \right| = \frac{|1|}{|12j + 6|} = \frac{1}{13.41} = 0.0745 \quad \#$$

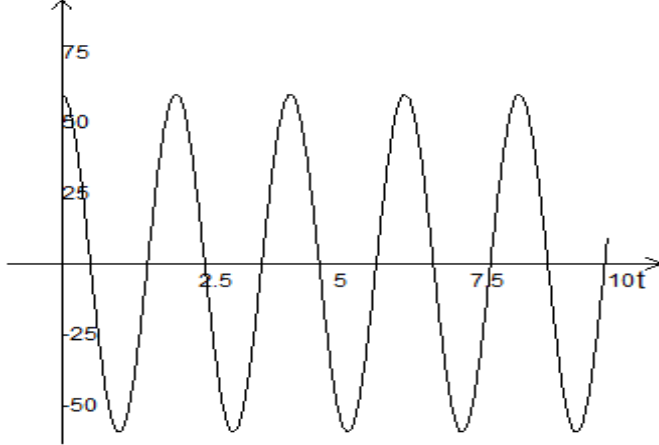
$$\angle H(j3) = \angle 1 - \angle (12j + 6) = 0 - 63.4 = -63.4$$

elde edilir. Boylece

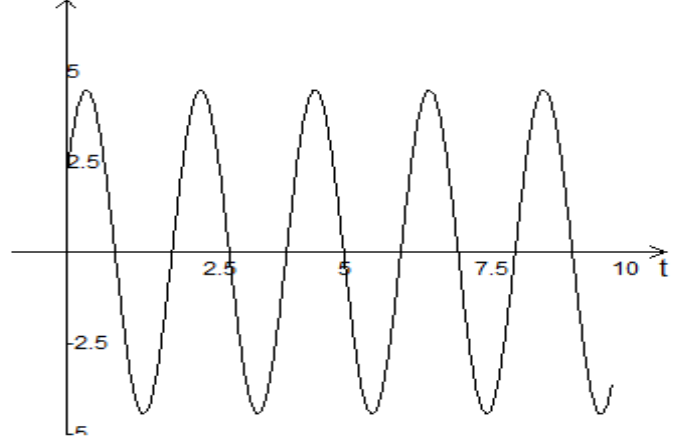
$$x(t) = 60 \cdot 0.0745 \cos(3t - 63.4) = 4.47 \cos(3t - 63.4) = 2 \cos(3t) + 4 \sin(3t)$$

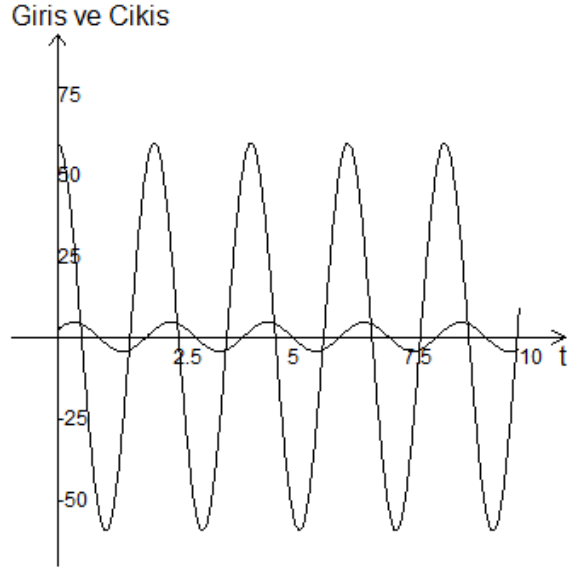
bulunur.

Giris:  $g(t) = 60 \cos(3t)$



Cikis:  $g(t) = 4.47 \cos(3t - 63)$





Sekil(xqs717) Lineer sistemin cikis ve girisi

Cikista sinuzoidal isaretin genligi artacak (veya azalacak) ve isaret bir miktar saga kayacaktır. Genlikteki artma(azalma) miktarı ve isaretin kayma miktarı lineer sistem parametrelerine ( $|H(w)|, \phi$ ) baglidir. Isaretin saga kaymasi gercekte isaretin girisi ile cikisi arasindaki zaman gecikmesini verir. Yani lineer sistem degisik frekanslardaki ( $w$ 'lardaki) isaretleri degisik miktarda gecikmelerle cikisa yansitacaktır. Sistem lineer oldugundan birden fazla giris olursa toplam cikis cikislarin ayri ayri toplamina esit olacaktır. Diger bir ifade ile  $r(t)$  farkli sinuzoidal bileşenlerden meydana gelmiş ise her bileşenin ayri ayri cikisi hesaplanır ve ve butun cikislar toplanarak toplam cikis hesaplanır. Yani giris fonksiyonu

$$r(t) = a_1 \cos(w_1 t + \theta_1) + a_2 \cos(w_2 t + \theta_2) + a_3 \cos(w_3 t + \theta_3) + \dots + a_n \cos(w_n t + \theta_n)$$

ise cikis

$$x(t) = a_1 |G(jw_1)| \cos(w_1 t + \theta_1 + \angle G(jw_1)) + a_2 |G(jw_2)| \cos(w_2 t + \theta_2 + \angle G(jw_2)) \\ + a_3 |G(jw_3)| \cos(w_3 t + \theta_3 + \angle G(jw_3)) + \dots + a_n |G(jw_n)| \cos(w_n t + \theta_n + \angle G(jw_n))$$

sekinde olacaktır.

### Birim Impuls Giris

Sistem giris fonksiyonu birim impuls olursa durum ne olur onu inceleyelim. Impuls fonksiyonunun Fourier donusumu (ref: xqg301)'den

$$\mathcal{F}[\delta(t)] = 1$$

olarak bulunmustu. O halde giris birim impuls ise cikisin Fourier donusumu



$$X(w) = H(jw) 1 = H(w)$$

xqf476

olur. Yani sisteme birim impuls uygulandığında çıkışın Fourier dönüşümü sistemin transfer fonksiyonunu verir. Bu sonuç transfer fonksiyonları bilinmeyen sistemlerin transfer fonksiyonları hakkında bilgi elde etmek için kullanılır.

Bu bulduğumuz sonuç gerçekte konvolüsyon teoreminin bir sonucudur. lineer sistem teorisinden göre  $g(t)$  lineer sistemin birim impuls cevabı olmak üzere

$$x(t) = \int_{-\infty}^{\infty} h(p)r(t-p)dp = \int_{-\infty}^{\infty} h(t-p)r(p)dp$$

xqf471

bağıntısı vardır. Öte yandan konvolüsyon teoremine göre (ref: xqf471) eşitliği sağlanırsa (ref: xqf476) bağıntısı da sağlanır.

Örnek Problem 4  $4 \frac{dx}{dt} + 6x = r(t)$  dif denkleminde

$r(t) = 5 \cos(0.1t) + 4 \cos(3t + 40) + 12 \cos(5t - 25) + 30 \cos(10t)$  olduğuna göre dif denklemin özel çözümünü bulun.

Çözüm: Sistemin transfer fonksiyonu (ref: xqp413) deki ile aynıdır.

$$|H(j0.1)| = 0.166, \quad \angle H(j0.1) = -3.8$$

$$|H(j3)| = 0.0745, \quad \angle H(j3) = -63.4$$

$$|H(j5)| = 0.047, \quad \angle H(j5) = -73$$

$$|H(j10)| = 0.024, \quad \angle H(j10) = -81$$

$$x(t) = 5 * 0.166 \cos(0.1t - 3.8) + 4 * 0.074 \cos(3t + 40 - 63.4) \\ + 12 * 0.047 \cos(5t - 25 - 73) + 30 * 0.024 \cos(10t - 81)$$

$$x(t) = 0.83 \cos(0.1t - 3.8) + 0.298 \cos(3t - 23) + 0.57 \cos(5t - 98) + 0.74 \cos(10t - 81)$$

Görüldüğü gibi giriş sinüzoidal terimler ise çıkış ifadesi bu yöntemle kolayca hesaplanmaktadır.

## $H(jw)$ Transfer Fonksiyonunun Özellikleri

(ref: xqf434)'de verilen transfer fonksiyonunu ( $jw$ ) nin tek ve çift terimlerini bir grupta toplayarak yazalım.

$$H(jw) = \frac{(a_0 - a_2w^2 + a_4^4 - a_6w^6 + \dots) + jw(a_1 - a_3w^2 + a_5w^4 - a_7w^6 \dots)}{(b_0 - b_2w^2 + b_4w^4 - b_6w^6 \dots) + jw(b_1 - b_3w^2 + b_5w^4 - b_7w^6 \dots)}$$

xqfc26

$H(jw)$  nin pay ve paydasi reel ve sanal kısımlarına ayırıp

$$A = a_0 - a_2w^2 + a_4^4 - a_6w^6 \dots \quad B = a_1 - a_3w^2 + a_5w^4 - a_7w^6 \dots$$

$$C = b_0 - b_2w^2 + b_4w^4 - b_6w^6 \dots \quad D = b_1 - b_3w^2 + b_5w^4 - b_7w^6 \dots$$

tanımları yapılırsa (ref: xqfc26) eşitliği

$$H(j\omega) = \frac{A + j\omega B}{C + j\omega D} \quad \text{xqfc28}$$

sekinde yazilabilir. Ote yandan  $\omega$  yerine  $-\omega$  yazilirsa

$$H(-j\omega) = \frac{A - j\omega B}{C - j\omega D} \quad \text{xqfc30}$$

olacagi aciktir.  $H(j\omega)$  ve  $H(-j\omega)$  nin genlikleri hesaplandiginda

$$|H(j\omega)| = |H(-j\omega)| = \frac{\sqrt{A^2 + B^2}}{\sqrt{C^2 + D^2}}$$

oldugu acikca gorulur. Ote yandan

$$\begin{aligned} \angle H(j\omega) &= \operatorname{arctg} \frac{B}{A} - \operatorname{arctg} \frac{D}{C} \\ \angle H(-j\omega) &= -\operatorname{arctg} \frac{B}{A} + \operatorname{arctg} \frac{D}{C} \end{aligned} \quad \#$$

olduguda aciktir. Sonuc olarak

$$|H(j\omega)| = |H(-j\omega)| \quad \angle H(j\omega) = -\angle H(-j\omega) \quad \text{xqfc36}$$

Yani lineer sistemin genlik fonksiyonu  $\omega$ 'nin cift fonksiyonu, faz fonksiyonu ise  $\omega$ 'nin tek fonksiyonudur.

## Frekans Spektrumu

Sisteme giren frekanslardaki  $H(j\omega)$  degeri cikisi hesaplamak icin yeterli. Isaret analizi ve otomatik kontrol alanlarinda sistemin degisik frekanslardaki davranisinin bilinmesi cok fayda saglar. Sisteme iliskin  $|H(j\omega)|$  ve  $\angle H(j\omega)$  degerlerinin  $\omega = 0$   $\omega = \infty$  arasi degerleri bir tablo ve grafik halinde duzenlenir

$|H(j\omega)|$ 'nin  $\omega$ 'yagore degisimini gosteren grafige sistemin **genlik spektrumu**  $\angle G(j\omega)$ ,  $\omega$  graficine sistemin **aci (faz) spektrumu** denir. Iki grafik beraberce **sistemin frekans spektrumu** olarak adlandirilir.

Ornek Problem:  $\frac{dx}{dt} + 2x = r(t)$  diferansiyel denklemler ile verilen sistemin genlik ve faz spektrumunu cizin.

Cozum: iki tarafin Furier donusumunu alarak Transfer fonksiyonu

$$H(j\omega) = \frac{1}{j\omega + 2}$$

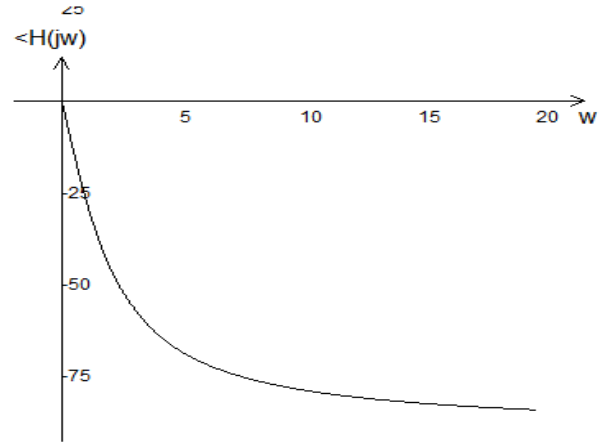
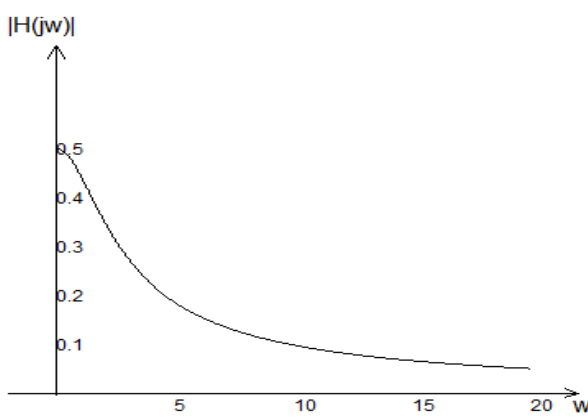
olur. Genlik ve faz ifadeleri de

$$|H(j\omega)| = \frac{1}{\sqrt{\omega^2 + 4}} \quad \angle G(j\omega) = -\operatorname{arg} \tan \frac{\omega}{2}$$

olacaktır. Degisik  $\omega$  degerleri icin  $|H(j\omega)|$  ve  $\angle G(j\omega)$  degerleri Tablo(ref: xqt421) de gosterilmistir. Sisteme iliskin genlik ve spektrumu sekil(ref: xqs435) de gosterilmistir. Genlik ve faz spektrumu cizilirken  $|H(j\omega)|$  ve  $\angle H(j\omega)$  nin degisim gosterdigi aralik gosterilmelidir. Mesela sekil(ref: xqs435)de  $\omega = 0$  ile  $\omega = 5$  arasindaki degisim oldukca

fazla iken  $w > 10$  için spektrumda fazla bir degisklik yoktur.

| $w$            | 0   | 0.1   | 0.4   | 1     | 1.5   | 1.7   | 1.8  | 1.9   | 2    | 2.5   | 5     | 10    | 100 |
|----------------|-----|-------|-------|-------|-------|-------|------|-------|------|-------|-------|-------|-----|
| $ H(jw) $      | 0.5 | 0.49  | 0.49  | 0.44  | 0.4   | 0.38  | 0.37 | 0.36  | 0.35 | 0.31  | 0.18  | 0.09  | 0.0 |
| $\angle H(jw)$ | 0   | -2.86 | -11.3 | -26.6 | -36.9 | -40.4 | -42  | -43.5 | -45  | -51.3 | -68.2 | -78.7 | -88 |



Sekil(xqs435)  $H(jw) = \frac{1}{jw+2}$  transfer fonksiyonuna ilişkin genlik ve faz spektrumu.

Genlik spektrumunda genliğin maximum degerinin  $\frac{1}{\sqrt{2}}$  sine dustugu  $w$  degeri **kesim frekansi(cutt off frequency)** olarak adlandırılır ve  $w_c$  ile gösterilir. Ornek olarak sekildeki spektrumda genliğin maximum degeri  $w = 0$  icindir ve degeri 0.5 dir. Genliğin  $|H(jw)| = \frac{0.5}{\sqrt{2}} = 0.35$  oldugu  $w$  degeri kesim frekansidir.

$$|H(jw)| = \frac{1}{\sqrt{w^2+4}} = 0.35 \quad \sqrt{w^2+4} = \frac{1}{0.3536} \quad w^2+4 = 8 \quad w = 2 \quad \text{olarak bulunur.}$$

Yani bu sistemin kesim frekansi  $w_c = 2$  dir.  $H(jw)$  burada oldugu gibi birinci dereceden basit fonksiyonlar ise kesim frekansi kolayca hesaplanabilir. Ancak cogu kere  $G(jw)$ in derecesi birden buyuktur ve analitik hesaplama mumkun olmaz. Bu durumda genlik spektrumunun grafigi incelenerek kesim frekansi tahmin edilir.

## Bode Diyagrami

Sistemlerin spektrumları her zaman sekil(ref: xqs435) deki gibi basit degildir. Genis bir  $w$  aralığında  $|H(jw)|$  ve  $\angle H(jw)$  buyuk degisimler gosterebilir. Boyle durumlarda  $w$  ve  $|H(jw)|$  eksenleri logaritmik olarak alinir. Spektrumun bu sekilde logaritmik olarak

gosterilmesine **Bode diyagrami** denir.

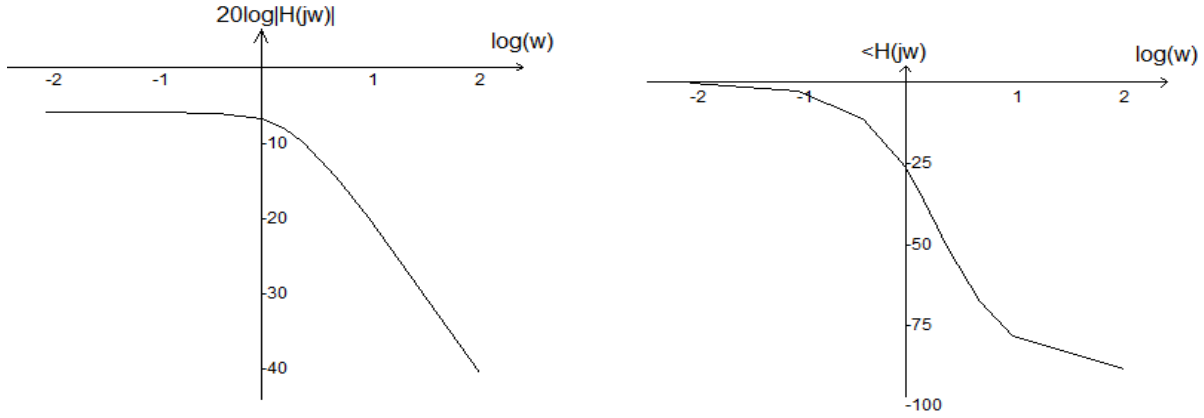
Ornek Problem:  $H(j\omega) = \frac{1}{j\omega+2}$  transfer fonksiyonu ile verilen sistemin Bode diyagramini cizin.

Cozum:w nin cesitlidegerlerine karsilik gelen genlik ve faz degerlerini bir tabloda gosterelim.

| $\omega$              | 0         | 0.1    | 0.4    | 1      | 1.5    | 1.7    | 1.8    | 1.9    | 2      | 2.5    |
|-----------------------|-----------|--------|--------|--------|--------|--------|--------|--------|--------|--------|
| $ H(j\omega) $        | 0.5       | 0.499  | 0.490  | 0.447  | 0.4    | 0.380  | 0.371  | 0.362  | 0.353  | 0.312  |
| $\angle H(j\omega)$   | 0         | -2.862 | -11.31 | -26.57 | -36.87 | -40.36 | -41.99 | -43.53 | -45    | -51.34 |
| $\log(\omega)$        | $-\infty$ | -1     | -0.39  | 0      | 0.176  | 0.230  | 0.255  | 0.278  | 0.301  | 0.397  |
| $20\log( H(\omega) )$ | -6.021    | -6.031 | -6.191 | -6.99  | -7.959 | -8.382 | -8.597 | -8.814 | -9.031 | -10.11 |

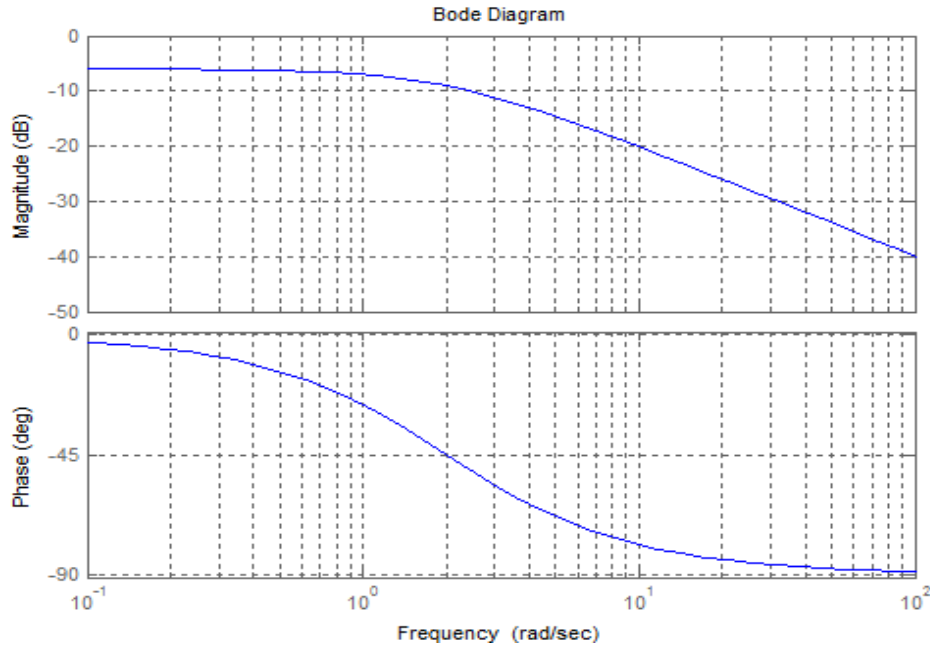
Tablo(xqt483)  $H(j\omega) = \frac{1}{j\omega+2}$  transfer fonksiyonu ile verilen sisteme ait

Bode diyagraminin tablosu



Sekil(xqs483)  $H(j\omega) = \frac{1}{j\omega+2}$  transfer fonksiyonu ile verilen sisteme ait

Bode diyagrami grafigi



Sekil(xqs484)  $H(jw) = \frac{1}{jw+2}$  MATLAB da çizilmiş Bode diyagramı

grafigi

Rezonans olayı

Rezonans olayı elektrik ve mekanik sistemlerde çok raslanan ve normalde istenmeyen hatta bazan tehlikeler doğuran bir olaydır. 1932 yılında inşa edilen Meshur Tacoma Narrow korusu trafige acıldıktan kısa süre sonra çokmustur. Çokme nedeni ruzgar dolayısıyla etki eden kuvvetin koprunun rezonans frekansında olmasıdır.

Asğıdaki dif denklemi gozonune alalım.

$$\frac{d^2x}{dt^2} + p^2x = r(t)$$

xqf481

Sisteme ilişkin transfer fonksiyonu

$$H(jw) = \frac{X(jw)}{R(jw)} = \frac{1}{w^2 - p^2}$$

#

Simdi sisteme  $A \cos(pt)$  seklinde bir giris isareti gelsin  $x(t)$  cikisinin ne olacagini hesaplayalım. (ref: xqf449) dan  $x(t)$  isareti

$$x(t) = A|H(jp)|\cos(pt + \angle H(jw))$$

#

seklinde olacaktır. Fakat  $H(jp) = \infty$  dir. Yani giris  $r(t) = A \cos(pt)$  oldugunda cikisin genligi asiri buyumekte ve sonsuz olmaktadır. Halbuki giris  $r(t) = A \cos(qt)$   $q \neq p$  olsa cikis sonsuz degildir. (ref: xqf481)de verilen sistemin  $\cos(pt)$  seklindeki bir girise karsi duyarlıligi vardır. Iste bu sistemin rezonans frekansı  $p$  dir.

Rezonans olayini fiziksel olarak soyle aciklayabiliriz. Sekil(ref: xqs481) deki gibi bir noktaya bagli ve bu nokta etrafında gidip gelen bir sarkac dusunun. Surtunmesiz varsayilan ortamda cisme herhangi bir kuvvet gelmedikce sarkac sabit bir hizla gidip

gelir. Sarkacin gidip gelme zamani sarkacin boyuna ve agirligina baglidir yani sabittir ve bu sarkacin periyodunu(T) verir. (salinim frekansi  $\frac{1}{T}$  )

Simdi sarkac tam O noktasindan gecerken  $+x$  yonunde bir kuvvet uygulansin. Bu kuvvet sarkacin salinim genligini bir miktar artirir. Salinim frekansinin degismedigini varsayarak arasira  $+x$  yonunde kuvvet uygulayalim. Kuvvetin uygulama anlari ile sarkacin OA dan gecme ani hep cakisik olursa sarkacin genligi gittikce artacaktır.

f?igure “xqs481 a)surtunmesiz sarkac

f?igure “xqs482 Sarkacin rezonans frekansinda kuvvet uygulanma durumu.

a)sarkacin serbest olarak yapacagi hareketi, b)Sarkaca uygulanan kuvvet c)Sarkacin kuvvet etkisinde yaptigi hareket.

f?igure “xqs483 Sarkacin rezonans frekansindan farkli frekansda kuvvet uygulanma durumu. a)sarkacin serbest olarak yapacagi hareketi, b)Sarkaca uygulanan kuvvet c)Sarkacin kuvvet etkisinde yaptigi hareket.

Konuyu biraz daha derinlestirelim, sarkacta sallanan cismin icinde bir motor bulunsun ve motor Hem  $+x$  hem de  $-x$  yonunde kuvvet uygulayabilsin. Eger motor A dan B ye giderken hep  $+x$  ve sarkac B den A ya giderken hep  $-x$  yonunde kuvvet uygulanirsa sarkacin genligi surekli olarak artar. sekil(ref: xqs482) de bu durum gsterilmistir. Ote yandan Motorun sarkaca uyguladigi kuvvet ile sarkacin hareketi esit peryotlu olmazsa sekil(ref: xqs483) deki gibi bir durum ortaya cikar. Sarkacin salinim genligi bazan artarken bazanda azalir,fakat hicbir zaman genlik rezonans halindeki gibi sonsuza gitmez.

Gercek sarkac modelinde surtunme kuvveti de modellemeye dahil edilir. Bu durumda  $c$  surtunme katsayisi olmak uzere sarkaca iliskin transfer fonksiyonu

$$H(jw) = \frac{1}{w^2 - p^2 + jwc}$$

#

seklene gelir. Bu halde  $w = p$  frekansinda uygulanan isaret yine kuvvetlendirilerek cikisa tasinir fakat genlik sonsuza gitmez. Bu durumda  $w = p$  frekansina literaturde sistemin **kritik frekansi, kritik hizi** denir.

Mekanik sistemlerin birden fazla hatta sonsuz sayida kritik frekansi vardir. Ancak mekanik sistemlere sisteme uygulanacak kuvvetlerin frekanslari yuksek olamayacagindan yuksek frekanslardaki kritik hizlarin pratikte bir degeri yoktur.

Pervane, mil gibi donen cisimlerin kritik frekanslarda calismalari cok tehlikelidir. Bu yuzden bu gibi cisimler dizayn edilirken sistemin kritik frekanslari normal calismadaki devir sayilarindan uzakta olacak sekilde ayarlanir.

Kritik frekans kavraminin birbaska uygulamaalani otomobil dizayninda karsimiza cikar. Yolda giden otomobile yolun bozuklugu dolayisiyla uygulanan kuvvetlerin

spektrumu sekil() deki gibi olsun. Sekil() de kotu dizany edilmis bir araba ve sekil() de iyi dizany edilmis arabalarin transfer fonksiyonlari goruluyor. Sekil() deki araba kendine gelen bir kuvveti yolcuya iletirken Sekil() ve () deki arabalar zayiflatacak iletacaktır.

\*\*\*\*\*

Haliyle boyle bir duzenekte  $m$  kutlesinin hareketi ile, bu hareket neticesi olusan  $V_{AB}$  geriliminin orantili olmasi istenir.

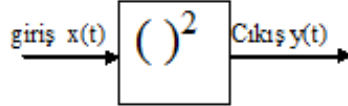
yapilacak isler 1) sistem tarifi giris cikis kavrami linnerlik ve nonlineerlik(saturasyon) karesellik vs lineer ve nonlineer sistemin ayristirilabilirliigi dinamik sistemlerin analizi analog ve ayrik sistemler

\*\*\*\*\* lineer dinamik sisteme

iki giris var lineerlik sagla?

## Cozumlu Problemler

C.P.4.1 Sekil(ref: xq4s506) deki sistemin girisine  $x(t) = a \cos(pt) + b \cos(qt)$  isareti uygulaniyor. a)  $y(t)$  cikisini hesaplayiniz. b) Isaretin giriste ve cikista tek taraflı spektrumunu ( $a=4, p=5, b=3, q=7$  icin ) cizin. c) Sistem lineermidir, spektrumları yorumlayarak cevaplayin.



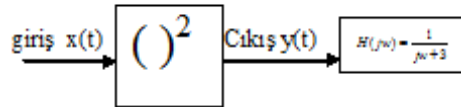
Sekil(xq4s506)

Cozum: Sistem girisin karesini alarak cikisa vermektedir. O halde

$$\begin{aligned} y(t) &= [x(t)]^2 = [a \cos(pt) + b \cos(qt)]^2 \\ &= a^2 \cos^2(pt) + b^2 \cos^2(qt) + 2ab \cos(pt) \cos(qt) \\ &= \frac{a^2}{2} + \frac{a^2}{2} \cos(2pt) + \frac{b^2}{2} + \frac{b^2}{2} \cos(2qt) + ab \cos((p+q)t) + ab \cos((p-q)t) \end{aligned}$$

olacaktır.

C.P.4.2 Sekil(ref: xq4s507) deki sistemin girisine  $x(t) = 2 \cos(7t) + 3 \cos(11t)$  isareti uygulanıyor.  $y(t)$  cikisini hesaplayiniz.



Sekil(xq4s507) giris  $x(t)=2\cos 7t+3\cos 11t$  sistem  $()^2$  ve  $G(s) = \frac{1}{s+3}$  seri bagli cikis  $z(t)$

Cozum (C.P.ref: xq4p506)'den  $a = 2, b = 3, p = 7, q = 11$  koyarak

$$y(t) = 6.5 + 2 \cos(14t) + 4.5 \cos(22t) + 6 \cos(18t) + 6 \cos(4t)$$

olarak bulunur. Linear sisteme giren  $\cos(\omega t)$  isareti cikista  $|G(j\omega)| \cos(\omega t + \angle G(j\omega))$  seklinde olacaktır. O halde

$$\begin{aligned} z(t) &= 2.17 + 0.139 \cos(14t - 77) + 0.202 \cos(22t - 82) + 0.32 \cos(18t - 80) \\ &\quad + 1.2 \cos(4t - 53) \end{aligned}$$

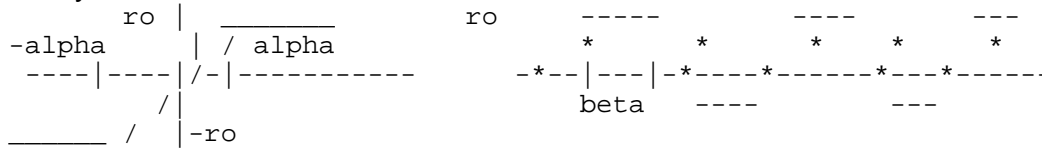
seklindedir.

C.P.4.3 Sekil(ref: xq4s607)'de pratikte cok raslanan bir kuvvetlendiricinin giris-cikis



bagintisi verilmistir. Sistemin girisine  $x(t) = \cos(w_0t)$  isareti giriyor.  $\delta$

= 3.53  $T_0 = 4$ ,  $\alpha = 0.706$  olduguna gore Cikisdaki isareti sinuzoidal terimlerin toplami formunda yazin.



f?igure[hbt] “xq4s607 giris  $x(t) = \cos(w_0t)$  saturasyon sistemi  
Nonlinear elemanın giris cikis bagintisi

$$m = \frac{\delta}{\alpha}$$

olmak uzere,

$$y = \begin{cases} -\delta & x < -\alpha \\ mx & -\alpha < x < \alpha \\ \delta & x > \alpha \end{cases}$$

#

Seklindedir. Buna gore cikis isareti sekil(ref: xq4s617)'deki gibi olacaktir. Burada

$$\alpha = \cos(w_0\beta) \rightarrow \beta = \frac{1}{w_0} \arccos(\alpha)$$

oldugu aciktir.

f?igure[hbt] “xq4s617 giris  $x(t) = A \cos(w_0t)$  saturasyon sistemi

(C.P.ref: xq1p761)'de bu isareti Furier serisine acmis ve Furier serisi katsayilari

$$b_p = 0$$

$$a_p = 0, \quad p = 0, 2, 4, 6, 8, \dots \text{icin}$$

$$a_1 = \frac{4\delta}{\pi} \sin(w_0\beta) + m \left( 1 - \frac{4\beta}{T_0} - \frac{1}{\pi} \sin(2w_0\beta) \right)$$

ve  $p = 3, 5, 7, 9, \dots$  icin

$$a_p = \frac{4\delta}{p\pi} \sin(pw_0\beta) + \frac{4m}{\pi} \left\{ -\frac{1}{2(p-1)} \sin[(p-1)w_0\beta] - \frac{1}{2(p+1)} \sin[(p+1)w_0\beta] \right\}$$

olarak bulunmustu.

$$\delta = 3.53 \quad T_0 = 4, \quad \alpha = 0.706, \quad m = \frac{\delta}{\alpha} = 5, \quad \beta = \frac{1}{w_0} \arccos(\alpha) = 0.5$$

koyup  $a_1, a_3, a_5, \dots$  katsayilari hesaplanirsa cikis isareti

$$g(t) = 4.73 \cos(1.57t) - 0.5 \cos(4.71t) + 0.16 \cos(7.85t) + 0.09 \cos(11.0t)$$

sekinde yazilabilir.

$$\frac{d^2x}{dt^2} - 6\frac{dx}{dt} + 9x = 0 \text{ dif denklemini } x(0) = 1 \text{ ve } \dot{x}(0) = 10 \text{ \u00c7\u00fcr\u00fcmler i\u00e7in bulunuz.}$$

Karakteristik denklem ve k\u00f6kleri  $q^2 - 6q + 9 = 0 \rightarrow q_1 = 3, q_2 = 3$  yani k\u00f6kler birbirine e\u015fit (katli k\u00f6k). \u00c7\u00fcr\u00fcmler  $x(t) = c_1e^{3t} + c_2e^{3t}$  \u00c7eklinde de\u015fil, fakat  $x(t) = c_1e^{3t} + c_2te^{3t}$  \u00c7eklinindedir. Yani ilave olarak bir  $t$  \u00e7arp\u00fan gelmi\u015ftir.

$$x(0) = 1 \Rightarrow c_1e^0 + c_2 \cdot 0e^0 = 1 \rightarrow c_1 + 0 = 1 \rightarrow c_1 = 1$$

$$\dot{x}(t) = 3c_1e^{3t} + c_2e^{3t} + 3c_2te^{3t} = e^{3t}(3c_1 + c_2) + 3c_2te^{3t}$$

$$\dot{x}(0) = 10 \Rightarrow e^0(3c_1 + c_2) + 3c_2 \cdot 0e^0 = 10 \Rightarrow c_2 = 7$$

Dolaysıyla \u00c7\u00fcr\u00fcmler

$$x(t) = e^{3t} + 7te^{3t}$$

\u00c7eklinde olacaktır.

Asa\u011f\u00fcdaki sistemlerin kararlı olup olmad\u0131\u011f\u0131n\u0131 belirtiniz.

$$1. \frac{d^2x}{dt^2} + 9x = 0$$

$$2. \frac{d^4x}{dt^4} + 18\frac{d^2x}{dt^2} + 81 = 0$$

$$3. \frac{d^2x}{dt^2} + 25x = \cos 5x$$

$$4. \frac{d^2x}{dt^2} - 25x = 0$$

$$5. \frac{d^2x}{dt^2} + 2\frac{dx}{dt} + x = 0$$

$$6. \frac{d^2x}{dt^2} = 0$$

$$7. \frac{d^2x}{dt^2} - 4\frac{dx}{dt} + 13 = 0$$

$$8. \frac{d^4x}{dt^4} - 8\frac{d^3x}{dt^3} + 42\frac{d^2x}{dt^2} - 104\frac{dx}{dt} + 169 = 0$$

$$9. \frac{d^4x}{dt^4} + 8\frac{d^3x}{dt^3} + 42\frac{d^2x}{dt^2} + 104\frac{dx}{dt} + 169 = 0$$

$$10. \frac{d^4x}{dt^4} + 4\frac{d^3x}{dt^3} + 6\frac{d^2x}{dt^2} - 4\frac{dx}{dt} + 1 = 0$$

$$11. \frac{d^4x}{dt^4} - 4\frac{d^3x}{dt^3} + 6\frac{d^2x}{dt^2} - 4\frac{dx}{dt} + 1 = 0$$

Karakteristik denklemin k\u00f6kleri ve kararlılık analizi asa\u011f\u00fcdaki gibi olacaktır.

$$1. \alpha_1 = -3j, \alpha_2 = 3j, \text{ kararlı.}$$

$$2. \alpha_1 = 3j, \alpha_2 = 3j, \alpha_3 = -3j, \alpha_4 = -3j \text{ kararlıs\u0131z.}$$

$$3. \alpha_1 = -5j, \alpha_2 = 5j, \text{ kararlıs\u0131z}(\cos(5t) \text{ girisinden dolayi.})$$

$$4. \alpha_1 = -5, \alpha_2 = 5, \text{ kararlıs\u0131z.}$$

5.  $\alpha_1 = -1, \alpha_2 = -1,$  kararlı.
6.  $\alpha_1 = 0, \alpha_2 = 0,$  kararsız (diferansiyel denklemi çözerek araştırınız).
7.  $\alpha_1 = 2 + 3j, \alpha_2 = 2 - 3j$  kararsız.
8.  $\alpha_1 = 2 + 3j, \alpha_2 = 2 + 3j, \alpha_3 = 2 - 3j, \alpha_4 = 2 - 3j$  kararsız.
9.  $\alpha_1 = -2 + 3j, \alpha_2 = -2 + 3j, \alpha_3 = -2 - 3j, \alpha_4 = -2 - 3j$  kararlı.
10.  $\alpha_1 = -1, \alpha_2 = -1, \alpha_3 = -1, \alpha_4 = -1$  kararlı.
11.  $\alpha_1 = 1, \alpha_2 = 1, \alpha_3 = 1, \alpha_4 = 1$  kararsız.

$\frac{d^2x}{dt^2} + 9x = 12 \cos(3t) + 15 \sin(3t)$  diferansiyel denkleminin tam çözümünü bulun.

Homojen çözüm: Karakteristik polinom ve kökleri

$$q^2 + 9q = 0 \rightarrow q_1 = 3j, q_2 = -3j$$

olduğundan homojen çözüm

$$x_h(t) = c_1 e^{3jt} + c_2 e^{-3jt} = A \cos(3t) + B \sin(3t)$$

şeklinde olacaktır. Burada  $A, B$  keyfi sabitlerdir.

Homojen çözüm ikinci taraftaki terimi içinde bulundurduğundan Özel çözüm için tahmini çözüm

$$x_o(t) = t(C \cos(3t) + D \sin(3t))$$

şeklinde olacaktır.

$$\frac{dx_o}{dt} = C \cos(3t) + D \sin(3t) + t(-3C \sin(3t) + 3D \cos(3t))$$

$$\frac{d^2x_o}{dt^2} = \dots\dots$$

değeri hesaplanıp diferansiyel denklemde yerine konulup gerekli sadeleştirmeler yapılırsa

$$6D \cos(3t) - 6C \sin(3t) = 12 \cos(3t) + 15 \sin(3t)$$

elde edilir. Buradan

$$C = -2.5, D = 2$$

bulunur. Dolayısıyla diferansiyel denklemin tam çözümü

$$x_t(t) = x_h(t) + x_o(t) = A \cos(3t) + B \sin(3t) + t(-2.5 \cos(3t) + 2 \sin(3t))$$

olarak elde edilir.

$$\frac{d^3x}{dt^3} - \frac{d^2x}{dt^2} + 29 \frac{dx}{dt} - 52x = 0$$

xqe411

sabit katsayı dif denkleminin homojen(öz) çözümünü bulunuz. Karakteristik polinom

$$q^3 - 8q^2 + 29q - 52 = 0$$

olup bu polinomun kokleri  $q_1 = 4$ ,  $q_2 = 2 + 3j$ ,  $q_3 = 2 - 3j$  dir. Dolayisiyla (ref: xqe411) dif denkleminin oz (homojen) €'zmu

$$\begin{aligned} x(t) &= c_1 e^{4t} + c_2 e^{(2+3j)t} + c_3 e^{(2-3j)t} \\ &= c_1 e^{4t} + e^{2t}(c_2 e^{3jt} + c_3 e^{-3jt}) \\ &= c_1 e^{4t} + e^{2t}(A \cos(3t) + B \sin(3t)) \end{aligned} \quad \text{xqe412}$$

seklindedir.

$$\frac{d^3 x}{dt^3} - \frac{d^2 x}{dt^2} + 29 \frac{dx}{dt} - 52x = 386e^{5t} - 104t + 6 \quad \text{xqe413}$$

dif denkleminin ozel cozumunu bulun. Dif denklemin ikinci tarafini verebilecek  $x(t)$ , ifadesi  $d, a, b$  birer sabit olmak uzere

$$x(t) = de^{5t} + at + b \quad \#$$

sekinde olmalidir. O halde

$$\begin{aligned} \frac{dx}{dt} &= 5de^{5t} + a \\ \frac{d^2 x}{dt^2} &= 25de^{5t} \\ \frac{d^3 x}{dt^3} &= 125de^{5t} \end{aligned}$$

ifadeleri (ref: xqe413) de yerine konursa

$$\begin{aligned} 125de^{5t} - 25de^{5t} + 29(de^{5t} + a) - 52(de^{5t} + at + b) &= 386e^{5t} - 104t + 6 \\ 193de^{5t} - 52at + 29a - 52b &= 386e^{5t} - 104t + 6 \end{aligned} \quad \#$$

Buradan  $d = 2$ ,  $a = 2$ ,  $b = 1$  olarak bulunur, boylece ozel cozum

$$x(t) = 2e^{5t} + 2t + b \quad \text{xqe415}$$

olarak bulunur.

$$\frac{d^3 x}{dt^3} - \frac{d^2 x}{dt^2} + 29 \frac{dx}{dt} - 52x = 386e^{5t} - 104t + 6 \quad \#$$

dif denkleminin tam cozumunu bulun. (ref: xqe412) ve (ref: xqe415) de verilen cozumlerin toplami tam cozumu verir.

$$x(t) = c_1 e^{4t} + e^{2t}(A \cos(3t) + B \sin(3t)) + 2e^{5t} + 2t + b \quad \text{xqe418}$$

$\frac{dx}{dt} + 2x = 3 \frac{dr}{dt} + r$  dinamik sisteminin frekans spektrumunu cizin, kesim frekansini bulun.  $G(s) = \frac{3s+1}{s+2}$   $G(jw) = \frac{3jw+1}{jw+2}$

$$|G(jw)| = \frac{\sqrt{9w^2 + 1}}{\sqrt{w^2 + 4}} \quad \angle G(jw) = \arg \tan \frac{3w}{1} - \arg \tan \frac{w}{2}$$

|               |     |      |      |      |     |      |      |      |      |      |      |      |          |
|---------------|-----|------|------|------|-----|------|------|------|------|------|------|------|----------|
| $w$           | 0   | 0.10 | 0.2  | 0.5  | 1.  | 1.5  | 2    | 2.5  | 3    | 5    | 10.  | 100. | $\infty$ |
| $ H(w) $      | 0.5 | 0.52 | 0.58 | 0.87 | 1.4 | 1.84 | 2.15 | 2.36 | 2.51 | 2.79 | 2.94 | 2.99 | 3        |
| $\angle G(w)$ | 0   | 13.8 | 25.2 | 42.2 | 45  | 40.6 | 35.5 | 31   | 27.3 | 17.9 | 9.4  | 0.9  | 0        |

Sistemin maksimum genligi  $w = \infty$  için  $|G(jw)| = 3$  olmaktadır. Kesim frekansi genligin  $\frac{3}{\sqrt{2}} = 2.12$  e esit oldugu frekansdir.

$|G(jw)| = \frac{\sqrt{9w^2+1}}{\sqrt{w^2+4}} = 2.12$  esitligi cozulerek bulunabilir. Tabloya bakilrsa genligin 2.12 oldugu deger  $w = 1.5$  ile  $w = 2$  arasinda olacagi kolayca gorulebilir.  $w = 1.8$  icin  $|G(j1.8)| = 2.04$  dir. Benzer sekilde denemelerle  $|G(j1.9)| = 2.09$  ve  $|G(j1.95)| = 2.12$  hesaplanarak  $w_c = 1.95$  olarak bulunur.

\*\*\*\*\*

$$\frac{d^4x}{dt^4} + 16\frac{d^3x}{dt^3} + 96\frac{d^2x}{dt^2} + 256\frac{dx}{dt} + 256x = 0$$

diferansiyel denleminin cozumunu bulunuz.

$$x(t) = c_1e^{-4t} + c_2te^{-4t} + c_3t^2e^{-4t} + c_4t^3e^{-4t}$$

$$\frac{d^5x}{dt^5} - 4\frac{d^4x}{dt^4} + 10\frac{d^3x}{dt^3} + 64\frac{d^2x}{dt^2} - 247\frac{dx}{dt} + 676x = 0$$

diferansiyel denkleminin homojen cozumunu bulun.

$$x(t) = c_1e^{-4t} + e^{2t}(A_1 \cos(3t) + B_1 \sin(3t)) + te^{2t}(A_2 \cos(3t) + B_2 \sin(3t))$$

$$\frac{d^4x}{dt^4} + 18\frac{d^2x}{dt^2} + 81x = 0$$

diferansiyel denkleminin homojen cozumunu bulun.

$$x(t) = A_1 \cos(3t) + B_1 \sin(3t) + t(A_2 \cos(3t) + B_2 \sin(3t))$$

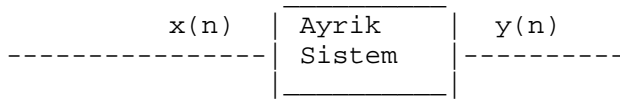
$\frac{d^2x}{dt^2} + 9x = 12 \cos(3t) + t \cos(3t)$  diferansiyel denkleminin tam cozumunu bulun.

## AYRIK SİSTEMLER

Ayrık sistemler de girişi çıkışı ayrik işaretler olan sistemlerdir. Analog (sürekli) sistemlerin diferansiyel denklemler ile modellenmesi gibi ayrik sistemler de fark denklemleri ile modellenir. Şekil (ref: xq4s541'de gösterilen girişi  $x(n)$  çıkışı  $y(n)$  olan ayrik sistemin modeli

$$y(n) = f(y(n-1), y(n-2), \dots, y(n-p), x(n), x(n-1), x(n-2), \dots, x(n-k)) \quad \#$$

şeklinde **fark denklemleri** ile verilir. Burada  $x(n)$  o anki giriş,  $y(n)$  o anki çıkış,  $x(n-1), y(n-1)$  bir önceki giriş ve çıkış,  $x(n-2), y(n-2)$  iki zaman birimi öncesine ait giriş ve çıkıştır.



Şekil 1.1 "xq4s541 Ayrık sistem modeli"

$y(n) = x(n) + x(n-1)y(n-1)$  fark denklemleri ile verilen ayrik sistemde  $y(0) = 4, x(0) = 2, x(1) = 10, x(2) = 20, x(3) = -100$  olarak veriliyor.  $y(1), y(2), y(3)$  değerlerini hesaplayın. Fark denklemlerinde  $n = 1$  koyarak

$$y(1) = x(1) + x(0)y(0)$$

$$y(1) = 10 + 2 \cdot 4$$

$$y(1) = 18$$

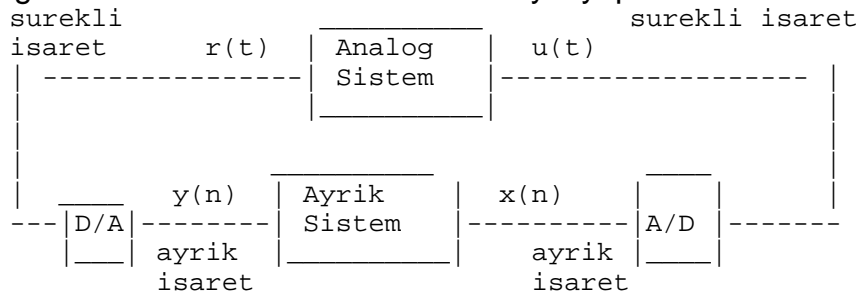
Benzer şekilde  $n = 2, n = 3$  koyarak

$$y(2) = x(2) + x(1)y(1) = 20 + 10 \cdot 18 = 200$$

$$y(3) = x(3) + x(2)y(2) = -100 + 200 \cdot 20 = 3900$$

elde edilir.

Ayrık sistem temelde bir bilgisayar programıdır. Sürekli işaretler bölümü (ref: xq1b52)'de anlatıldığı gibi A/D çevirici vasıtasıyla ayrik hale getirilir ve ayrik sisteme giriş olarak verilir. Ayrık sistem şekil(ref: xq4s544)'de olduğu gibi otomatik kontrol sisteminde kontrolör olarak kullanıldığında ayrik sistemin çıkışını sürekli hale getirmek gerekir. Bu iş D/A çeviriciler vasıtasıyla yapılır.



f?igure[hbt] “xq4s544 Ayrik sistemin otomatik kontrol sisteminde kullanimi

Ayrik sistemlerin lineerlik ve zamanla degismeme tanimi bolum(ref: xqb401) de tanimlanan analog sistemlerin lineerlik tanimi gibidir. Lineer zamanla degismeyen ayrik bir sistemin modeli en genel halde

$$\begin{aligned}y(n) &= a_{n-1}y(n-1) + a_{n-2}y(n-2) + \dots + a_{n-p}y(n-p) \\ &+ b_nx(n) + b_{n-1}x(n-1) + b_{n-2}x(n-2) + \dots + b_{n-k}x(n-k) \\ &= \sum_{j=1}^p a_{n-j}y(n-j) + \sum_{j=0}^k b_{n-j}x(n-j)\end{aligned}$$

xqf503

sekindeki fark denklemleri ile verilir.

## Fark Denklemlerinin Cozumu

(ref: xqf503) ile verilen lineer zamanla degismeyen fark denklemlerinin cozumu lineer zamanla degismeyen diferansiyel denklemlerin cozumu gibi homojen ve özel cozumlerden meydana gelir. Toplam cozum iki cozumun toplamidir. Simdi homojen ve özel cozumu teker teker inceleyelim.

### Homojen Cozum

Homojen cozum fark denklemlerinde giris fonksiyonu  $x(k)$  yok varsayilarak ( $x(k) = 0$ ) bulunan cozumdur. Burada aranan

$$y(n) + a_{n-1}y(n-1) + a_{n-2}y(n-2) + \dots + a_{n-p}y(n-p) = 0 \quad \#$$

sekindeki fark denklemini saglayan  $y(n) = f(n)$  fonksiyonu nedir. Fark denkleminin bu özel durum icin cozumu

$$y(n) = cq^n \quad \text{xq5fg01}$$

sekinde olacagi gosterilebilir. Bu durumda

$$y(n-1) = cr^{n-1}, \quad y(n-2) = cr^{n-2}, \quad y(n-3) = cr^{n-3}, \dots \quad \text{xq5fg03}$$

olacagi aciktir.  $x(n) = 0$  alip, (ref: xq5fg01) ve (ref: xq5fg03) tanimlari (ref: xqf503) de yerine konursa

$$cq^n + ca_{n-1}q^{n-1} + ca_{n-2}q^{n-2} + \dots + c.a_{n-p}q^{n-p} = 0 \quad \#$$

veya esitligin her iki tarafini  $q^{p-n}$  ile carparak

$$q^p + a_{n-1}q^{p-1} + a_{n-2}q^{p-2} + \dots + a_{n-p+1}q + a_{n-p} = 0 \quad \text{xq5fg09}$$

elde edilir. (ref: xq5fg09) esitligi  $p$ 'inci dereceden bir polinomdur. Bu polinomun kokleri ise bilgisayar tarafından kolayca cozulebilir. Koklerin tek katli kok veya cok katli kok olmasına gore cozum degisik sekil alır.

Polinomun kokleri hepsi birbirinden farkli  $q_1, q_2, q_3, \dots, q_p$  sekinde olsun. Bu durumda homojen cozum  $c_1, c_2, c_3, \dots, c_p$  keyfi sabitler olmak uzere

$$y(n) = c_1 q_1^n + c_2 q_2^n + c_3 q_3^n + \dots + c_p q_p^n \quad \#$$

sekinde dir.

polinomunun kokleri katli ise cozume  $n$  carpan olarak gelir.  $q_1$  koku  $r$  katli,  $q_2$  koku  $s$  katli diger kokler tek katli ise cozum

$$y(n) = [c_{11} + c_{12} n + c_{13} n^2 + \dots + c_{1r} n^{r-1}] q_1^n + [c_{21} + c_{22} n + c_{23} n^2 + \dots + c_{1s} n^{s-1}] q_2^n + c_3 q_3^n + c_4 q_4^n + \dots + c_{p-r-s+2} q_{p-r-s+2}^n \quad \#$$

sekinde olacaktir.

Polinomun katsayilari reel oldugundan kompleks kok varsa o kokun eslenigi de kokdur. Bu durumda cozumde sinuzoidal terimler bulunur. (Bkz. C.P.(ref: komplekskoklufarkdenklemi))

### Ozel Cozum

Ozel cozum giris fonksiyonuna baglidir. Lineer diferansiyel denklemlerde oldugu gibi giris fonksiyonu cinsinden tahmini cozumler yapip gercek cozum ile ilgili katsayilar hesaplanir.

$$y(k) + 3y(k - 1) = 8 \cos(5k) \text{ fark denkleminin ozel cozumunu bulun.}$$

$$y(k) = A \cos(5k) + B \sin(5k) \quad \text{xq5fg41}$$

sekinde olacagi aciktir. Dolayisiyla

$$y(k - 1) = A \cos(5(k - 1)) + B \sin(5(k - 1)) \\ = A[\cos(5k) \cos(5) + \sin(5k) \sin(5)] + B[\sin(5k) \sin(5) + \cos(5k) \cos(5)]$$

olacagindan  $y(k)$  ve  $y(k - 1)$  degerleri (ref: xq5fg41)de yerlerine konup gerekli duzenlemeler yapilrsa

$$\cos(5k)[A + 3A \cos(5) - 3B \sin(5)] + \sin(5k)[B + 3A \sin(5) + 3B \cos(5)] = 8 \cos(5k) \\ \text{elde edilir. Esitligin her iki tarafindaki sinuslu ve kosinuslu terimler esitlenirse}$$

$$A + 3A \cos(5) - 3B \sin(5) = 8 \\ B + 3A \sin(5) + 3B \cos(5) = 0 \quad \#$$

Buradan  $A$  ve  $B$  cozulurse

$$A = 1.265, \quad B = 1.966$$

olarak bulunur. (Acilarin radyan cinsinden olduguna dikkat ediniz) Sonuc olarak ozel cozum

$$y(k) = 1.265 \cos(5k) + 1.966 \sin(5k)$$

sekinde olacaktir.

Fark denklemleri  $Z$  donusumleri kullanilarak daha kolay cozulur.  $Z$  donusumleri konusunda ayrintili olarak islenecektir.

### Ayrik Sistemlerin Karariligi

Ayrik sistemlerde kararlilik tanimi surekli sistemlerin kararlilik tanimina benzer.



((ref: xqf503) ile modellenen ayrik bir sistemin kararli olmasi demek  $y(n)$  cikisinin

$$\lim_{n \rightarrow \infty} y(n) < \infty$$

olmasi demektir. Kararlilik icin gerek ve yeter sartlari incelemeden once kararlilik probleminin analasilmesi icin asagidaki ornegi inceleyelim.

$y(n) = ay(n-1) + x(n)$  fark denklemleri ile verilen sistemde  $x(n) = \delta(n)$  olduguna gore  $y(1), y(2), y(3), \dots$  degerlerini hesaplayin. Sistemin kararli olmasi icin  $a$  ne olmalidir.  $x(n) = \delta(n)$  oldugundan tanim geregi  $x(0) = 1$  ve diger butun  $x(n)$  degerleri sifirdir.  $y(-1) = 0$  oldugunu kabul ederek  $y(1), y(2), y(3), \dots$  degerleri hesaplanirsa

$$y(0) = 1, \quad y(1) = a, \quad y(2) = a^2, \quad y(3) = a^3, \dots \quad y(k) = a^k, \quad y(\infty) = a^\infty$$

olarak bulunur. Acikca goruldugu gibi eger  $|a| > 1$  ise  $y(\infty) = a^\infty$  oldugundan  $y(\infty) = \infty$  olacaktır. Ote yandan eger  $|a| < 1$  ise  $y(\infty) = 0$  olacaktır.

(ref: xqf503) ile verilen ayrik sisemin (ref: xq4f642) ile verilen cozumu inceledigimizde acikca goruldugu gibi eger

$$|q_1| < 1, \quad |q_2| < 1, \quad |q_3| < 1, \dots \quad |q_p| < 1$$

#

sarti saglaniyorsa sistem kararlidir. Aksi halde sistem kararsizdir. Kokler genel halde reel veya kompleks olabileceginden kararlilik sartini su sekilde ozetleyebiliriz.

(ref: xqf503) ile modellenen lineer zamanla degismeyen ayrik bir sistemin kararli olmasi icin gerek ve yeter sart (ref: xq4f642) ile verilen koklerin kompleks duzlemde birim daire icinde veya uzerinde olmasidir. Ayrica birim daire uzerinde cakisik kok olmamalidir. Sekil(ref: xq4s662)'de kompleks duzlemde kararli bolge gosterilmisir.

f?igure[hbt] "xq4s662 kompleks duzlemde kararli bolge

Dikkat edilirse sistemin girisi olan  $x(n), x(n-1), \dots$  ifadelerinin katsayilarinin kararliga bir etkisi yoktur. Sistemin kararli olup olmamasi tamamaen  $y(n), y(n-1), \dots$  terimlerinin katsayilari tarafından belirlenmektedir. Ozel olarak

$$y(n) = b_0x(n) + b_1x(n-1) + b_2x(n-2) + b_3x(n-3) + \dots$$

#

seklindeki bir sistem daima kararlidir. Asagidaki degisik sistemlere iliskin kokler ve kararli olup olmadigi gosterilmistir.

1.  $y(n) - y(n-1) = 0 \quad q = 1$  kararli
2.  $y(n) + y(n-1) = 0 \quad q = -1$  kararli
3.  $y(n) + 0.5y(n-1) = 0 \quad q = -0.5$  kararli
4.  $y(n) + 1.1y(n-1) = 0 \quad q = -1.1$  kararsiz
5.  $y(n) + 2y(n-1) + y(n-2) = 0 \quad q_1 = -1, \quad q_2 = -1, \quad$  kararsiz
6.  $y(n) - 1.2y(n-1) + 0.72y(n-2) = 0 \quad q_1 = 0.6 + j0.6, \quad q_2 = 0.6 - j0.6,$

kararli

7.  $y(n) - 1.2y(n-1) + y(n-2) = 0$   $q_1 = 0.6 + j0.8$ ,  $q_2 = 0.6 - j0.8$ ,  
kararli

8.  $y(n) - 1.4y(n-1) + 1.13y(n-2) = 0$   $q_1 = 0.7 + j0.8$ ,  $q_2 = 0.7 - j0.8$ ,  
kararsiz

9.  $y(n) - 2.4y(n-1) + 3.44y(n-2) - 2.4y(n-3) + y(n-4) = 0$   
 $q_1 = 0.6 + j0.8$ ,  $q_2 = 0.6 + j0.8$ ,  $q_3 = 0.6 - j0.8$ ,  $q_4 = 0.6 - j0.8$  kararsiz

10.  $y(n) + y(n-2) = 0$   $q_1 = j$ ,  $q_2 = -j$ , kararli

11.  $y(n) + 2y(n-2) + y(n-4) = 0$   $q_1 = j$ ,  $q_2 = j$ ,  $q_3 = -j$ ,  $q_4 = -j$   
kararsiz

## Ayrik sistemlerin Frekans Spektrumu

(ref: xqf503) esitligini asagidaki formda yazalim.

$$\begin{aligned} y(n) + a_{n-1}y(n-1) + a_{n-2}y(n-2) + \dots + a_{n-p}y(n-p) \\ = b_nx(n) + b_{n-1}x(n-1) + b_{n-2}x(n-2) + \dots + b_{n-k}x(n-k) \end{aligned}$$

#

(ref: xqf611) esitliginde  $y(n)$ ,  $y(t)$  isaretinin  $t = nT$  anindaki degeridir. Benzer sekilde  $y(n-1)$ ,  $y(t)$  isaretinin  $t = nT - T$  anindaki degeri  $y(n-2)$ ,  $y(t)$  isaretinin  $t = nT - 2T$  anindaki degeridir.  $x(n)$ ,  $x(n-1)$ ,  $x(n-2)$ ... terimlerinin anlamlarida benzer sekildedir.

$y(n)$  ve  $x(n)$  isaretlerinin Furier donusumunun alinabildigini varsayarak (ref: xqf611) esitliginin her iki tarafinin Furier donusumunu alalim.  $y(n)$ 'nin Furier donusumune  $\overline{Y(jw)}$ ,  $x(n)$ 'nin Furier donusumune  $\overline{X(jw)}$  dersek,  $y(n-1)$ ,  $y(n-2)$ , ...,  $x(n-1)$ ,  $x(n-2)$ , ...'nin Furier donusumlerini (ref: s66) da verilen zaman ekseninde kaydirma teoremine gore alabiliriz.

$$\begin{aligned} \mathcal{F}[y(n-1)] &= \overline{Y(jw)}e^{-jwT} & \mathcal{F}[y(n-2)] &= \overline{Y(jw)}e^{-2jwT} & \dots \\ \mathcal{F}[x(n-1)] &= \overline{X(jw)}e^{-jwT} & \mathcal{F}[x(n-2)] &= \overline{X(jw)}e^{-2jwT} & \dots \end{aligned}$$

Bu bilgiler isiginda ref: xqf503) esitliginin Furier donusumu

$$\begin{aligned} \overline{Y(jw)} + a_{n-1}\overline{Y(jw)}e^{-jwT} + a_{n-2}\overline{Y(jw)}e^{-2jwT} + \dots + a_{n-p}\overline{Y(jw)}e^{-pjwT} \\ = b_n\overline{X(jw)} + b_{n-1}\overline{X(jw)}e^{-jwT} + b_{n-2}\overline{X(jw)}e^{-2jwT} + \dots + b_{n-k}\overline{X(jw)}e^{-jkwT} \end{aligned}$$

#

Gerekli duzenlemeler yapilrsa

$$\frac{\overline{Y(jw)}}{\overline{X(jw)}} = \frac{1 + a_{n-1}e^{-jwT} + a_{n-2}e^{-2jwT} + \dots + a_{n-p}e^{-pjwT}}{b_n + b_{n-1}e^{-jwT} + b_{n-2}e^{-2jwT} + \dots + b_{n-k}e^{-jkwT}}$$

xqfg613

elde edilir.  $\frac{\overline{Y(jw)}}{\overline{X(jw)}} = \overline{H(jw)}$  oranina **ayrik sistemin transfer fonksiyonu denir.**

$$\overline{H(jw)} = \frac{1 + a_{n-1}e^{-jwT} + a_{n-2}e^{-2jwT} + \dots + a_{n-p}e^{-pjwT}}{b_n + b_{n-1}e^{-jwT} + b_{n-2}e^{-2jwT} + \dots + b_{n-k}e^{-jkwT}}$$

xqfg615

Bu transfer fonksiyonun anlamlı olabilmesi için  $y(n)$  nin Fourier dönüşümünün alınabilmesi gerekir başka bir ifadeyle  $\lim_{n \rightarrow \infty} |y(n)| < \infty$  olmalıdır. Bu da (ref: xqf611) de verilen fark denklemlerinin kararlı olması anlamına gelir. Eğer fark denklemleri kararsız ise bu şekilde bulunan transfer fonksiyonunun bir anlamı yoktur.

$\overline{H(j\omega)}$  fonksiyonunun genlik fonksiyonu  $|\overline{H(j\omega)}|$  çift bir fonksiyon, ve faz fonksiyonu  $\angle \overline{H(j\omega)}$  tek bir fonksiyondur, Yani

$$|\overline{H(j\omega)}| = \overline{H(-j\omega)} \quad \angle \overline{H(j\omega)} = -\angle \overline{H(-j\omega)} \quad \#$$

bağıntıları vardır. Bu bağıntılar  $e^{-jn\omega T}$  terimini sinüzoidal terimler cinsinden yazıp reel ve sanal kısımları ayrı ayrı yazmakla kolayca isbat edilebilir. Ayrıca

$$e^{-jn\omega T} = e^{-j(n\omega T + 2\pi)} = e^{-jnT(\omega + 2\pi/(nT))}$$

olduğundan

$$\overline{H(j\omega)} = \overline{H(j(\omega + \frac{2\pi}{nT}))}$$

olacaktır. Yani  $\overline{H(j\omega)}$ ,  $\omega_0 = \frac{2\pi}{nT}$  periyodu ile periyodiktir.

Analog sistemlerde olduğu gibi giriş

$$x(n) = A \cos(\omega n)$$

olması durumunda çıkış

$$y(n) = A |\overline{H(j\omega)}| \cos(\omega n + \angle \overline{H(j\omega)})$$

şeklinde olacaktır.

$x(n) = -2x(n-1) + 2r(n) + 2r(n-1)$  fark denklemleri ile verilen ayrık sistemin genlik ve faz spektrumlarını çizim.

$$r(nT) = 7 \cos(0.5nT + 20) + 2 \cos(2nT - 30) + 3 \cos(6nT + 40)$$

icin  $x(nT)$  yi hesaplayın.  $T = 1$  dir. Fark denklemlerinin Fourier dönüşümünü alıp transfer fonksiyonunu bulalım.

$$\overline{H(j\omega)} = \frac{2 + 2e^{-j\omega T}}{1 + 2e^{-j\omega T}} = \frac{2 + 2 \cos(\omega T) - 2j \sin(\omega T)}{1 + 2 \cos(\omega T) - 2j \sin(\omega T)}$$

$T = 1$  koyup  $\omega$  ya değişik değerler vererek  $\overline{H(j\omega)}$ ,  $|\overline{H(j\omega)}|$ ,  $\angle \overline{H(j\omega)}$  hesaplayalım.

|                                |      |      |      |      |      |      |     |      |      |      |      |      |  |
|--------------------------------|------|------|------|------|------|------|-----|------|------|------|------|------|--|
| $\omega$                       | 0    | 0.1  | 0.5  | 1.   | 1.57 | 2    | 2.5 | 5    | 6    | 6.28 | 6.38 | 6.78 |  |
| $ \overline{H(j\omega)} $      | 1.33 | 1.33 | 1.32 | 1.31 | 1.26 | 1.18 | 0.9 | 1.29 | 1.33 | 1.33 | 1.33 | 1.32 |  |
| $\angle \overline{H(j\omega)}$ | 0    | 0.9  | 4.8  | 10.3 | 18.4 | 27   | 45  | -14  | -2   | 0    | 0.9  | 4.8  |  |

Sistem çıkışı da analog sistemlerde olduğu gibi hesaplanır.

$$x(nT) = 7 \cdot 1.32 \cos(0.5nT + 20 + 4.8) + 2 \cdot 1.18 \cos(2nT - 30 + 27) \\ + 3 \cdot 1.33 \cos(6nT + 40 - 2)$$

$$x(nT) = 9.24 \cos(0.5nT + 24.8) + 2.36 \cos(2nT - 3) + 3.99 \cos(6nT + 38)$$

Sisteme iliskin genlik ve faz spektrumu sekil(ref: xqs643) de gosterilmistir.

f?igure[hbt] "xqs643 genlik ve faz spektrumu.

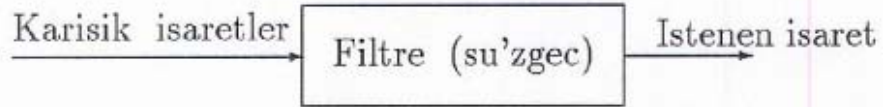
## Filtre(suzgeç) Kavramı

Filtre kendisine giren işaretlerin bir kısmını çıkışa aynen veya kuvvetlendirerek iletirken diğer bir kısım işaretleri çıkışa zayıflatarak iletir veya hiç iletmeyen devrelerdir.

f?igure[hbt] “xqs502 basit bir elektrik filtresi (RC) devresi b) Sayısal filtre (A/D) bilgisayar prog (D/A) c) mekanik filtre yada damper sistemi

Klasik anlamda filtre bir elektrik devresi olmasına karşın, filtrenin yaptığı işi yapan mekanik, hidrolik veya pnوماتik devrelerde vardır. Bilgisayarların gelişmesiyle sayısal filtreler analog filtrelerin önüne geçmiştir. Sayısal filtreler analog/dijital dönüştürücü, bilgisayar programı, ve dijital/analog dönüştürücüden oluşur.

arabalarda kullanılan aksesuar sonumleyici... esasen rahatsız edici kuvvetleri yolcuya iletmeyen hidro-mekanik bir filtredir.



Filtreyi kullanacak kişinin isteği genelde frekansı  $\omega_a$   $\omega_b$  arasında olan işaretleri geçirmesi diğer bütün işaretleri geçirmemesidir.

Örnek olarak şekil(ref: xqs501)de dönen bir milin titreşiminin genliğini ölçen sensör sistemi görülüyor. 50 devir/saniyede Ölçülen işaretin içinde  $f = 50$   $\omega = 2\pi f = 314$  frekansında bir temel işaret ve buna ilave olarak milin kritik frekansları olan  $\omega_1 = 290\text{rad/s}$ ,  $\omega_2 = 340\text{rad/s}$  de iki işaret ve ölçme sisteminden veya diğer sebeplerden kaynaklanan parazit terimleri olacaktır. Şekil(ref: xqs503) de böyle bir işaret görülüyor.

f?igure[hbt] “xqs501 Dönen bir milde titreşim ölçümü.

f?igure[hbt] “xqs503 Milde ölçülen titreşim işareti

Bizden istenen motorun devir sayısı olan  $\omega = 290$ ,  $\omega = 314$ ,  $\omega = 340$  civarındaki işaretlerin genlik ve fazlarının hesabıdır. İşaret gerçekte

$$r(t) = 0.2 \cos(100t - 20) + 0.3 \cos(150t + 50) + 6 \cos(290t + 40) \\ + 4 \cos(314t + 50) + 9 \cos(340t - 45) + 0.6 \cos(580t + 85)$$

xqs501

şeklinde dir. (haliyle bunu önceden bilmeye imkan yoktur, biz burada biliniyor varsaydık.) Bizden istenen aşağıdaki değerlerdir.

$$|R(290)|= 6 \quad \angle R(310) = 40$$

$$|R(314)|= 4 \quad \angle R(314) = 50$$

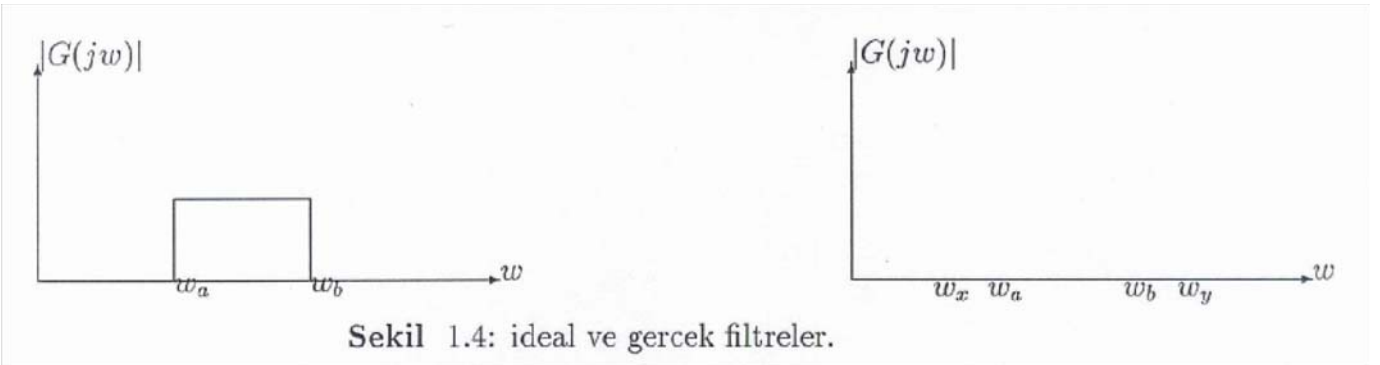
$$|R(340)|= 9 \quad \angle R(340) = -45$$

Daha once gordugumuz gibi isaretin Furier donusumunu (HFD,FFT) alarak bu sayilari bulabiliriz. Isaret bir bilgisayar diskinde veya teypde ise en kolay yol budur. Ancak bu isaret o anda hemen lazimsa mesela bir kontrol sisteminde geribeslemede kullanilacaksa Furier donusumunu almak icin bir kac periyotluk data lazimdir. Bir kac periyot beklemek ise geribesleme sistemine uygun dusmez. Ayrica diskteki veya teypdeki data cok uzunsa datanin tamaminin Furier donusumunu almak filtre kullanmaktan daha pahali (zaman ve isgucu) olabilir. Bu sebeple real-time?? sistemlerde filtreleme ihtiyaci vardir.

Tekrar problemimize donersek  $r(t)$  isaretinden gercek isaret olan

$$r(t) = 6 \cos(290t + 40) + 4 \cos(314t + 50) + 9 \cos(340t - 45) \quad \#$$

isaretini sececek lineer sistemin (filtrenin) genlik karakteristiginin sekil(p32) deki gibi olmasi gerektigi aciktir. Burada  $w_a = 290$   $w_b = 340$  secilebilir.



f?igure[hbt] "xqs507 ideal ve gercek filtreler.

Filtreyi kullanacak kisinin istegi genelde frekansi  $w_a$   $w_b$  arasinda olan isaretleri gecirmesi diger butun isaretleri gecirmemesidir.

## Fiziksel Sinirlamalar

Filtre elektrik (nadir olarak mekanik, elektromekanik, hidrolik, pnumatik) bir elemandir. Sayisal filtreler ise bir bilgisayar programidir.

Filtre lineer bir sistem olmak zorundadir. Nonlineer bir sistem giriste olmayan ilave frekanslar uretir. (Bkz.C.P.ref: xq4p506, ref: xq4p586, ref: xq4p604)

Bu ise filtre icin kabul edilemeyecek bir durumdur. (Bkz.C.P.ref: nolineer:harmoniksecemiyor)

Filtre kararlı bir sistem olmak zorundadır. Karasız bir sistemin genlik spektrumunu anlamsızdır.

Filtre gerçekleştirilebilir fiziksel bir sistemdir. Fiziksel bir sistemin genlik spektrumu şekil(ref: xqs507)deki gibi keskin köşeli olamaz. Şekil(ref: xqs507.b)deki gibi olabilir. Bu da filtreden çıkan işarette istenen işaret bileşenlerinin değişik oranlarda zayıflatılmış olarak çıkmasına sebep olur ki bu da işaretin aslinin bozulması anlamına gelir. Mesela (ref: xqf501)deki filtre çıkışı

$$x(t) = 6\cos(290t + 40) + 4\cos(314t + 50) + 9\cos(340t - 45) \quad \#$$

olacak yerde

$$x(t) = 5.5\cos(290t + 40) + 4.6\cos(314t + 50) + 8.6\cos(340t - 45) \quad \#$$

olarak ölçülür.  $x(t)$   $r_g(t)$  ye benzemekle beraber biraz bozulmuş olur.

## Filtrenin Genlik ve Faz Spektrumu

İdeal filtre pratikte mümkün olmadığından filtrenin toleranslarının bir standartta belirtilmesi lazımdır.

İdeal filtrede genlik spektrumu

$$\begin{aligned} |H(j\omega)| &= 0 & \omega < \omega_x & \quad \omega > \omega_y \\ |H(j\omega)| &= A & \omega_x < \omega < \omega_y \end{aligned} \quad \#$$

İdeal filtreden çıkan istenen işaret  $x(t) = Ar(t)$  şeklinde bir katsayı ile çarpılarak çıkar, istenmeyen parazitlerde tamamen ortadan kaldırılır.

Filtre dinamik bir sistem olduğundan giriş etkisini hemen gösteremez, yani  $x(t) = Ar(t)$  şeklinde verilen baginti gerçekçi değildir. girişin etkisi belli bir zaman sonra çıkışa yansır. O halde filtre karakteristiği

$$x(t) = Ar(t - q)$$

özelliklerini sağlarsa işaret bir miktar gecikerek çıkışa yansır, fakat bozulmaz. Mesela

$$r(t) = d_1\cos(\omega_1t + \theta_1) + d_2\cos(\omega_2t + \theta_2) + \dots + d_n\cos(\omega_nt + \theta_n) \quad \#$$

şeklindeki bir  $r(t)$  giriş işareti çıkışa

$$\begin{aligned} x(t) = Ar(t - p) &= d_1A\cos(\omega_1(t - p) + \theta_1) + Ad_2\cos(\omega_2(t - p) + \theta_2) \\ &+ \dots + Ad_n\cos(\omega_n(t - p) + \theta_n) \end{aligned} \quad \text{xqf521}$$

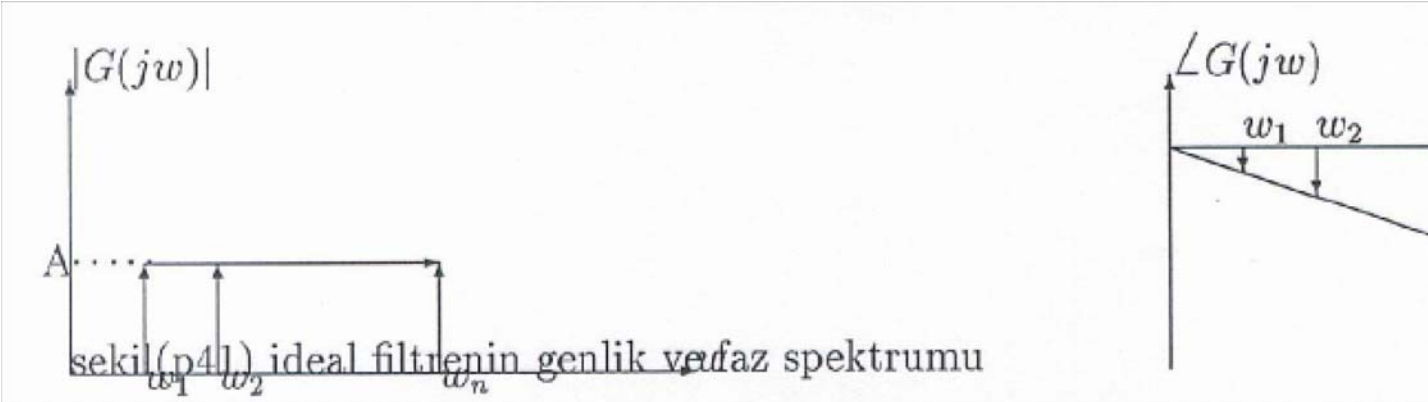
şeklinde yansiyorsa bu filtreden geçen işaretlerin bozulmadığı anlamına gelir. (ref: xqf521) esitliği

$$\begin{aligned} x(t) = Ad_1A\cos(\omega_1t - \omega_1p + \theta_1) &+ Ad_2\cos(\omega_2t - \omega_2p + \theta_2) \\ &+ \dots + Ad_n\cos(\omega_nt - \omega_np + \theta_n) \end{aligned} \quad \#$$

şeklinde yazılsın.

Şimdi filtrenin girişi  $r(t)$  ve çıkışı  $x(t)$  den hareketle bu filtrenin genlik ve faz

spektrumunu çizelim. örnek olarak  $w = w_1$  frekansında genlik  $k$  kat artmış yani  $|G(jw_1)| = A$  faz da  $-w_1 p$  kadar değişmiş, Yani  $\angle H(jw) = -w_1 p$ . Bu şekilde bütün frekanslar için spektrumunu çizsek.



Sekil(p41) den de görüldüğü gibi ideal filtrenin frekans spektrumu isaretin geçmesi gereken frekanslarda  $w$  eksenine paralel sabit bir doğru olmalı. Ideal faz spektrumu ise originden geçen  $\angle G(jw) = -wp$  doğrusu olmalıdır. Haliyle  $p = 0$  için  $\angle G(jw) = 0$  olması da isareti bozmayacaktır. Ancak bu durum gerçekçi değildir. Çünkü isaretin filtreye girmesi ile çıkması arasında mutlaka çok küçük de olsa  $p$  kadar bir süre gerekir.

Gerçek filtrenin genlik spektrumunda keskin köşeler olamayacağından, gerçek filtrenin genlik spektrumunda

$$\begin{aligned} |H(jw)| &\leq B & w < w_x & \quad w > w_y \\ |H(jw)| &\geq A & w_a < w < w_b \\ A &\gg B \end{aligned}$$

xqf531

sartları sağlanmalıdır. Şeklinde olmalıdır. Burada  $w_a < w < w_b$  bölgesine **geçirme bandı**,  $w < w_x$   $w > w_y$  bölgesine **sondurma bandı** denir.  $w_x < w < w_a$  ve  $w_b < w < w_y$  bölgesine **geçis bandı** denir.

Filtre dizany ederken  $|H(jw)|$  ile çalışmak yerine  $|H(jw)|^2$  ile çalışmak daha kullanışlıdır. Filtre karakteristikleri (ref: xqf531) deki formdan ziyade  $|H(jw)|^2$  yi kullanarak aşağıdaki formda verilir.

$$\begin{aligned} |H(jw)|^2 &\leq B & w < w_x & \quad w > w_y \\ |H(jw)|^2 &\geq A & w_x < w < w_y \\ A &\gg B \end{aligned}$$

xqf532

Literatürde Filtrenin genlik spektrumunu belirlerken  $A, B$  harfleri yerine



$$|H(jw)|^2 \leq \frac{1}{1+\lambda^2} \quad w < w_x \quad w > w_y$$

$$|H(jw)|^2 \geq \frac{1}{1+\epsilon^2} \quad w_x < w < w_y$$

#

notasyonlari kullanilir.

## Filtrelerin Guruplandirilmesi

Filtre hakkında epey soylememize ragmen mesela soyle bir cumleye raslasak "3. dereceden bant geciren sayisal Butterworth filtre" su ana kadarki yazilanlarla bu cumle hala anlmaz. Filtreler imal edilis sekline gore, gecirdigi bant araligina gore, dizayn edilis sekline gore degisik guruplara ayrilir. Bu bolumde filtre ile ilgili terminolojisi verilecektir.

### Yapisina Gore Filtreler

Filtreler yapısına (imal edilis sekline) gore sekil(ref: xqs551)deki gibi guruplandirilabilir. ??[hbt]

| Filtreler        |                 |                                    |  |
|------------------|-----------------|------------------------------------|--|
| Analog Filtreler |                 | Sayisal Filtreler                  |  |
| Aktif Filtreler  | Pasif Filtreler | Ardisil Filtreler<br>Rekursif(IIR) | Ardisil olmayan Filtreler<br>Nonrekursif (FIR) |

"xqs551 Filtrelerin Guruplandirilmesi

Bu filtre guruplarini kisaca anlatalim.

Analog filtre, elektrik ve elektronik elemanlardan meydana gelmis bir elektrik devresidir.

Pasif filtreler direnc, bobin, kondansator, (RLC) elemanlarindan meydana gelen devrelerdir. Calismalari icin disaridan enerji almaya ihtiyaci olmadigi icin pasif filtre olarak adlandirilir.

Aktif filtreler ise yariiletken teknolojisinin gelismesiyle ortaya cikmistir. Direnc kondansator, OPAM(islemsel kuvvetlendirici) ve tranzistorden meydana gelir. Aktif filtrelerde imalati pahali olan bobin kullanilmadigi icin dusuk frekanslarda pasif filtrelerin yerini almistir. Tranzuistor ve OPAM calisabilmeleri icin diasidan enerjiye ihtiyaclari vardir. Dusuk frekanslarda aktif filtreler pasif filtrelerden cok daha ucuzdur. Yuksek frekanslarda aktif filtrelerde doyma, gurultuye karsi duyarlilik gibi problemler vardir.

Sayisal filtreler temel itibariyle bir bilgisayar programidir. Analog filtrelerin girisleri analog (surekli) isaretler olmasina karsilik sayisal filtrelerin girisleri ve cikislari ayrik degerlerdir. Nonrekursif filtrelerde geribesleme yoktur, filtre cikisini filtre girisini olarak kullanmaz. Genel yapisi

$$y(n) = \sum_{j=0}^p b_j x(n-j)$$

seklindedir.

Rekursif filtrelerde filtre cikisi giris olarak kullanilir, bu yuzden kararsizlik ve yuvarlatma hatalarinin ardisil olarak buyumesi sozkonusu olabilir. Genel yapisi

$$y(n) = \sum_{j=1}^k a_j y(n-j) + \sum_{j=0}^p b_j x(n-j)$$

seklindedir.

Nonrekursif filtrelerin girislerine bir impuls uygulansa geribesleme olmadigi icin, impulsin etkisi belli bir zaman sonra biter ve cikis sifir olur. Bu yuzden Nonrekursif filtrelere **Sonlu impuls cevapli (Finite Impuls Response(FIR))filtreler** denir. Rekursif filtrede girise bir impuls uygulansa impulsin etkisi sonsuza kadar devam eder. Bu yuzden bu tip filtrelere **sonsuz impuls cevapli (Infinite Impuls Response(IIR)) filtreler** denir. Sayisal filtre dizayni konusunda bu konular genisce aciklanacaktır.

## Filtrenin derecesi

Filtrenin transfer fonksiyonu (ref: xqf434) esitligiyle verilmisti.  $H(j\omega)$ 'nin pay ve paydasi  $(j\omega)$ 'nin kuvvetlerine gore duzenlenmistir. paydadaki  $(j\omega)$ 'nin en buyuk derecesi filtrenin derecesidir. (ref: xqf434) esitliginde filtrenin derecesi  $n$  dir. filtrenin derecesi buyudukce filtrenin genlik karakteristigi ideal genlik karakteristigine yaklasir. Sekil(xqs537) de bu durum gosterilmistir.

f?igure[hbt] “xqs537 Filtrenin deresinin genlik spektrumuna etkisi

## Gecirdigi Frekans Araligina Gore

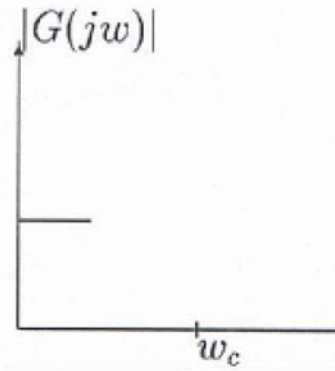
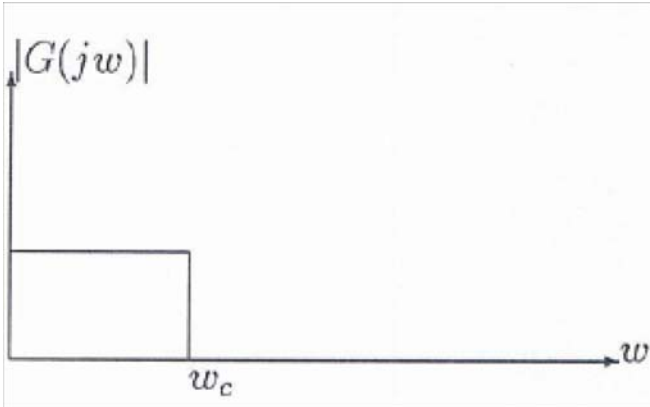
Filtreler gecirdigi frekans araligina gore asagidaki sekilde guruplandirilir.  $\omega = 0$  ile bir  $\omega = \omega_c$  arasindaki frekanslari gecirip diger butun frekanslari olduren filtre **Alcak frekanslari geciren filtre** veya kisaca **alcak geciren filtre (AGF)** olarak adlandirilir.

Benzer sekilde

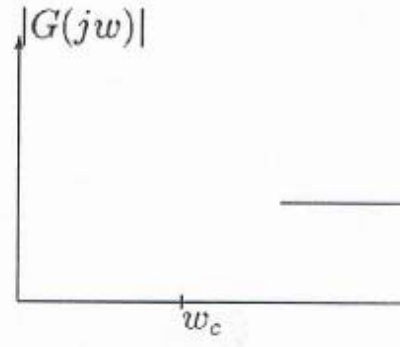
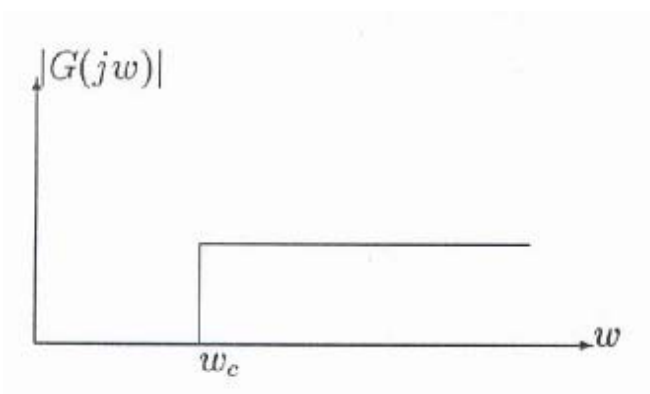
$\omega = 0$  ile bir  $\omega = \omega_c$  arasindaki frekanslari oldurup diger butun frekanslari geciren filtre **Yuksek frekanslari geciren filtre** veya kisaca **yuksek geciren filtre (YGF)**,

$\omega = \omega_a$  ile bir  $\omega = \omega_b$  arasindaki frekanslari gecirip diger butun frekanslari olduren filtre **bant geciren filtre (BGF)**,

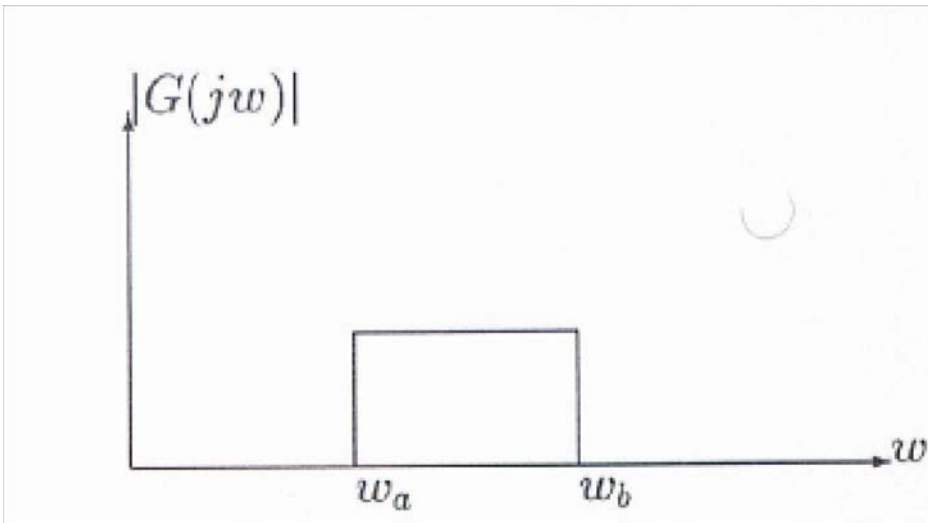
$\omega = \omega_a$  ile bir  $\omega = \omega_b$  arasindaki frekanslari oldurup diger butun frekanslari geciren filtre **bant sonduren filtre (BSF)**, olarak adlandirilir.



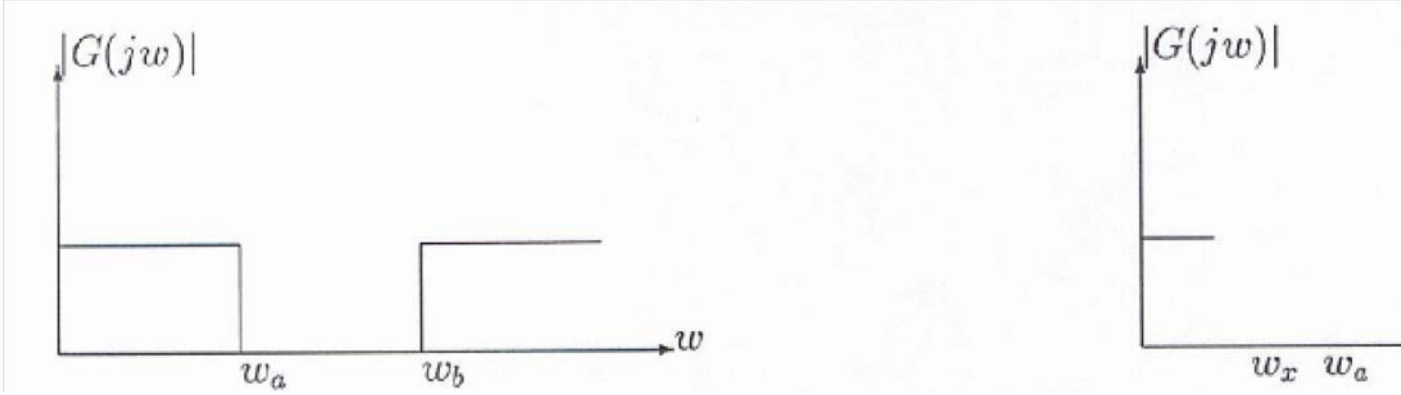
a)ideal, b)fiziksel gerceklenebilir alcak geciren filtre .



a)ideal, b)fiziksel gerceklenebilir yuksek geciren filtre.



a)ideal, b)fiziksel gerceklenebilir bant geciren filtre .



a)ideal, b)fiziksel gerceklenebilir bant sonduren filtre.

## Dizayn Edilme Sekline Gore Filtreler

Filtre dizayni temel itibariyle (ref: xqf434) esitligindeki  $a_0, a_1, a_2, a_3, \dots, a_n, b_0, b_1, b_2, b_3, \dots, b_n$  ve  $n$  katsayilarinin hesabidir. Filtre dizayn problemini su sekilde ozetleyebiliriz: Bu katsayilari o sekilde hesapla ki elde edilen filtre karakteristigi ideal filtre karakteristigine benzesin. Bu katsayilari hesaplama teknigine gorede filtreler guruplandirilir.

Sekil (ref: xqs563.a) de genlik karakteristigi gorulen Butterworth filtrelerde gecirme ve sondurma bandinda dalgalanma yoktur.

1.tip Chebbshew filtrelerin genlik karakteristiginde gecirme bandinda esit genlikli dalgalanmaya musade edilir sondurma bandinda dalgalanma yoktur.

2.tip Chebbshew filtrelerin genlik karakteristiginde gecirme bandinda dalgalanma yoktur, sondurma bandinda esit genlikli dalgalanmaya musade edilir

Eliptik (Cauer) tipi filtrelerde hem gecirme hem sondurma bandinda esit genlikli dalgalanmaya musade edilir.

Sekil (ref: xqs563.b),(ref: xqs563.c),(ref: xqs563.d de Chebbshew.1, Chebbshew.2, Eliptik filtrelerin genlik karakteristigi goruluyor.

f?igure[hbt] "xqs563 Degisik tipde filtrelerin genlik karakteristigi. a)Butterworth b)Chebbshew.1, c)Chebbshew.2, d)Eliptik

Bessel tipi filtrelerin genlik spektrumlari Butterworth tipi filtrelerin genlik sppektrumlarına benzer fakat faz spektrumları daha iyidir.

Kaliteli filtre karakteristigi ideal filtreye benzeyen ve maliyeti dusuk olan(derecesi dusuk olan) filtredir. Bu acidan baktigimizda filtrelerin hangisinin isimize daha iyi yaradigina karar verebiliriz. 9.derecedeki Butterworth filtrenin genlik spektrumu ile 5.dereceden chebbshhew filtrenin ve 3.dereceden eliptik filtrenin genlik spektrumları birbirine cok yakindir. Ancak faz spektrumları acisindan baktigimizda isareti en fazla

bozan faz spektrumuna sahip filtre eliptik filtredir. Bu kriterler gozonunde tutularak kullanildig yere ve kullanma gayesine uygun olarak hangi filtrenin o is icin en iyi filtre olduguna karar verilir.

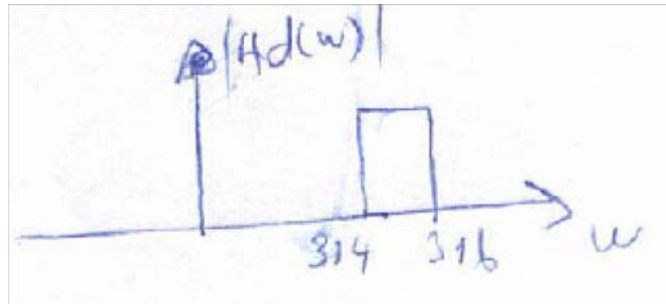
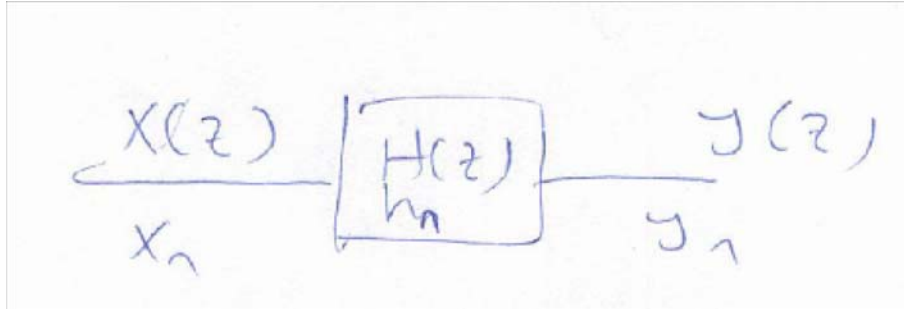
## Sonular

?????

## FIR filtre tasarimi

### Digital Filtre kavrami

onceki bolumde ayrik bir sistemin fark denklemleri ile ifade edildigini ve bu fark denklemlerinin Z donusumlerini alarak giris ve cikis arasinda bir transfer fonksiyonu tanimlamistik.



Ve yine gordukki sayisal bir sistemin girisine  $A \cos(wt)$  seklinde bir giris uygulansa cikisinda  $B \cos(wt + \alpha)$  seklinde olur. ve  $B = A |H(z)|_{z=e^{jwT}}$  ve  $\alpha = \angle H(z)|_{z=e^{jwT}}$  seklinde hesaplanabilir.

Sistem cikisi  $y(z) = H(z)r(z)$

Filtreyi kullanacak kisinin istegi genelde frekansi  $w_a$   $w_b$  arasinda olan isaretleri gecirmesi diger butun isaretleri gecirmemesidir. Ornek olarak ?? bolumden

$r(t) = 0.2 \cos(100t - 20) + 6 \cos(230t + 50) + 0.3 \cos(250t + 40) + 2.5 \cos(310t + 60) + 3.5 \cos$  seklindeki bir isaretten

$$r_g(t) = 2.5 \cos(310t + 60) + 3.5 \cos(314t + 40) + 2 \cos(316t - 50)$$

isaretini cekip cikartan ideal filtrenin genlik ve faz karakteristiginin sekil (??) de oldugu gibi olmasi gerekiyordu.

Diger bir ifadeyle  $H_d(w)$  filtresinin genlik ve faz spektrumu sekil() deki gibi olmalı.

O halde soru  $H_d(w)$  yi saglayan  $H_d(z)$  veya fark denklemleri ne olmalıdır sorusudur.  $H_d(w)$  yi saglayan transfer fonksiyonu

$$H_d(w) = \frac{y(w)}{r(w)}$$

ve  $H_d(z) = \frac{y(z)}{r(z)} = \frac{z+b}{z+a}$  olsa buna iliskin fark denklemleri  $\frac{y(z)}{r(z)} = \frac{z+b}{z+a} = \frac{1+bZ^{-1}}{1+aZ^{-1}}$

$y(z)(1 + az^{-1}) = r(z)(1 + bz^{-1})$   $y(k) = -ay(k-1) + r(k) + br(k-1)$  seklinde olacagi aciktir.

$H_d(w)$  ayrik bir sistemin transfer fonksiyonudur. O halde  $H_d(w)$  periyodik bir fonksiyondur ve periyodu  $w_s = \frac{2\pi}{T_p}$  dir.  $T_p$  ornekleme araligidir.

?? bolumde goruldugu gibi periyodu  $P_0$  olan periyodik bir  $f(x)$  fonksiyonu

$$f(x) = \sum_{n=-\infty}^{\infty} c_n e^{jn z_0 x} \quad c_n = \frac{1}{P_0} \int_{x_0}^{x_0+P_0} f(x) e^{-jn z_0 x} dx \quad z_0 = \frac{2\pi}{P_0}$$

sekinde furier serisine acilabilir ve  $c_n$  katsayilari da hesaplanabilir.

Periyodu  $w_s$  olan periyodik  $H_d(w)$  fonksiyonunu da furier serisine acabiliriz.

$$H_d(w) = \sum_{n=-\infty}^{\infty} c_n e^{-jn v_0 w} \quad c_n = \frac{1}{w_s} \int_{w_0}^{w_0+w_s} H_d(w) e^{jn v_0 w} dw \quad v_0 = \frac{2\pi}{w_s} \quad (t36)$$

Furier serisini acik yazalim.

$$H_d(w) = \sum_{n=-\infty}^{\infty} c_n e^{-jn v_0 w} = \dots c_{-N} e^{jN v_0 w} + c_{-(N-1)} e^{j(N-1) v_0 w} + \dots c_{-2} e^{j2 v_0 w} + c_{-1} e^{j v_0 w} + c_0 + c_1 e^{-j v_0 w} + c_2 e^{-j2 v_0 w} + \dots$$

$y(w) = H_d(w)r(w)$  esitliginde  $H_d(w)$  yerine (t40) deki esdegerini koyalim.

$$y(w) = \dots c_{-N} e^{jN v_0 w} r(w) + c_{-(N-1)} e^{j(N-1) v_0 w} r(w) + \dots c_{-2} e^{j2 v_0 w} r(w) + c_{-1} e^{j v_0 w} r(w) + c_0 r(w) + c_1 e^{-j v_0 w} r(w) + \dots$$

$$\mathcal{F}[r(k)] = r(w) \text{Llra} \mathcal{F}[r(k-p)] = r(w) e^{-j p v_0 w} \quad (t46)$$

bagintisini kullanarak (t44) un her iki tarafinin ters Furier donusumunu alalim.

$$y(n) = \dots c_{-N} r(n+N) + c_{-(N-1)} r(n+N-1) + \dots c_{-2} r(n+2) + c_{-1} r(n+1) + c_0 r(n) + c_1 r(n-1) + c_2 r(n-2) + \dots$$

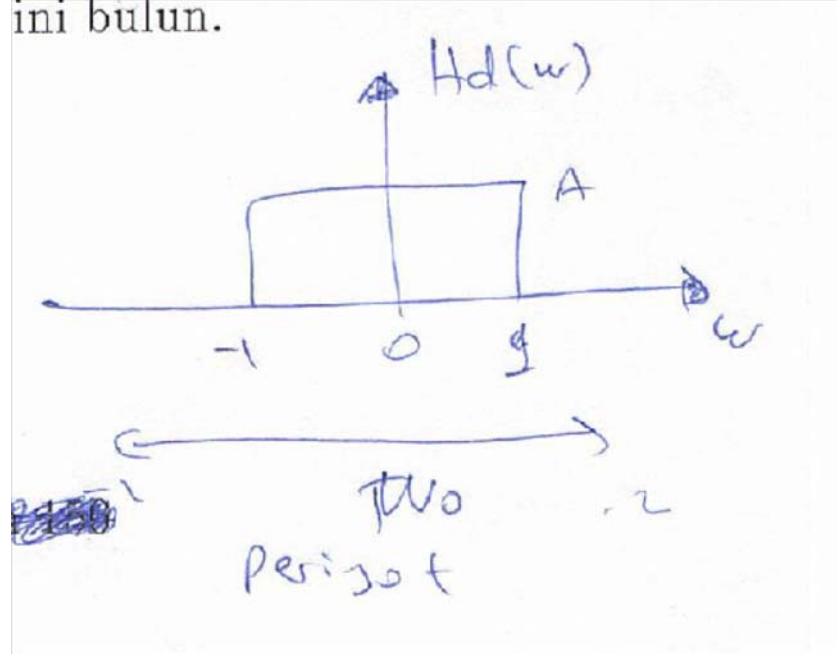
$$y(n) = \sum_{k=-\infty}^{k=\infty} c_k r(n-k) \quad (t52)$$

Sonucta istedigimiz  $H_d(w)$  filtresini gerceklestirecek algoritmayi bulduk. Goruldugu gibi  $c_k$  katsayilari  $H_d(w)$  nin kompleks Furier serisi katsayilaridir.

**Ornek:**

Ornekleme periyodu  $T = \pi/2$ ,  $A = 1$  olduguna gore sekildeki filtreyi gercekleseyen  $c_k$  katsayilarini bulun.

ini bulun.



$$H_d(w) = \sum_{n=-\infty}^{\infty} c_n e^{-jnv_0 w} \quad c_n = \frac{1}{w_s} \int_{w_0}^{w_0+w_s} H_d(w) e^{jnv_0 w} dw \quad v_0 = \frac{2\pi}{w_s} \quad (t36)$$

Ornekleme frekansi  $w_s = \frac{2\pi}{T} = 4$  Dolayisiyla  $H_d(w)$  nin periyodu  $w_s = 4$  dur.  
 $v_0 = \frac{2\pi}{w_s} = \frac{\pi}{2}$  baslangic yeri olarak  $w_0 = -\frac{w_s}{2} = -2$  alalim.

$$c_n = \frac{1}{w_s} \int_{-\frac{w_s}{2}}^{\frac{w_s}{2}} H_d(w) e^{jnv_0 w} dw \quad (t36)$$

$$c_n = \frac{1}{4} \int_{-2}^2 H_d(w) e^{-jnv_0 w} dw = \frac{1}{4} \int_{-1}^1 e^{jnv_0 w} dw = \begin{cases} \frac{1}{2} & n = 0 \\ \frac{\sin(n\pi/2)}{n\pi} & n \neq 0 \end{cases} \quad (t56)$$

Dolayisiyla

$$c_0 = 0.5 \quad c_{-1} = c_1 = 0.3183, \quad c_{-2} = c_2 = 0, \quad c_{-3} = c_3 = -0.1061, \quad c_{-4} = c_4 = 0, \quad c_{-5} = c_5 = 0$$

Filtrenin sekli de

$$y(n) = \dots -0.0032r(n+99) \dots +0.0637r(n+5) - 0.1061r(n+3) + 0.3183r(n+1) + 0.5r(n) + 0.3183r(n-1) \dots$$

Goruldugu gibi filtreyi ideal olarak elde edebilmek icin filtreye dahil edilecek data sayisi sonsuz olmalidir. Bu durum gercekci olmadigindan pratikte sinirli sayida terim alinir ve filtre sinirli sayida elemanla gerceklestirilir.

$$y(n) = \sum_{k=-N}^{k=N} c_k r(n-k) \quad (t52)$$

Fakat bu durumda filtre karakteristiginde bir miktar bozulma olacaktir.

$N = 3, N = 5, N = 10, N = 100$  alinarak gerceklestirilen filtrelere iliskin transfer fonksiyonlarinin genlik karakteristigi sekil(t27)?? de gosterilmistir.

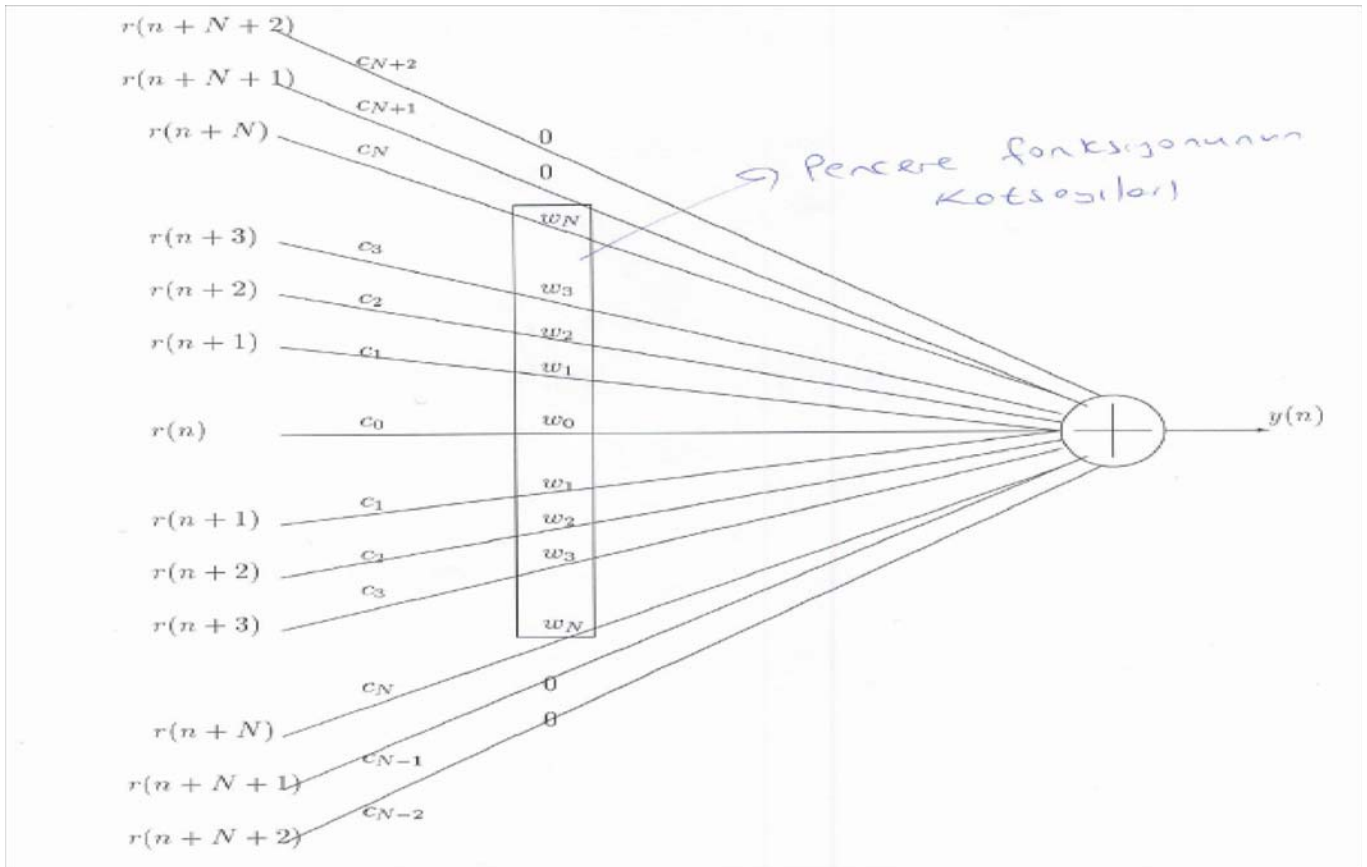


Goruldugu gibi ideal filtre karakteristiginin elde edilebilmesi icin  $N$  cok buyultulmelidir. Esasen ideal filtre karakteristiginde koseler oldugundan  $N$  cok buyuk olsa dahi dalgalanmalar kaybolmaz. Buna Gibbs olayi denir. ????

### Pencere fonksiyonlari

Bir onceki bolumden gorulduki  $H_d(w)$  yi elde etmek icin sonsuz tane  $c_k$  katsayisi almak gerekir. Sinirli sayida  $c_k$  alinca bu defa  $H_d(w)$  elde edilemiyor.

Bu durumda ya elde edilen  $H(w)$  karakteristigine razi olunacak veya baska careler aramak gerekir. Iste bu carelerden birisi  $c_k$  katasayilarini pencere fonksiyonlari ile carpmaktir. Sekil(t65)i izleyin.



anals09

Bu durumda  $c_k$  katsayilari  $w_n$  katsayilari ile carpilerek yeni filtre katsayilari elde edilir.  $w_n$  katsayilari  $n > |N|$  icin sifirdir. Dolayisiyla yeni filtre katsayilari

$$h_n = c_n w_n \quad n = -N, -N + 1, \dots, -1, 0, 1, \dots, N - 1, N + 1$$

$$y(n) = \sum_{k=-\infty}^{k=\infty} d_k r(n-k) \sum_{k=-N}^{k=N} h_k r(n-k) \quad (t58)$$

Simdi  $c_n$  katsayilarinin pencere fonksiyonu  $w_n$  ile carpildikten sonra frekans spektrumunun ne hale geleceğini inceleyelim.  $H_d(w)$  nin spektrumu sekil() de verilmisti. Pencere fonksiyonu  $w_n$  nin Fourier spektrumu  $W(w)$  olsun. Zaman domeninde

carpma frekans domeninde konvolusyon demek oldugundan [onceki dersler??]

$$h_n = \sum c_n w_n H(w) = h_d(w) * W(w)$$

olacaktır. (soru isareti yerine  $1/T$  veya periyodun tersi gelecek)

Simdi degisik pencere fonksiyonlari icin  $H(w)$  yi inceleyelim.

### Dikdortgen Pencere Fonksiyonu

Bu pencere fonksiyonunda

$$w_n = \begin{cases} 1 & n \leq N \\ 0 & n > N \end{cases} \quad (t81)$$

seklindedir.  $w_n$  nin AFD'sini hesaplırsak. (??)den (AFD)nin ilk ham formulu

$G(w) = \dots e^{jwP}$  formulunden

$$W_R(w) = \sum_{n=-N}^N e^{jwP}$$

sekinde yazilabilir. ??(P zaman domenindeki ayrik datalarin arasindaki mesafe(periyot)) Oteyandan bazi ara islemlerden sonra

$$W_R(w) \frac{\sin[(wt/2)(2N+1)]}{\sin(wt/2)}$$

oldugu gosterilebilir.  $W_R(w)$  nin ve  $H(w) = W_R(w) * H_d(w)$  nin degisik N degerlei icin grafikleri sekil (t23) de verilmistir.

```
T=1; bir=2*pi/(2*N+1)*(2/T); iki=pi/(2*N+1)*(2/T); w1=[-pi/2:0.03:-bir -bir:0.01:-iki -iki:0.002:0]; w2=abs(sort(-w1)); w=[w1 w2]; qq=sin((2*N+1)*w*T/2)./sin(w*T/2); w=-pi/2:0.01:pi/2; qq=sin((2*N+1)*w*T/2)./sin(w*T/2); ss=size(qq); boy=max(ss); boy1=boy/2; ww=-1:1/boy1:(+1-1/boy1); sorta=boy1/(pi/2); sbas=boy1-sorta; hh=[zeros(1,sbas) ones(1,2*sorta) zeros(1,sbas)]; dd=conv(qq,hh); subplot(211); plot(w,qq); plot(dd) pause return
```

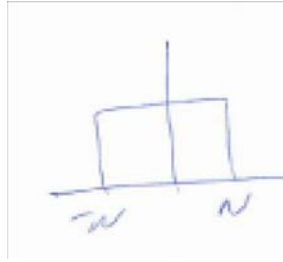
Gercek filtre  $H(w)$  nin transfer fonksiyonu ideal filtre  $H_d(w)$  ile pencere fonksiyonunun transfer fonksiyonu  $W_R(w)$  nin konvolusyonu oldugu (t??) esitligi ile gosterilmisti. Buradan acikdir ki  $H_d(w) = H(w)$  olmasi  $W_r(w)$  nin birim impuls olmasi ile mumkundur. Impuls'in ters furier donusumu her yerde sabit sayidir. Yani pencere fonksiyonu  $-\infty + \infty$  araliginda sabit bir sayi olmalı. Bu da  $c_n$  katsayilarinin  $-\infty + \infty$  araligindakilerin tamaminin alınmamsi anlamina gelir. Bu sonucu daha onceden biliyorduk.

Grafikdedn goruldugu gibi bir ana tepelik ve onun yaninda da bircok kucuk tepelik vardir. Bu kucuk tepelikler buyuk N ler icin dahi etkindir. Bunun nedeni **Gibbs olayi** ile aciklanabilir. Grafiklerdedn gorulecegi gibi N buyudukce (daha cok terimm alindikca)  $W_R(w)$  impulsa ve  $H(w)$  da  $H_d(w)$  ya benzeyecektir. Fakat  $w = 1$  civarindaki tepeler ve cukurlar N'nin cok buyuk degerleri icin dahi vardir. Bu tepeliklerin sebebi yukarida anlatildigi gibi Gibbs olayi ile ilgilidir.

Gibbs olayi dolayissi ile meydana gelen tepeliklerden kurtulmmak ve  $H(w)$  gercek

filtre karakteristigini daha iyi yapmak icin dikdortgen pencere fonksiyonu yerine daha degisik pencereler kullanilir. Bunlkar asagidda ozetlenmistir.

### 1. Dikdortgen



$$w_n = \begin{cases} 1 & |n| \leq N \\ 0 & \text{digeryerlerde} \end{cases}$$

$$W_R(w) = \frac{\sin[(wt/2)(2N + 1)]}{\sin(wt/2)}$$

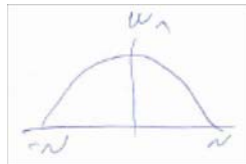
### 2. Barlet



$$w_n = \begin{cases} 1 - \frac{|n|}{N} & |n| \leq N \\ 0 & \text{digeryerlerde} \end{cases}$$

$$W_{BT}(w) \simeq \frac{\sin^2[\frac{N+1}{2}wT]}{\sin^2(wt/2)}$$

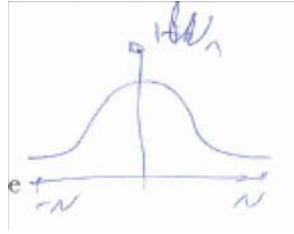
### 3. Hanning



$$w_n = \begin{cases} 0.5(1 + \cos(\frac{\pi n}{N})) & |n| \leq N \\ 0 & \text{digeryerlerde} \end{cases}$$

$$W_{HN}(w) = 0.5W_R(w) + 0.25W_R\left(w - \frac{\pi}{NT}\right) + 0.25W_R\left(w + \frac{\pi}{NT}\right)$$

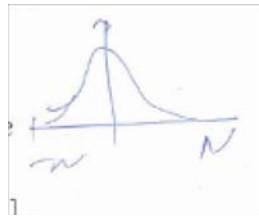
#### 4. Hamming



$$w_n = \begin{cases} 0.54 + 0.46 \cos\left(\frac{\pi n}{N}\right) & |n| \leq N \\ 0 & \text{digeryerlerde} \end{cases}$$

$$W_{HM}(w) = 0.54W_R(w) + 0.23W_R\left(w - \frac{\pi}{NT}\right) + 0.23W_R\left(w + \frac{\pi}{NT}\right)$$

#### 5. Blackman

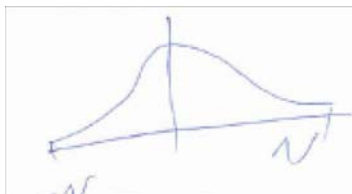


$$w_n = \begin{cases} 0.42 + 0.5 \cos\left(\frac{\pi n}{N}\right) + 0.08 \cos\left(\frac{2\pi n}{N}\right) & |n| \leq N \\ 0 & \text{digeryerlerde} \end{cases}$$

$$W_{BK}(w) = 0.42W_R(w) + 0.25\left[W_R\left(w - \frac{\pi}{NT}\right) + \left(w + \frac{\pi}{NT}\right)\right]$$

$$+ 0.04\left[W_R\left(w - \frac{2\pi}{NT}\right) + \left(w + \frac{2\pi}{NT}\right)\right]$$

#### 5. Kaiser



$$w_n = \begin{cases} \frac{I_0(\beta\sqrt{1-(n/N)^2})}{I_0(\beta)} & |n| \leq N \\ 0 & \text{digeryerlerde} \end{cases}$$

$$I_0(\beta) = 1 + \sum_{k=1}^{\infty} \left( \frac{(\beta/2)^k}{k!} \right)^2$$

# Laplas Donusumleri ve Z donusumler

Laplas Donusumleri ve Z donusumleri lineer analog ve sayisal sistemlerin analiz ve tasariminda buyuk kolayliklar saglayan birer alet olarak dusunulebilir. Bu tipki buyuk iki sayisi carpmak icin logaritmalarini toplayip ters logaritma ile carpimi bulmaya benzer. Burada maksat iki sayiyi carpmaktir, logaritmada bu is icin kullanılan bir alettir. Carpim bulunduktan sonra logartimanin isi bitmistir.

## Laplas Donusumleri

Bir  $f(t)$  fonksiyonunun Laplas donusumu

$$F(s) = L[f(t)] = \int_0^{\infty} f(t)e^{-st} dt \quad \text{xq7f01}$$

sekinde tanimlanir. Laplas doonusumu  $t > 0$  icin tanimlidir. Dolyisiyla  $f(t)$  nin Laplas donusumunun anlamlı olabilmesi icin  $t < 0$  icin  $f(t) = 0$  olmak zorundadir. Ayrica (ref: xq7f01)de verilen integralin degerinin sonsuz olmaması gerekir. Yani

$$\int_0^{\infty} |f(t)|e^{-st} dt < \infty \quad \text{xq7f03}$$

olmalıdır. Eger

$$\lim_{t \rightarrow \infty} |f(t)|e^{-st} = 0 \quad \#$$

oluyorsa (ref: xq7f03)sarti saglanir ve  $f(t)$  isaretinin Laplas donusumu alınabilir. qw30

$$f(t) = \begin{cases} 0 & t < 0 \\ Ae^{-at} & t \geq 0 \end{cases}$$

sekinde tanımlanan  $f(t)$  fonksiyonunun Laplas donusumunu aliniz. **Cozum:** Tanim geregi

$$\begin{aligned} ss[f(t)] &= \int_0^{\infty} Ae^{-at}e^{-st} dt \\ &= A \int_0^{\infty} Ae^{-(a+s)t} dt \\ &= \frac{A}{-(s+a)} (e^{-\infty} - e^0) \\ &= \frac{A}{s+a} \end{aligned}$$

elde edilir. qw 31

$$f(t) = \begin{cases} 0 & t < 0 \\ A & t \geq 0 \end{cases}$$

sekinde tanimlanan birim basamak fonksiyonunun Laplas donusumunu aliniz.

**Cozum:** Tanim geregi

$$ss[f(t)] = \int_0^{\infty} A e^{-st} dt = \frac{A}{s}$$

qw32

$$f(t) = A \sin(pt)u(t) = \begin{cases} 0 & t < 0 \\ A \sin(pt) & t \geq 0 \end{cases}$$

sekinde tanimlanan fonksiyonun Laplas donusumunu aliniz.

$$\sin(pt) = \frac{1}{2j} (e^{jpt} - e^{-jpt})$$

bagintisi kullanilarak

$$\begin{aligned} ss[f(t)] &= \int_0^{\infty} A \frac{1}{2j} (e^{jpt} - e^{-jpt}) e^{-st} dt \\ &= \frac{A}{2j} \left\{ \int_0^{\infty} e^{(-s+jp)t} dt - \int_0^{\infty} e^{-(s+jp)t} dt \right\} \\ &= \frac{A}{2j} \left\{ \frac{1}{s-jp} - \frac{1}{s+jp} \right\} \\ &= \frac{Ap}{s^2+p^2} \end{aligned}$$

elde edilir. Benzer sekilde diger fonksiyonlari da Laslap donusumu aliniz. Laplas donusumunun ozelliklerinden faydalanarak bazi fonksiyonlari Laplas donusumu daha kolay alinabilir. anal7e1.tex Bu nedenle bir cok fonksiyonun Laplas donusumunu bir tablo halinde hazirlamak faydalidir. Tablo(ref: xq7t01) de boyle bir tablo verilmistir.

## Laplas Donusumunun Ozellikleri

Laplas donusumu Furier donusumune benzer, dolayisiyla Furier donusumunun sagladigi ozelliklerin hemen hepsi Laplas donusumunun de ozelligidir. Bu ozellikler Tablo(ref: xq7t03)de gosterilmistir. anal7e2.tex qw34

$$x(t) = [10e^{-7t} - 6t^3 + 2 \sin(4t) + 3 \cos(2t)]$$

olduguna gore  $X(s)$  ifadesini hesaplayin.

**Cozum:** Laplas donusumunun lineerlik ozelliginden faydalanarak her terimin ayri ayri Laplas donusumu aliniz ve toplanir

$$\begin{aligned} X(s) &= \mathcal{L}[10e^{-7t}] - \mathcal{L}[6t^3] + \mathcal{L}[2 \sin(4t)] + \mathcal{L}[3 \cos(2t)] \\ &= 10 \frac{1}{s+7} - 6 \left( \frac{3!}{s^4} \right) + 2 \frac{4}{s^2+16} + 3 \frac{s}{s^2+4} \\ &= \frac{10}{s+7} - \frac{36}{s^4} + \frac{8}{s^2+16} + \frac{3s}{s^2+4} \end{aligned}$$

qw35  $f(t) = e^{-at} \sin(pt)u(t)$  fonksiyonunun Laplas donusumunu aliniz.

**cozum:** O.P.(ref: xq7o05)den

$$ss[A \sin(pt)u(t)] = \frac{Ap}{s^2 + p^2}$$

olarak bulunmustu. Bu sonuca  $s$  domeninde kaydırma teoremi uygulayarak

$$ss[e^{-at}A \sin(pt)u(t)] = \frac{Ap}{(s+a)^2 + p^2}$$

bulunur.

## Ters Laplas Donusumu

Ters Laplas donusumu

$$f(t) = \frac{1}{2\pi j} \int_{c-jw}^{c+jw} F(s)e^{st} ds$$

xq7f13

bagintisindan hesaplanır. Burada  $c$  reel bir sabittir ve  $F(s)$ 'nin tekil noktalarının reel kismilarından büyük olarak secilmelidir. (ref: xq7f13)un isbati  $F(s)$  yerine (ref: xq7f01)deki degeri konularak yapılır. (Bkz C.P.ref: terslaplasisbat) Ters Laplas donusumu

$$ss^{-1}[F(s)] = f(t)$$

#

olarak gosterilir. (ref: xq7f13) integrali rezidu teoremi kullanarak hesaplanabilir, ancak Laplas donusum tabloları kullanarak daha kolay cozulur. qw36

$$F(s) = \frac{7s + 23}{s^2 + 7s + 12}$$

**Cozum:**  $F(s)$  basit kesirlere ayrılırsa,

$$F(s) = \frac{7s + 23}{s^2 + 7s + 12} = \frac{2}{s + 3} + \frac{5}{s + 4}$$

Laplas donusumunun lineerlik ozelliginden faydalanarak

$$f(t) = \mathcal{L}^{-1}[F(s)] = \mathcal{L}^{-1}\left[\frac{2}{s + 3}\right] + \mathcal{L}^{-1}\left[\frac{5}{s + 4}\right]$$

yazilir ve iki terimin Laplas donusumleri ayri ayri alinarak

$$f(t) = 2e^{-3t} + 5e^{-4t}$$

bulunur.  $F(s)$ 'in basit kesirlere ayrilmasina iliskin pratik bir yontem Ek-ref: appx41 de gosterilmistir.

## Rezidu Teoremi Yardimiyla Ters Laplas Donusumu Hesabi

(ref: xq7f13) ile verilen ters Laplas donusum bagintisi kompleks duzlemde bir integraldir. Kompleks duzlemde integralin anlami (Ek-ref: app41)'de kısaca anlatilmistir. Sekil(ref: xq7s161) de verilen kompleks duzlemdeki  $ABJKQLA$  kapali cevresini gozonune



Figure 1 ) Kompleks düzlemde rezidu hesabi için alınan kapalı çevre alalım. Bu kapalı çevre üzerinde

$$M = \oint_{ABJPKQLA} e^{st} X(s) ds$$

integralinin hesabi (Ek-ref: app41)'de verilen rezidu teoremi yardımıyla yapılabilir. Ote yandan (ref: xq7f181)'de verilen  $M$  integrali

$$M = \oint_{ABJPKQLA} e^{st} X(s) ds = \oint_{BJPKQLA} e^{st} X(s) ds + \oint_{AB} e^{st} X(s) ds$$

şeklinde hesaplanabilir. Eğer  $X(s)$  fonksiyonu  $X(s) = \frac{P(s)}{Q(s)}$  şeklinde iki polinomun oranı ve  $P(s)$  polinomunun derecesi  $Q(s)$  polinomunkinden küçük ise

$$\oint_{BJPKQLA} e^{st} X(s) ds$$

integralinin değeri sıfırdır. Bunun isbatı kompleks değişkenli fonksiyonlarla ilgili kitaplarda bulunabilir [ref: kompleksdeğişkenlikitab-ideman] Bu durumda

$$M = \oint_{ABJPKQLA} e^{st} X(s) ds = \oint_{AB} e^{st} X(s) ds$$

olacağı açıktır. Esitliğin ikinci tarafı  $R \rightarrow \infty$  için (ref: xq7f13) ile verilen ters Laplas dönüşüm formülüdür. Su halde  $X(s) = \frac{P(s)}{Q(s)}$  halinde verilen bir  $X(s)$  fonksiyonunun ters Laplas dönüşümü  $e^{st} X(s)$  fonksiyonunun  $ABJPKQLA$  kapalı çevresi içindeki kutuplarına ilişkin residülerinin toplamının bulunması ile hesaplanabilir. Ote yandan ters Laplas dönüşümü tanımı gereği  $X(s)$ 'nin bütün kutupları  $ABJPKQLA$  kapalı çevresi içinde olması gerektiğinden  $x(t)$ 'nin hesabi için  $ABJPKQLA$  kapalı çevresini dikkate almadan  $X(s)$ 'nin kutuplarındaki residüleri hesaplayarak  $x(t)$  bulunabilir. Diğer bir ifadeyle

$$x(t) = e^{st} X(s)'nin kutuplarındaki residülerin toplamı$$

şeklinde yazılabilir.

q38  $X(s) = \frac{1}{s+10}$  ise  $x(t)$ 'yi rezidu yöntemiyle hesaplayın.

**Cozum:**  $X(s)$  nin  $s = -10$  da tek katlı kutbu vardır.  $s = -10$ 'daki rezidu (Ek-ref: app41) de verilen rezidu teoreminden

$$Res_{s=-10} = (s+10)e^{st} \frac{1}{s+10} \Big|_{s=-10} = 3e^{-10t}$$

olarak hesaplanır. Su halde

$$x(t) = 3e^{-10t}$$

olacaktır.

q40  $X(s) = \frac{s}{(s+1)^3(s-1)^2}$  ise  $x(t)$ 'yi rezidu yöntemiyle hesaplayın.

$e^{st} X(s)$  fonksiyonunun  $s = -1$  de üç katlı ve  $s = 1$  de iki katlı kutbu vardır.  $s = 1$  deki rezidu (Ek-ref: app41)'deki (ref: xqek2f99) bağıntısından hesaplanır.

$$\begin{aligned}
R_1 &= \lim_{s \rightarrow -1} \frac{1}{1!} \frac{d}{ds} \left[ (s-1)^2 \frac{se^{st}}{(s+1)^3(s-1)^2} \right] \\
&= \lim_{s \rightarrow -1} \frac{d}{ds} \left[ \frac{se^{st}}{(s+1)^3} \right] \\
&= \left[ \frac{(e^{st} + ste^{st})(s+1)^3 - 3(s+1)^2 se^{st}}{(s+1)^6} \right]_{s=-1} \\
&= (s+1)^2 \frac{(1+ts)(s+1) - 3s}{(s+1)^6} \Big|_{s=-1} \\
&= (1+1)^2 \frac{(1+t)(1+1) - 3}{(1+1)^6} \Big|_{s=-1} \\
&= \frac{1}{16} e^t (2t - 1)
\end{aligned}$$

$s = -1$  deki rezidu benzer sekilde hesaplanir

$$\begin{aligned}
R_{-1} &= \lim_{s \rightarrow -1} \frac{1}{2!} \frac{d^2}{ds^2} \left[ (s+1)^3 \frac{se^{st}}{(s+1)^3(s-1)^2} \right] \\
&= \lim_{s \rightarrow -1} \frac{1}{2} \frac{d^2}{ds^2} \left[ \frac{se^{st}}{(s-1)^2} \right]
\end{aligned}$$

Ara islemlerden sonra (iki defa turev alınması gerektiğini unutmayınız)

$$= \frac{1}{16} e^{-t} (1 - 2t^2)$$

elde edilir. Sonuc olarak  $x(t)$  fonksiyonu rezidulerin toplamına esittir.

$$x(t) = R_1 + R_{-1} = \frac{1}{16} e^t (2t - 1) + \frac{1}{16} e^{-t} (1 - 2t^2)$$

## Lineer Diferansiyel Denklemlerin Laplas Donusumu Yardimiyla Cozumu

Laplas donusumunun zaman domeninde turev ozelligi kullanilarak lineer diferansiyel denklemler kolayca cozulebilir.

$$3 \frac{d^2x}{dt^2} + 12x = f(t)$$

Dif denkleminde  $f(t) = u(t)$ , birim basamak fonksiyonu, ve  $x(0) = 2, x'(0) = 3$  olduguna gore  $x(t)$ yi hesaplayin.

**Cozum:** Dif denklemin er iki tarafinin Laplas donusumunu alalim.

$$\mathcal{L} \left[ 3 \frac{d^2x}{dt^2} + 12x \right] = \mathcal{L}[f(t)]$$

$$\mathcal{L} \left[ 3 \frac{d^2x}{dt^2} \right] + \mathcal{L}[12x] = \mathcal{L}[f(t)]$$

Terimlerin ayri ayri Laplas donusumunu alarak

$$\mathcal{L}\left[\frac{d^2x}{dt^2}\right] = s^2X(s) - sx(0) - x'(0)$$

$$\mathcal{L}[x] = X(s)$$

$$\mathcal{L}[f(t)] = F(s) = \frac{1}{s}$$

degerlerini diferansiyel denklemde yerine koyarsak.

$$(3s^2 + 12)X(s) - 3sx(0) - 3x'(0) = F(s)$$

Buradan

$$X(s) = \frac{F(s)}{3s^2 + 12} + \frac{3sx(0) + 3x'(0)}{3s^2 + 12}$$

elde edilir.  $F(s) = \frac{1}{s}$ ,  $x(0) = 2$ ,  $x'(0) = 3$  degerleri yerine konup

$$\begin{aligned} X(s) &= \frac{1}{s(3s^2+12)} + \frac{6s+9}{3s^2+12} = \frac{2s^2+3s+\frac{1}{3}}{s(s^2+4)} \\ &= \frac{A}{s} + \frac{B}{s+2j} + \frac{C}{s-2j} \end{aligned}$$

sekinde carpanlara ayrilir.  $A, B, C$  katsayilari Ek-ref: appx41 deki gibi hesaplanirsa

$$A = 1.5, \quad B = 0.25 + 0.75j, \quad C = 0.25 - 0.75j$$

Bulunur. Sonuc olarak  $F(s)$  fonksiyonu

$$\frac{1.5}{s} + \frac{0.25 + 0.75j}{s + 2j} + \frac{0.25 - 0.75j}{s - 2j}$$

olur. Ters Laplas donusumunu alarak,

$$f(t) = 1.5u(t) + (0.25 - 0.75j)e^{-2jt} + (0.25 + 0.75j)e^{2jt}$$

$$f(t) = 1.5u(t) + (0.25 - 0.75j)[\cos(2t) - j\sin(2t)] + (0.25 + 0.75j)[\cos(2t) + j\sin(2t)]$$

$$\begin{aligned} f(t) &= 1.5u(t) + 0.25\cos(2t) - j0.25\sin(2t) - 0.75j\cos(2t) - 0.75\sin(2t) \\ &\quad + 0.25\cos(2t) + j0.25\sin(2t) + 0.75j\cos(2t) - 0.75\sin(2t) \end{aligned}$$

$$f(t) = 1.5u(t) + 0.5\cos(2t) - 1.5\sin(2t)$$

elde edilir.

## Z donusumu, (™rneklenmiŸ iŸaretin Laplas d'nŸm)

Analog isaretlerin analizi Laplas donusumu ile kolayca yapilabildigi gibi ayrik isaretler de  $z$  donusumu yardimiyla kolayca analiz yapilabilir. Ornekleme araligi  $T$  olan sekil(ref: cx2)de verilen impuls darbe katarinin matematik modeli

$$\delta_h(t) = \delta(0) + \delta(t - T) + \delta(t - 2T) + \delta(t - 3T) \dots$$

sekinde gosterilebilir.  $x(t)$  fonksiyonu  $\delta_h(t)$  ile †arparak  $x^*(t)$  fonksiyonunu elde edelim.

$$\begin{aligned}
x^*(t) &= x(t)\delta_h(t) \\
&= x(t)\delta(t) + x(t)\delta(t-T) + x(t)\delta(t-2T) + x(t)\delta(t-3T) + \dots \\
&= x(0)\delta(t) + x(T)\delta(t-T) + x(2T)\delta(t-2T) + x(3T)\delta(t-3T) + \dots
\end{aligned}$$

xq7f21

olacaktır.

$$\mathcal{L}[x^*(t)] = X^*(s)$$

tanimini yapalım. Öte yandan tablo(ref: xq7t01)'den birim impulsin Laplas dönüşümü 1 olarak verilmisti. Bu sonuca (ref: loplaskaydirma ile verilen zamanda kaydırma teoremi) uygulayarak

$$\mathcal{L}\delta(t-pT) = 1e^{-pTs} \text{ dir.} \quad \#$$

elde edilir. Bu bilgiler ışığında (ref: xq7f21) eşitliğinin her iki tarafının Laplas dönüşümünü alalım.

$$\begin{aligned}
x^*(s) &= \mathcal{L}[x^*(t)] = \mathcal{L}[x(t)\delta_h(t)] \\
&= \mathcal{L}[x(0)\delta(t) + x(T)\delta(t-T) + x(2T)\delta(t-2T) + x(3T)\delta(t-3T) + \dots] \\
&= x(0)\mathcal{L}[\delta(t)] + x(T)\mathcal{L}[\delta(t-T)] + x(2T)\mathcal{L}[\delta(t-2T)] + \dots \\
&= x(0) \cdot 1 + x(T)e^{-Ts} + x(2T)e^{-2Ts} + x(3T)e^{-3Ts} + \dots \\
&= \sum_{k=0}^{\infty} x(kT)e^{-kTs}
\end{aligned}$$

#

$e^{Ts} = z$  ve  $X^*(s) = X(z)$  tanımlar yapılırsa.

$$\sum_{k=0}^{\infty} x(kT)z^{-k} = X(z) \quad \#$$

elde edilir. Dolayısıyla

$$X(z) = X^*(s)|_{s=\frac{1}{T}\ln(z)} \quad \#$$

yazılabilir. Zaman domenindeki ayrık datalar için

$$X(z) = \sum_{k=0}^{\infty} x(kT)z^{-k}$$

-10mm

xq7f12

yazılabilir. Bir işaretin Z dönüşümü ve ters Z dönüşümü

$$\mathcal{Z}[x(kT)] = X(z) \quad \mathcal{Z}^{-1}X(z) = x(kT)$$

şeklinde gösterilir. Çoğu kere örnekleme aralığı olan  $T$  eşitlikten atılır fakat örnekleme aralığının devreye girdiği yerde  $T$ 'nin eşitlikte olduğu hatırlanmalıdır.

$k < 0$  için  $x(kT) = 0$  kabul edildiğinden yukarıda gösterilen **tek taraflı Z dönüşümüdür**. Fiziksel bir işaretle  $k < 0$  için  $x(kT) = 0$  dir. Ancak bazı hallerde fiziksel

$x(kT)$  isareti belli donusumler neticesinde  $k < 0$  icinde degerler alır. Bu durumda

$$X(z) = \sum_{k=-\infty}^{\infty} x(kT)z^{-k}$$

-10mm

xq7f14

sekinde tanimlanan **cift taraflı Z donusumu** kullanilir. Bir  $X(z)$  fonksiyonunun tek taraflimi yoksa cift taraflı Z donusumu sonucu elde edildiđi belirtilmelidir. Bu bolumde tek taraflı Z donusumu anlatilacaktır. Cift taraflı Z donusumu bolum (ref: cift taraflı Z donusumu'de ele alinacaktır. Bu kitapda aksi soylene medikce tek taraflı Z donusumu anlasilmalidir.

$x(0) = 12$ ,  $x(1) = -8$ ,  $x(2) = 20$ ,  $x(3) = 7$  ve  $k > 3$  icin  $x(k) = 0$  olan isaretin  $Z$  donusumunu alin.

**Cozum:**

$$\begin{aligned} X(z) &= \sum_{k=0}^{\infty} x(kT)z^{-k} = \sum_{k=0}^3 x(kT)z^{-k} = 12 - 8z^{-1} + 20z^{-2} + 7z^{-3} \\ &= \frac{12z^3 - 8z^2 + 20z + 7}{z^3} \end{aligned}$$

$$x(kT) = \delta(t) = \begin{cases} 1 & t = 0 \\ 0 & t \neq 0 \end{cases} \text{ fonksiyonunun } Z \text{ d'nsmn bulun.}$$

**Cozum:**

$$\begin{aligned} x(z) &= \sum_{k=0}^{\infty} x(kT)z^{-k} = x(0)z^0 + x(T)z^{-1} + x(2T)z^{-2} + x(3T)z^{-3} + \dots \\ &= 1z^0 + 0 + 0 + 0 \dots = 1.1 = 1 \end{aligned}$$

$$Z\{\delta(kT)\} = 1$$

#

$$x(kT) = U(kT) = \begin{cases} 0 & kT < 0 \\ 1 & kT > 0 \end{cases} \text{ ise } x(z) = ?$$

**Cozum:**

$$\begin{aligned} x(z) &= \sum_{k=0}^{\infty} x(kT)z^{-k} = x(0)z^0 + x(T)z^{-1} + x(2T)z^{-2} + x(3T)z^{-3} + \dots \\ &= 1z^0 + 1z^{-1} + 1z^{-2} + 1z^{-3} + \dots = \frac{1}{1-z^{-1}} = \frac{z}{z-1} \end{aligned}$$

$$Z[u(kT)] = \frac{z}{z-1}$$

#

Not:

$$1 + a + a^2 + a^3 + \dots + a^n + \dots = \sum_{k=0}^{\infty} a^k = \frac{1}{1-a} \quad \#$$

başnts kullanld.

$x(kT) = e^{-akT}$  olduğuna göre  $X(z)$ yi hesaplayın.

**Cozum:**

$$\begin{aligned} x(z) &= \sum_{k=0}^{\infty} x(kT)z^{-k} = x(0)z^0 + x(T)z^{-1} + x(2T)z^{-2} + x(3T)z^{-3} + \dots \\ &= e^0 z^0 + e^{-aT} z^{-1} + e^{-2aT} z^{-2} + e^{-3aT} z^{-3} + \dots \\ &= \frac{1}{1-e^{-aT}z^{-1}} = \frac{z}{z-e^{-aT}} \end{aligned}$$

$$\mathcal{Z}[e^{-akT}] = \frac{z}{z-e^{-aT}} \quad \text{xq7f57}$$

**Not:**

$$1 + a + a^2 + a^3 + \dots + a^n + \dots = \sum_{k=0}^{\infty} a^k = \frac{1}{1-a}$$

başntsnn geıerli olmas için  $|a| < 1$  olmaldr. Bu noktadan hareketle yukardaki rneklerdeki  $\mathcal{Z}$  d'n nmlerinin geıerli olmas için

O.P.(ref: xq7o63) rneşinde  $|z| < \infty$

O.P.(ref: xq7o65) orneşinde  $|z^{-1}| < 1 \quad |z| > 1$

O.P.(ref: xq7o67) orneşinde  $|e^{-aT}z^{-1}| < 1 \quad |z| > e^{-aT}$

olmaldr. Bu b"lgelere **yaknsaklık b"lgesi** denir.

## Z Donusumunun Ozellikleri

### Lineerlik

$$\mathcal{Z}[ax(kT) + by(kT)] = a\mathcal{Z}[x(kT)] + b\mathcal{Z}[y(kT)] \quad \#$$

Isbat:

$$\begin{aligned} [ax(kT) + by(kT)] &= \sum_{k=0}^{\infty} [ax(kT) + by(kT)]z^{-k} \\ &= \sum_{k=0}^{\infty} [ax(kT)]z^{-k} + \sum_{k=0}^{\infty} [by(kT)]z^{-k} \\ &= a \sum_{k=0}^{\infty} [x(kT)]z^{-k} + b \sum_{k=0}^{\infty} [y(kT)]z^{-k} \\ &= a\mathcal{Z}[x(kT)] + b\mathcal{Z}[y(kT)] \\ &= aX(z) + bY(z) \end{aligned}$$

### Olcekleme

$$\mathcal{Z}[a^{kT}x(kT)] = X(a^{-T}z) \quad \#$$

Isbat:

$$\begin{aligned}
\mathcal{Z}[a^{kT}x(kT)] &= \sum_{k=0}^{\infty} a^{kT}x(kT)z^{-k} \\
&= \sum_{k=0}^{\infty} x(kT)(a^{-T}z)^{-k} \\
&= X(a^{-T}z)
\end{aligned}$$

Zamanda ileri kaydırma teoremi:

$$\mathcal{Z}[x(kT - nT)] = z^{-n}\mathcal{Z}[x(kT)]$$

#

İsbat: a)

$$\begin{aligned}
\mathcal{Z}[x(kT - nT)] &= \sum_{k=0}^{\infty} x(kT - nT)z^{-k} = z^{-n} \sum_{k=0}^{\infty} x(kT - nT)z^{-k}z^n \\
&= z^{-n} \sum_{k=0}^{\infty} x(kT - nT)z^{-(k-n)}
\end{aligned}$$

$q = k - n$  tanimi yapılırsa

$$\mathcal{Z}[x(kT - nT)] = z^{-n} \sum_{q=-n}^{\infty} x(qT)z^{-q}$$

$q < 0$  için  $x(qT) = 0$  olduğundan toplamın alt limiti sıfır alınabilir.

$$\mathcal{Z}[x(kT - nT)] = z^{-n} \sum_{q=0}^{\infty} x(qT)z^{-q} = z^{-n}X(z)$$

$$x(k) = \begin{cases} a^{k-1} & k > 1 \\ 0 & k \leq 0 \end{cases}$$

şeklinde tanımlanan  $x(k)$  işaretinin  $Z$  dönüşümünü hesaplayın.

**Cozum:**  $Z$  dönüşüm tablosundan görüldüğü gibi

$$\mathcal{Z}[a^k] = \frac{z}{z-a}$$

şeklinde dir. Zamanda kaydırma teoremi gereği

$$X(z) = \mathcal{Z}[a^{k-1}] = z^{-1} \frac{z}{z-a} = \frac{1}{z-a}$$

elde edilir.

$y(k) = a^{k-1}$  şeklinde tanımlanan  $x(k)$  işaretinin  $Z$  dönüşümünü hesaplayın.

**Cozum:**  $Z$  dönüşümü tanımı gereği

$$Y(z) = a^{-1} + z^{-1} + az^{-2} + a^2z^{-3} + \dots$$

olmalıdır. İlk terim hariç diğer terimlerin toplamı (O.P.ref: xq7op15) ile verilen  $x(k)$  işaretinin  $Z$  dönüşümünü verir. O halde

$$\mathcal{Z}[a^{k-1}] = a^{-1} + \frac{1}{z-a} = a^{-1} \frac{z}{z-a}$$

olacaktır.

**not:** Problemi  $a^{k-1} = a^k a^{-1}$  seklinde ele alip Z donusumunun bulunmasiyla problemin daha basit olarak cozulebilecegini unutmayiniz.

Zamanda geri kaydirma teoremi:

$$Z[x(kT + nT)] = z^n \left[ Z[x(kT)] - \sum_{k=0}^{n-1} x(kT)z^{-k} \right] \quad \#$$

Isbat:

$$\begin{aligned} Z[x(kT + nT)] &= \sum_{k=0}^{\infty} x(kT + nT)z^{-k} = z^n \sum_{k=0}^{\infty} x(kT + nT)z^{-(k+n)} \\ &= z^n \sum_{q=n}^{\infty} x(qT)z^{-q} \\ &= z^n \left[ \sum_{q=n}^{\infty} x(qT)z^{-q} + \sum_{q=0}^{n-1} x(qT)z^{-q} - \sum_{q=0}^{n-1} x(qT)z^{-q} \right] \\ &= z^n \left[ \sum_{q=0}^{\infty} x(qT)z^{-q} - \sum_{q=0}^{n-1} x(qT)z^{-q} \right] \end{aligned}$$

$y(k) = a^{k+1}$  seklinde tanimlanan  $x(k)$  isaretinin Z donusumunu hesaplayin.

**Cozum:**  $a^k$ 'nin Z donusumune zamanda geri kaydirma teoremi uygulanirsa

$$Z[a^{k+1}] = z \left[ Z[a^k] - \sum_{k=0}^0 a^k z^{-k} \right] = z \left[ \frac{z}{z-a} - 1 \right] = \frac{az}{z-a}$$

olarak elde edilir.

**not:** Problemi  $a^{k+1} = a^k a$  seklinde ele alip Z donusumunun bulunmasiyla problemin daha basit olarak cozulebilecegini unutmayiniz.

Baslangic Deger Teoremi

$$x(0) = \lim_{z \rightarrow \infty} X(z) \quad \#$$

Isbat:

$$X(z) = \sum_{k=0}^{\infty} x(kT)z^{-k} = x(0) + x(1)z^{-1} + x(2)z^{-2} + \dots$$

$z \rightarrow \infty$  koyarsak  $z$ 'nin butun kuvvetleri  $z^{-1}, z^{-2}, z^{-3}, \dots$  sifir olacaktır. Dolayisiyla  $x(0) = X(z)$  nin  $z \rightarrow \infty$  icin degeri olur.

Son Deger Teoremi

Eger  $\lim_{k \rightarrow \infty} x(k)$  var ise (sonsuz degilse) Bu deger asagidaki sekilde hesaplanabilir.

$$\lim_{k \rightarrow \infty} x(k) = \lim_{z \rightarrow 1} (1 - z^{-1})X(z)$$

Isbat:



$$\mathcal{Z}[x(kT)] = \sum_{k=0}^{\infty} x(kT)z^{-k}$$

$$\mathcal{Z}[x(kT - T)] = z^{-1}X(z) = \sum_{k=0}^{\infty} x(kT - T)z^{-k}$$

esitlikler taraf tarafa cikarilirs.

$$\sum_{k=0}^{\infty} x(kT)z^{-k} - \sum_{k=0}^{\infty} x(kT - T)z^{-k} = X(z) - z^{-1}X(z)$$

Esitligin her iki tarafinin  $z = 1$  icin limitini alalim

$$\lim_{z \rightarrow 1} \left[ \sum_{k=0}^{\infty} x(kT) - \sum_{k=0}^{\infty} x(kT - T) \right] = \lim_{z \rightarrow 1} [(1 - z^{-1})X(z)]$$

Esitligin sol taraftaki terimini biraz acalim

$$\lim_{z \rightarrow 1} \left[ \sum_{k=0}^{\infty} x(kT) - \sum_{k=0}^{\infty} x(kT - T) \right] = \lim_{z \rightarrow 1} \sum_{k=0}^{\infty} [x(kT) - x(kT - T)]$$

$k < 0$  icin  $x(k) = 0$  oldugu dusunulurse  $z = 1$  icin yukaridaki ifade

$$\sum_{k=0}^{\infty} [x(kT) - x(kT - T)] = [x(0) - x(-1)] + [x(1) - x(0)] + [x(2) - x(1)] + \dots$$

$$= x(\infty) = \lim_{k \rightarrow \infty} x(k)$$

Seklinde gelir. Dolayisiyla

$$\lim_{k \rightarrow \infty} x(k) = \lim_{z \rightarrow 1} (1 - z^{-1})X(z)$$

elde edilir.

## Konvolusyon

**Tanim:**  $x(k)$  ve  $y(k)$  ayrik zamanli datalari gosterme üzere

$$W(kT) = \sum_{h=0}^{\infty} x(hT)y(kT - hT) = \sum_{h=0}^{\infty} x(kT - hT)y(hT) \quad \#$$

ifadesine  $x(kT)$  ve  $y(kT)$  isaretlerinin konvolusyonu denir.

$$\mathcal{Z}[x(kT)] = X(z) \quad \mathcal{Z}[y(kT)] = Y(z)$$

olmak üzere.

$$W(z) = X(z)Y(z) = \mathcal{Z} \left[ \sum_{h=0}^{\infty} x(hT)y(kT - hT) \right] \quad \#$$

**Isbat:**

$$W(z) = \mathcal{Z} \left[ \sum_{h=0}^{\infty} x(hT)y(kT - hT) \right] = \sum_{k=0}^{\infty} \left[ \sum_{h=0}^{\infty} x(hT)y(kT - hT) \right] z^{-k}$$

Toplamini yerini degistirerek.

$$W(z) = \sum_{h=0}^{\infty} \sum_{k=0}^{\infty} x(hT)y(kT - hT)z^{-k} = \sum_{h=0}^{\infty} x(hT) \sum_{k=0}^{\infty} y(kT - hT)z^{-k}$$

$k - h = m$  tanimi yapilirsa

$$\begin{aligned} W(z) &= \sum_{h=0}^{\infty} x(hT) \left[ \sum_{m=-n}^{\infty} y(mT) \right] z^{-m-h} \\ &= \sum_{h=0}^{\infty} x(hT) \left[ \sum_{m=-n}^{\infty} y(mT)z^{-m} \right] z^{-h} \\ &= \left[ \sum_{h=0}^{\infty} x(hT)z^{-h} \right] \left[ \sum_{m=-n}^{\infty} y(mT)z^{-m} \right] \end{aligned}$$

$m < 0$  icin  $x(mT) = 0$  oldugundan

$$W(z) = \left[ \sum_{h=0}^{\infty} x(hT)z^{-h} \right] \left[ \sum_{m=0}^{\infty} y(mT)z^{-m} \right] = X(z)Y(z)$$

elde edilir.

**Z** domeninde turev

$$\mathcal{Z}[kx(k)] = -z \frac{d}{dz} X(z) \quad \#$$

Isbat:

$$X(z) = \sum_{k=0}^{\infty} x(k)z^{-k}$$

Ifadesinin her iki tarafinin  $z'$ ye gore turevini  $\mathcal{Z}$  alalim.

$$\begin{aligned} \frac{d}{dz} X(z) &= \frac{d}{dz} \sum_{k=0}^{\infty} x(k)z^{-k} = \sum_{k=0}^{\infty} \frac{d}{dz} [x(k)z^{-k}] \\ &= \sum_{k=0}^{\infty} x(k)(-k)z^{-k-1} = \sum_{k=0}^{\infty} z^{-1}x(k)(-k)z^{-k} \\ &= -z^{-1} \sum_{k=0}^{\infty} x(k)kz^{-k} = -z^{-1} \mathcal{Z}[kx(k)] \end{aligned}$$

veya

$$\mathcal{Z}[kx(k)] = -z \frac{d}{dz} X(z)$$

elde edilir.

Benzer yolla devam edilirse

$$\begin{aligned} \mathcal{Z}[k^2x(k)] &= -z \frac{d}{dz} \left[ -z \frac{d}{dz} X(z) \right] \\ \mathcal{Z}[k^3x(k)] &= -z \frac{d}{dz} \left\{ -z \frac{d}{dz} \left[ -z \frac{d}{dz} X(z) \right] \right\} \end{aligned}$$

oldugu kolayca gosterilebilir.

**Z** domeninde integral

$$\mathcal{Z} \left[ \frac{x(k)}{k} \right] = \int_z^{\infty} \frac{X(q)}{q} dq + \lim_{k \rightarrow \infty} \frac{x(k)}{k} \quad \#$$

Isbat: Tanim geregi

$$\mathcal{Z}\left[\frac{x(k)}{k}\right] = G(z) = \sum_{k=0}^{\infty} \frac{x(k)}{k} z^{-k}$$

olacaktır. Esitligin her iki tarafinin  $z'$ ye gore turevini alalaim.

$$\frac{d}{dz} G(z) = - \sum_{k=0}^{\infty} x(k) z^{-k-1} = -z^{-1} \sum_{k=0}^{\infty} x(k) z^{-k} = \frac{X(z)}{z}$$

Sindi de esitligin her iki tarafinin  $z = z'$ den  $z = \infty$  kadar integralini alalim.

$$\int_z^{\infty} \frac{d}{dz} G(z) = G(\infty) - G(z) = - \int_z^{\infty} \frac{X(q)}{q} q$$

veya

$$G(z) = - \int_z^{\infty} \frac{X(q)}{q} q + G(\infty)$$

elde edilir.  $G(\infty)$  yerine son deger teoremi ile verilen degeri konulursa teorem isbatlanmis olur.

## Z domeninde konvolusyon

$x_1(k)$  nin yakinsaklik bolgesi  $R_1$ ,  $x_2(k)$  nin yakinsaklik bolgesi  $R_2$  olmak uzere  $x_1(k), x_2(k)$  ifadesinin Z donusumu

$$\mathcal{Z}[x_1(k)x_2(k)] = \frac{1}{2\pi j} \oint_c v^{-1} X_1(v) X_2\left(\frac{z}{v}\right) dv = \frac{1}{2\pi j} \oint_c v^{-1} X_2(v) X_1\left(\frac{z}{v}\right) dv \quad \#$$

sekinde hesaplanabilir.  $\mathcal{Z}[x_1(k)x_2(k)]$ 'nin yakinsaklik bolgesi

$$R_1 < |v| < \frac{|z|}{R_2} \quad \text{veya} \quad R_2 < |v| < \frac{|z|}{R_1}$$

sekinde olacaktır. Burada  $\oint_c$  kompleks duzlemde  $c$  bolgesi uzerinde alinan integral anlamina gelir. Kompleks duzlemde integralin alinisi (Ek-ref: appx31) de verilmistir. Teoremin isbati ters Z donusumlerini anlattiktan sonra verilecektir.

## Parseval Teoremi

Eger  $x(k)$  sinirli ise

$$\sum_{k=0}^{\infty} x^2(k) = \frac{1}{2\pi j} \oint_c z^{-1} X_2(z) X_1(z^{-1}) dz \quad \#$$

Teoremin isbati (ref: ) ile verilen Z domeninde konvolusyon teoreminde  $z = 1$  konarak yapilabilir.

## Cift Tarafli Z Donusumu

Cift tarafli Z donusumu (ref: xq7f14) bagintisi ile verildigi gibi

$$X(z) = \sum_{k=-\infty}^{\infty} x(kT) z^{-k}$$

-8mm

(ref: xq7f14) sekinde tanimlanir. Bagintiye acik yazalim

$$X(z) = x(0) + x(-1)z + x(-2)z^2 + x(-3)z^3 + \dots + x(1)z^{-1} + x(2)z^{-2} + x(3)z^{-3} + \dots \quad \text{xq7g21}$$

Goruldugu gibi  $X(z)$  iki ayri sonsuz serinin toplami seklindedir.  $a, b$  pozitif sayilar olmak uzere  $x(k)$  dizisi asagidaki sekilde olsun.

$$x(k) = \begin{cases} a^k & k \geq 0 \\ b^k & k < 0 \end{cases}$$

(ref: xq7g21) bagintisini bu  $x(k)$  icin yazalim.

$$X(z) = 1 + bz + b^2z^2 + b^3z^3 + \dots + az^{-1} + a^2z^{-2} + a^3z^{-3} + \dots \quad \#$$

$$X(z) = 1 + bz + (bz)^2 + (bz)^3 + \dots + az^{-1} + (az^{-1})^2 + (az^{-1})^3 + \dots \quad \text{xq7g23}$$

Eger  $|bz| < 1$  ve  $|az^{-1}| < 1$  sartlari saglanirsa (EK-ref: seritoplami) geregi (ref: xq7g23) bagintisi

$$X(z) = \frac{1}{1-bz} + \frac{1}{1-az^{-1}} \quad \text{xq7g25}$$

sekinde yazilabilir.  $X(z)$  nin (ref: xq7g25)'deki gibi kapali formda yazilabilmesi icin gerekli sartlar bu  $X(z)$  icin yakinsaklik bolgesini verir. Su halde (ref: xq7g25)de verilen  $X(z)$  icin yakinsaklik bolgesi

$$a < |z| < \frac{1}{b} \quad \#$$

olarak elde edilir. Burada eger  $a < \frac{1}{b}$  ise  $a < |z| < \frac{1}{b}$  araligi  $X(z)$  dizisinin yakinsak oldugu araligi verir. eger  $a > \frac{1}{b}$  ise bu  $X(z)$  hic bir yerde yakinsamaz ve  $X(z)$  anlamsiz olur.

Lineer sisitemlere iliskin tek taraflı  $Z$  donusumlerinde  $|z| > a$  sekinde yakinsaklik bolgesi daima vardir. Cift taraflı  $Z$  donusumlerinde yukaridaki ornekte oldugu gibi yakinsaklik bolgesi her zaman olmayabilir. Bu yuzden cift taraflı  $Z$  donusumlerinde Yakinsaklik bolgesi verilmeyen bir  $X(z)$  fonksiyonu anlamsizdir. Cift taraflı  $Z$  donusumlerinde bir  $X(z)$  fonksiyonuna iliskin  $x(k)$  nin bulunabilmesi icin yakinsaklik bolgesi de mutlaka belirtilmelidir.

## Cift Taraflı $Z$ Donusumunun Ozellikleri

Cift taraflı  $Z$  donusumu tek taraflı  $Z$  donusumu ile birkac nokta haric ayni ozelliklere sahiptir. Herseyden once eger  $k < 0$  icin  $x(k) = 0$  ise tek ve cift taraflı  $Z$  donusumu tamamen aynidir.

??[hbt]

| $f(k)$                                     | $\mathcal{Z}[f(k)]$   | <i>YakinsaklikBolgesi</i>                           |
|--|---|---|
| $x(k)$                                     | $X(z)$  | $R_{x-} <  z  < R_{x+}$                             |
| $y(k)$                                     | $Y(z)$  | $R_{y-} <  z  < R_{y+}$                             |
| $ax(k) + by(k)$                            | $aX(z) + bY(z)$   | $\max[R_{x-}, R_{y-}] <  z  < \min[R_{x+}, R_{y+}]$ |
| $x(k + q)$                                 | $z^q X(z)$  | $R_{x-} <  z  < R_{x+}$                             |
| $x(k - q)$                                 | $z^{-q} X(z)$   | $R_{x-} <  z  < R_{x+}$                             |
| $q^k x(k)$                                 | $X\left(\frac{z}{a}\right)$   | $ a R_{x-} <  z  <  a R_{x+}$                       |
| $kx(k)$                                    | $-z \frac{dX(z)}{dz}$   | $R_{x-} <  z  < R_{x+}$                             |
| $x(-k)$                                    | $X\left(\frac{1}{z}\right)$   | $\frac{1}{R_{x+}} <  z  < \frac{1}{R_{x-}}$         |
| $x(k)y(k)$                                 | $\frac{1}{2\pi j} \oint_c v^{-1} X(v) Y\left(\frac{z}{v}\right) dv$ | $R_{x-} R_{y-} <  z  < R_{x+} R_{y+}$               |
| $\sum_{q=-\infty}^{q=\infty} x(q)y(k - q)$ | $X(z)Y(z)$  | $\max[R_{x-}, R_{y-}] <  z  < \min[R_{x+}, R_{y+}]$ |

### Cift taraflı Z donusumunun Ozellikleri

Cift taraflı Z donusumunun tek taraflı Z donusumunden ayrildigi onemli ozelliklerden biri zamanda geri kaydirma teoremidir. cift taraflı Z donusumunde zamanda geri kaydirma teoremi

$$\mathcal{Z}[x(k + n)] = z^n X(z)$$

#

seklindedir. Zamanda ileri kaydirma teoremi her iki donusumde de aynidir.

Cift taraflı Z donusumunde baslangic deger teoremi ve son deger teoremi de tek taraflı Z donusumunde oldugu gibi hesaplanamaz.

Cift taraflı Z donusumunde herhangi bir islem sonucu elde edilen yeni  $X(z)$  isaretininde yakinsaklik bolgesi verilmelidir. Tablo(ref: xq7t21)'de cift taraflı Z donusumunun ozellikleri ve yakinsaklik bolgeleri liste halinde verilmistir.

## Ters Z donusumleri

Ters Z donusumleri

$$x(k) = \frac{1}{2\pi j} \oint_c X(z) z^{k-1} dz$$

xq7f71

(ref: xq7f71) verilen integralin hesabi kompleks sayilarla ugrasan kisi icin basit olmakla birlikte ters Z donusumunu bu integrali almadan hesaplayan basit yontemlerde vardir.

\*5mm Ters Z donusumunu alma yontemleri:

- \*10mm 1) Basit kesirlere ayirma
- \*10mm 2) Payi paydaya bolme
- \*10mm 3) Numerik Metodlar
- \*10mm 4) Ters Integral alma(rezidu teoremi yardimiyla)

Simdi Bu yontemleri teker teker kisaca inceleyelim.

### Basit Kesirlere Ayirma

$x(z) = \frac{A(z)}{B(z)}$  şeklinde iki polinomun oranı olarak yazılabilen bir  $X(z)$  ifadesi basit kesirlere ayrılabilir. Ancak

$$M(z) = \frac{x(z)}{z} = \frac{A(z)}{zB(z)}$$

şeklinde tanımlanan terimi carpanlara ayırmak ters Z dönüşümünü hesaplamak için daha elverişlidir.  $M(z)$  ifadesi en genel halde aşağıdaki şekilde basit kesirlere ayrılır.

$$M(z) = \frac{x(z)}{z} = \frac{A(z)}{zB(z)} = \frac{a_1}{z-p_1} + \frac{a_2}{z-p_2} + \frac{a_3}{z-p_3} + \dots + \frac{c_1}{z-p_{c1}} + \frac{c_1^*}{z-p_{c1}^*} + \dots + \frac{b_1}{(z-p_k)^3} + \frac{b_2}{(z-p_k)^2} + \frac{b_3}{(z-p_k)^1}$$

Şeklinde yazılabilir. Burada pratikte raslanabilecek en genel hal gösterilmiştir.  $p_1, p_2, p_3$  birbirinden farklı üç kök.  $p_{c1}, p_{c1}^*$  kompleks eşlenik kökler.  $p_k$  da katli kök var (üç tane).  $a_1, a_2, a_3, \dots, b_1, b_2, b_3, \dots, c_1, c_1^*, \dots$  katsayılarının basit olarak nasıl hesaplanabileceği Ek-ref: appx41 de verilmiştir. şekillerde hesaplanabilir. Her bir basit kesire karşılık gelen  $x(k)$  ifadesi Tablodan bulunur.

Aşağıdaki örneklerde aksi söylenmedikçe  $T=1$  alınacaktır.  $X(z) = \frac{z}{z-2}$  ise  $x(k) = ?$  Tablodan

$$Z^{-1} \left\{ \frac{z}{z-p} \right\} = p^k$$

olduğundan  $x(k) = 2^k$  bulunur.

$$X(z) = \frac{z}{z+2} \text{ ise } x(k) = ?$$

Z dönüşüm tablosunu kullanarak

$$X(z) = \frac{z}{z+2} = \frac{z}{z-(-2)} \rightarrow x(k) = (-2)^k$$

bulunur.

$$X(z) = \frac{1}{z-2} \text{ ise } x(k) = ?$$

Burada  $Y(z) = zX(z)$  tanımı yapılır.  $Y(z) = \frac{z}{z-2}$  olur. Tablodan  $y(k) = 2^k$  bulunur.

Zamanda kaydırma teoremine göre :

$$\mathcal{Z}[f(k-n)] = z^{-n}F(z)$$

olacaktır.  $X(z) = z^{-1}Y(z)$  olduğundan kaydırma teoremi gereği  $x(k) = y(k-1)$  olacaktır. Dolayısıyla

$$x(k) = y(k-1) = 2^{k-1}$$

Olacaktır. Fakat burada dikkat edilmesi gereken bir husus vardır. ??[hbt]

| $k$ | $y(k) = 2^k$ | $x(k) = y(k-1) = 2^{k-1}$ |
|-----|--------------|---------------------------|
| -2  | 0            | 0                         |
| -1  | 0            | 0                         |
| 0   | 1            | 0                         |
| 1   | 2            | 1                         |
| 2   | 4            | 2                         |
| 3   | 8            | 4                         |
| 4   | 16           | 8                         |
| ..  | ..           | ..                        |

5mm  $y(k)$  isareti ve bir adim saga kaydirilmis  $x(k)$  isareti

$y(k)$  isareti  $k < 0$  icin sifira esit olan bir isarettir.  $y(k)$  isaretinin bir adim saga kaydirilmis sekli  $y(k-1)$  isaretidir. Yukaridaki bagintiya gore

$$x(0) = 2^{0-1} = 0.5$$

olmalıdır. Halbuki Tablo(ref: xq7t57)  $y(k)$ den goruldugu gibi  $y(k)$ nin bir adim saga kaydirilmis seklinden hesaplanan  $x(0) = 0$  dir, ve dogrusu da budur. Dolayisiyla  $x(k)$  bagintisini yazarken

$$x(k) = y(k-1) = 2^{k-1} \quad k > 0 \quad \text{icingecerli}$$

sekinde belirtilmelidir.

## Payi paydaya bolme

$Z$  domenindeki bir ifade genelde iki polinomun orani sekinde verilir. Pay polinomu paydaya bolunup bolum  $z^{-1}$ rin kuvvetleri cinsinden elde edilirse ters  $Z$  donusumu icin yeni bir yontemi uygulayabiliriz. Bir ornek uzerinde bu yontemi aciklayalim.

$$X(z) = \frac{10z + 5}{z^2 - 1.2z + 0.2}$$

Payi paydaya asagidaki sekilde bolelim.

$$X(z) = \frac{10z + 5}{z^2 - 1.2z + 0.2} = 10z^{-1} + 17z^{-2} + 18.4z^{-3} + 18.68z^{-4} + \dots +$$

$Z$  donusum formulu

$$X(z) = \sum_{k=0}^{\infty} x(kT)z^{-k} = x(0)z^0 + x(T)z^{-1} + x(2T)z^{-2} + x(3T)z^{-3} + x(4T)z^{-4} + \dots$$

idi. Ornekteki degerleri formuldeki degerlere benzetirsek.

$$x(0)z^0 + x(T)z^{-1} + x(2T)z^{-2} + x(3T)z^{-3} + x(4T)z^{-4} + \dots =$$

$$0 z^0 + 10 z^{-1} + 17z^{-2} + 18.4z^{-3} + 18.68z^{-4} + \dots$$

Buradan

$$x(0) = 0, \quad x(T) = 10, \quad x(2T) = 17, \quad x(3T) = 18.4, \quad x(4T) = 18.68 \dots$$

elde edilir.

Bu sekilde hesaplanan terim sayisinin bolumun devam ettigi yere kadar olacagi aciktir.

## Numerik Yontemler

$X(z)$  genellikle iki polinomun orani seklinde verildiginden  $X(z)$  ifadesi fark denklemleri haline getirilip numerik cozum yapilarak  $x(k)$  hesaplanabilir.

$$x(z) = \frac{a_0 + a_1z + a_2z^2 + a_3z^3 + a_4z^4 + \dots}{b_0 + b_1z + b_2z^2 + b_3z^3 + b_4z^4 + \dots}$$

xq7f77

Seklinde verilsin.

$$\mathcal{Z}[\delta(t)] = 1 = \Delta(z)$$

oldugundan (ref: xq7f77) esitliginin her iki tarafini  $\Delta(z)$  (1) ile carpalim.

$$x(z) = \frac{a_0 + a_1z + a_2z^2 + a_3z^3 + a_4z^4 + \dots}{b_0 + b_1z + b_2z^2 + b_3z^3 + b_4z^4 + \dots} \Delta(z)$$

veya

$$b_0x(z) + b_1zx(z) + b_2z^2x(z) + b_3z^3x(z) + \dots$$

$$= a_0\delta(z) + a_1z\delta(z) + a_2z^2\delta(z) + a_3z^3\delta(z) + \dots$$

seklinde yazilabilir. Her iki tarafin terz  $Zx$  donusumu alinirsa:

$$b_0x(kT) + b_1x(kT + T) + b_2x(kT + 2T) + b_3x(kT + 3T) + \dots$$

$$= a_0\delta(kT) + a_1\delta(kT + T) + a_2\delta(kT + 2T) + a_3\delta(kT + 3T) + \dots$$

Tanim geregi  $\delta(1) = 0 \quad \delta(2) = 0 \quad \delta(3) = 0 \quad \dots \delta(n) = 0$  dir.

Tek tarafli  $Z$  donusumu ele alindigindan  $k < 0$  icin  $x(kT) = 0$  olmak zorundadir.

Yukaridaki sartlar kullanilarak denklem adim adim cozulur.

$$X(z) = \frac{10z + 5}{z^2 - 1.2z + 0.2}$$

$$X(z) = \frac{10z + 5}{z^2 - 1.2z + 0.2} = \frac{10z + 5}{z^2 - 1.2z + 0.2} \delta(z)$$

$$x(z)(z^2 - 1.2z + 0.2) = (10z + 5)u(z)$$

$$x(kT + 2T) = 1.2x(kT + T) - 0.2x(kT) + 10\delta(kT + T) + 5\delta(kT)$$

**Not: Kolaylik icin  $T = 1$  alinacak. Eger  $T \neq 1$  ise o zaman t eksenini olceklenererek sonuclar bulunur.** Denklemde  $x(0)$  degerini bulmak icin  $k = -2$  koymalimiz.  $k = -2$



koyarsak

$$x(-2+2) = 1.2x(-2+1) - 0.2x(-2) + 10\delta(-2+1) + 5\delta(-2) \Rightarrow$$

$$x(0) = 1.2x(-1) - 0.2x(-2) + 10\delta(-1) + 5\delta(-2)$$

$x(-2) = 0$   $x(-1) = 0$   $\delta(-1) = 0$   $\delta(-2) = 0$  olduğundan degerler yerine konulursa

$$x(0) = 0$$

bulunur. Denklemdede  $k = -1$  konursa

$$x(1) = 10$$

elde edilir. Benzer sekillerde  $k = 0, k = 1, k = 2, \dots$  koyarak

$x(2) = 17, x(3) = 18.4, x(4) = 18.68, \dots$  degerleri hesaplanabilir. Basit bir bilgisayar programi ile  $x(k)$ 'nin istenildigi kadar terimi hesaplanabilir.

## Rezidu Yontemi

Rezidu yontemi  $X(z)$  herhangi bir formda olmasi halinde gecerlidir. (ref: xq7f71) de verilen ters  $Z$  donusum formulu

$$x(k) = \frac{1}{2\pi j} \oint_C X(z)z^{k-1} dz \quad \text{ref: xq7f71}$$

sekinde idi. Burada  $C$  bolgesi  $X(z)$ 'nin yakinsaklik bolgesi icinde bulunan merkezi orijinde olan bir cemberdir. Kompleks duzlemde integralin anlami ve integralin rezidu yontemiyle hesabi Ek-ref: appx31 de verilmistir. Buna gore yukaridaki integralin degeri

$$x(k) = [z^{n-1}X(z)]'$$

bagintisi ile hesaplanir.

$$X(z) = \frac{z}{z^2 + 0.5z + 0.06}$$

gore bu  $x(k)$  isaretini bulun.

**Cozum:**

$$Y(z) = z^{k-1}X(z) = \frac{z^{k-1}z}{z^2 + 0.5z + 0.06} = \frac{z^k}{(z + 0.3)(z + 0.2)}$$

$k \geq 0$  icin  $Y(z)$ 'nin iki kutbu var. Iki kutbun rezidulerini hesaplayalim.

$$R_1 = (z + 0.3) \frac{z^k}{(z + 0.3)(z + 0.2)} \Big|_{z=-0.3} = \frac{z^k}{(z + 0.2)} \Big|_{z=-0.3} = -10(-0.3)^k$$

$$R_2 = (z + 0.2) \frac{z^k}{(z + 0.3)(z + 0.2)} \Big|_{z=-0.2} = \frac{z^k}{(z + 0.3)} \Big|_{z=-0.2} = 10(-0.2)^k$$

O halde

$$x(k) = R_1 + R_2 = -10(-0.3)^k + 10(-0.2)^k \quad k \geq 0 \text{ icingecerli}$$

# Fark Denklemlerinin Z donusumu Yardimiyla Cozumu

dddd

## Laplas Donusumu ve Furier Donusumu Arasindaki Bagintilar

Laplas ve Furier donusumleri arasindaki bagintiya girmeden once bir konunun kisaca aydinlatilmasi faydalidir.

$X(s) = \frac{P(s)}{Q(s)}$  terimi bir sisteme iliskin transfer fonksiyonu olabilecegi gibi bir isaretin Laplas donusumu de olabilir. Eger  $X(s)$  bir isarete ait ise  $X(s)$ 'nin ters Laplas donusumu alinarak elde edilen  $x(t)$  isaretin zaman domenindeki karsiligidir. Eger  $X(s)$  bir sisteme ait transfer fonksiyonu ise  $x(t)$  o sistemin girisine birim impuls uygulandiginda sistemin cikisinin zaman domenindeki ifadesini verir. Bunun gibi bir  $X(jw)$  ifadesi bir isaretin Furier donusumu olabilecegi gibi bir sisteme ait frekans domenindeki transfer fonksiyonu da olabilir.

Laplas donusumu ve Furier donusumu arasindaki baginti en kolay olarak (ref: sss) ile verilen ters Laplas ve (ref: fff) ile verilen ters Furier donusum bagintilarini inceleyerek bulunabilir.

$$x(t) = \frac{1}{2\pi j} \int_{c-j\infty}^{c+j\infty} e^{st} X(s) ds \quad \text{xq7fw11}$$

$$x(t) = \frac{1}{2\pi} \int_{-\infty}^{\infty} e^{j\omega t} X(j\omega) d\omega \quad \text{xq7fw13}$$

(ref: xq7fw11) bagintisinda  $s$  yerine  $s = j\omega$  koyayim. Bu durumda  $ds = j d\omega$  ve integral sinirlari da

$$c - j\infty = j\omega \rightarrow \omega = \frac{c}{j} - \infty \quad c + j\infty = j\omega \rightarrow \omega = \frac{c}{j} + \infty$$

sekinde olacaktır.

$$x(t) = \frac{1}{2\pi j} \int_{\frac{c}{j}-\infty}^{\frac{c}{j}+\infty} e^{j\omega t} X(j\omega) j d\omega \quad \text{xq7fw15}$$

(ref: xq7fw15) bagintisinda eger  $c = 0$  alinirsa (ref: xq7fw15) ile (ref: xq7fw13) ayni olmaktadır. Su halde bir  $X(s)$  fonksiyonunun ters Laplas donusumu alinirken eger  $c = 0$  alinabiliyorsa boyle bir fonksiyon sonucu elde edilecek  $x(t)$ 'nin Furier donusumunu bulmak icin  $X(s)$  fonksiyonunda  $s$  yerine  $j\omega$  koymak yeterlidir. Ote yandan (ref: jiji)'inci bolumde incelendigi gibi  $c$  keyfi sabittir, saglamasi gereken sart ise  $X(s)$  fonksiyonunun butun kutuplarinin tamaminin sekil(ref: xq7fsw53) de gosterilen  $c$  dogrusunun sol tarafinda kalmasidir.

f?igure[hbt] reel-sanal eksen  $X(s)$ 'nin butun kutuplari solda

$c = 0$  olma sarti  $X(s)$  transfer fonksiyonunun kutuplarinin tamaminin sanal eksenin solunda kalmasi anlamina geldigi aciktir. Yani  $X(s)$  ile verilen sistemin (isaretin) asimtotik kararli olmasi demektir. Kisaca Eger bir sistem asimtotik kararli ise ( bir isaret sonumlu ise) o sisteme (o isarete) iliskin  $X(s)$  fonksiyonunda  $s = jw$  konarak O sisteme (o isarete) iliskin Furier donusumu elde edilebilir.  $X(s) = \frac{e^{-2s}(s+1)(s-2)}{(s+3)(s+4)(s^2+2s+2)}$  fonksiyonunun kutuplarini kompleks duzlemde gosterin,  $x(t)$ 'nin Furier donusumu  $X(s)$  ifadesinde  $s = jw$  konularak bulunabilirmi?

**Cozum::**  $X(s)$  nin  $s = -3, s = -2, s = -1 - j, s = -1 + j$ 'de olmak uzere 4 kutbu vardir.

$X(s)$  nin  $s = -3, s = -2, s = -1 - j, s = -1 + j$ 'deki kutuplari Sekil (ref: xq7fsw55)de gosterildigi gibi bu kutuplarin tamamı sanal eksenin solundadir. Dolayisiyla bu sisteme ait Furier donusumu  $X(jw) = \frac{e^{-2jw}(jw+1)(jw-2)}{(jw+3)(jw+4)((jw)^2+2jw+2)}$  seklinde olacaktır.

$X(s) = \frac{s}{(s^2+4)}$  fonksiyonuna ait  $x(t)$ 'nin Furier donusumu  $X(s)$  ifadesinde  $s = jw$  konularak bulunabilirmi?

**Cozum::**  $X(s)$  nin  $s = -2j, s = 2j$ 'de iki kutbu vardir. Kutuplar sanal eksen uzerinde oldugundan (sanal eksenin solunda olmadiklarindan)  $X(jw)$   $s = jw$  konarak hesaplanamaz.

Bir sistemin transfer fonksiyonu  $X(s) = \frac{s}{(s^2+4)}$  seklindedir. a) Bu sisteme iliskin birim impuls cevabini bulun. b)  $\lim_{t \rightarrow \infty} x(t) = ?$  degerini hesaplayin. c) Giriste birim impuls verildigi halde cikisin  $t \rightarrow \infty$  icin sifir olmamasinin nedeni nedir.

Su ana kadar, Furier donusumu, Laplas donusumu, Z donusumu konularini gorduk. Bu donusumler esasen birbiriyle iliskilidir. kutup ve sifir kavrami  $z = e^{sT}$  bagintisindan  $S$  nin negatif reel kısmi birini mdaireye karsilik gelir.

Furier ile laplasin iliskisi .....integral

$H(s), H(z), H(jw), H(e^{jwT})$  iliskileri.

ortak yonler hepsi lineer

hepsinin donusum ve ters donusum bagintilarini yaz

sistem kararli ise  $h(jw) = H(s)$   $H(e^{jwT}) = H(z)$

$H(z) = H(s) | z = e^{sT}$  fakat tersi her zaman olmayabilir.  $H(s)$  kompleks cikar bir anlami olmaz Furier donusumu sadece sinuzoidal girisler icin  $H(s)$  ve  $H(z)$  genel

\*\*\*\*\*

qq11  $\mathcal{L}[x(t)] = X(s)$  ise  $\mathcal{L}[x(t)e^{at}] = X(s - a)$  olduğunu gösteriniz. (?? özellik)

**Cozum:**

$$\mathcal{L}[x(t)] = \int_0^{\infty} e^{-st} x(t) dt = X(s)$$

oldugundan

$$\mathcal{L}[x(t)e^{at}] = \int_0^{\infty} e^{-st} x(t) e^{at} dt = \int_0^{\infty} e^{-(s-a)t} x(t) dt = X(s - a)$$

olacağı açıktır.

qq12  $\mathcal{L}[x(t)] = X(s)$  ise  $\mathcal{L}[tx(t)] = -\frac{dX(s)}{ds}$  olduğunu gösteriniz.

**Cozum:**

$$X(s) = \mathcal{L}[x(t)] = \int_0^{\infty} e^{-st} x(t) dt$$

oldugundan

$$\begin{aligned} \frac{dX(s)}{ds} &= \frac{d}{ds} \int_0^{\infty} e^{-st} x(t) dt = \int_0^{\infty} \frac{d}{ds} (e^{-st} x(t)) dt \\ &= \int_0^{\infty} -te^{-st} x(t) dt = -\int_0^{\infty} e^{-st} (tx(t)) dt = -\mathcal{L}[tx(t)] \end{aligned}$$

olacaktır.

qq13  $\mathcal{L}[x(t)] = X(s)$  ise  $\mathcal{L}\left[\frac{dx(t)}{dt}\right] = sX(s) - x(0)$  olduğunu gösteriniz.

**Cozum:**

$$\begin{aligned} \mathcal{L}\left[\frac{dx(t)}{dt}\right] &= \int_0^{\infty} e^{-st} \frac{dx(t)}{dt} dt = \lim_{P \rightarrow \infty} \int_0^P e^{-st} \frac{dx(t)}{dt} dt \\ u &= e^{-st}, \quad du = -se^{-st}, \quad dv = \frac{dx(t)}{dt} dt, \quad v = x(t) \end{aligned}$$

tanımı yapıp kısmi integrasyon uygulanırsa

$$\begin{aligned} \mathcal{L}\left[\frac{dx(t)}{dt}\right] &= \lim_{P \rightarrow \infty} \left( e^{-st} x(t) \Big|_0^P - (-s) \int_0^P e^{-st} x(t) dt \right) \\ &= \lim_{P \rightarrow \infty} \left( e^{-sP} x(P) - x(0) + s \int_0^P e^{-st} x(t) dt \right) \end{aligned}$$

$e^{-\infty} = 0$  olduğundan Laplas dönüşümü alınabilen bir fonksiyon için  $\lim_{P \rightarrow \infty} e^{-sP} x(P) = 0$  olmak zorundadır. Dolayısıyla

$$\mathcal{L}\left[\frac{dx(t)}{dt}\right] = s \int_0^{\infty} e^{-st} x(t) dt - x(0) = sx(s) - x(0)$$

olarak elde edilir.

qs50  $x_1(t) = e^{-3t} \sin(5t)$ ,  $x_2(t) = e^{-3t} \cos(5t)$ ,  $x_3(t) = e^{-3t}(10 \sin(5t) + 20 \cos(5t))$  ifadelerinin Laplas donusumlerini bulun.

**Cozum:** Laplas donusum tablosundan

$$\mathcal{L}[\sin(5t)] = \frac{5}{s^2 + 25} \quad \mathcal{L}[\cos(5t)] = \frac{s}{s^2 + 25}$$

olarak bulunur. (C.P.ref: xq7pc11)'den

$$\mathcal{L}[e^{-3t} \sin(5t)] = \frac{5}{(s+3)^2 + 25} = \frac{5}{s^2 + 6s + 34}$$

$$\mathcal{L}[e^{-3t} \cos(5t)] = \frac{s+3}{(s+3)^2 + 25} = \frac{s+3}{s^2 + 6s + 34}$$

olarak bulunur. Laplas donusumunun lineerlik ozelligi kullanilarak

$$\mathcal{L}[e^{-3t}(10 \sin(5t) + 20 \cos(5t))] = 10 \frac{5}{s^2 + 6s + 34} + 20 \frac{s+3}{s^2 + 6s + 34} = \frac{20s + 110}{s^2 + 6s + 34}$$

bulunur.

qs51  $x(t) = t^2 e^{8t}$  olduguna gore  $X(s)$ 'yi hesaplayin.

**Cozum:** Tablodan  $Z(s) = \mathcal{L}[t^2] = \frac{2}{s^3}$  oldugu bulunarak,

$$X(s) = \mathcal{L}[t^2 e^{8t}] = Z(s-8) = \frac{2}{(s-8)^3}$$

sekinde olacagi acikca gorulur.

$\mathcal{L}[x(t)] = X(s)$  olduguna gore  $\mathcal{L}[x(at)] = \frac{1}{a} X\left(\frac{s}{a}\right)$  oldugunu gosterin.

**Cozum:**

$$\mathcal{L}[x(at)] = \int_0^{\infty} e^{-st} x(at) dt$$

$t = u/a$ ,  $dt = du/a$  donusumu yaparak

$$\mathcal{L}[x(at)] = \int_0^{\infty} e^{-s(u/a)} x(u) \frac{du}{a}$$

$$= \frac{1}{a} \int_0^{\infty} e^{-su/a} x(u) du$$

$$= \frac{1}{a} X\left(\frac{s}{a}\right)$$

qs53  $\mathcal{L}[t \sin(at)]$ 'yi hesaplayin.

**Cozum:**  $\mathcal{L}[\sin(at)] = \frac{a}{s^2+a^2}$  ve  $\mathcal{L}[tx(t)] = -\frac{dX(s)}{ds}$  oldugundan

$$[t \sin(at)] = -\frac{d}{ds} \left( \frac{a}{s^2+a^2} \right) = \frac{2as}{s^2+a^2}$$

olarak elde edilir.

$$X(s) = \frac{4s-16}{s^2-2s+5} \text{ ise } x(t) \text{ nedir.}$$

**Cozum:** Payda polinomunun kokleri hesaplanirsa  $s_1 = 1 + 2j$ ,  $s_2 = 1 - 2j$  olarak bulunur. O halde

$$X(s) = \frac{4s-16}{s^2-2s+5} = \frac{A}{s-(1+2j)} + \frac{B}{s-(1-2j)}$$

sekinde carpanlara ayrilabilir.  $A$  ve  $B$  katsayilari (Ek-ref: appx41) de gosterilen yontemlerle hesaplanirsa

$$A = 2 + 3j, \quad B = 2 - 3j$$

olarak bulunur. O halde

$$X(s) = \frac{4s-16}{s^2-2s+5} = \frac{2+3j}{s-(1+2j)} + \frac{2-3j}{s-(1-2j)}$$

olacaktır. Her terimin ayri ayri ters Laplas donusumu alinirsa

$$\begin{aligned} x(t) &= \mathcal{L}^{-1}[X(S)] = \mathcal{L}^{-1} \left[ \frac{2+3j}{s-(1+2j)} \right] + \mathcal{L}^{-1} \left[ \frac{2-3j}{s-(1-2j)} \right] \\ x(t) &= (2+3j)e^{(1+2j)t} + (2-3j)e^{(1-2j)t} \\ &= (2+3j)e^t e^{2jt} + (2-3j)e^t e^{-2jt} \\ &= e^t ((2+3j)e^{2jt} + (2-3j)e^{-2jt}) \\ &= e^t (2e^{2jt} + 2e^{-2jt} + 3je^{2jt} - 3je^{-2jt}) \\ &= e^t (2(e^{2jt} + e^{-2jt}) + 3j(e^{2jt} - e^{-2jt})) \\ &= e^t \left( 4 \frac{e^{2jt} + e^{-2jt}}{2} + 3j 2j \frac{e^{2jt} - e^{-2jt}}{2j} \right) \\ &= e^t (4 \cos(2t) - 6 \sin(2t)) \end{aligned}$$

olarak bulunur.

Simdi problemi baska bir yontemle cozelim. Payda polinomunun kokleri kompleks oldugundan  $x(t)$ 'nin sinuzoidal terimler ihtiva edecegi aciktir.

$$\mathcal{L}^{-1} \left[ \frac{a}{(s+a)^2 + b^2} \right] = e^{-at} \sin(bt) \quad \mathcal{L}^{-1} \left[ \frac{s+a}{(s+a)^2 + b^2} \right] = e^{-at} \cos(bt)$$

oldugundan verilen ifadeyi bu formlara benzetmeye calisalim.  $X(s)$ 'nin paydasinin yukaridaki forma benzemesi icin

$$(s + a)^2 + b^2 = s^2 + 2as + a^2 + b^2 = s^2 - 2s + 5$$

olmalıdır. Buradan acikca gorulecegi gibi

$$2a = -2 \rightarrow a = -1, \text{ ve } a^2 + b^2 = 5 \rightarrow b = 2$$

olmalıdır.  $x(t)$  ifadesi

$$\mathcal{L}^{-1}\left[\frac{-1}{(s-1)^2 + 2^2}\right] = e^t \sin(2t) \quad \mathcal{L}^{-1}\left[\frac{s-1}{(s-1)^2 + 2^2}\right] = e^t \cos(2t)$$

terimlerini icinde bulunduracaktır. O halde  $X(s)$  ifadesini yukaridaki bileşenler cinsinden yazmak gerekir.

$$X(s) = \frac{4s - 16}{s^2 - 2s + 5} = \frac{4s - 4 - 12}{s^2 - 2s + 5} = 4 \frac{(s-1)}{(s-1)^2 + 2^2} - 6 \frac{2}{(s-1)^2 + 2^2}$$

$X(s)$ 'nin ters Laplas donusumu alinirsa

$$x(t) = e^t(4 \cos(2t) - 6 \sin(2t))$$

olarak bulunur.

$$\text{qq21 } x(s) = \frac{s}{s+a} \text{ ise } x(t) = ?$$

**Cozum:**  $\mathcal{L}[e^{-at}] = \frac{1}{s+a}$  ve  $s(X(s) - x(0)) = \frac{d}{dt} x(t)$  bagintilari kullanilarak

$$\mathcal{L}^{-1}\left[s\left(\frac{1}{s+a}\right)\right] - e^{-a \cdot 0} = \frac{d}{dt} e^{-at}$$

$$\mathcal{L}^{-1}\left[s \frac{1}{s+a}\right] = \frac{d}{dt} e^{-at} + 1$$

$$\mathcal{L}^{-1}\left[\frac{s}{s+a}\right] = -ae^{-at} + 1$$

olarak bulunur.

$$\text{qq14 } X(s) = \frac{12s^3 - 14s^2 + 152s - 294}{s^4 - 6s^3 + 42s^2 - 78s + 145} \text{ ise } x(t) \text{ nedir.}$$

**Cozum:** Payda polinomunun kokleri hesaplanirsa

$$s_1 = 1 + 2j, \quad s_2 = 1 - 2j, \quad s_3 = 2 + 5j, \quad s_4 = 2 - 5j$$

olarak bulunur. O halde

$$\begin{aligned} X(s) &= \frac{12s^3 - 14s^2 + 152s - 294}{s^4 - 6s^3 + 42s^2 - 78s + 145} \\ &= \frac{A}{s - (1 + 2j)} + \frac{B}{s - (1 - 2j)} + \frac{C}{s - (2 + 5j)} + \frac{D}{s - (2 - 5j)} \end{aligned}$$

sekinde carpanlara ayrilabilir.  $A, B, C, D$  katsayilari hesaplanirsa

$$A = 2 + 3j, \quad B = 2 - 3j, \quad C = 4 - 5j, \quad D = 4 + 5j$$

olarak bulunur. Bu adimdan sonraki kisim (C.P.ref: xq7pc153)'de oldugu gibi iki degisik yontemle yapilabilir.

Birinci yontemde (C.P.ref: xq7pc153)'de oldugu gibi  $A, B, C, D$  katsayilari yerine konur

ve her terimin ayri ayri ters Laplas donusumu alinir.

$$X(s) = \frac{2 + 3j}{s - (1 + 2j)} + \frac{2 - 3j}{s - (1 - 2j)} + \frac{4 - 5j}{s - (2 + 5j)} + \frac{4 + 5j}{s - (2 - 5j)}$$

$$x(t) = (2 + 3j)e^{(1+2j)t} + (2 - 3j)e^{(1-2j)t} + (4 - 5j)e^{2+5j)t} + (4 + 5j)e^{2-5j)t}$$

Daha sonra reel ve sanal kisimler uygun sekilde guruplandirilerek sinuslu ve kosinuslu terimler elde edilir.

$$x(t) = e^t(4 \cos(2t) - 6 \sin(2t)) + e^{2t}(8 \cos(5t) + 10 \sin(5t))$$

olarak bulunur

$X(s)$ 'nin payi ve paydasi reel katsayili oldugundan elde edilecek  $x(t)$ 'deki kompleks degisken  $j$  carpani daima yok edilir ve  $x(t)$  hicbir zaman  $j$  carpani bulundurmaz.

Ikinci yontemde kompleks eslenik kokler birlestirilerek  $X(s)$  iki terim gibi dusunulur.

$$\begin{aligned} X(s) &= \left( \frac{2 + 3j}{s - (1 + 2j)} + \frac{2 - 3j}{s - (1 - 2j)} \right) + \left( \frac{4 - 5j}{s - (2 + 5j)} + \frac{4 + 5j}{s - (2 - 5j)} \right) \\ &= \frac{4s - 16}{s^2 - 2s + 5} + \frac{8s + 34}{s^2 - 4s + 29} \end{aligned}$$

Tipki (C.P.ref: xq7pc153)'de oldugu gibi iki terimin ters Laplas donusumleri alinir. birinci terim (C.P.ref: xq7pc153)'de oldugu gibi ikinci terim

$$8 \frac{s - 2}{(s - 2)^2 + 5^2} + 10 \frac{5}{(s - 2)^2 + 5^2}$$

haline getirilir. Sonucta  $x(t)$  fonksiyonu

$$x(t) = e^t(4 \cos(2t) - 6 \sin(2t)) + e^{2t}(8 \cos(5t) + 10 \sin(5t))$$

olarak elde edilir.

qq15  $X(s) = \frac{20s^2 + 5s - 2}{s^3(s+2)}$  ise  $x(t)$  nedir.

**Cozum:** Payda polinomunun kokleri  $s_1 = -1, s_2 = 0, s_3 = 0, s_4 = 0$  seklindedir. Yani  $s = 0$  da 3 katli kok vardir. O halde  $X(s)$  ifadesi

$$X(s) = \frac{20s^2 + 5s - 2}{s^3(s + 2)} = \frac{A}{s + 2} + \frac{B}{s} + \frac{C}{s^2} + \frac{D}{s^3}$$

sekinde basit kesirler halinde yazilabilir.  $A, B, C, D$  katsayilari hesaplanirsa

$$A = -9, \quad B = 9, \quad C = 2, \quad D = 1$$

olarak bulunur. O halde  $X(s)$  fonksiyonu

$$X(s) = \frac{-9}{s + 2} + \frac{9}{s} + \frac{2}{s^2} + \frac{1}{s^3}$$

sekinde olacaktir. Laplas donusumleri tablosuna bakarak

$$\mathcal{L}^{-1}\left[\frac{1}{s}\right] = u(t), \quad \mathcal{L}^{-1}\left[\frac{1}{s^2}\right] = t, \quad \mathcal{L}^{-1}\left[\frac{1}{s^3}\right] = \frac{t^2}{2}$$

oldugu gozonune alinip  $X(s)$ 'nin ters Laplas donusumu alinirsa



$$x(t) = -9e^{2t} + 9u(t) + 2t + \frac{1}{2}t^2$$

elde edilir.

qq16  $X(s) = \frac{7s^4+36s^3+41s^2-2s-1}{s^5+4s^4+s^3-10s^2-4s+8}$  ise  $x(t)$  nedir.

**Cozum:** Onceki problemlere benzer sekilde  $X(s)$  fonksiyonu

$$X(s) = \frac{7s^4 + 36s^3 + 41s^2 - 2s - 1}{s^5 + 4s^4 + s^3 - 10s^2 - 4s + 8}$$

$$= \frac{2}{s+2} + \frac{4}{(s+2)^2} + \frac{-1}{(s+2)^3} + \frac{5}{s-1} + \frac{3}{(s-1)^2}$$

sekinde yazilabilir.  $\frac{1}{s}$ ,  $\frac{1}{s^2}$ ,  $\frac{1}{s^3}$  fonksiyonlariinin ters Laplas donusumleri (C.P.ref: xq7pc171)de verilmisti.

$$\mathcal{L}[e^{at}x(t)] = X(s-a)$$

oldugu gozoune alinirsa

$$\mathcal{L}^{-1}\left[\frac{1}{(s-1)^2}\right] = te^t \quad \mathcal{L}^{-1}\left[\frac{1}{(s+2)^2}\right] = te^{-2t} \quad \mathcal{L}^{-1}\left[\frac{1}{(s+2)^3}\right] = \frac{1}{2}t^2e^{-2t}$$

olarak bulunur. Sonuc olarak  $x(t)$  fonksiyonu

$$x(t) = 2e^{-2t} + 4te^{-2t} + -\frac{1}{2}t^2e^{-2t} + 5e^t + 3te^t$$

sekinde elde edilir.

qq17  $X(s) = \frac{4s^3-16s^2-4s-64}{s^4-4s^3+14s^2-20s+25}$  ise  $x(t)$  nedir.-

**Cozum:** Payda polinomunun kokleri hesaplanirsa

$$s_1 = 1 + 2j, \quad s_2 = 1 - 2j \quad s_3 = 1 + 2j, \quad s_4 = 1 - 2j$$

olarak bulunur. O halde

$$X(s) = \frac{4s^3 - 16s^2 - 4s - 64}{s^4 - 4s^3 + 14s^2 - 20s + 25}$$

$$= \frac{A}{s - (1 + 2j)} + \frac{A^*}{s - (1 - 2j)} + \frac{B}{[s - (1 + 2j)]^2} + \frac{B^*}{[s - (1 - 2j)]^2}$$

sekinde carpanlara ayrilabilir.  $A$  ve  $B$  katsayilari (Ek-ref: appx41) de gosterilen yontemlerle hesaplanirsa

$$A = 2 + 3j, \quad B = 4 + 5j;$$

olarak bulunur ve  $X(s)$  ifadesi

$$X(s) = \frac{2 + 3j}{s - (1 + 2j)} + \frac{2 - 3j}{s - (1 - 2j)} + \frac{4 + 5j}{[s - (1 + 2j)]^2} + \frac{4 - 5j}{[s - (1 - 2j)]^2}$$

sekinde olacaktir. Ilk iki terimin ters Laplas donusumu (C.P.ref: xq7pc153)de oldugu gibi hesaplanir Son iki terimin ters Laplas donusumu

$$\mathcal{L}^{-1}\left[\frac{1}{(s-a)^2}\right] = e^{at}$$

bagintisi geregi

$$\mathcal{L}^{-1}\left[\frac{1}{(s-(1+2j))^2}\right] = e^{(1+2j)t}$$

$$\mathcal{L}^{-1}\left[\frac{1}{(s-(1-2j))^2}\right] = e^{(1-2j)t}$$

sekinde hesaplanir. Bu degerler yerine konulur (C.P.ref: xq7pc153)de oldugu gibi ustel ifadeler sinuzoidal ifadelere donusturulurse

$$x(t) = e^t(4 \cos(2t) - 6 \sin(2t)) + te^t(8 \cos(2t) - 10 \sin(2t))$$

olarak bulunur.

\*\*\*\*\*

qq18  $X(s) = \frac{6}{s+2} + \frac{10}{s-5} + \frac{15}{s^2+4} + \frac{20s}{s^2+25}$  ise  $x(t)$  nedir.

**Cozum:**

$$x(t) = \mathcal{L}\left[\frac{6}{s+2}\right] + \mathcal{L}\left[\frac{10}{s-5}\right] + \mathcal{L}\left[\frac{15}{s^2+4}\right] + \mathcal{L}\left[\frac{20s}{s^2+25}\right]$$

$$x(t) = 6\mathcal{L}\left[\frac{1}{s+2}\right] + 10\mathcal{L}\left[\frac{1}{s-5}\right] + \frac{15}{2}\mathcal{L}\left[\frac{2}{s^2+2^2}\right] + 20\mathcal{L}\left[\frac{s}{s^2+5^2}\right]$$

Laplas donusum tablosundan her terimin ayri ayri Laplas donusumleri yazilarak.

$$x(t) = 6e^{-2t} + 10e^{5t} + 7.5 \sin(2t) + 20 \cos(5t)$$

qq19  $x(t) = \cos(10t + \frac{\pi}{3})$  ise  $X(s)$ 'yi hesaplayin.

**Cozum:**

$$\begin{aligned} x(t) &= \cos(10t + \frac{\pi}{3}) = \cos(10t)\cos(\frac{\pi}{3}) - \sin(10t)\sin(\frac{\pi}{3}) \\ &= 0.5 \cos(10t) - \frac{\sqrt{3}}{2} \sin(10t) \end{aligned}$$

olarak yazilip Laplas donusumu alinirsa.

$$X(s) = \frac{0.5s}{s^2+100} - \frac{10\sqrt{3}/2}{s^2+100} = \frac{0.5s}{s^2+100} - \frac{5\sqrt{3}}{s^2+100}$$

elde edilir.

qq20  $X(s) = \frac{2s^2-4}{(s+1)(s-2)(s-3)}$  ise  $x(t)$ 'yi hesaplayin.

**Cozum:**  $X(s)$  ifadesini basit kesirlere acararak

$$X(s) = \frac{2s^2-4}{(s+1)(s-2)(s-3)} = \frac{A}{s+1} + \frac{B}{s-2} + \frac{C}{s-3}$$

Burada  $A, B, C$  katsayilari (Ek-ref: ek-basitkesir) de verilen metodlarla hesaplanirsa

$$A = -\frac{1}{6}, \quad B = -\frac{4}{3}, \quad C = \frac{7}{2}$$

olarak bulunur. Dolayisiyla

$$X(s) = \frac{-\frac{1}{6}}{s+1} + \frac{-\frac{4}{3}}{s-2} + \frac{\frac{7}{2}}{s-3}$$

olacaktır. Her terimin ayri ayri Laplas donusumu alinarak

$$x(t) = -\frac{1}{6}e^{-t} - \frac{4}{3}e^{2t} + \frac{7}{2}e^{3t}$$

elde edilir.

\*\*\*\*\*

\*\*\*\*\*

qw39  $X(s) = \frac{4s^2+21s-13}{s^3+2s^2-5s-6} = \frac{4s^2+21s-13}{(s+1)(s-2)(s+3)}$  ise  $x(t)$ 'yi rezidu yontemiyle hesaplayin.

**Cozum:**  $X(s)$  nin  $s = -1, s = 2, s = -3$ 'de uc tane kutbu vardir.

$e^{st}X(s)$  fonksiyonunun  $s = -1$  deki rezidusu

$$\begin{aligned} R_{-1} &= (s+1)e^{st}X(s)|_{s=-1} = (s+1)e^{st} \frac{4s^2+21s-13}{(s+1)(s-2)(s+3)} \Big|_{s=-1} \\ &= e^{st} \frac{4s^2+21s-13}{(s-2)(s+3)} \Big|_{s=-1} = e^{(-1)t} \frac{4(-1)^2+21(-1)-13}{(-1-2)(-1+3)} = e^{-t} \frac{-30}{-6} \\ &= 5e^{-t} \end{aligned}$$

sekinde hesaplanir.  $s = -3$  ve  $s = 2$  deki reziduler benzer sekilde hesaplanirsa

$$R_2 = 3e^{2t}, \quad R_{-3} = -4e^{-3t}$$

olarak bulunur. Sonuc olarak  $x(t)$  fonksiyonu elde dilen rezidulerin toplamidir.

$$x(t) = R_{-1} + R_2 + R_{-3} = 5e^{-t} + 3e^{2t} - 4e^{-3t}$$

qw41  $X(s) = \frac{1}{(s^2+1)^2}$  ise  $x(t)$ 'yi rezidu yontemiyle hesaplayin.

**Cozum:**

$$\frac{1}{(s^2+1)^2} = \frac{1}{[(s+j)(s-j)]^2} = \frac{1}{(s+j)^2(s-j)^2}$$

oldugundan  $X(s)$ 'nin  $s = j$ 'de  $s = -j$ 'de iki tane kutbu vardir ve her iki kutup da iki katlidir. Reziduler onceki problemlerde oldugu gibi hesaplanir. Koklerin kompleks olmasi herhangi bir degisiklik gerektirmez.  $s = j$ 'deki rezidusu

$$R_j = \lim_{s \rightarrow j} \frac{d}{ds} \left[ (s-j)^2 \frac{e^{st}}{(s+j)^2(s-j)^2} \right] = -\frac{1}{4}te^{jt} - \frac{1}{4}e^{jt}$$

sekinde hesaplanir. Benzer sekilde  $s = -j$  icin rezidu

$$R_{-j} = \lim_{s \rightarrow -j} \frac{d}{ds} \left[ (s+j)^2 \frac{e^{st}}{(s+j)^2 (s-j)^2} \right] = -\frac{1}{4} t e^{-jt} + \frac{1}{4} e^{-jt}$$

sekinde olacaktir.

## Cozumlu Problemler

$x(k) = \sin(bkT) u(kT)$  isaretinin  $\mathcal{Z}$  donusumunu hesaplayin.

**Cozum:**  $\sin(bkT)$  ifadesini

$$\sin(bkT) = \frac{1}{2j} (e^{jbkT} - e^{-jbkT})$$

sekinde ustel formda yazip (ref: xq7f57) bagintisini kullanarak problemi cozebiliriz.

$$\begin{aligned} X(z) &= \mathcal{Z}\{\sin(bkT)\} = \frac{1}{2j} \left( \frac{1}{1-e^{jbT}z^{-1}} - \frac{1}{1-e^{-jbT}z^{-1}} \right) \\ &= \frac{1}{2j} \frac{(e^{jbT}-e^{-jbT})z^{-1}}{1-(e^{jbT}+e^{-jbT})z^{-1}+z^{-2}} \\ &= \frac{\sin(bT)z^{-1}}{1-2z^{-1}\cos(bT)+z^{-2}} \end{aligned}$$

$$\mathcal{Z}[\sin(bkT)] = \frac{\sin(bT)z}{z^2 - 2z\cos(bT) + 1} \quad \#$$

$x(k) = \cos(bkT) u(kT)$  ise  $X(z) = ?$

**Cozum:** C.P.(ref: xq7c63) deki gibi

$$\cos(bkT) = \frac{1}{2} (e^{jbkT} + e^{-jbkT})$$

yazarak problemi cozebiliriz.

$$\begin{aligned} X(z) &= \mathcal{Z}[\cos(bkT)] = \frac{1}{2} \left( \frac{1}{1-e^{jbT}z^{-1}} + \frac{1}{1-e^{-jbT}z^{-1}} \right) \\ &= \frac{1}{2} \frac{2-(e^{jbT}+e^{-jbT})z^{-1}}{1-(e^{jbT}+e^{-jbT})z^{-1}+z^{-2}} \\ &= \frac{1-\cos(bT)z^{-1}}{1-2z^{-1}\cos(bT)+z^{-2}} \end{aligned}$$

$$\mathcal{Z}[\cos(bkT)] = \frac{z^2 - \cos(bT)z}{z^2 - 2z\cos(bT) + 1} \quad \#$$

$x(k) = e^{-akT} \sin(bkT) u(kT)$  ise  $X(z) = ?$

**Cozum:**  $\sin(bkT)$  terimini ustel formda yazalim.

$$\begin{aligned}
e^{-akT} \sin(bkT) &= \frac{1}{2j} (e^{-akT} e^{jbkT} - e^{-akT} e^{-jbkT}) \\
&= \frac{1}{2j} (e^{-(akT-jbkT)} - e^{-(akT+jbkT)})
\end{aligned}$$

$$\begin{aligned}
X(z) &= \frac{1}{2j} \left( \frac{1}{1-e^{-(aT-jbT)}z^{-1}} - \frac{1}{1-e^{-(aT+jbT)}z^{-1}} \right) \\
&= \frac{1}{2j} \frac{(e^{jbT}-e^{-jbT})e^{-aT}z^{-1}}{1-(e^{jbT}+e^{-jbT})e^{-aT}z^{-1}+e^{-2aT}z^{-2}} \\
&= \frac{e^{-aT} \sin(bT)z^{-1}}{1-2e^{-aT} \cos(bT)z^{-1}+e^{-2aT}z^{-2}} \\
&= \frac{e^{-aT} \sin(bT)z}{z^2-2e^{-aT} \cos(bT)z+e^{-2aT}}
\end{aligned}$$

$$\mathcal{Z}[e^{-akT} \sin(bkT)] = \frac{e^{-aT} \sin(bT)z}{z^2 - 2e^{-aT} \cos(bT)z + e^{-2aT}} \quad \#$$

$$x(k) = e^{-akT} \cos(bkT) u(kT) \text{ ise } X(z) = ?$$

**Cozum:** C.P.(ref: xq7c67) deki gibi islemler yapilarak cozum bulunur.

$$\begin{aligned}
X(z) &= \frac{1-e^{-aT} \cos(bT)z^{-1}}{1-2e^{-aT} \cos(bT)z^{-1}+e^{-2aT}z^{-2}} \\
&= \frac{1-e^{-aT} \cos(bT)z}{z^2-2e^{-aT} \cos(bT)z+e^{-2aT}}
\end{aligned}$$

$$\mathcal{Z}[e^{-akT} \cos(bkT) u(kT)] = \frac{1 - e^{-aT} \cos(bT)z}{z^2 - 2e^{-aT} \cos(bT)z + e^{-2aT}} \quad \#$$

$$X(z) = z^{-1} \text{ ise } x(k) = ?$$

$$\mathcal{Z}[1] = 1 \delta(k)$$

oldugundan

$$\mathcal{Z}[1 z^{-1}] = 1 \delta(k-1)$$

dir. Dolayisiyla

$$\mathcal{Z}^{-1}[z^{-1}] = \delta(k-1)$$

olacaktır.

$$X(z) = z^{-3} \text{ ise } x(k) = ?$$

C.P.(ref: xq7c414) deki gibi

$$x(k) = \delta(k-3)$$

bulunur.

$$X(z) = \frac{1}{(z-a)^2} \text{ ise } x(k) = ?$$

**Cozum:**

$$\mathcal{Z}[kx(k)] = -z \frac{d}{dz} X(z)$$

teoreminden faydalanabiliriz.

$$\mathcal{Z}[a^k] = \frac{z}{z-a}$$

oldugundan yukaridaki teorem geregi

$$\mathcal{Z}[ka^k] = -z \frac{d}{dz} \left[ \frac{z}{z-a} \right] = -z \frac{-a}{(z-a)^2} = \frac{az}{(z-a)^2}$$

olacaktır. Zamanda kaydirma teoremini uygulayarak

$$\mathcal{Z}[(k-1)a^{k-1}] = z^{-1} \frac{az}{(z-a)^2} = \frac{a}{(z-a)^2} \quad k = 1, 2, 3, \dots$$

elde edilir. Sonuc olarak

$$\mathcal{Z}^{-1} \left[ \frac{a}{(z-a)^2} \right] = (k-1)a^{k-1} \quad k > 0$$

olacaktır. O halde

$$\mathcal{Z}^{-1} \left[ \frac{1}{(z-a)^2} \right] = \frac{(k-1)a^{k-1}}{a} = (k-1)a^{k-2} \quad k > 0$$

elde edilir.

$$X(z) = \frac{z}{(z-a)^2} \quad x(k) = ?$$

Bir onceki probleme kaydirma teoremi uygulanirsa  $x(k) = ka^{k-1}$  bulunur.

$$X(z) = \frac{10z}{(z-1)(z-0.2)} \text{ ise } x(k) = ?$$

Bu tip problemlerde  $Y(z) = \frac{X(z)}{z}$  ifadesinden faydalanarak ters Z donusumunu hesaplamak daha kolaydir.  $Y(z)$  basit kesirlere ayrilirsa

$$Y(z) = \frac{X(z)}{z} = \frac{10}{(z-1)(z-0.2)} = \frac{A_1}{z-1} + \frac{A_2}{z-0.2}$$

elde edilir. Ek-ref: appx41'de verilen bagintilar yardimiyla  $A_1 = 12.5$   $A_2 = -12.5$  bulunur.

$$Y(z) = \frac{10}{(z-1)(z-0.2)} = \frac{12.5}{z-1} + \frac{-12.5}{z-0.2}$$

Buradan  $X(z)$  hesaplanir.

$$X(z) = zY(z) = \frac{12.5z}{z-1} + \frac{-12.5z}{z-0.2}$$

Z donusum tablosundan her terimin ayri ayri ters Z donusumunu alarak

$$x(k) = 12.5u(k) - 12.5(0.2)^k$$

bulunur.

$$X(z) = \frac{2z^3 + z}{(z-2)^2(z-1)} \text{ ise } x(k) = ?$$

Önceki problemlerde olduğu gibi  $\frac{X(z)}{z}$  çarpanlara ayrılır.

$$\frac{X(z)}{z} = \frac{2z^2 + 1}{z(z-2)^2(z-1)} = \frac{9}{(z-2)^2} + \frac{-1}{z-2} + \frac{3}{z-1}$$

Buradan  $X(z)$  elde edilir

$$X(z) = \frac{9z}{(z-2)^2} + \frac{-z}{z-2} + \frac{3z}{z-1}$$

ve  $x(k)$  C.P.(ref: xq7c417) de olduğu gibi hesaplanır.

$$x(k) = 9k2^{k-1} - 2^k + 3u(k)$$

$$X(z) = \frac{z}{z^2 + 2z + 5} \text{ ise } x(k) = ?$$

Payda polinomunun kökleri  $z_1 = -1 + j$   $z_2 = -1 - j$  dir.  $\frac{X(z)}{z}$  terimini çarpanlara ayırarak önceki problemlerdekine benzer yöntemle  $X(z)$  hesaplanabilir. Fakat burada

$$Z[e^{-akT} \sin(bkT)] = \frac{ze^{-aT} \sin(bT)}{z^2 - 2e^{-aT} \cos(bT)z + e^{-2aT}}$$

bağıntısını kullanarak da sonuca varabiliriz.

$$z^2 + 2z + 5 = z^2 - (2e^{-aT} \cos bT)z + e^{-2aT}$$

şeklinde düşünürsek.

$$5 = e^{-2aT} \Rightarrow e^{-aT} = \sqrt{5}$$

$$2 = -2e^{-aT} \cos bT \Rightarrow 2 = -2\sqrt{5} \cos bT \rightarrow \cos bT = \frac{-1}{\sqrt{5}}$$

$$\sin bT = \sqrt{1 - \cos^2 bT} = \sqrt{1 - \frac{1}{5}} = \frac{2}{\sqrt{5}}$$

değerlerini elde ederiz. Bu değerleri yukarıda yerine koyarak

$$Z^{-1} \left[ \frac{z}{z^2 + 2z + 5} \right] = Z^{-1} \left[ \frac{\frac{1}{2} \sqrt{5} \frac{2}{\sqrt{5}} z}{z^2 - 2 \sqrt{5} \frac{-1}{\sqrt{5}} z + 5} \right] = \frac{1}{2} (\sqrt{5})^{kT} \sin(2.034kT)$$

elde ederiz.

$$X(z) = \frac{1}{z^2 + 2z + 5} \text{ ise } x(k) = ?$$

**Çözüm:**

$$Y(z) = zX(z) = \frac{z}{z^2 + 2z + 5}$$

yazalım.  $\mathcal{Z}^{-1}Y(z)$  C.P.(ref: xq7c425) den

$$\mathcal{Z}^{-1}[Y(z)] = \frac{1}{2}(\sqrt{5})^{kT} \sin(2.034kT)$$

olarak bulunmuştur. O halde zamanda kaydırma teoremi gereği

$$\mathcal{Z}^{-1}[X(z)] = \mathcal{Z}^{-1}[z^{-1}Y(z)] \Rightarrow x(k) = y(k-1)$$

olacağından sonuç

$$x(k) = \frac{1}{2}(\sqrt{5})^{(k-1)T} \sin(2.034(k-1)T) \quad k = 1, 2, 3, 4, \dots \quad x(0) = 0 \text{ dir.}$$

şeklinde hesaplanır.

$$X(z) = \frac{z}{z^2 - 2z + 5} \quad \text{ise} \quad x(k) = ?$$

C.P(ref: xq7c423)'deki gibi benzetmeler yapılırsa.

$$5 = e^{-2aT} \Rightarrow e^{-aT} = \sqrt{5}$$

$$2 = 2e^{-aT} \cos bT \Rightarrow 2 = 2\sqrt{5} \cos b \rightarrow \cos bT = \frac{1}{\sqrt{5}}$$

$$\sin bT = \sqrt{1 - \cos^2 b} = \sqrt{1 - \frac{1}{5}} = \frac{2}{\sqrt{5}}$$

elde edilir. Bu değerler yerine konursa

$$x(k) = \frac{1}{2}(\sqrt{5})^{kT} \sin(1.104kT)$$

olarak hesaplanır.

$$X(z) = \frac{z^2 - z}{z^2 - 2z + 5} \quad x(k) = ?$$

$$\mathcal{Z}^{-1} \left[ \frac{z^2 - e^{-aT} \cos(bT)z}{z^2 - 2e^{-aT} \cos(bT)z + e^{-2aT}} \right] = e^{-akT} \cos(bkT) = (e^{-aT})^k \cos(bkT)$$

formülünü kullanabiliriz. Önceki problemdekine benzer şekilde benzetmeler yapılırsa.

$$e^{-aT} = \sqrt{5} \quad \cos bT = \frac{1}{\sqrt{5}} \quad bT = 1.107$$

$$X(z) = \frac{z^2 - z}{z^2 - 2z + 5} = \frac{z^2 - \sqrt{5} \frac{1}{\sqrt{5}} z}{z^2 - 2\sqrt{5} \frac{1}{\sqrt{5}} z + 5}$$

elde edilir. Buradan yukarıdaki tanım gereği

$$x(k) = (\sqrt{5})^{kT} \cos(1.107kT)$$

elde edilir.



$$X(z) = \frac{z-1}{z^2-2z+5} \quad x(k) = ?$$

$Y(z) = zX(z)$  tanimi yapilsin. (ref: xq7c427)inci problemden

$$y(k) = (\sqrt{5})^{kT} \cos(1.107kT)$$

olarak bulunmustu  $X(z) = z^{-1}Y(z)$  oldugundan  $x(k) = y(k-1)$  olacaktır. Dolayisiyla sonuc

$$x(k) = (\sqrt{5})^{(k-1)T} \cos(1.107(k-1)T) \quad k > 0 \text{ icin gecerli}$$

$$x(0) = 0$$

olacaktır.

$$X(z) = \frac{2z^2+7z+10}{z^2+3z+36} \quad x(k) = ?$$

paydanin kokleri kompleks oldugundan  $x(k)$  sinus ve kosinus terimleri bulunduracaktır.

$$z^2+3z+36 = z^2 - 2e^{-a}\cos(b)z + e^{-2a}$$

$$e^{-2a} = 36 \quad e^{-a} = 6 \quad \cos(b) = \frac{3}{-2 \cdot 6} = -\frac{1}{4} = -0.25$$

$$\sin(b) = \sqrt{1 - \left(\frac{1}{4}\right)^2} = \frac{\sqrt{15}}{4} \quad b = 104.47^\circ = 1.823 \text{radyan}$$

$e^{-a}$  ve  $\cos(b)$  terimleri belli iken  $e^{-ak} \cos(bk)$ ,  $e^{-ak} \sin(bk)$  terimlerinin  $\mathcal{Z}$  donusumlerinin sekillerine bir goz atalim.

$$\mathcal{Z}[6^k \cos(1.8235k)] = \frac{z^2+1.5z}{z^2+3z+36} = A(z) \quad \text{xq7f95}$$

$$\mathcal{Z}[6^k \sin(1.8235k)] = \frac{6 \frac{\sqrt{15}}{4}}{z^2+3z+36} = B(z) \quad \text{xq7f97}$$

Simdi  $X(z)$  terimini parcalari yukaridaki terimler olacak sekilde parcalara bolelim.

$$\begin{aligned} X(z) &= \frac{2z^2+7z+10}{z^2+3z+36} = 2 \frac{z^2+3.5z+5}{z^2+3z+36} \\ &= 2 \left[ \frac{z^2+1.5z}{z^2+3z+36} + \frac{2z}{z^2+3z+36} + \frac{5}{z^2+3z+36} \right] \\ &= 2 \left[ \frac{z^2+1.5z}{z^2+3z+36} + \frac{2 \frac{4}{\sqrt{15}} \frac{1}{6} \frac{\sqrt{15}}{4} 6z}{z^2+3z+36} + \frac{z^{-1} 5 \frac{4}{\sqrt{15}} \frac{1}{6} \frac{\sqrt{15}}{4} 6z}{z^2+3z+36} \right] \end{aligned}$$

Veya (ref: xq7f95, ref: xq7f97) deki tanımlarla

$$X(z) = 2 \left[ A(z) + 2 \frac{4}{\sqrt{15}} \frac{1}{6} B(z) + 5 \frac{4}{\sqrt{15}} \frac{1}{6} z^{-1} B(z) \right]$$

haline gelir.  $A(z)$  ve  $B(z)$  nin ters  $Z$  donusumleri (ref: xq7f95, ref: xq7f97) deki gibidir.  $z^{-1}B(z)$  nin terz  $Z$  donusumu ise  $B(z)$  nin ters  $Z$  donusumunun saga bir adim kaymis halidir. Dolayisiyla  $k=0$  icin

$$x(k) = 2 \left[ 6^k \cos(1.8235k) + 2 \frac{4}{\sqrt{15}} \frac{1}{6} 6^k \sin(1.8235k) \right]$$

$k > 0$  icin

$$x(k) = 2 \left[ 6^k \cos(1.8235k) + 2 \frac{4}{\sqrt{15}} \frac{1}{6} 6^k \sin(1.8235k) + 5 \frac{4}{\sqrt{15}} \frac{1}{6} 6^{k-1} \sin(1.8235(k-1)) \right]$$

elde edilir. Veya iki baginti birlestirilirse

$$x(k) = 6^k 2 [\cos(1.8235k) + 0.3443 \sin(1.8235k) + 0.1434 \sin(1.8235(k-1))]$$

elde edilir.

$$x(z) = \frac{z}{z-1}$$

Onceki probleme benzer sekilde payi paydaya bolunurse.

$$x(z) = \frac{z}{z-1} = 1 + z^{-1} + z^{-2} + z^{-3} + z^{-4} + \dots = x(0)z^0 + x(T)z^{-1} + x(2T)z^{-2} + x(3T)z^{-2} + \dots$$

elde edilir. o halde

$$x(0) = 1, \quad x(T) = 1, \quad x(2T) = 1, \quad x(3T) = 1, \quad x(4T) = 1 \dots$$

elde edilir. Her yerde degeri 1 olan fonksiyon birim basamak fonksiyonudur. O halde

$$x(kT) = u(kT)$$

olacaktır.

$$x(z) = \frac{Te^{-aT}z}{(z - e^{-aT})^2} = \frac{Te^{-aT}z}{z^2 - 2e^{-aT}z + e^{-2aT}}$$

Onceki problemlere benzer sekilde payi paydaya bolunurse.

$$x(z) = Te^{-aT}z^{-1} + 2Te^{-2aT}z^{-2} + 3Te^{-3aT}z^{-3} + 4Te^{-4aT}z^{-4} + \dots$$

elde edilir.  $Zx$  donusum formulune benzetilirse.

$$\begin{aligned} x(z) &= Te^{-aT}z^{-1} + 2Te^{-2aT}z^{-2} + 3Te^{-3aT}z^{-3} + 4Te^{-4aT}z^{-4} + \dots \\ &= x(0)z^0 + x(T)z^{-1} + x(2T)z^{-2} + x(3T)z^{-3} + x(4T)z^{-4} + \dots \end{aligned}$$

Goruldugu gibi  $x(0) = 0$   $x(T) = Te^{-aT}$   $x(2T) = 2Te^{-2aT}$  ve  $n$ .inci terim  $nTe^{-naT}z^{-n}$  seklindedir. O halde genel terim ifadesi

$$x(kT) = kTe^{-kaT}$$

sekinde olacaktır.

$$X(z) = \frac{z}{z^2 + 0.5z + 0.06}$$

gore bu  $x(k)$  isaretini bulun.

O.P.(ref: xq7c87)de  $X(z)$ 'nin tek tarafli  $x(k)$ 'ya ait olmasi durumu incelenmisti.  $k \geq 0$  icin isaretin iki kutbu var ve bu kutuplar birim daire icinde. o halde

$Y(z) = z^{-k-1}X(z)$  nin yakinsaklik bolgesi birim dairenin icindedir. Integralin  $C$  egrisini birim daire kabul edebiliriz. Bu sartlar altinda  $k \geq 0$  icin isaretin  $Z$  donusumu

$$x(k) = -10(-0.3)^k + 10(-0.2)^k$$

sekinindedir. Tek tarafli donusumle ayni oldu (her zaman ayni olmak zorunda degil.)

$k < 0$  icin durumu inceleyelim.  $k = -1$  icin

$$Y(z) = z^{-k-1}X(z) = \frac{1}{z(z+0.3)(z+0.2)}$$

olur. Bu durumda  $Y(z)$ 'nin uc kutbu var. Bu kutuplardaki reziduler ise

$$R_1 = (z+0.3) \frac{1}{z(z+0.3)(z+0.2)} \Big|_{z=-0.3} = \frac{1}{z(z+0.2)} \Big|_{z=-0.3} = \frac{1}{(-0.3)(-0.1)} = \frac{100}{3}$$

$$R_2 = (z+0.2) \frac{1}{z(z+0.3)(z+0.2)} \Big|_{z=-0.2} = \frac{1}{z(z+0.3)} \Big|_{z=-0.2} = \frac{1}{(-0.2)(0.1)} = \frac{-100}{2}$$

$$R_3 = (z) \frac{1}{z(z+0.3)(z+0.2)} \Big|_{z=0} = \frac{1}{(z+0.2)(z+0.3)} \Big|_{z=0} = \frac{1}{(0.2)(0.3)} = \frac{100}{6}$$

Sonuc olarak

$$x(-1) = R_1 + R_2 + R_3 = \frac{100}{3} - \frac{100}{2} + \frac{100}{6} = 0$$

Benzer sekilde  $k = -2, k = -3, \dots$  icin reziduler hesaplanip  $x(-2), x(-3), x(-4), \dots$  degerleri bulunabilir.

$k < 0$  icin reziduleri yukaridaki gibi hesaplamak zaman alidir. Bunun yerine (ref: xq7f71) integralinin ozdesi olan

$$x(k) = \frac{1}{2\pi j} \oint_{C'} X(z^{-1})z^{-k-1} dz$$

xq7f84

integrali kullanilabilir. Burada  $C'$   $C$  cemberinin nokta nokta tersi alinarak elde edilen yeni bir cemberdir. Eger  $C$  cemberi birim daire alinirsa  $C'$  de birim daire olacaktır.

(ref: xq7f71) deki  $X(z)z^{k-1}$  nin birim daire disindaki kutuplari (ref: xq7f84) deki

$X(z^{-1})z^{-k-1}$  nin birim daire icindeki kutuplarına donusur. Dolayisiyla  $k < 0$  icin reziduler toplamini (ref: xq7f84) den hesaplayabiliriz.

$$X(z^{-1}) = \frac{z-1}{z^{-2} + 0.5z^{-1} + 0.06} = \frac{z}{1 + 0.5z + 0.06z^2}$$

oldugundan (ref: xq7f84) integrali

$$x(k) = \frac{1}{2\pi j} \oint_{C'} \frac{z}{1 + 0.5z + 0.06z^2} z^{-k-1} dz = \frac{1}{2\pi j} \oint_{C'} \frac{z^{-k}}{1 + 0.5z + 0.06z^2} dz$$

haline gelir.  $C'$  birim daire oldugundan ve birim daire icinde  $\frac{z^{-k}}{1+0.5z+0.06z^2}$  ifadesinin kutbu olmadigundan  $x(k) = 0$  olarak bulunur. Sonuc olarak

$$x(k) = 0$$

Not:  $k = 1, k = 2$  vererek reziduleri hesaplayin. Yukarida  $k \geq 0$  icin hesaplanan  $x(k) = -10(-0.3)^k + 10(-0.2)^k$  esitliginde  $k = 1, k = 2$  koyarak buldugunuz sonuclari karsilastirin.

$$X(z) = \frac{10}{(z-1)(z-2)}$$

gore bu  $x(k)$  isaretini rezidu yontemiyle bulun.

**Cozum:**  $x(k)$  tek tarafli bir isaret olduguna gore sadece  $k \geq 0$  icin reziduleri hesaplamamiz yeterlidir.  $k \geq 0$  icin butun reziduleri hesaplamamiz gerekir.

$$Y(z) = z^{k-1} X(z)$$

Tanimini yapalim  $k = 0, k = 1, k = 2$  icin  $Y(z)$  asagidaki sekelleri alir.

$$Y_0(z) = \frac{10}{z(z-1)(z-2)}, \quad Y_1(z) = \frac{10}{(z-1)(z-2)}, \quad Y_2(z) = \frac{10z}{(z-1)(z-2)}$$

sekilleri alir. Simdi teker teker Bu fonksiyonlari rezidulerini hesaplayalim.  $Y_0(z)$ 'nin  $z = 0, z = 1, z = 2$  de 3 tane kutbu var. Bu kutuplara iliskin reziduler

$$R_0 = 5, R_1 = -10, R_2 = 5$$

seklindedir. Dolayisiyla  $k = 0$  icin

$$x(0) = 5 - 10 + 5 = 0$$

olacaktır. Ote yandan  $Y_1(z)$  nin  $z = 1, z = 2$  de 2 tane kutbu var. Bu kutuplara iliskin reziduler

$$R_1 = -10, R_2 = 20$$

seklindedir. Dolayisiyla  $k = 1$  icin

$$x(1) = -10 + 20 = 10$$

olacaktır.  $k = 2, 3, 4, 5, \dots$  icin  $Y(z)$  nin kutbu ayni kalmaktadir. O halde  $k > 0$  icin  $k$ 'ya bagli genel terim hesaplayabiliriz.

$$Y(z) = \frac{10z^{k-1}}{(z-1)(z-2)}$$

reziduleri hesaplanirsa

$$R_1 = -10, R_2 = 102^{k-1}$$

bulunnur O halde

$$x(k) = -10 + 102^{k-1}, \quad k > 0 \text{ icingecerli}$$

bulunur.

|    | $f(t)$                         | $F(s)$                    |
|----|--------------------------------|---------------------------|
| 1  | <i>Birimimpuls</i> $\delta(t)$ | 1                         |
| 2  | <i>BirimBasamaku</i> $(t)$     | $\frac{1}{s}$             |
| 3  | $t$                            | $\frac{1}{s^2}$           |
| 4  | $t^n (n = 1, 2, 3..)$          | $\frac{n!}{s^{n+1}}$      |
| 5  | $e^{-at}$                      | $\frac{1}{s+a}$           |
| 6  | $te^{-at}$                     | $\frac{1}{(s+a)^2}$       |
| 7  | $t^n e^{-at} (n = 1, 2, 3..)$  | $\frac{n!}{(s+a)^{n+1}}$  |
| 8  | $\sin(pt)$                     | $\frac{p}{s^2+p^2}$       |
| 9  | $\cos(pt)$                     | $\frac{s}{s^2+p^2}$       |
| 10 | $e^{-at} \sin(pt)$             | $\frac{p}{(s+a)^2+p^2}$   |
| 11 | $e^{-at} \cos(pt)$             | $\frac{s+a}{(s+a)^2+p^2}$ |

Onemli Fonksiyonlarin Laplas Donusumleri

|                           |  |
|---------------------------|--|
| Lineerlik                 | $\mathcal{L}[af_1(t) + bf_2(t)] = aF_1(s) + bF_2(s)$   |
| Olçekleme                 | $\mathcal{L}[f(at)] = \frac{1}{a}F\left(\frac{s}{a}\right)$  |
| $s$ doneminde kaydırma    | $\mathcal{L}[f(t)e^{-at}] = F(s + a)$  |
| $t$ doneminde kaydırma    | $\mathcal{L}[f(t - a)u(t - a)] = e^{-as}F(s)$  |
| $s$ doneminde turev       | $\mathcal{L}[tf(t)] = -\frac{dF(s)}{ds}$   |
| $s$ doneminde integral    | $\mathcal{L}\left[\frac{f(t)}{t}\right] = \int_s^\infty F(s)ds$  |
| $t$ doneminde turev       | $\mathcal{L}\left[\frac{df(t)}{dt}\right] = sF(s) - sf(0)$ $\mathcal{L}\left[\frac{d^2f(t)}{dt^2}\right] = s^2F(s) - sf(0) - sf'(0)$ $\dots\dots\dots -sf^{(n-2)}(0) - f^{(n-1)}(0)$   |
| $t$ doneminde integral    | $\mathcal{L}\left[\int f(t)dt\right] = \frac{F(s)}{s} + \frac{f^{(-1)}}{s}$ $\mathcal{L}\left[\int \int \dots \int f(t)(dt)^n\right] = \frac{F(s)}{s^n} + \frac{f^{(-1)}}{s^{n-1}} + \frac{f^{(-2)}}{s^{n-2}}$ $\dots\dots\dots + \frac{f^{(-n+1)}}{s^2} + \frac{f^{(-n)}}{s}$ |
| $t$ doneminde konvolusyon | $\mathcal{L}[f_1(t) * f_2(t)] = F_1(s)F_2(s)$  |
| $s$ doneminde konvolusyon | $\mathcal{L}[f_1(t)f_2(t)] = F_1(s) * F_2(s)$  |
| Baslangic deger teoremi   | $f(0^+) = \lim_{s \rightarrow \infty} sF(s)$   |
| Son deger teoremi         | $\lim_{t \rightarrow \infty} f(t) = \lim_{s \rightarrow 0} sF(s)$ $ \lim_{t \rightarrow \infty} f(t)  < \infty \text{ ise gecerli}$  |

$$f'(0) = -\frac{df(t)}{dt} \Big|_{t=0} \quad f^{(k)}(0) = -s \frac{d^k f(t)}{dt^k} \Big|_{t=0}$$

$$f^{(-1)} = \left[ \int f(t) dt \right]_{t=0} \quad f^{(-k)} = \left[ \int \int \dots \int f(t) (dt)^k \right]_{t=0}$$

$$f_1(x) * f_2(x) = \int_0^\infty f_1(x-q) f_2(q) dq = \int_0^\infty f_1(q) f_2(x-q) dq \quad \text{Laplas Donusumunun Ozellikleri}$$

??

$$Z^{-1} \left\{ \frac{z}{z - e^{-aT}} \right\} = e^{-akT} = (e^{-aT})^k$$

$$T = 1 \text{ ise } Z^{-1} \left\{ \frac{z}{z - p} \right\} = p^k$$

$$Z^{-1} \left\{ \frac{z^2 - e^{-aT} \cos(bT)z}{z^2 - 2e^{-aT} \cos(bT)z + e^{-2aT}} \right\} = e^{-akT} \cos(bkT)$$

$$Z^{-1} \left\{ \frac{ze^{-aT} \sin(bT)}{z^2 - 2e^{-aT} \cos(bT)z + e^{-2aT}} \right\} = e^{-akT} \sin(bkT)$$

Z Donusum Tablosu



# ANALOG FİLTRE DİZAYNI

Analog filtrelerden ref: bolumfiltre. bolumde kismmen bahsedilmisti. Analog filtre dizayni frekans spektrumu onceden verilen bir karakteristigine mumkun oldugu kadar benzeyen lineer bir sistem elde etmektir. Daha acik bir ifade ile (ref: transfonk)deki transfer fonksiyonunun katsayilarini hesaplamaktir.

Transfer fonksiyonunun saglamasi gereken ozellikler (ref: transfonkozellik)'de verilmisti. O halde bu ozellikler saglayan bir genlik ve faz sonksiyonu elde etmeliyiz.

Hem genlik hemde faz spektrumunu ideale yaklastirmak imkansiz oldugundan genlik spektrumunun ideale yaklastirilmasi esas alinip faz spektrumunun da mumkun oldugu kadar duzgun olmasina calisilir.  $|H(jw)|$  ile calismak yerine  $|H(jw)|^2$  ile calismak daha kolaydir. Once  $|H(jw)|^2$  nasil elde edildigini bir an icin ileriye atip eger  $|H(jw)|^2$   $w$ 'nin fonksiyonu olarak biliniyorsa buradan  $H(s)$  veya  $H(jw)$  transfer fonksiyonunu nasil elde ederiz ona bakalim.

## Genlik Karakteristigi Bilinen Analog Filtrenin Transfer Fonksiyonunun Bulunmasi

$|H(jw)|$  genlik fonksiyonu cift smetriye sahip oldugu (). bolumden gorulmustu.

$$|H(jw)| = |H(-jw)|$$

O halde

$$|H(jw)|^2 = |H(jw)||H(jw)| = |H(-jw)||H(-jw)| = |H(jw)||H(-jw)|$$

Olacaktır. Ayrica (ref: laplasfurrier).bolumden eger  $H(s)$  transfer fonksiyonunun  $jw$  ekseninde ve saginda kutbu yoksa

$$H(s) = H(jw)|_{s=jw}$$

bagintisi vardir. Gerek  $|H(jw)|$ , gerekse  $|H(jw)|^2$  ifadelerinin icinde  $w$  yok, fakat  $w^2$  terimi var.  $|H(jw)|^2$  ifadesinde  $jw \rightarrow s$  yerdegistirmesine karsilik olarak  $-w^2$  yerine  $s^2$  veya  $w^2$  yerine  $-s^2$  koyalism.

$$K(-s^2) = |H(jw)|^2|_{w^2=-s^2}()$$

(ref: xq8f11),(ref: xq8f13) ve (ref: xq8f15) bagintilari birlestirilirse

$$K(-s^2) = H(-s)H(s)$$

olacagi acikca gorulur.

O halde genlik spektrumu  $|H(jw)|^2$  seklinde verilen bir filtreyi gerceklemek icin.

1)  $|H(jw)|^2$  de  $w^2$  yerine  $-s^2$  koy,  $K(-s^2)$  fonksiyonun elde et.

2)  $K(-s^2)$  fonksiyonunu  $K(s^2) = K(s)K(-s)$  seklinde carpanlara ayir.

3) Gerek  $K(s)$  gerekse  $K(-s)$  verilen filtrenin genlik spektrumunu saglarlar. Ancak

filtrenin kararlı olması için payda polinomunun köklerinin reel kısmı sıfırdan küçük olanlar filtreye ilişkin transfer fonksiyonu olabilirler.

$$|H(j\omega)|^2 = \frac{1}{\omega^4 + 29\omega^2 + 100}$$

genlik fonksiyonunu sağlayan  $H(s)$  yi bulun.

$$|H(j\omega)|^2 = \frac{1}{(\omega^2)^2 + 29(\omega^2)^1 + 100}$$

$$K(-s^2) = \frac{1}{(-s^2)^2 + 29(-s^2) + 100} = \frac{1}{s^4 - 29s^2 + 100} = \frac{1}{(s+2)(s-2)(s+5)(s-5)}$$

O halde

$$H(s) = \frac{1}{(s+2)(s+5)} \quad H(-s) = \frac{1}{(s-2)(s-5)}$$

O halde filtreye ilişkin transfer fonksiyonu

$$H(s) = \frac{1}{(s+2)(s+5)} = \frac{1}{s^2 + 7s + 10}$$

olacaktır.

## Genlik karakteristigi grafik olarak verilen filtrenin $|H(j\omega)|^2$ genlik fonksiyonunun hesaplanması

Önceki bölümde  $|H(j\omega)|^2$  belli ise  $H(s)$  transfer fonksiyonu nasıl hesaplanacağı gösterilmisti. Bu bölümde  $|H(j\omega)|^2$  genlik fonksiyonun nasıl bulunacağı açıklanacaktır.  $|H(j\omega)|^2$ 'nin sağlanması gereken şartlar: çift bir fonksiyon olması, iki polinomun oranı şeklinde olması, pay polinomunun derecesi payda polinomunun derecesinden küçük yada eşit olması. O halde problem ideal filtre karakteristigine yakın yukarıdaki şartları gerçekleyen bir  $f(\omega)$  fonksiyonunun hesabıdır.

**Figure 1** Çesitli  $|H(j\omega)|^2$  genlik fonksiyonları

Bu genlik fonksiyonları çesitli şekillerde hesaplanabilir. Hesaplanma şeklinde göre de isimlendirilir.

$H_i(j\omega)$  ideal, ve  $|H_g(j\omega)|^2$  gerçekleştirilebilir genlik fonksiyonu olmak üzere hata terimi olarak

$$\mathcal{E} = |H_i(j\omega)|^2 - |H_g(j\omega)|^2$$

tanımını yapalım. İdealde bütün  $\omega$  lar için  $\mathcal{E} = 0$  olması istenir. Ancak bu mümkün olmadığından belli noktalarda  $\mathcal{E} = 0$  yapılmaya çalışılır.  $\omega = \omega_x$  için

$$|H_i(j\omega_x)|^2 - |H_g(j\omega_x)|^2 = 0 \text{ ise}$$

$$\omega = \omega_x \text{ için } \frac{1}{|H_i(j\omega_x)|^2} - \frac{1}{|H_g(j\omega_x)|^2} = 0$$

olmalıdır. Matematiksel kolaylık için

$$\mathcal{E} = \frac{1}{|H_i(jw_x)|^2} - \frac{1}{|H_g(jw_x)|^2} = 0$$

ifadesi hata terimi olarak alinir. Ayrica filtre gecirme bandinda

$$|H_i(jw_x)|^2 = 1$$

olacak sekilde tasarlanir. Kolaylik icin tasarim kesim frekansi  $w_c = 1$  olan alcak geciren filtre (AGF) icin yapilir, diger tip filtreler (AGF)den frekans donusumu ile elde edilir.

### Butterwoth yaklasimi

Burada maksat gecis bandinda  $|H(jw)|^2$  nin degismemesi  $w$  eksenine paralel bir dogru olmasi istenir. Gecis bandinda genligin hizli bir sekilde dusmesi istenir. (ref: lineersistem) bolumden biliyoruzki kutup sayisi sifir sayisindan ne kadar fazla ise genlik hizli bir sekilde duser. O halde  $|H(jw)|^2$  nin payinda  $w$  ya bagli bir terim olmasa (butun sifirlar sonsuzda olsa) gecis bandinda hizli bir dusus olur. Yani genlik fonksiyonu

$$|H(jw)|^2 = \frac{1}{c_0 + c_1w^2 + c_2w^4 + \dots + c_nw^{2n}}$$

sekinde olmalidir. Bu durumda (ref: xq8fx15) de verilen hata terimi

$$\mathcal{E} = \frac{1}{|H_i(jw_x)|^2} - \frac{1}{|H_g(jw_x)|^2} = 1 - c_0 - c_1w^2 - c_2w^4 - \dots - c_nw^{2n} \quad (xq8g12)$$

sekinde olacaktir.

Butterwoth tipi filtrede hedef gecirme bandinda dalgalanma olmamasidir. O halde ilk sart gecirme bandinin baslangici  $w = 0$  civarinda dalgalanma olmamasidir.

$w = 0$  de dalgalanma olmamasi icin

$$\mathcal{E}|_{w=0} = 0, \quad \frac{d\mathcal{E}}{dw}|_{w=0} = 0, \quad \frac{d^2\mathcal{E}}{dw^2}|_{w=0} = 0$$

$$\frac{d^3\mathcal{E}}{dw^3}|_{w=0} = 0 \quad \dots \quad \frac{d^n\mathcal{E}}{dw^n}|_{w=0} = 0$$

sartlari saglanmalidir. Dolayisiyla

$$\mathcal{E}|_{w=0} = 0 \Rightarrow 1 - c_0 - 0 - 0 - \dots - 0 = 0 \Rightarrow c_0 = 1$$

$$\frac{d\mathcal{E}}{dw}|_{w=0} = 0 \Rightarrow 0 - 0 - 0 - 0 - 0 - \dots - 0 = 0 \Rightarrow 0 = 0$$

$$\frac{d^2\mathcal{E}}{dw^2}|_{w=0} = 0 \Rightarrow 0 - 0 - c_1 - 0 - 0 - \dots - 0 = 0 \Rightarrow c_1 = 0$$

.....

$$\frac{d^n\mathcal{E}}{dw^n}|_{w=0} = 0|_{w=0} \Rightarrow 0 - 0 - 0 - \dots - c_n \neq 0 \Rightarrow c_n \neq 0$$

olmalidir. Eger  $c_n = 0$  olsa o zaman  $\mathcal{E}$  her yerde sifir olur bu da butun  $w$  degerleri icin  $|H(jw)| = 1$  olmasini gerektirir. Halbuki  $w > w_r$  icin  $|H(jw)|^2 = 0$  olmalı.

Su halde maksimum duzgunluk icin  $c_0 = 1$   $c_n \neq 0$  olmalı diger butun  $c$  katsayilari sifir

olmalıdır. Bu durumda genlik fonksiyonu

$$|H(jw)|^2 = \frac{1}{1 + c_n w^{2n}}$$

seklene gelir. Cogu kere  $c_n$  katsayisi yerine  $\epsilon^2$  kullanilir ve Butterworth Filtre karakteristigi

$$|H(jw)|^2 = \frac{1}{1 + \epsilon^2 w^{2n}}$$

xq8fg45

sekinde bulunur.

## Butterworth Filtre Transfer Fonksiyonu

$|H(jw)|^2$  (ref: xq8fg45) deki gibi bulunursa  $H(s)$  yi bolum(ref: H(s)hesabi) oldugu gibi hesaplayabiliriz.

$$K(-s^2) = \frac{1}{1 + \epsilon^2 (-s^2)^n}$$

n tek ise  $K(-s^2)$  nin kutuplari (payda polinomunun kokleri).

$$1 - \epsilon^2 s^{2n} = 0 \rightarrow \epsilon^2 s^{2n} = 1 \rightarrow s^{2n} = \frac{1}{\epsilon^2} e^{j2r\pi} \rightarrow s = \left(\frac{1}{\epsilon^2}\right)^{1/2n} e^{\frac{j2r\pi}{2n}}$$

$$s_r = \epsilon^{-\frac{1}{n}} e^{\frac{j r \pi}{n}} \quad r = 1, 2, 3, \dots, 2n$$

#

olarak bulunur.

n cift ise

$$1 + \epsilon^2 s^{2n} = 0 \quad \epsilon^2 s^{2n} = -1 \rightarrow s^{2n} = \frac{1}{\epsilon^2} e^{j(2r+1)\pi} \rightarrow s = \left(\frac{1}{\epsilon^2}\right)^{1/2n} e^{\frac{j(2r+1)\pi}{2n}}$$

$$s_r = \epsilon^{-\frac{1}{n}} e^{\frac{j(2r+1)\pi}{2n}} \quad r = 1, 2, 3, \dots, 2n$$

#

$\epsilon^2 = 1$ ,  $n = 2$  icin Butterworth filtresinin transfer fonksiyonunu hesaplayin.

**Cozum:**

$$|H(jw)|^2 = \frac{1}{1 + w^{2n}} = \frac{1}{1 + (w^2)^n} = \frac{1}{1 + (-s^2)^n}$$

payda polinomunun kokleri:

$$1 + s^{2n} = 0 \rightarrow s^{2n} = -1 \rightarrow s = e^{j(2r+1)\pi/4}$$

$$s_1 = e^{j(2+1)\pi/4} = e^{3j\pi/4} = -0.7071 + j0.7071$$

$$s_2 = e^{j(4+1)\pi/4} = e^{5j\pi/4} = -0.7071 - j0.7071$$

$$s_3 = e^{j(4+1)\pi/4} = e^{5j\pi/4} = 0.7071 - 0.7071i$$

$$s_4 = e^{j(0+1)\pi/4} = e^{j\pi/4} = 0.7071 + j0.7071$$

Reel kisimlari sifirdan kucuk olan kokleri alarak.

$$H(s) = \frac{1}{(s - s_1)(s - s_2)} = \frac{1}{s^2 + 1.41s + 1}$$

$\epsilon^2 = 1$ ,  $n = 3$  için Butterworth filtresinin transfer fonksiyonunu hesaplayın.

**Cozum:**

$$1 + (-s^2)^3 = 0 \rightarrow s^6 = 1 \rightarrow s = e^{jr\pi/n} \rightarrow s = e^{jr\pi/3}$$

$$s_1 = e^{j1\pi/3} = e^{j\pi/3} = \frac{1}{2} + j\frac{\sqrt{3}}{2}$$

$$s_2 = e^{j2\pi/3} = e^{j2\pi/3} = -\frac{1}{2} + j\frac{\sqrt{3}}{2}$$

$$s_3 = e^{j3\pi/3} = e^{j\pi} = -1$$

$$s_4 = e^{j4\pi/3} = e^{j4\pi/3} = -\frac{1}{2} - j\frac{\sqrt{3}}{2}$$

$$s_5 = e^{j5\pi/3} = e^{j5\pi/3} = \frac{1}{2} - j\frac{\sqrt{3}}{2}$$

$$s_6 = e^{j6\pi/3} = e^{j2\pi} = 1$$

Dolayısıyla

$$H(s) = \frac{1}{(s+1)(s + \frac{1}{2} + j\frac{\sqrt{3}}{2})(s + \frac{1}{2} - j\frac{\sqrt{3}}{2})} = \frac{1}{(s+1)(s^2 + s + 1)} = \frac{1}{s^3 + 2s^2 + 2s + 1}$$

olarak bulunur.

Gecmiş örneklerde  $\epsilon$  ve  $n$  değerlerini vererek Butterworth filtrenin transfer fonksiyonunu bulduk. Pratikte ise bu değerler verilmez. Genlik karakteristiginin şekil (g55) de görüldüğü gibi geçirme ve sondurma bandında alacağı değerler ( $w_c, w_r, A, B$ ) verilir. Bu değerlerden hareketle  $\epsilon$  ve  $n$  değerleri hesaplanır.

$$w < w_c \quad \text{icin} \quad |H(jw_c)|^2 > A \quad \text{xq8fg62}$$

$$w = w_c \text{degerinde} |H(jw_c)|^2 = \frac{1}{1 + \epsilon^2 w_c^{2n}} = A \quad \text{xq8fg63}$$

$$w = w_r \text{degerinde} |H(jw_r)|^2 = \frac{1}{1 + \epsilon^2 w_r^{2n}} = B \quad \text{xq8fg64}$$

$$w > w_r \quad \text{icin} \quad |H(jw_r)|^2 < B \quad \text{xq8fg65}$$

(ref: xq8fg63) ve (ref: xq8fg64) eşitliklerinden önce  $n$  bulunur.  $n$  filtrenin derecesi olduğundan tamsayı olmalıdır. (ref: xq8fg62) ve (ref: xq8fg65) eşitsizlikleri sağlanabilmesi için bulunan  $n$  değerinin üstündeki tamsayı alınmalıdır.

$$\frac{1}{1 + \epsilon^2 w_c^{2n}} = A \rightarrow \epsilon^2 = \left(\frac{1}{A} - 1\right) w_c^{-2n} \quad \text{xq8fg71}$$

$$\frac{1}{1 + \epsilon^2 w_r^{2n}} = B \rightarrow \epsilon^2 w_r^{2n} = \left(\frac{1}{B} - 1\right) \quad \text{xq8fg72}$$

$\epsilon$  in (ref: xq8fg71) deki değeri (ref: xq8fg72) de yerine konursa.

$$\left(\frac{1}{A} - 1\right) w_c^{-2n} w_r^{2n} = \left(\frac{1}{B} - 1\right)$$

$$\left(\frac{w_r}{w_c}\right)^{2n} = \frac{\left(\frac{1}{B} - 1\right)}{\left(\frac{1}{A} - 1\right)}$$

$$2n \log\left(\frac{w_r}{w_c}\right) = \log\left(\frac{A(B-1)}{B(A-1)}\right)$$

$$n = \frac{1}{2} \frac{\log\left(\frac{A(B-1)}{B(A-1)}\right)}{\log\left(\frac{w_r}{w_c}\right)}$$

xq8fg76

Filtre ile ilgili bazı kitaplarda A yerine  $\frac{1}{1+\epsilon^2}$  ve B yerine  $\frac{1}{1+\lambda^2}$  notasyonları kullanılır ve karakteristikler önce  $\epsilon$  ve  $\lambda$  cinsinden hesaplanır.

$w = 1$  de  $|H(jw)|^2 = 0.5$   $w = 1.5$  da  $|H(jw)|^2 = 0.1$  olacak şekilde Butterworth filtreyi tasarlayın.

**Cozum:**  $w_c = 1$   $A = 0.5$   $w_r = 1.5$   $B = 0.1$

$$n = \frac{1}{2} \frac{\log\left(\frac{A(B-1)}{B(A-1)}\right)}{\log\left(\frac{w_r}{w_c}\right)} = \frac{1}{2} \frac{\log\left(\frac{0.5(0.1-1)}{0.1(0.5-1)}\right)}{\log\left(\frac{1.5}{1}\right)} = 2.7$$

$$\epsilon = \sqrt{\left(\frac{1}{A} - 1\right)w_c^{-2n}} = 1$$

$n = 3$  ve  $\epsilon = 1$  alınarak  $H(s)$  transfer fonksiyonu örnek(ref: xq8p11) de bulunmuştur.

## Gecirme bandında esit genliklerle dalgalanmaya musade edilen filtreler (Chebyshev filtreleri)

Butterworth tipi filtrelerde gecis bandi oldukça buyuktur. Gecis bandi dar tutulmak istenirse filtrenin derecesini artirmak gerekir. Dusuk derece ile gecis bandi dar filtre bulma arastirmasi gecirme bandındaki duzgunluktan feragat etme fikrini dogurmuster. Gecirme bandında dalgalanmma olmasına musade edilmis fakat dalgalanmanın maksimumları bir seviyede minimumları da bir seviyede olması şartı getirilmiştir. Minimum seviye ile maksimum seviye arasındaki farkın çok az olması daha da önemlidir.

f?igure[hbt] gecirme bandında esit genlikli dalgalanma

Yani biz öyle polinomlar arıyoruz ki

$$|H(jw)|^2 = \frac{1}{1 + \epsilon^2 [f(w)]^2}$$

ifadesinde  $f(w)$  yerine koyduğumuzda şekil(ref: xq8sgx21) deki karakteristik elde edilsin. Bu şartları sağlayan polinomlar gurubuna Chebyshev polinomları denir. Bu polinomlar

$$c_{n+1}(x) = 2xc_n(x) - c_{n-1}(x)$$

xq8f27

$$c_0(x) = 1 \quad c_1(x) = x$$

ozellikleri saglarlar.  $c_3(x), c_4(x), \dots$  gibi polinomlar (ref: xq8f27) bagintisi yardimiyla hesaplanir.

$$c_2(x) = 2xc_1(x) - c_0(x) = 2x \cdot x - 1 = 2x^2 - 1$$

$$c_3(x) = 2xc_2(x) - c_1(x) = 2x(2x^2 - 1) - x = 4x^3 - 3x$$

.....

Bu polinomlar ayrica

$$c_n(x) = \cos(n \cos^{-1}(x)) \quad |x| < 1$$

xq8fg85

$$c_n(x) = \cosh(n \cosh^{-1}(x))$$

$$= \frac{1}{2} \left[ \left( x + \sqrt{x^2 - 1} \right)^n + \left( x + \sqrt{x^2 - 1} \right)^{-n} \right] \quad |x| > 1$$

xq8fg86

$$[c_n(1)]^2 = 1$$

#

ozelliklerini de saglar

Kacinci dereceden  $c_n$  kullanilacagina karar verilmissen ( $n$ 'nin kac olacagi belli ise)  $\epsilon$  degeri de belli ise filtrenin transfer fonksiyonu

$$|H(jw)|^2 = \frac{1}{1 + \epsilon^2 [c_n(w)]^2}$$

genlik fonksiyonu yardimiyla bulunabilir.

$\epsilon = 0.1$   $n = 2$  icin Chebyshev 1 tipi filtreyi hesaplayin.

**Cozum:** Tablodan  $c_2(w) = 2w^2 - 1$  olarak alinir.

$$[c_2(w)]^2 = (2w^2 - 1)^2 = 4w^4 - 4w^2 + 1$$

bulunan deger  $|H(jw)|^2$  de yerine konursa

$$|H(jw)|^2 = \frac{1}{1 + \epsilon^2 [c_2(w)]^2} = \frac{1}{1 + \epsilon^2 (4w^4 - 4w^2 + 1)}$$

Buradan  $K(-s^2)$  ve  $H(s)$  oncesi bol;umlerde oldugu gibi hesaplanir.

$$K(-s^2) = \frac{1}{1 + (0.1)^2 (4(-s^2)^2 - 4(-s^2) + 1)} = \frac{25}{s^4 + s^2 + \frac{101}{4}}$$

payda polinomunun kokleri

$$s_1 = -1.5 + j1.66 \quad s_2 = -1.5 - j1.66 \quad s_3 = 1.5 + j1.66 \quad s_4 = 1.5 - j1.66$$

seklindedir. Kararli (reel kismi sifirdan kucuk olan kokleri alarak  $H(s)$  olusturulur.

$$H(s) = \frac{1}{(s - s_1)(s - s_2)} = \frac{P}{s^2 + 3s + 5.02}$$

Burada  $P$  katsayisi  $H(0) = 1$  yapmak icin eklenmistir.  $H(0) = 1$  olmasi icin  $P=5.02$  olmasi gerektigi aciktir.

f?igure[hbt]  $(w_c, w_r, A, B)$  nin gosterildigi sekil Butterworth ile ayni olabilir.

Filtre kullanicisi  $\epsilon$  ve  $n$  degerlerini vermez, isteklerini Butterworth filtrede oldugu gibi filtreden saglamasi gereken genlik karakteristigi seklinde ifade eder. Sekil (ref: xq8sgx65) de goruldugu gibi gecirme ve sondurme bandinda alacagi degerler  $(w_c, w_r, A, B)$  verilir. Bu degerlerden hareketle  $\epsilon$  ve  $n$  degerleri hesaplanir. (ref: xq8fg63),(ref: xq8fg64) bagintilari chebbsshew filtreler icin

$$w = w_c \text{ degerinde } |H(jw_c)|^2 = \frac{1}{1 + \epsilon^2 c_n^{2n}} = A \quad \text{xq8fg83}$$

$$w = w_r \text{ degerinde } |H(jw_r)|^2 = \frac{1}{1 + \epsilon^2 c_n^{2n}} = B \quad \text{xq8fg84}$$

seklini alir.

$w_c, w_r, A, B$  degerlerinden  $\epsilon$  ve  $n$  nin hesabi icin Butterworth filtrelerinde oldugu gibi acik bir formül elde etmek icin ve (ref: xq8fg83), (ref: xq8fg84) esitlikleri uygun degildir. Hesabi kolaylastirmak icin kesim frekansi  $w_c = 1$  alinir, ve  $w_r$  yerine de  $\frac{w_r}{w_c}$  alinir. Istenen kesim frekansindaki filtre bolum(ref: frekansdonusum) gorulecegi uzere olceklenir.

$$\frac{1}{1 + \epsilon^2 [c_n(w_c)]^2} = A \quad \rightarrow \quad \epsilon^2 = \left(\frac{1}{A} - 1\right) [c_n(w_c)]^{-2} \quad \text{xq8fg91}$$

$$\frac{1}{\epsilon^2 [c_n(w_r)]^2} = B \quad \rightarrow \quad \epsilon^2 [c_n(w_r)]^2 = \left(\frac{1}{B} - 1\right) \quad \text{xq8fg92}$$

$\epsilon$  in (ref: xq8fg91) deki degeri (ref: xq8fg92) de yerine konur duzenlenirse

$$[c_n(w_c)]^{-2} \left(\frac{1}{A} - 1\right) [c_n(w_r)]^2 = \frac{1}{B} - 1$$

$$\frac{[c_n(w_r)]^2}{[c_n(w_c)]^2} = \frac{\frac{1}{B} - 1}{\frac{1}{A} - 1}$$

$w_c = 1$  oldugunda  $[c_n(w_c)]^2 = 1$  konularak

$$c_n(w_r) = \sqrt{\frac{\frac{1}{B} - 1}{\frac{1}{A} - 1}}$$

elde edilir. Ote yandan (ref: xq8fg86) den

$$c_n(w) = \cosh(ncosh^{-1}(w_r))$$

yazilir her iki tarfin ters hiperbolik fonksiyonlari alinirak duzenlenirse

$$n = \frac{\cosh^{-1} \sqrt{\frac{\frac{1}{B} - 1}{\frac{1}{A} - 1}}}{\cosh^{-1}(w_r)} \quad \text{xq8fg101}$$

elde edilir.



$w_c = 1$  de  $|H(jw)|^2 = 0.9615$   $w_r = 2$  de  $|H(jw)|^2 = 0.0385$  olan chebshew 1 tipi filtreyi tasarlayin.

**Cozum:**  $A = 0.9615$   $B = 0.0385$   $w_r = 2$  koyarak (ref: xq8fg101) esitliginden  $n = 2.97$  bulunur. Dolayisiyla filtre derecesi en az 3 olmalı

$$\epsilon^2 = \frac{1}{A} - 1 = 0.2$$

olarak bulunur. Buradan

$$|H(jw)|^2 = \frac{1}{1 + (0.2)^2[4w^3 - 3w]^2} = \frac{\frac{1}{(0.2)^2}}{16w^6 - 24w^4 + 9w^2 + \frac{1}{(0.2)^2}}$$

$$K(-s^2) = \frac{\frac{25}{16}}{-s^6 - \frac{24}{16}s^4 - \frac{9}{16}s^2 + \frac{25}{16}}$$

Buradan onceki orneklere benzer sekilde.

$$H(s) = \frac{1.25}{s^3 + 17s^2 + 21s + 1.25}$$

olarak bulunur.

Not:  $1 + \epsilon^2[c_n(x)]^2 = 0$  polinomunun kokleri seklinde hesaplanabilir

$$x_r = \sinh(\alpha) \cos(\beta_r) + j \cosh(\alpha) \sin(\beta_r)$$

$$\alpha = \frac{1}{n} \sinh^{-1} \frac{1}{\epsilon} \quad \beta_r = \frac{2r + n - 1}{2n} \pi$$

## Sondurma bandinda esit genliklerle dalgalanmaya musade edilen filtreler (2. tip Chebyshev filtreleri)

Bu tip filtrelerin gecirme bandi duz, sondurmme bandi esit genlikli dalgalanmaya sahiptir. Bu tip filtrelerin genlik fonksiyonu

$$|H(jw)|^2 = \frac{\epsilon^2[c_n(1/w)]^2}{1 + \epsilon^2[c_n(1/w)]^2}$$

#

seklindedir. 2. tip chebshew filtre icin once 1. tip chebshew filtre hesaplanir ve yukaridaki formule gore 2. tip filtre elde edilir. 1. ve 2. tip filtrelerde  $\epsilon$  ve  $n$  nin hesabi aynidir.

## Gecirme ve sondurma bandinda esit genliklerle dalgalanmaya musade edilen filtreler (eliptik filtreler)

Bu tip filtrelerde hem gecirme hem de sondurmme bandinda esit genliklerle dalgalanmaya musade edilir. Eliptik filtrelerin genlik fonksiyonu

$$|H(jw)|^2 = \frac{1}{1 + \epsilon^2[R_n(w)]^2}$$

seklindedir. Burada  $[R_n(w)]^2$  iki polinomun orani seklindedir ve  $[R_n(w)]^2$  nin hesabi eliptik integralerin hesabini gerektirir, bu yuzden burada bu kadarla yetinilecektir. Konu ile ilgili genis bilgi [ref: eliptikfiltrereferansi] de bulunabilir.

### Bessel Filtreleri

Bessel filtreleri filtrenin faz karakteristigi onem arzeden yerlerde onem kazanir. Bessel filtrelerini iliskin transfer fonksiyonu

$$H(s) = \frac{B_n(0)}{B_n(s)} \quad \text{xq8fg123}$$

seklindedir. Burada  $B_n(s)$  Bessel fonksiyonudur ve asagidaki sekilde hesaplanir.

$$B_0(s) = 1$$

$$B_1(s) = s + 1$$

$$B_2(s) = s^3 + 3s + 3$$

.....

$$B_r(s) = (2r - 1)B_{r-1}(s) + s^2B_{r-2}(s) \quad \#$$

Bessel filtrelerinin genlik karakteristigi Butterworth filtreninkine benzer fakat faz karakteristigi Butterworth'unkunden daha duzgundur.

f?igure[hbt] ayni derecede butt chebb, eliptik besselin karsilastirilmamsi

## Hangi Filtre En iyisidir

Bu sorunun cevabi kullanim maksadina baglidir. Mesela karmasik isaretin fazinin hic onemi yok sadece genlikleri ile ilgileniliyorsa eliptik filtreler veya chebb filtreler en uygun olanidir. Ancak faz onemli ise o zaman Bessel filtreleri daha uygundur. Butterworth filtrelerinde ise dizayn basit. Sekil(ref: xq8s49) de 3.derece But cheb1 cheb2, eliptik, bessel filtreleri verilmistir. mesela ..... icin cheb de n=3 olurken butterw de n=8 olmakta eliptikte ise n=2 yeterli olmaktadır. bunun yaninda cheb ve eliptigin fazlari cok bozulmustur.?????????

MATLAB komutlari ek te verilmistir.

lineer sistemlerin frekans cevabina kutuplarin sayisi-sifirlarin dayisi kadar bir hizla genlik azalir. ilave edilmeli

Eger  $w = 0$  icin  $|H(j0)|^2 = 1$  olmasi istenirse, (ki bu  $H(s)|_{s=0} = 1$  anlamina gelir. Bu durumda  $H(0) = 1$  olmasi icin

$$H(0) = \frac{P}{0^3 + 2 \ 0^2 + 2 \ 0 + 1} = 1$$

## AGF den Diger tip Filtrelerin elde edilmesi (Frekans Donusumleri)

Filtre dizayni kesim frekansi 1 olan alçak geciren filtre için yapılırsa bir çok kolaylıklar sağlar. Kesim frekansi 1 olan AGF için elde edilen  $H(s)$  transfer fonksiyonu belli **frekans dönüşümleri** ile kesim frekansi  $w_c$  olan yüksek geciren filtre, band geciren filtre, band sondüren filtre haline getirilebilir. BU bölümde bu konular işlenecektir.

## Alçak Frekansları Geciren filtrenin kesim frekansının değiştirilmesi

Kesim frekansi  $w_c = 1$  olan filtrenin  $|H(w)|^2$  genlik fonksiyonunda  $w$  yerine  $\frac{w}{w_c}$  konursa filtrenin kesim frekansi  $w_c$  olur. Bu durum şekil(ref: xq8s61) aşağıdaki şekilde açıkça görülüyor.

f?igure[hbt] frekans kaydırma

O halde kesim frekansi  $w=1$  olan filtreden, kesim frekansi  $w = w_c$  olan filtre elde etmek için

$$|H_{Aw_c}(w)|^2 = |H_{A1}(p)|^2_{p=\frac{s}{w_c}} \quad \#$$

dönüşümü yapılmalıdır.

$$|H(jw)|^2 = \frac{1}{w^2 + 1}$$

genlik fonksiyonunun a)kesim frekansını bulun, b) $w = \frac{w}{0.1}$ , c) $w = \frac{w}{20}$  dönüşümü ile elde edilen genlik fonksiyonlarının kesim frekanslarını bulun.

**Cozum:** a) $|H(0)|^2 = 1$  dir. O halde genliğin  $\frac{1}{2}$  ye düştüğü frekans kesim frekansidir.

$$\frac{1}{2} = \frac{1}{w^2 + 1} \quad \rightarrow \quad w_c = 1$$

olarak bulunur.

$$b) |H(jw)|^2 = \frac{1}{\left(\frac{w}{0.1}\right)^2 + 1} = \frac{0.01}{w^2 + 0.01} \text{ dir.}$$

$|H(0)|^2 = 1$  dir. ve genliğin  $\frac{1}{2}$  ye düştüğü kesim frekansı

$$\frac{1}{2} = \frac{0.01}{w^2 + 0.01} \quad \rightarrow \quad w_c = 0.1$$

olarak bulunur.

c) Benzer şekildeki işlemlerle  $w_c = 20$  olarak bulunur.

$H(s)$  transfer fonksiyonu  $jw = s$  dönüşümü ile elde edildiğinden kesim frekansının kaydırılması Laplas domenindeki transfer fonksiyonuna doğrudan uygulanabilir.

$$H_{Aw_c}(s) = H_{A1}\left(\frac{s}{w_c}\right) \quad \#$$

$$H(s) = \frac{1}{s + 1}$$

transfer fonksiyonunun a)kesim frekansını bulun, b) $s = \frac{s}{0.1}$ , c) $s = \frac{s}{20}$  dönüşümü ile elde edilen genlik fonksiyonlarının kesim frekanslarını bulun.

**Cozum: a)**

$$|H(jw)|^2 = \frac{1}{w^2 + 1}$$

oldugundan kesim frekansi  $w = 1$  dir.

$$b) \quad H(s) = \frac{1}{\frac{s}{0.1} + 1} = \frac{0.1}{s + 0.1} \quad \text{ve} \quad |H(jw)|^2 = \frac{0.01}{w^2 + 0.01}$$

oldugundan kesim frekansi  $w = 0.1$  dir.

c) Benzer islemlerle  $w_c = 20$  cikar.

## AGF den YGF elde edilmesi

AGF'nin frekansinin kaydirilmasinda oldugu gibi burada da  $w$  yerine  $w_c w$  Kesim frekansi  $w_c = 1$  olan filtrenin  $|H(w)|^2$  genlik fonksiyonunda  $w$  yerine  $\frac{w}{w_c}$  konursa filtrenin kesim frekansi  $w_c$  olur. Bu durum sekil(ref: xq8s37) de gosterilmistir.

f?igure[hbt] AGF den YGF elde etme

O halde kesim frekansi  $w = 1$  olan filtreden, kesim frekansi  $w = w_c$  olan yuksek geciren filtre elde etmek icin

$$|H_y(w)|^2 = \left| H_{A1}\left(\frac{w_c}{w}\right) \right|^2$$

#

donusumu yapilmalidir. Laplas domenindeki transfer fonksiyonlari icin

$$H_y(s) = H_{A1}\left(\frac{w_c}{s}\right)$$

xq8f57

donusumu yapilmadir. Kesim frekansi  $w_c = 1$  olan  $H(s) = \frac{1}{s+1}$  AGF'den kesim frekansi  $w_c = 100$  olan YGF elde ediniz.

**Cozum:** (ref: xq8f57)'den

$$H_y(s) = \frac{1}{\frac{100}{s} + 1} = \frac{s}{s + 100}$$

Elde edilir. Elde edilen filtrenin kesim frekansini bulalim.  $|H_y(\infty) = 1|$ 'dir. O halde  $|H_y(w_c)|^2 = \frac{1}{2}$  olan  $w_c$  frekansi, kesim frekansidir.

$$|H_y(w_c)|^2 = \frac{w_c^2}{w_c^2 + 10000} = \frac{1}{2} \quad \rightarrow \quad w_c = 100$$

## AGF den BGF elde edilmesi

Sekil(ref: xq8s34)de goruldugu gibi burada maksat kesim frekansi  $w = 1$  olan AGF den bir donusumle ( $w$  yerine bir  $x(w)$  koyarak)  $w_c$  civarindaki frekanslari geciren BGF elde etmektir.

f?igure[hbt] AGF den BGF elde etme

Kesim frekansi  $w = 1$  olan AGF den kesim frekansi  $w = w_c$  olan AGF elde edildiginde

$x(w) = \frac{w}{w_c}$  donusumu yapildi. Kesim frekansi  $w = 1$  olan AGF den kesim frekansi  $w = w_c$  olan YGF elde edildiginde  $x(w) = \frac{w_c}{w}$  donusumu yapildi. Burada bu donusumu hemen gormek kolay degil. Bu tuzden AGF ile BGF nin saglamasi gereken sartlari inceleyelim.

AGF nin genlik transfer fonksiyonu  $|H_{A1}(w^2)|^2$  ve BGF nin genlik transfer fonksiyonu  $|H_B(w^2)|^2$  olsun. BGF elde edilirken AGF de  $w$  yerine  $x(w)$  koymakla elde edileceginden

$$|H_B(w^2)|^2 = |H_{A1}([x(w)]^2)|^2 \quad \text{xq8r32}$$

olacaktır. Sekil(ref: xq8s34)den gorulecegi gibi

$$H_B(w_c^2) = H_{A1}(0) \quad H_B(0) = H_{A1}(\infty) \quad H_B(\infty) = H_{A1}(\infty) \quad \text{xq8r41}$$

(ref: xq8r32) ve (ref: xq8r41) den

$$H_B(w_c^2) = H_{A1}(0) = H_{A1}([x(w_c)]^2) \quad \rightarrow \quad 0 = [x(w_c)]^2 \quad \text{xq8r51}$$

$$H_B(0) = H_{A1}(\infty) = H_{A1}([x(0)]^2) \quad \rightarrow \quad \infty = [x(0)]^2 \quad \text{xq8r52}$$

$$H_B(\infty) = H_{A1}(\infty) = H_{A1}([x(\infty)]^2) \quad \rightarrow \quad \infty = [x(\infty)]^2 \quad \text{xq8r53}$$

Dolayisiyla  $x(0) = \pm\infty$   $x(w_c) = 0$   $x(\infty) = \pm\infty$  olan (iki polinomun orani seklindeki) bir  $x(w)$  fonksiyonu ariyoruz. Bu sartlari saglayan cesitli fonksiyonlar bulunabilir. Ancak Bu sartlara ilave olarak  $w$  yerine  $x(w)$  konuldugunda elde edilecek  $|H_B(w)|^2$  fonksiyonu genlik fonksiyonu olma sartlarini gerceklemelidir. Bu sartlarin en onemlisi  $|H_B(w)|^2$  nin cift fonksiyon olma sartidir. Bu sartin saglanmasi icin  $x(w)$ 'nin kutuplari ve sifirlari  $jw$  eksenine gore simetrik olmalidir. Iste butun bu sartlari saglayan uygun fonksiyonlardan biri.

$$x(w) = w - \frac{w_c^2}{w} = \frac{w^2 - w_c^2}{w}$$

fonksiyonudur. BGF nin bant genisligini ayarlamak icin de paydaya  $B$  katsayisi carpan olarak eklenir. ve  $x(w)$  donusum fonksiyonu

$$x(w) = \frac{w^2 - w_c^2}{Bw} \quad \#$$

olur.  $B$  nin BGF nin bant genisligine karsi geldigi gosterilebilir. Sonuc olarak kesim frekansi 1 olan bir AGF den kesim frekansi  $w_c$  ve bant genisligi  $B$  olan BGF elde etmek icin

$$|H_B(w^2)|^2 = |H_{A1}(p^2)|_{p=\frac{w^2-w_c^2}{Bw}} \quad \#$$

donusumu yapılmalıdır.

$s$  domenindeki transfer fonksiyonunu bulmak icin  $jp = s_p$   $jw = s$   $p = \frac{s_p}{j}$   $w = \frac{s}{j}$  konarak

$$\frac{s_p}{j} = \frac{-s^2 - w_c^2}{B \frac{s}{j}} \quad s_p = -\frac{-s^2 - w_c^2}{Bs} \quad s_p = \frac{s^2 + w_c^2}{Bs}$$

O halde donusum bagintisi

$$H_B(s) = H_{A1}(s_p) \Big|_{s_p = \frac{s^2 + w_c^2}{Bs}}$$

sekklinde olmalıdır.

Kesim frekansi 1 olan  $H(s) = \frac{1}{s+1}$  AGF'den kesim frekansi  $w_c = 100$  bant genisligi  $B = 20$  olan BGF elde edin.

**Cozum:** (ref: xq8f71)'den

$$H_B(s) = \frac{1}{\frac{s^2+100^2}{20s} + 1} = \frac{20s}{s^2 + 20s + 10000}$$

elde edilir. Buradan

$$H(jw) = \frac{20jw}{(jw)^2 + 20jw + 10^4} \quad \text{ve} \quad |H(jw)|^2 = \frac{400w^2}{(10^4 - w^2)^2 + 400w^2}$$

$H(jw)$  ya iliskin genlik ve faz spektrumu sekil(ref: xq8s73) de gosterilmistir.

f?igure[hbt]  $H(s) = \frac{20s}{s^2+20s+10^4}$  transfer fonksiyonuna iliskin genlik ve faz spektrumu.

Sekilden acikca gorulecegi uzere  $|H(jw)|^2$ 'nin en buyuk degeri  $w = 100$  icindir ve  $|H(j100)|^2 = 1$  dir. Kesim frekansini hesaplayalim.

$$\frac{400w^2}{(10^4 - w^2)^2 + 400w^2} = \frac{1}{2}$$

denklemleri cozulurse

$$w_1 = 110.49, \quad w_2 = 90.49, \quad w_3 = -100.49, \quad w_4 = -90.49$$

kokleri bulunur. Kesim frekanslari anlamlı kokler olan  $w_1 = 110.49$  ve  $w_2 = 90.49$  degerleridir. Not: kesim frekanslari iki tarafda simetrik degil geometrik smetrik. Yani

$$w_c^2 = w_1 w_2$$

sartini saglarlar.

## AGF den BSF elde edilmesi

Bir onceki bolumde oldugu gibi sekil(rx43) yardimiyla kesim frekansi 1 olan AGF den kesim frekansi  $w_c$  olan BSF elde etmek icin gerekli  $w \rightarrow x(w)$  donusum bagintisi bulunabilir. Ancak ddaha kolayca da bu is basarilabilir.

f?igure[hbt] AGF den BSF elde etmek

Hemen kolayca gorulecegi gibi AGF den BGF elde etmek icin uygulanan yontemler YGF ye uygulansa BSF elde edilir. Kesim frekansi 1 olan AGF den kesim frekansi 1 olan YGF elde etmek icin  $w$  yerine  $\frac{1}{w}$  koymalidir. Kesim frekansi 1 olan YGF den kesim frekansi  $w_c$  bant genisligi  $B$  olan BSF elde etmek icin  $w$  yerine  $\frac{w^2 - w_c^2}{Bw}$  konmalidir. O halde kesim frekansi 1 olan AGF den kesim frekansi  $w_c$  olan BSF elde etmek icin  $w$  yerine  $\frac{Bw}{w^2 - w_c^2}$  konmaliddir. Yani

$$|H_{BSF}(w^2)|^2 = |H_{A1}(p^2)|_{p=\frac{Bw}{w^2-w_c^2}}^2 \quad \#$$

s domenindeki transfer fonksiyonunu bulmak için  $jw = s \rightarrow w = \frac{j}{s}$  koyarak

$$H_{BSF}(s) = H_{A1}(p)_{p=\frac{Bs}{s^2-w_c^2}} \quad \#$$

olarak bulunur.

/\*\*\*\*\*\*

\*\*\*\*\*

$$|H(jw)|^2 = \frac{1}{4w^4 - 2w^2 + 1}$$

genlik fonksiyonunu saglayan  $H(s)$  yi bulun.

$$K(-s^2) = \frac{1}{4s^4 + 2s^2 + 1} = \frac{\frac{1}{4}}{s^4 + \frac{1}{2}s^2 + \frac{1}{4}}$$

$s^4 + \frac{1}{2}s^2 + \frac{1}{4}$  polinomunun kokleri,

$$s_1 = 0.35 + j0.61 \quad s_2 = 0.35 - j0.61 \quad s_3 = -0.35 + j0.61 \quad s_4 = -0.35 - j0.61$$

$$K(-s^2) = \frac{\frac{1}{4}}{(s - 0.35 + j0.61)(s - 0.35 - j0.61)(s + 0.35 + j0.61)(s + 0.35 - j0.61)}$$

Dolayisiyla

$$H(s) = \frac{\frac{1}{4}}{(s + 0.35 + j0.61)(s + 0.35 - j0.61)} = \frac{1}{2s^2 + 1.41s + 1}$$

$$|H(jw)|^2 = \frac{-w^2 - 1}{4w^4 + 29w^2 + 100}$$

genlik fonksiyonunu saglayan  $H(s)$  yi bulun.

$$K(-s^2) = \frac{-(-s^2) - 1}{(-s^2)^2 + 29(-s^2) + 100} = \frac{s^2 - 1}{s^4 - 29s^2 + 100} = \frac{(s - 1)(s + 1)}{(s + 2)(s - 2)(s + 5)(s - 5)}$$

O halde

$$H(s) = \frac{s + 1}{(s + 2)(s + 5)}$$

O halde filtreye iliskin transfer fonksiyonu

$$H(s) = \frac{s + 1}{(s + 2)(s + 5)} = \frac{s + 1}{s^2 + 7s + 10}$$

olacaktır. Ancak burada

$$H(s) = \frac{s - 1}{(s + 2)(s + 5)}$$

ifadesi de filtre transfer fonksiyonu olarak alınabilir. Dolayisiyla

$$H(s) = \frac{s - 1}{s^2 + 7s + 10}$$

ifadesi de bir filtreye iliskin transfer fonksiyonudur.

Burada her iki filtrenin genlik karakteristigi de aynidir. Fakat faz karakteristikleri farklıdır. Dolayisiyla hangi filtrenin faz karakteristigi maksada uygun ise o filtre kullanilir.



# Analog Filtrelerin gerceklemesi

Analog filtrenin pratik anlami bir elektrik devresidir. Yani filtre analog filtre direnc(R), kondansator (C), bobin(L), tranzistor, OPAM, besleme kaynagi (pil, aku, adaptor) den meydana gelen bir devredir. Bolum(ref: analogfildizayni)'de analog filtre dizaynindan maksat vcerilen bir genlik ve faz spektrumunu saglayan biki polinomun orani seklinde bir  $H(s)$  fonksiyonu bulmakti. Analog filtrenin gerceklemesi ise, yukaridaki elemanlardan meydana gelen ve transfer fonksiyonu  $H(s)$  olan bir elektrik devresi yapmak anlamina gelir.

Bir elektrik devresinin transfer fonksiyonu cikis geriliminin Laplas donusumunun giris geriliminin Laplas donusumune orani olarak tanimlanir. Temel elektrik devre teoremleri(cevre ve dugum denklemleri, Kirchoff kanunlari) Laplas domeninde de benzeri sekilde tanimlanmistir. Kondansator elemaninin empedansi

$$Z_c = \frac{1}{sC}$$

ve bobin elemaninin empesandi

$$Z_c = sC$$

Ornek olarak Sekil(ref: xq9s11) deki RC devresinde

f?igure[hbt] RC devresi

$$-V_i(s) + RI(s) + \frac{1}{sC}I(s) = 0$$

xq9f11

$$V_0(s) = \frac{1}{sC}I(s)$$

xq9f13

(ref: xq9f11)den  $I(s)$  cekilip (ref: xq9f13) de yerine konursa

$$\frac{V_0(s)}{V_i(s)} = \frac{1}{sCR + 1}$$

#

elde edilir. Bulunan  $\frac{V_0(s)}{V_i(s)}$  ifadesi (ref: xq9s11) deki devreye iliskin transfer fonksiyonudur.

Verilen bir devreye iliskin transfer fonksiyonunu bulmak yukarida bahsedildigi gibi temel elektrik devreleri bilgisi ile yapilabilir. Peki  $H(s)$  Transfer fonksiyonu verilirse bu transfer fonsiyonuna iliskin elektrik devresi nasil bulunabilir. Iste analog filtrenin gerceklemesi problemi budur.

## Aktif ve pasif Filtreler

Gerceklemede kullanılan elemanlara gore analog filtreler aktif ve pasif filtreler olarak gurubuna ayrilir. Pasif filtreler diasaridan enerji cekmeden calisirlar, R,L,C elemanlarından meydana gelir. Aktif filtreler tranzistor, OPAM, diyot, direnc, kondansator kullanilarak gerceklestirilir. Calismalari icin disaridan beslemeye (pil,aku,adaptor) ihtiyaclari vardir.

Tumdevre teknolojisinin gelismesiyle pasif filtrelerin yerini aktif filtreler almaya baslamistir. Dusuk frekanslarda aktif filtreler hem daha az yer isgal eder hem daha ucuzdur. Ancak yuksek frekanslarda pasif filtreler hala yerlerini korumaktadir. Tablo(ref: xq9t11) de aktif ve pasif filtrelerin bir karsilastirilmesi verilmistir.

| Pasif filtreler  | Aktif filtreler  |                |
|--|--|----------------|
| R,L,C den meydana gelir.   | R,C,OPAM, tumdevrelerden meydana gelir.  |                |
| pahali   | ucuz   |                |
| agir   | hafif  |                |
| $\frac{v_0}{v_i} \ll 1$  | $\frac{v_0}{v_i} \gg 1$  |                |
| Giris direnci $R_i$ kucuk  | Giris direnci $R_i$ cok buyuk $R_i \sim \infty$  |                |
| Calismasi icin disaridan enerji istemez                            | Calismasi icin disaridan besleme lazimdir  |                |
| Yuksek frekanslar icin elverisli<br>$f=500MHz$ e kadar kullanilir. | Yuksek frekanslarda OPAM karakteristigi bozulur.<br>Yaygin kullanimalani $f < 500KHz$ dir.<br>$f > 500KHz$ icin yapilan ozel OPAM lar cok pahalidir. | Aktif ve pasif |
| Her zaman kararli  | Devre parametrelerinin degismesiyle kararsiz olabilir.   |                |
| boyle bir problem yok  | Giris isaretinin genligi belli bir degeri asarsa OPAM doymaya gider ve isaret bozulur  |                |

filtrelerin karsilastirilmesi

Bir  $H(s)$  transfer fonksiyonunu pasif filtrelerle gercekleme islemi uzerinde pek cok kisi calismis ve adeta standartlastirilmistir. Pasif filtreler bugun daha cok haberlesme muhendisliginde kullanilir ve biz burada uzerinde daha fazla durmayacagiz.

Aktif filtreler uzerindeki calismalarda oldukca fazladir. Aktif filtre gurubunda sayilabilecek **ac-kapa tipi kapasitelerle** (switched kapasitor) gerceklestirmeler uzerinde yagun calismalar vardir.

Biz bu kitap cercevesinde aktif filtre gerceklemesinde temel bir iki yontem uzerinde duracagiz.

## Aktif Filtre Elemanlari

Aktif filtrede temel eleman direnc, kondansator ve OPAM'dir. bu yuzden OPAM'in

yapısını kısaca incelemek gerekir. OPAM içinde 10-50 civarında tranzistor, bir o kadar da direnc ve birkaç kapasiteden meydana gelen tümdevre şeklinde imal edilen bir elemandır. OPAM kullanıcısı OPAM'in iç yapısı ile değil giriş çıkis bağlantıları ile ilgilenir. Şekil(ref: xq9s17.a)de OPAM'in bir devrede sematik gösterimi ve şekil(ref: xq9s17.b)de OPAM'in fiziksel görünümü ve uç bağlantıları verilmiştir. OPAM'in çalışması için iki tane besleme kaynağına ihtiyaç vardır. ?? ucları devrede boş kalır 5 nolu uç OPAM'in iç yapısının düzgün olmamasından kaynaklanan gerilim düzensizliğini gidermek için kullanılır.

f?igure[hbt] OPAM'in sematik şekline fiziksel görünümü

OPAM pratik olarak çok yüksek kazançlı bir kuvvetlendiricidir. Giriş çıkis bağlantısı

$$V_0 = A(V_b - V_a) \quad \text{xq9f23}$$

şeklinde verilir. Burada  $A$  kazanç (kuvvetlendirme oranı)dır ve OPAM'in açık çevrim kazancı olarak bilinir.  $A$ 'nin değeri  $10^5 - 10^6$  mertebesinde. OPAM'in ikinci özelliği giriş direncini yüksek olması dolayısıyla çok az, ihmal edilebilecek bir akım çekmesidir.

$$i_a = i_b \cong 0 \quad \text{xq9f25}$$

(ref: xq9f23) ve (ref: xq9f25)'den OPAM'in giriş direnci

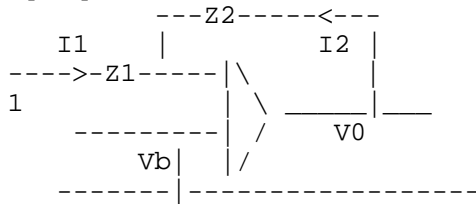
$$R_i = \frac{V_b - V_a}{i_b - i_a} \cong \infty \quad \#$$

olacaktır. Kitaplarda  $V_b, V_a$  yerine  $V_+, V_-$  ve  $i_b, i_a$  yerine  $i_+, i_-$  notasyonları kullanılır.

## OPAM da Geribesleme Devresi

$V_0$  gerilimi en fazla OPAM'in besleme gerilimi, tipik olarak  $+15V$  ve  $-15V$  olabilir. Dolayısıyla (ref: xq9f23) bağlantısının geçerli olduğu  $V_a - V_b$  aralığı çok sınırlıdır (mikrovoltlar mertebesinde). Bu yüzden şekil(ref: xq9s17) deki haliyle OPAM bir gerilimi kuvvetlendirmek için kullanılamaz. Şekil(ref: xq9s27)deki gibi bir geribesleme devresi kuvvetlendirici olarak kullanılabilir. Şimdi şekil(ref: xq9s53) deki devrede  $\frac{V_0}{V_i}$  oranını hesaplayalım.

f?igure[hbt]



Geribeslemeli OPAM devresi

Devrenin  $V_b$  ucu toprağa bağlı olduğundan

$$V_b = 0 \quad \#$$

olacaktır. Dolayısıyla (ref: xq9f23) bağlantısı

$$V_0 = -V_a A \quad \rightarrow \quad V_a = -\frac{V_0}{A} \quad \text{xq9f31}$$

haline gelir. Devrede 1 nolu çevre için çevre denklemi yazılırsa

$$-V_1 + Z_1 I_1 + V_a = 0$$

olur. Burada  $V_a$  yerine (ref: xq9f31) deki değeri konulup  $I_1$  çekilirse

$$I_1 = \frac{V_1 - V_a}{Z_1} = \frac{V_1 + \frac{V_0}{A}}{Z_1} \quad \text{xq9f33}$$

elde edilir. Benzeri işlemler 2 nolu çevre için yapılırsa

$$-V_0 + Z_2 I_2 + V_a = 0 \quad \rightarrow \quad I_2 = \frac{V_0 - V_a}{Z_2} = \frac{V_0 + \frac{V_0}{A}}{Z_2} \quad \text{xq9f35}$$

elde edilir. (ref: xq9f25) bağıntısı burada

$$I_1 = -I_2 \quad \text{xq9f37}$$

haline gelir. (ref: xq9f33), (ref: xq9f35), (ref: xq9f37) bağıntıları birleştirilerek

$$\frac{V_1 + \frac{V_0}{A}}{Z_1} = -\frac{V_0 + \frac{V_0}{A}}{Z_2}$$

elde edilir. Ara işlemlerden sonra

$$V_0[(-A - 1)Z_1 - Z_2] = AZ_2 V_i$$

$$\frac{V_0}{V_i} = \frac{AZ_2}{(-A - 1)Z_1 - Z_2} \frac{V_0}{V_i} = \frac{Z_2}{(-1 - \frac{1}{A})Z_1 - \frac{Z_2}{A}} \quad \text{xq9f39}$$

bağıntısı bulunur.  $A$  çok büyük olmsi durumunda (pratikte öyledir)  $\frac{1}{A} \cong 0$  olur ve (ref: xq9f39) eşitliği

$$\frac{V_0}{V_i} = -\frac{Z_2}{Z_1} \quad \#$$

haline gelir. Ayrıca  $A$  çok büyük olursa (ref: xq9f23) bağıntısı

$$V_b - V_a = \frac{V_0}{A} \cong 0 \quad \rightarrow \quad V_a = V_b = 0 \quad \text{xq9f38}$$

olur.

## Ozel durumlar

a)  $Z_1 = R_1$ ,  $Z_2 = R_2$  olması durumunda

$$\frac{V_0}{V_1} = -\frac{R_2}{R_1}, \quad \rightarrow \quad V_0 = -\frac{R_2}{R_1} V_1 \quad \#$$

elde edilir. Yani devre bir kuvvetlendirici gibi çalışır. Örnek olarak  $R_1 = 10^4$ ,  $R_2 = 10^5$  seçilse  $V_0 = -10V_1$  elde edilir. Giriş işaretini 10 defa kuvvetlendirilerek çıkışı verilmekte, ve  $V_2(t)$   $V_1(t)$  nin ters işaretine sahiptir.

b)  $Z_1 = R$ ,  $Z_2 = \frac{1}{sC}$  olması durumunda

$$\frac{V_0}{V_1} = -\frac{1}{sCR} \quad \rightarrow \quad V_0 = -\frac{1}{sCR} V_1$$

veya

$$V_0(t) = \frac{1}{RC} \int V_1(t) dt \quad \#$$

elde edilir. Burada giriş isareti  $V_1(t)$  integre edilerek çıkışa verilmektedir.

c)  $Z_1 = \frac{1}{sC}$ ,  $Z_2 = R$  olması durumunda

$$\frac{V_0}{V_1} = -sCR \rightarrow V_0 = -sCRV_1$$

veya

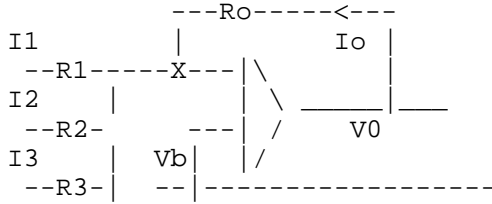
$$V_0(t) = \frac{1}{RC} \frac{dV_1(t)}{dt} \quad \#$$

elde edilir. Burada giriş isareti  $V_1(t)$ 'nin türevi alınarak çıkışa verilmektedir.

## OPAM ile Toplama Devresi

Sekildeki gibicok girişli devreyi ele alalım  $V_0$  ile  $V_1, V_2, V_3$  arasındaki bağıntıyı bulalım.

f?igure[hbt]



OPAM kullanılarak gerçekleştirilen toplama devresi

X noktası için düğüm denklemi yazılırsa (gelen akımlar giden akımlara eşittir prensibi)

$$I_1 + I_2 + I_3 = I_0 \quad \text{xq9f10}$$

(ref: xq9f38) bağıntısı gereği

$$V_x = 0 \quad \#$$

ve bunun sonucu olarak

$$V_1 = R_1 I_1 \quad \text{xq9f12}$$

$$V_2 = R_2 I_2 \quad \text{xq9f14}$$

$$V_3 = R_3 I_3 \quad \text{xq9f16}$$

$$V_0 = R_0 I_0 \quad \text{xq9f18}$$

bağıntıları yazılabilir. (ref: xq9f12), (ref: xq9f14), (ref: xq9f16), (ref: xq9f18) deki  $I_1, I_2, I_3, I_0$  deleri çekilip (ref: xq9f10) eşitliğinde yerine konulursa

$$V_0 = -\frac{R_0}{R_1} V_1 - \frac{R_0}{R_2} V_2 - \frac{R_0}{R_3} V_3 \quad \text{xq9f20}$$

elde edilir.  $R_0 = R_1 = R_2 = R_3$  seçilirse (ref: xq9f20) bağıntısı

$$V_0 = -(V_1 + V_2 + V_3)$$

#

haline gelir. Dolayısıyla şekil(ref: xq9s27)deki devre bir toplama devresi olarak kullanılabilir.

## Aktif Filtre Sentezi

Önceki bölümden görüldüğü gibi  $Z_1$  ve  $Z_2$  yerine direnc ve kondansatörlerin değişik kombinasyonları konularak çeşitli transfer fonksiyonları elde edilebilir.

Tablo(ref: xq9t15) de değişik bağlı kondansatör direnc gurubu için  $Z$  empedansları görülmüyor. ??[hbt] ) Degisik  $Z$  empedansları

$$H(s) = -\frac{10}{s+3} \text{ transfer fonksiyonunu gerçekleyen devreyi tasarlayın.}$$

**Cozum:** (ref: xq9f39) da  $Z_1 = R_1$ ,  $Z_2 = \frac{R_2}{sCR_2+1}$  olarak alinsa

$$H(s) = \frac{V_0(s)}{V_i(s)} = -\frac{Z_2}{Z_1} = -\frac{R_2}{R_1(1 + R_2CS)} = -\frac{\frac{1}{R_1C}}{s + \frac{1}{RC}}$$

elde edilir. Burada  $R_1C = 10$ ,  $R_2C = 3$  olacak şekilde elemanlar seçilebilir. Örnek olarak  $C = 1$ ,  $R_1 = 10$ ,  $R_2 = 3$  bir seçim turudur. Pratikte  $C = 1F$ 'lik kondansatör bulunmaz, fakat mesela  $C = 10^{-6}F$ lik kondansatör bulunur.  $C = 10^{-6}F$  seçilse  $R_1 = 10^7$ ,  $R_2 = 3 \times 10^6$  seçilmesi gerektiği açıktır. Devre seması şekil(ref: xq9s23.a) de görülmüyor.

f?igure[hbt] a)  $Z_1 = R_1$ ,  $Z_2 = \frac{R_2}{sCR_2+1}$  olarak b)  $Z_1 = \frac{R_1}{sC_1R_1+1}$   $Z_2 = \frac{R_2}{sC_2R_2+1}$  olarak

$$H(s) = -\frac{s+6}{s+8} \text{ transfer fonksiyonunu gerçekleyen devreyi tasarlayın.}$$

**Cozum:**

$$Z_1 = \frac{R_1}{1 + R_1C_1s} \quad Z_2 = \frac{R_2}{1 + R_2C_2s}$$

seçilir. Bu durumda transfer fonksiyonu

$$H(s) = \frac{V_0(s)}{V_i(s)} = -\frac{Z_2}{Z_1} = -\frac{R_2(1 + R_1C_1s)}{R_1(1 + R_2C_2s)}$$

şeklinde olacaktır. Dolayısıyla  $R_1 = R_2 = 10^6$ ,  $C_1 = 6 \times 10^{-6}$ ,  $C_2 = 8 \times 10^{-6}$  şeklindeki seçimle istenen  $H(s)$  elde edilir. Devre seması şekil(ref: xq9s23.b) de görülmüyor.

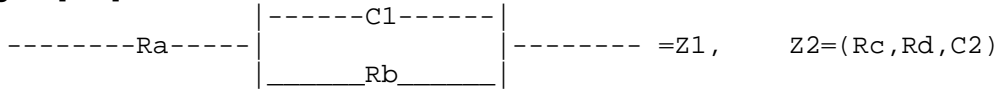
$$H(s) = -k \frac{(s+1)(s+2)}{(s+5)(s+7)} \text{ transfer fonksiyonunu gerçekleyen devreyi tasarlayın. (k sabit)}$$

**Cozum:**  $Z_1$  ve  $Z_2$  şekil(ref: xq9s25)deki gibi seçilsin.  $Z_1$  ve  $Z_2$  değerlerini hesaplayalım.

$$Z_1 = \left( R_a + \frac{1}{\frac{1}{R_b} + \frac{1}{sC_1}} \right) = R_a + \frac{1}{\frac{1}{R_b} + sC_1} = R_a + \frac{R_b}{1 + sR_bC_1} = \frac{R_aR_bC_1s + R_a + R_b}{1 + sR_bC_1}$$

$$= \frac{(R_a + R_b) \left( \frac{R_a R_b}{R_a + R_b} C_1 s + 1 \right)}{1 + R_b C_1 s} = (R_a + R_b) \frac{p_1 C_1 \left( s + \frac{1}{p_1 C_1} \right)}{R_b C_1 \left( s + \frac{1}{R_b C_1} \right)} \quad P_1 = \frac{R_a R_b}{(R_a + R_b)}$$

f?igure[hbt]



$H(s) = K \frac{(s+a)(s+b)}{(s+c)(s+d)}$ , nin gerceklememsi

$Z_2$  benzer sekilde hesaplanirsa

$$Z_2 = (R_c + R_d) \frac{p_2 C_2 \left( s + \frac{1}{p_2 C_2} \right)}{R_d C_1 \left( s + \frac{1}{R_d C_1} \right)} \quad P_2 = \frac{R_c R_d}{(R_c + R_d)}$$

bulunur. Bu durumda  $H(s)$  transfer fonksiyonu

$$\frac{V_0}{V_i} = -\frac{Z_2}{Z_1} = -K \frac{\left( s + \frac{1}{p_1 C_1} \right) \left( s + \frac{1}{p_2 C_2} \right)}{\left( s + \frac{1}{R_b C_1} \right) \left( s + \frac{1}{R_d C_2} \right)} \quad K = \frac{(R_a + R_b) \frac{p_1}{R_b}}{(R_c + R_d) \frac{p_2}{R_d}}$$

sekinde olacaktır. Dolayisiyla

$$\frac{1}{p_1 C_1} = 1 \quad \frac{1}{p_2 C_2} = 2 \quad \frac{1}{R_b C_1} = 5 \quad \frac{1}{R_d C_2} = 7$$

olacak sekilde  $R_a, R_b, R_c, R_d, C_1, C_2$  parametreleri secilerek istenen  $H(s)$  elde edilir.

Transfer fonksiyonunda pay ve paydadaki kokler (transfer fonksiyonunun kutuplari ve sifirlari) reel ise yukaridaki gibi gercekleme sistemi uygulanir. Fakat sifir ve kutuplarin kompleks olmasi durumunda degisik yontemler uygulanir. Bunlardan bazilari burada incelenecektir.

## Cok Kollu Geribeslemeli Devre

Sekildeki devrede devre denklemleri:

$$-V_1 + Z_1 I_1 + Z_2 I_2 = 0 \quad \text{xq9f41}$$

$$-Z_2 I_2 + Z_4 I_4 = 0 \quad \text{xq9f42}$$

$$-V_0 + Z_5 I_5 = 0 \quad \text{xq9f43}$$

$$I_4 = -I_5 \quad \text{xq9f44}$$

$$-V_0 + Z_3 I_3 - Z_1 I_1 + V_1 = 0 \quad \text{xq9f45}$$

$$I_1 + I_3 = I_2 + I_4 \quad \text{xq9f46}$$

Yukaridaki esitlikler duzenlenerek  $\frac{V_0}{V_i}$  bulunabilir.

$$\text{(ref: xq9f43)den} \quad I_5 = \frac{V_0}{Z_5} \quad \text{xq9f47}$$

$$\text{(ref: xq9f44ve(ref: xq9f47)den} \quad I_4 = -\frac{V_0}{Z_5} \quad \text{xq9f48}$$

$$\text{(ref: xq9f42ve(ref: xq9f48den} \quad I_2 = -\frac{Z_4}{Z_2 Z_5} V_0 \quad \text{xq9f49}$$

$$\text{(ref: xq9f41ve(ref: xq9f48den} \quad I_1 = \frac{V_1}{Z_1} + \frac{Z_4}{Z_1 Z_5} V_0 \quad \text{xq9f410}$$

(ref: xq9f46),(ref: xq9f48),(ref: xq9f49),(ref: xq9f410) dan

$$I_3 = -\frac{Z_4}{Z_2 Z_5} V_0 - \frac{V_0}{Z_5} - \frac{V_1}{Z_1} - \frac{Z_4}{Z_1 Z_5} V_0 \quad \text{xq9f411}$$

(ref: xq9f45),(ref: xq9f410),(ref: xq9f411) dan

$$-V_0 + Z_3 \left[ -\frac{Z_4}{Z_2 Z_5} V_0 - \frac{V_0}{Z_5} - \frac{V_1}{Z_1} - \frac{Z_4}{Z_1 Z_5} V_0 \right] - Z_1 \left[ \frac{V_1}{Z_1} + \frac{Z_4}{Z_1 Z_5} V_0 \right] + V_1 = 0 \quad \text{xq9f412}$$

Esitlik duzenlenirse

$$V_1 \left[ -\frac{Z_3}{Z_1} \right] + V_0 \left[ -1 - \frac{Z_3 Z_4}{Z_2 Z_5} - \frac{Z_3}{Z_5} - \frac{Z_3 Z_4}{Z_1 Z_5} - \frac{Z_4}{Z_5} \right] = 0 \quad \text{xq9f413}$$

elde edilir.  $Z$  empedanslari yerine admitanslari kullanarak

$$Z_1 = \frac{1}{Y_1} \quad Z_2 = \frac{1}{Y_2} \quad Z_3 = \frac{1}{Y_3} \quad Z_4 = \frac{1}{Y_4} \quad Z_5 = \frac{1}{Y_5}$$

bulunur. Gerekli duzenlemeler yapilrsa (ref: xq9f413) esitligi

$$\begin{aligned} \frac{V_0}{V_1} &= \frac{-Y_1 Y_4}{Y_3 Y_4 + Y_2 Y_5 + Y_4 Y_5 + Y_1 Y_5 + Y_3 Y_5} \\ &= \frac{-Y_1 Y_4}{Y_3 Y_4 + Y_5 (Y_1 + Y_2 + Y_3 + Y_4)} \end{aligned} \quad \text{xq9f415}$$

haline gelir.

## Butterworth AGF gerceklemesi

Simdi ikinci derece Butterworth AGF filtresi olan  $H(s) = \frac{1}{s^2 + \sqrt{2}s + 1}$  transfer fonksiyonunu cok katmanli geribeslemeli devre ile gerceklemeye calisalim.

$$H(s) = \frac{-Y_1 Y_4}{Y_3 Y_4 + Y_5 (Y_1 + Y_2 + Y_3 + Y_4)} = \frac{1}{s^2 + \sqrt{2}s + 1} \quad \text{xq9f51}$$

$Z$  elemanlari ya direnc ( $Z = R$  yada kapasite  $Z = \frac{1}{sC}$ ) olabilir. Dolayisiyla  $Y$  elemanlari da  $\frac{1}{R}$  veya  $sC$  seklinde olabilir.  $Y_1, Y_2, Y_3, Y_4, Y_5$  elemanlarindan hangisinin kapasite hangisinin direnc olacagi asagidaki gibi bir mantik yurutme sonucu tesbit edilir.

Acikca goruldugu gibi  $Y_1 Y_4 = 1$  olmak zorundadir ve  $Y_1 Y_4$  carpiminin icinde  $s$  terimi yoktur. Dolayisiyla hem  $Y_1$  hem  $Y_4$  direnc olmak zorundadir.

$Y_4$  sabit oldugundan  $Y_3 Y_4$  carpimi ya sabittir veya  $s$  li bir terimdir.  $s^2$  li olamaz.

Paydada mutlaka bir  $s^2$  li terim gerektiginden,  $Y_5$  icin bunu saglayan tek sart  $Y_5$  in  $s$  li bir terim ihtiva etmsidir.



$Y_5$   $s$  li bir terim oldugu icin ve Paydada mutlaka sabit terim gerektiginden bu sabit terim ancak  $Y_3Y_4$  carpimi olabilir. O halde  $Y_3$  sabittir.

$Y_1, Y_4, Y_3$  sabit terimler olduguna gore  $Y_2$   $s$  li olmak zorunda cunku paydada  $s^2$  li terim ancak  $Y_2Y_5$  carpimi olabilir.

Su halde  $Y_2, Y_5$   $s$  li terimlerdir, yani kapasitedirler.  $Y_1, Y_3, Y_4$  sabit terimlerdir, yani direncidirler. Sonuc olarak admitans ifadeleri

$$Y_2 = sC_2 \quad \#$$

$$Y_5 = sC_5 \quad \#$$

$$Y_1 = \frac{1}{R_1} \quad \#$$

$$Y_3 = \frac{1}{R_3} \quad \#$$

$$Y_4 = \frac{1}{R_4} \quad \#$$

sekinde olmalidir.

$$H(s) = \frac{\frac{1}{R_1} \frac{1}{R_4}}{sC_5 \left( \frac{1}{R_1} + sC_2 + \frac{1}{R_3} + \frac{1}{R_4} \right) + \frac{1}{R_3} \frac{1}{R_4}} = \frac{\frac{1}{R_1R_4C_5C_2}}{s^2 + \left( \frac{1}{R_1} + \frac{1}{R_3} + \frac{1}{R_4} \right) \frac{1}{C_2} s + \frac{1}{R_3R_4C_2C_5}} \quad \text{xq9f53}$$

(ref: xq9f51) ve (ref: xq9f53) deki  $H(s)$  ifadeleri karsilastirilirse

$$\frac{\frac{1}{R_1R_4C_5C_2}}{s^2 + \left( \frac{1}{R_1} + \frac{1}{R_3} + \frac{1}{R_4} \right) \frac{1}{C_2} s + \frac{1}{R_3R_4C_2C_5}} = \frac{1}{s^2 + \sqrt{2}s + 1}$$

elde edilir. Buradan  $s$ 'in benzer kuvvetlerinin katsayilarinin esitlenmesiyle

$$\frac{1}{R_3R_4C_2C_5} = 1 \quad \#$$

$$\left( \frac{1}{R_1} + \frac{1}{R_3} + \frac{1}{R_4} \right) \frac{1}{C_2} = \sqrt{2} \quad \#$$

Burada saglanmasi gereken iki sart vardir eleman sayisi ise 5 tanedir. Eleman sayisi fazla oldugundan burada 3 eleman keyfi olarak secilebilir. Direnclerdeki toleranslardan olusacak zararlarini onlemek icin uc direnc ayni degerde ( $R_1 = R_3 = R_4 = R$ ) secilir. Bu durumda  $C_2 = \frac{3}{\sqrt{2}R}$   $C_5 = \frac{\sqrt{2}R}{3}$  olarak hesaplanir.

## Butterworth YGF gerceklemesi

Simdi ikinci derece Butterworth YGF filtresi olan

$$H(s) = \frac{s^2}{s^2 + \sqrt{2}s + 1} \quad \text{xq9f61}$$

transfer fonksiyonunu cok katmanli geribeslemeli devre ile gerceklemeye calisalim.

$$H(s) = \frac{-Y_1Y_4}{Y_3Y_4 + Y_5(Y_1 + Y_2 + Y_3 + Y_4)} = \frac{s^2}{s^2 + \sqrt{2}s + 1} \quad \#$$

pay'da  $s^2$  li terim olması için  $Y_1 Y_4 s^2$  li terim olmalı. Yani hem  $Y_1$  hem de  $Y_4 s$ 'li terim bulundurmali.

$$Y_1 = sC_1 \quad \#$$

$$Y_4 = sC_4 \quad \#$$

$Y_4 s$  li, terim bulunduruyor. O halde  $Y_5$  sabit olmak zorundadır. Aksi halde paydadaki terimlerin hepsi  $s$  veya  $s^2$  li olur, sabit terim kalmaz.

$$Y_5 = \frac{1}{R_5} \quad \#$$

$Y_5$  de  $s$  yok, o halde paydada  $s^2$  olması için  $Y_3 Y_4$  carpimi  $s^2$  olmalı.

$$Y_3 = sC_3 \quad \#$$

Paydadaki sabit terimi oluşturmak için tek seçenek  $Y_2$  nin  $s$  li terim bulundurmaması yani sabit olmasıdır.

$$Y_2 = \frac{1}{R_2} \quad \#$$

Dolayısıyla transfer fonksiyonu aşağıdaki şekilde olacaktır.

$$H(s) = \frac{sC_1 sC_4}{\frac{1}{R_5} \left( sC_1 + \frac{1}{R_2} + sC_3 + sC_4 \right) + sC_3 sC_4} = \frac{\frac{C_1}{C_3} s^2}{s^2 + \frac{C_1 + C_3 + C_4}{R_5 C_3 C_4} s + \frac{1}{R_2 R_5 C_3 C_4}} \quad \text{xq9f63}$$

(ref: xq9f61) ve (ref: xq9f63)deki  $H(s)$  ifadelerindeki  $s$ 'nin benzer terimleri eşitlenirse

$$\frac{C_1 + C_3 + C_4}{R_5 C_3 C_4} = \sqrt{2} \quad \text{xq9f71}$$

$$\frac{1}{R_2 R_5 C_3 C_4} = 1 \quad \text{xq9f72}$$

Burada da 3 elemanın değeri keyfi seçilebilir. Genelde  $C_1 = C_3 = C_4 = C$  şeklinde seçilerek direnç değerleri (ref: xq9f71) ve (ref: xq9f72)'yi sağlayacak şekilde seçilir.

## Butterworth BGF gerçekleştirilmesi

AGF, YGF tiplerinde olduğu gibi

$$H(s) = \frac{s}{s^2 + \sqrt{2}s + 1} \quad \text{xq9f77}$$

şeklindeki BGF tipi bir filtre transfer fonksiyonu çok katmanlı geribeslemeli devre ile gerçekleştirilebilir. AGF ve YGF filtrelerindeki tasarıma benzer bir mantık burada da izlenerek eleman değerleri bulunur.

$$Y_1 = \frac{1}{R_1} \quad \#$$

$$Y_3 = sC_3 \quad \#$$

$$Y_4 = sC_4 \quad \#$$

$$Y_5 = \frac{1}{R_5} \quad \#$$

Seklindeki bir secim (ref: xq9f77) ile verilen devreyi gercekler. Burada  $Y_2$  herhangi bir eleman olabilir, hatta  $Y_2 = 0$  olabilir yani devreden cikartilabilir.

## Yuksek dereceden Filtrelerin Gerceklemesi

Yukaridaki yontenler kullanilarak

$$H(s) = \frac{K}{s+a} \quad H(s) = \frac{K}{s^2+as+b}$$

#

$$H(s) = \frac{Ks}{s^2+as+b} \quad H(s) = \frac{Ks^2}{s^2+as+b}$$

sekindeki transfer fonksiyoblarinin nasil gerceklestirilecegi gosterilmisti. Daha yuksek dereceden filtreler bu filtrelerdeki  $Z$  empedanslarini degistirerek veya geribesleme kolunun sayisini artirarak elde edilebilir. Ancak Bu islemin asagidaki mahzurlari vardir.

- 1) kararsizlik problemi ortaya cikir.
- 2) OPAM kolayca doymaya gider.
- 3)
- 4)

Yukaridaki sebeplerden dolayi cok kollu geribesleme yontemi ile filtre tasariminda transfer fonksiyonlari sekil(ref: xq9s41) de gosterildigi gibi ikinci dereceden bloklar halinde yapilir ve bloklar kaskat olarak birlestirilir.

f?igure[hbt] kaskat bagli bloklar

$$H(s) = \frac{1}{s^4 + 2.613s^3 + 3.414s^2 + 2.613s + 1} = \frac{1}{(s^2 + 0.765s + 1)(s^2 + 1.848s + 1)}$$

#

transfer fonksiyonu ile verilen 4. derece Butterwoth filtresini gerceklestirin. Verilen transfer fonksiyonu

$$H(s) = \frac{1}{s^2 + 0.765s + 1} \frac{1}{s^2 + 1.848s + 1}$$

#

sekinde dusunulur ve

$$H_1(s) = \frac{1}{s^2 + 0.765s + 1} \quad H_2(s) = \frac{1}{s^2 + 1.848s + 1}$$

xq9f81

transfer fonksiyonlari ayri ayri gerceklestirilir. Bolun(ref: xq9b21)de gosterildigi uzere  $H_1(s)$  ve  $H_2(s)$  transfer fonksiyonlari gerceklestirilip direnc ve kondansator degerleri hesaplanirsa

$$R_1 = R_2 = R_3 = R_4 = R_5 = R_6 = 1$$

#

$$C_1 = 1.62, \quad C_2 = 0.615, \quad C_3 = 3.9197, \quad C_4 = 0.2551$$

#

sekindeki bir secim (ref: xq9f81) ile verilen  $H_1(s)$  ve  $H_2(s)$  bagintilarini saglar.

Dolayisiyla aranan devre  $H_1(s)$  ve  $H_2(s)$  devrelerinin sekil(ref: xq9s47) deki gibi seri baglanmasi ile elde edilen devredir.

f?igure[hbt] seri bagli butt devresinin semasi

**Not:** Gercekte  $H_1(s)$  ve  $H_2(s)$  transfer fonksiyonuna sahip iki devre kaskat olarak baglanirsa yeni sistemin transfer fonksiyonu

$$H(s) = H_1(s)H_2(s) \frac{Z_{i2}(s)}{Z_{i2}(s) + Z_{o1}(s)} \quad \#$$

sekinde olur.

f?igure[hbt] iki blok seri bagli  $Z_{i2}$   $Z_{o1}$  gosterilmis. opam seri bagli

Burada  $Z_{i2}$  sekil(ref: xq9s49) de gosterildigi gibi ikinci blogun giris empedandi,  $Z_{o1}$  birinci blogun cikis empedansidir. Eger

$$Z_{i2} \gg Z_{o1} \quad \#$$

ise

$$\frac{Z_{o1}}{Z_{i2}} \simeq 0 \quad \#$$

bunun sonucu olarak da

$$\frac{Z_{i2}(s)}{Z_{i2}(s) + Z_{o1}(s)} = \frac{1}{1 + \frac{Z_{o1}}{Z_{i2}}} \simeq 1 \quad \#$$

olacak ve

$$H(s) = H_1(s)H_2(s) \quad \#$$

sarti saglanacaktır. OPAM'li devrelerde genelde blokların giris empedanslari  $Z_{i1}, Z_{i2}, \dots$  yuksek cikis empedanslari  $Z_{o1}, Z_{o2}, \dots$  dusuktur. Zaten OPAM'li devrenin kullanilmasındaki maksatlardan biri de budur. Ancak giris empedanslari ve cikis empedanslarinin degerleri yeterli limitler arasinda degilse araya sekil(ref: xq9s51) de gosterildigi gibi *Tampon (buffer)* devreler konur. Tampon devrenin giris direnci cok yuksek pratik olarak sonsuz cikis direnci cok dusuk pratik olarak sifirdir. Bu yuzden iki blogun birbiri ile empedans uyumsuzlugundan olan etkilesimini engeller.

f?igure[hbt] OPAM li BUffer devresi .

## Durum degiskenleri yontemiyle Filtre dizayni

$H(s)$  Filtre transfer fonksiyonu **durum denklemleri** formunda yazilip gercekleme yapilabilir. Bir transfer fonksiyonunun durum denlemleri cesitli formlarda olabilir. Bir transfer fonksiyonunun durum denklemleri formu birden faladir, hatta teorik olarak sonsuzdur. Durum denklemleri formu otomatik kontrol ile ilgili kitaplarda [ref: durumdenklemlerireferans]. genisce islenmistir. Burada bu koonu kisaca anlatilacaktır.

Durum denklemleri formunda blok diyagramlarının önemli bir yeri vardır. Blok diyagramları sayısal filtrelerin gerçekleştirilmesinde de sık sık karşımıza çıkar. Bu yüzden blok diyagramları konusu öncelikle işlenecektir.

## Blok diyagramları

Blok diyagramları işaretin akışını göstermek ve bir sistemin anlaşılması için kullanılan bir alettir. Blok diyagramında kullanılan elemanları kısaca tanıyalım.

I) kuvvetlendirme şekli (ref: xq9s70.a) de görülen kuvvetlendirme işleminde  $x(t)$  işareti  $K$  sabiti ile çarpılıp çıkışa verilmektedir.

$$y(t) = Kx(t) \quad \#$$

f?igure[hbt]

$$x(t) \xrightarrow{|K|} y(t) \quad x(t) \xrightarrow{|s^{-1}|} y(t)$$

a) kuvvetlendirme b) integral alma

II) integral alma şekli (ref: xq9s70.b) de görülen integral alma işleminde çıkış girişin integralidir.

$$y(s) = s^{-1}x(s) \quad \text{veya} \quad y(t) = \int x(t)dt \quad \#$$

şeklinde gösterilir.

III) Toplama devresi

f?igure[hbt]

$$\begin{array}{c} + \setminus x_1 \\ -x_2 \xrightarrow{\quad} 0 \xrightarrow{\quad} y(t) \\ + \setminus - \\ x_3 \\ a) \end{array} \quad \begin{array}{c} - \setminus x_1 \\ -x_2 \xrightarrow{\quad} 0 \xrightarrow{\quad} y(t) \\ - \setminus - \\ x_3 \\ b) \end{array}$$

a) toplama elemanları

Toplama devresinde çıkış giren işaretlerin toplamıdır. Giren değerlerin işareti ok ucunda belirtilir. şekil (ref: xq9s72.a) de görülen devrede çıkış

$$y(t) = x_1(t) + x_2(t) - x_3(t) \quad \#$$

şeklinde iken Şekil (ref: xq9s72.b) de ise

$$y(t) = -x_1(t) - x_2(t) - x_3(t) \quad \#$$

şeklinde olacaktır.

IV) Ölçme alma

f?igure[hbt]

$$-a \xrightarrow{\quad} \left| \begin{array}{c} \setminus y_1 \\ \setminus \\ y_2 \end{array} \right| \xrightarrow{\quad} y_3$$

a) Ölçme devresi

şekil (ref: xq9s74) de görülen devrede bir noktadan değişik ölçme yapılmış bir kaç yerde

kullanılmistir.

$$y_1(t) = a, \quad y_2(t) = a, \quad y_3(t) = a \quad \#$$

Bir yerden bir veya birkac olcme almanin o yerin karakteristigine bir etksi olmaz.

Sekil(ref: xq9s80)de gosterilen devrede  $y_1$  ve  $y_2$  nin  $x_1, x_2, x_3$ 'e olan baglantisini bulun.

f?igure[hbt]

$$\begin{array}{c} + \backslash / \quad x_1 \\ -x_2 - |k| \rightarrow 0 \text{-----} t \text{-----} |s^{-1}| \quad | \text{---} | -M | \text{-----} \rightarrow y_1 \\ - \quad / \backslash - \\ \quad \quad \quad x_3 \end{array}$$

Degisik elemanlarin birlestirilmesiyle olusmus bir blok diyagrami

**Cozum:** Sekilden goruldugu gibi

$$t = x_1 - x_2 - x_3 \quad \text{xq9g01}$$

$$q = s^{-1}t \quad \text{xq9g02}$$

$$y_1 = -Mq \quad \text{xq9g03}$$

$$y_2 = s^{-1}q \quad \text{xq9g04}$$

(ref: xq9g01), (ref: xq9g02) ve (ref: xq9g03)un birlestirilmesiye

$$\begin{aligned} y_1 &= -Ms^{-1}t = -Ms^{-1}(x_1 - x_2 - x_3) \\ &= -Ms^{-1}x_1 + Ms^{-1}x_2 + Ms^{-1}x_3 \end{aligned} \quad \#$$

elde edilir. Benzer sekilde (ref: xq9g01), (ref: xq9g02) ve (ref: xq9g04)un birlestirilmesiye

$$y_2 = s^{-1}s^{-1}t = s^{-2}(x_1 - x_2 - x_3) = s^{-2}x_1 - s^{-2}x_2 - s^{-2}x_3 \quad \#$$

elde edilir.

Sekil(ref: xq9s81)de gosterilen geribesleme devresinde  $y$  ve  $x$  arasindaki baginintiyi belirleyin.

f?igure[hbt]

$$\begin{array}{c} + \quad q \\ x \text{---} \rightarrow 0 \text{---} \rightarrow |s^{-1}| \quad | \text{---} | \text{---} \rightarrow y \\ / \backslash - \quad p \\ | \text{---} \text{---} |K| \text{---} \text{---} | \end{array}$$

a)toplama b)olcme yapma

Sekilden goruldugu gibi

$$q = x - p \quad \#$$

$$p = Ky \quad \#$$

$$y = s^{-1}q \quad \#$$

Uc esitligin birlestirilmesiyle

$$y = s^{-1}q = s^{-1}(x - p) = s^{-1}(x - Ky) = s^{-1}x - s^{-1}Ky \quad \#$$

elde dilir. Esitlik  $y$ 'ye gore duzenlenirse

$$y + Ks^{-1}y = s^{-1}x \quad \rightarrow \quad y = \frac{s^{-1}}{1 + Ks^{-1}} \quad \rightarrow \quad y = \frac{1}{s + K} \quad \#$$

## Transfer fonksiyonlarinin Blok diyagramlari

Bir transfer fonksiyonunun cok degisik formda durum denklemleri (ve blok diyagrami) gosterimi vardir. Burada standart programlama olarak bilinen yontem ikinci derece bir sistem transfer fonksiyonu uzerinde anlatilacaktır.

$$H(s) = \frac{V_0(s)}{V_1(s)} = \frac{a_2s^2 + a_1s + a_0}{s^2 + b_1s + b_0} \quad \text{xq9f60}$$

olarak verilen bir sistemi durum denklemleri formunda gercekleyelim.  $H(s)$  polinomu

$$H(s) = \frac{a_2s + a_1s^{-1} + a_0s^{-2}}{1 + b_1s^{-1} + b_0s^{-2}} \quad \#$$

sekinde yazilip

$$\frac{V_0(s)}{X(s)} = \frac{a_2s + a_1s^{-1} + a_0s^{-2}}{1} \quad \text{xq9f62}$$

$$\frac{X(s)}{V_1(s)} = \frac{1}{1 + b_1s^{-1} + b_0s^{-2}} \quad \text{xq9f64}$$

tanimlari yapilrsa (ref: xq9f60) esitligi

$$H(s) = \frac{V_0(s)}{V_1(s)} = \frac{V_0(s)}{X(s)} \frac{X(s)}{V_1(s)} \quad \#$$

sekinde yazilabilir. (ref: xq9f64) esitligi

$$V_1(s) = X(s) + b_1s^{-1}X(s) + b_0s^{-2}X(s) \quad \text{xq9f66}$$

veya

$$X(s) = V_1(s) - b_1s^{-1}X(s) - b_0s^{-2}X(s) \quad \text{xq9f68}$$

sekinde yazilabilir.  $X(s)$  ve  $V_1(s)$  arasinda bir blok diyagrami yapabiliriz. Once bir noktaya  $X(s)$  isareti koyup  $s^{-1}X(s)$  ve  $s^{-2}X(s)$  noktalarini elde edelim.

(ref: xq9f68) esitligini elde edebilmek icin  $X(s)$  noktasinin basina bir toplama isareti koymamiz lazimdir.

$s^{-1}X(s)$  ve  $s^{-2}X(s)$  bos uclarini yerlerine baglayarak (ref: xq9f68) esitliginin tanimladigi diyagram sekil(ref: xq9s89) deki gibi tamamlanir.

f?igure[hbt]

$X(s) = V_1(s) - b_1s^{-1}X(s) - b_0s^{-2}X(s)$  in blok diyagrami  $b_1, b_0$  eklenecek  
(ref: xq9f62) esitligi

$$V_0(s) = a_2X(s) + a_1s^{-1}X(s) + a_0s^{-2}X(s)$$

#

sekinde yazilrsa benzer yontemle sekil(ref: xq9s91) deki gibi blok diyagrami cikartilabilir.

f?igure[hbt]

$V_0(s) = a_2X(s) + a_1s^{-1}X(s) + a_0s^{-2}X(s)$  in blok diyagrami

(ref: xq9f60) esitligi ile verilen transfer fonksiyonunu gerceklemek icin

Sekil(ref: xq9s89) ve (ref: xq9s91) deki blok diyagramlari Sekil(ref: xq9s93) de oldugu gibi birlestirilir.

f?igure[hbt] kflj;lkfjlk;d;saif  $H(s) = \frac{a_2s^2+a_1s+a_0}{s^2+b_1s+b_0}$  blok diyagrami

Burada ikinci dereceden bir transfer fonksiyonuna iliskin gercekleme gozonune alindi. Acikca gorulecegi uzere durum denklemleri ile yukaridaki gibi gerceklemelerde transfer fonksiyonu kacinci dereceden olursa olsun gercekleme yapilabilir. Ancak devredeki OPAM'larin calisma sartlarinin diger elemanlarin calismalarinda etkilesimi problemi vardir. Bunu onlemek icin pratikte ikinci dereceden yuksek transfer fonksiyonlarin gerceklemesinde tipki cok katmanli gerceklemelerde oldugu gibi transfer fonksiyonu ikinci dereceden terimlere ayrilir. Elde edilen ikinci derece transfer fonksiyonlari ayri ayri gerceklenir ve kaskat olarak baglanarak sistem transfer fonksiyonu  $H(s)$  elde edilir.

## Blok diyagraminin OPAM devreleri ile gerceklemesi

Bolum(ref: xq9b12) de verilen devreler kullanilarak sekil(ref: xq9s93)de verilen  $H(s)$  transfeer fonksiyonuna iliskin blok diyagrammi gerceklenebilir. Sekil(ref: xq9s95)de sekil(ref: xq9s93)deki blok diyagraminin OPAM kullanarak gerceklemesi goruluyor.

f?igure[hbt]  $H(s) = \frac{a_2s^2+a_1s+a_0}{s^2+b_1s+b_0}$  nin OPAM'larla gerceklemesi.

Sekilde OPAM'larin.....toprak uclari gosterilmmmm ... devre ile ilgili aciklamalar yapilacak .....

Durum denklemleri formu kullanarak gerceklemelerde cok katmanli geribeslemeye gore cok daha fazla eleman kullanilir. Durum denklemleri ile gerceklemenin avantajlari sistem transfer fonksiyonundaki  $a_0, a_1, a_2, b_0, b_1$  katsayilarinin hassas olarak ayarlanabilmesidir.



# IIR Filtreler ve Analog Sistemlerin Sayısal Esdegeri

Sayısal bir filtrenin  $z$  domenindeki transfer fonksiyonu (ref: zdomentransfonk) esitligi ile

$$H(z) = \frac{y(z)}{u(z)} = \frac{a_m z^m + a_{m-1} z^{m-1} + a_{n-1} z^{n-1} + \dots + a_1 z + a_0}{b_n z^n + b_{n-1} z^{n-1} + b_{n-1} z^{n-1} + \dots + b_1 z + b_0}$$

-8mm

(ref: xqfg615) esitligi ile

(ref: zdomentransfonk) ve frekans spektrumu

$$\begin{aligned} \overline{H(w)} &= |H(e^{jwT})| = \left| \frac{y(e^{jwT})}{u(e^{jwT})} \right| \\ &= \frac{a_m e^{jwmT} + a_{m-1} e^{jw(m-1)T} + a_{m-2} e^{jw(m-2)T} + \dots + a_1 e^{jwT} + a_0}{a_n e^{jwnT} + a_{n-1} e^{jw(n-1)T} + a_{n-2} e^{jw(n-2)T} + \dots + a_1 e^{jwT} + a_0} \end{aligned}$$

xq10f613

verilmisti. IIR filtre tasariminda hedeflenen (ref: zdomentransfonk) veya (ref: xq10f613) formunda verilen transfer fonksiyonundaki  $a_0, a_1, a_2, \dots, b_0, b_1, b_2$  katsayilarinin hesabidir. Burada istenenler

- 1)  $H(z)$  nin kararli olmasi,
- 2)  $H(w)$  nin istenen genlik ve faz karakteristigini saglamasi,
- 3) Transfer fonksiyonunun derecesinin mumkun oldugu kadar dusuk ( $n$ 'nin kucuk olmasi).

1.sart filtrenin kullanilabilmesi icin gerek bir sarttir. Kararsiz bir filtrenin kullanimi sozkonusu degildir. 3. sart filtreye iliskin bilgisayar programinin calisma esnasinda bilgisayar hafizasinda isgal ettigi yer ve filtre cikkisinin hesaplanmamsi icin gereken matematik islem sayisi ile ilgilidir.  $n$  ne kadar buyuk olursa filtre programi bilgisayarda cok yer isgal edecek ve verilen bir girise karsilik filtre cikisinin hesabi uzun zaman alacaktır. Buradan hemen gorulecegi uzere 2. ve 3. sartlar birbirine zittir. Genlik ve faz karakteristiginin ideal filtre karakterisitigine benzemesi icin  $n$ 'nin buyultulmesi lazimdir.

IIR filtre tasarimi literaturde degisik yontemlerle yapilmaktadir. Yaygin olarak kullanimi yontemlerden birisi analog filtrenin sayisal esdegerini hesaplamaktir. Dogrudan  $a_0, a_1, a_2, \dots, b_0, b_1, b_2$  katsayilarinin hesabi da uzerinde oldukca calisilan bir konudur. Bunlari kisaca inceleyelim.

## En Kucuk Kareler Yontemiyle IIR Filtre Tasarimi

IIR filtre tasariminin ozu olan  $a_0, a_1, a_2, \dots, b_0, b_1, b_2$  katsayilarinin hesabi en kucuk kareler yontemiyle yapilabilir.

$$\mathcal{E} = \int_0^{\infty} |H(e^{jwT}) - H_d(jw)|^2 dw$$

xq10f17

sekinde bir hata gostergesi tanimlayalim. Burada  $H_d(w)$  ideal filtreye iliskin transfer fonksiyonu,  $H(e^{jwT})$  dizayn edilecek filtrenin transfer fonksiyonudur. Ideal filtre transfer fonksiyonu  $H_d(w)$  kompleks formdan ziyade genlik ve faz spektrumu sekinde verilir.

Dolayisiyla (ref: xq10f17) esitligini  $H_d(w)$ 'nin genligi ve fazi cinsinden yazmak daha kullanislidir.

$$\mathcal{E} = \int_0^\infty \left( \|H(e^{jwT}) - H_d(jw)\|^2 + \left[ \angle H(e^{jw_i T}) - \angle H_d(w_i) \right]^2 \right) dw \quad \text{xq10g17}$$

$\mathcal{E}$ 'yi minimum yapan  $a_0, a_1, a_2, \dots, b_0, b_1, b_2$  katsayilari nedir. (ref: xq10g17)integralini analitik olarak hesaplamak cok zor hatta imkansizdir.  $0 - \infty$  arasinda integral almak yerine onemli frekanslardaki degerler alinarak integral yerine toplam kullanilir.

$$\mathcal{E} = \sum_{i=0}^k [H(e^{jw_i T}) - H_d(jw_i)]^2 + \left[ \angle H(e^{jw_i T}) - \angle H_d(w_i) \right]^2 \quad \text{xq10g19}$$

Kouyu daha acik olarak aciklayabilmek icin basit bir ornek ele alalim.

**so ru:**  $H_d(0.5T) = 10, H_d(1.5T) = 10, H_d(2T) = -10$  olan diger butun  $w$ 'lar icin  $H_d(wT) = 10$  olan

$$H(z) = \frac{z+a}{z+b} \quad \text{xq10f11}$$

sekindeki  $H(z)$  transfer fonksiyonu nedir. Ornekleme periyodu  $T = 1$  saniyedir.

**Cozum:** (ref: xq10f11) ile verilen  $H(z)$ ye iliskin genlik fonksiyonunu bulalim.

$$H(e^{jwT}) = \frac{e^{jwT} + a}{e^{jwT} + b} = \frac{\cos(wT) + j \sin(wT) + a}{\cos(wT) + j \sin(wT) + b}$$

$$\begin{aligned} |H(e^{jwT})| &= \frac{\sqrt{(\cos(wT)+a)^2 + (\sin(wT))^2}}{\sqrt{(\cos(wT)+b)^2 + (\sin(wT))^2}} = \sqrt{\frac{a^2 + 2a \cos(wT) + \cos^2(wT) + \sin^2(wT)}{b^2 + 2b \cos(wT) + \cos^2(wT) + \sin^2(wT)}} \\ &= \sqrt{\frac{a^2 + 2a \cos(wT) + 1}{b^2 + 2b \cos(wT) + 1}} \end{aligned}$$

$H(z)$ ye iliskin faz fonksiyonu

$$\theta(w) = \operatorname{arctg} \frac{\sin(wT)}{a + \cos(wT)} - \operatorname{arctg} \frac{\sin(wT)}{b + \cos(wT)} \quad \#$$

sekinde olacaktır.

$$|H_d(0.5)| = 10, |H_d(1.5)| = 20, |H_d(2)| = 10,$$

$$\angle H_d(0.5) = 0, \angle H_d(1.5) = 0, \angle H_d(2) = \pi$$

oldugu gozonune alinarak (ref: xq10g19) esitligini verilen problem icin yazalim.

$$\begin{aligned}
\mathcal{E} &= \sum_{i=0}^3 |H(e^{j\omega_i T} - H_d(j\omega_i))|^2 \\
&= \left[ \sqrt{\frac{a^2 + 2a \cos(0.5T) + 1}{b^2 + 2b \cos(0.5T) + 1}} - 10 \right]^2 \\
&\quad + \left[ \sqrt{\frac{a^2 + 2a \cos(1.5T) + 1}{b^2 + 2b \cos(1.5T) + 1}} - 20 \right]^2 \\
&\quad + \left[ \sqrt{\frac{a^2 + 2a \cos(2T) + 1}{b^2 + 2b \cos(2T) + 1}} - 10 \right]^2 \\
&\quad + \left[ 0 - \left( \operatorname{argtg} \frac{\sin(0.5T)}{a + \cos(0.5T)} - \operatorname{argtg} \frac{\sin(0.5T)}{b + \cos(0.5T)} \right) \right]^2 \\
&\quad + \left[ 0 - \left( \operatorname{argtg} \frac{\sin(1.5T)}{a + \cos(1.5T)} - \operatorname{argtg} \frac{\sin(1.5T)}{b + \cos(1.5T)} \right) \right]^2 \\
&\quad + \left[ \pi - \left( \operatorname{argtg} \frac{\sin(2T)}{a + \cos(2T)} - \operatorname{argtg} \frac{\sin(2T)}{b + \cos(2T)} \right) \right]^2
\end{aligned}$$

xq10f31

$\mathcal{E}$ 'nin  $\mathcal{E}$ 'nin  $a$  ve  $b$ 'ye göre türevlerinin sıfır olması lazımdır.

$$\frac{d\mathcal{E}}{da} = 0, \quad \frac{d\mathcal{E}}{db} = 0$$

#

(ref: xq10f31) bağıntısı ile verilen  $\mathcal{E}$ 'nin  $a$  ve  $b$  ye göre türevleri alınıp sıfıra eşitlenirse iki bilinmeyenli iki denklem ortaya çıkar. Ancak bu denklem çiftini analitik olarak çözmek imkansızdır. Denklem çiftinin numemri çözümü de bilinen numerik metodlarla kolay değildir. Basdaki varsayımımızda  $H(z)$  transfer fonksiyonu çok basit birince dereceden bir fonksiyon varsayıldı. Transfer fonksiyonu yüksek dereceden seçilirse çözümün daha da karışık olacağı açıktır.

Problemin çözümünde optimizasyon teknikleri kullanılır. Optimizasyon konusu kaplayacağı hacim nedeniyle bu kitap kapsamında ele alınmayacaktır. Konu ile ilgili geniş açıklamalar (ref: optimumfiltretasarimi) de bulunabilir. (ref: neurallnetworkfiltre konusu da bahsetmeye değer.

## Analog Sistemlerin Sayısal Esdeğeri

(ref: xq8b01) bölümde görüldüğü gibi analog filtre dizayn için teknikler çok geliştirilmiştir. Bu teknikleri sayısal filtre dizaynı için kullanabiliyoruz. Analog filtrenin sayısal esdeğerini bulmak bu bölümde çalışılacaktır. (ref: xq8b01) bölümde anlatıldığı gibi analog filtrenin transfer fonksiyonu  $H(s)$  elde edilmiş olsun.  $H(s)$  transfer fonksiyonu ile aynı genlik ve faz özelliklerine sahip  $H_D(z)$  ayrık zaman transfer fonksiyonu nedir. Onu bulmaya çalışıyoruz. Bir kaç noktanın hatırlatılması burada faydalı olacaktır.

1)  $H_D(z)$  transfer fonksiyonunun genlik ve faz spektrumu  $T_s$  örnekleme periyodu olmak üzere  $\omega_s = \frac{2\pi}{T_s}$  örnekleme frekansı ile periyodiktir. Bu nedenle ayrık filtrenin kullanılabileceği maksimum frekans örnekleme frekansının yarısı olan frekansıdır. Ayrık filtrenin daha yüksek frekanslardaki değerlerinin pratikte bir faydası yoktur. Yalnız frekans domeninde ortusme olmaması için dikkate alınması gerekir.

Analog sistem transfer fonksiyonu  $H(s)$ 'nin sayisal sistem esdegeri tek degildir. Verilen bir kritere gore  $H(s)$ 'nin sayisal esdegerinden soz edilir. Ornek olarak  $H(s)$  ile sayisal esdegegi olarak dusunulen bir  $H_D(z)$ 'nin impuls cevaplari ayni olsun. Bu durum  $H(s)$  ile  $H_D(z)$ 'nin frekans cevaplari da ayni olacagi anlamina gelmez. Impuls cevaplari birbirine cook yakin oldugu halde frekans cevaplari birbirine benzemeyen analog ve ayrik sistemler coktur.

Benzer sekilde frekans spektrumlari birbirine benzeyen analog ve ayrik sistem ciftinin impuls cevaplarinin da birbirine benzeyecegi garantisi yoktur.

Bu nedenle analog sistemin ayrik esdegeri denildiginde belirli bir kriter dahilinde esdegelikten sozedilir. Mesela genlik spektrumunun birbirne benzemesi, impuls cevaplarinin birbirine benzemesi, sistemlere iliskin kutpların ve sifirlarin esdeger olması gibi kriterler temel alınarak iki sistem esdegerdir denir. Bundan sonraki kisimda bu konular sirayla incelenecektir.

### impuls cevaplarinin ayni olması

Bu yontemde ayrik ve analog sistemlere impuls girisi uygulandiginda ayrik sistem cikisinin ornekleme anlarındaki deger ile surekli sistem cikisinin in bu anlardaki degerlerinin esit olması istenir.

|   |                                      |   |                                       |
|---|--------------------------------------|---|---------------------------------------|
| $H(s)$ surekli sistemin transfer fonksiyonu | $h(t)$ surekli sistemde birim impuls | $H_D(z)$ ayrik sistemin transfer fonksiyonu | $h_D(kT)$ ayrik sistemde birim impuls |
|---|--------------------------------------|---|---------------------------------------|

olmak uzere

$$\mathcal{L}\{h(t)\} = H(s) \quad \mathcal{Z}\{h_D(kT)\} = H_D(z)$$

bagintilarinin varligi bolum (ref: xq7b41) de gosterilmisti. Impuls cevaplarinin ayni olması yontemi ile ayrik model elde etmede hedef verilen bir  $H(s)$  icin

$$h_D(kT) = Th(t)$$

xq10g21

olacak sekilde bir  $H_D(z)$  transfer fonksiyonu bulmaktır. (ref: xq10g21) esitlinin sag tarafındaki  $T$  carpani ayrik sistemlerdeki birim impuls tanimından gelmistir. Bazi literaturde  $\mathcal{Z}[1] = \frac{1}{T}$  olarak alindigından dolayi bahsi gecen  $T$  carpani eklenmistir.  $T$  burada sadece bir carpan olarak gelmekte ve  $H(z)$  nin frekans spektrumunun sekline bir etkisi olmamaktadır.

f?igure[hbt] impuls cevabi  $h(t)$ 'nin ik ornekleme arasındaki degeri hizli degisiyor  $h(t)$  iki ornekleme ani arasinda sekil(ref: xq10s05) deki gibi hizli degisiyorsa ( $h(t)$ 'nin icinde yuksek frekansli bileşenler varsa) bu hizli degisim bilgileri kayip olacaktır. Iki ornekleme ani arasinda  $h(t)$  hizli degismiyorsa ( $h(t)$  nin icinde yuksek frekansli bileşenler yoksa analog ve ayrik sistemlerin frekans spektrumlari birbirine benzer.

$H(s)$  transfer fonksiyonu verilen bir sistemin  $H_D(z)$  ayrik esdegerini impuls cevaplari aynmi olcak sekilde hesaplamak demek  $H(s)$  den  $h(t)$  yi bulup,  $h(t)$  yi ornekleyip

( $h_D(kT)$  yi elde edip,  $h_kT(kT)$  nin z donusumunu almakla elde edilir.

$H(s) = \frac{s+1}{s^2+5s+6}$  sistemi ile impuls cevabi ayni olan  $H_D(z)$  ayrik sistem transfer fonksiyonunu bulun.

$$H(s) = \frac{s+1}{s^2+5s+6} = \frac{s+1}{(s+2)(s+3)} = \frac{-1}{s+2} + \frac{2}{s+3}$$

$$h(t) = -e^{-2t} + 2e^{-3t}$$

$$h_D(kT) = -e^{-2kT} + 2e^{-3kT}$$

$$\begin{aligned} H_D(z) &= -\frac{1}{1-e^{-2T}z^{-1}} + 2\frac{1}{1-e^{-3T}z^{-1}} \\ &= \frac{1+(e^{-3T}-2e^{-2T})z^{-1}}{1-(e^{-3T}+e^{-2T})z^{-1}+e^{-5T}z^{-2}} \end{aligned}$$

## Adim fonksiyonu cevaplarinin ayni olmasi

Bu yontemde analog ve ayrik sistemlerin birim basamak girisine karsi olan cevapleri ornekleme anlarinda ayni olacak sekilde  $H_D(z)$  secilir.  $\mathcal{L}[u(t)] = U(s)$ ,  $u(t)$  birim basamak fonksiyonunu.  $\mathcal{Z}[u(kT)] = U(z)$ ,  $u(kT)$  ayrik zamanda birim basamak fonksiyonu.

olmak uzere analog sistemin birim basamak cevabi

$$X(s) = H(s)U(s) = H(s)\frac{1}{s} \quad \#$$

ve ayrik sistemin birim basamak cevabi

$$X_D(z) = H_D(z)U(z) = H_D(z)\frac{z}{z-1} \quad \#$$

seklinde oldugunu bolum(ref: xq7b01)den biliyoruz. Iki sistem cikisinin ornekleme anlarindaki degerleri birbirine esit olmasi icin

$$\mathcal{Z}\left\{H(s)\frac{1}{s}\right\} = H_D(z)\frac{z}{z-1} \quad \text{xq10f41}$$

bagintisi saglanmalidir. (ref: xq10f41) bagintisi

$$H_D(z) = \frac{z-1}{z} \mathcal{Z}\left\{H(s)\frac{1}{s}\right\} \quad \text{xq10f43}$$

seklinde yazilabilir. (ref: xq10f43) bagintisi birim basamak cevapleri ayni olan analog ve ayrik sistem arasindaki bagintiye verir.

$H(s) = \frac{1}{s+2}$  sistemi ile birim basamak cevabi ayni olan  $H_D(z)$  ayrik sistem transfer fonksiyonunu bulun.

$$H_D(z) = \frac{z-1}{z} \mathcal{Z}\left\{H(s)\frac{1}{s}\right\}$$

$$\mathcal{Z}\left\{\frac{1}{s(s+1)}\right\} = \mathcal{Z}\left\{\frac{1}{s} + \frac{-1}{s+1}\right\} = \frac{z}{z-1} - \frac{1}{1-e^{-T}z^{-1}}$$

$$H_D(z) = \frac{z-1}{z} \left[ \frac{z}{z-1} - \frac{1}{1-e^{-T}z^{-1}} \right] = \left[ 1 - \frac{z-1}{z} \frac{1}{1-e^{-T}z^{-1}} \right]$$

$$= \left[ \frac{z(1 - e^{-T}z^{-1}) - (z - 1)}{z(1 - e^{-T}z^{-1})} \right] = \frac{1 - e^{-T}}{z - e^{-T}}$$

## kutupların ve sifirların esdeger olması

Bu yontemde  $H(s)$  nin kutuplari ve sifirlari  $z = e^{sT}$  bagintisi araciligıyla  $H_D(z)$  ye cevrilir. Ornek olarak

$$H(s) = \frac{s + a}{s + b} \quad \#$$

sekindeki analog sistem

$$H_D(z) = K \frac{z - e^{aT}}{z - e^{bT}} \quad \#$$

sekindeki ayrik sistemme donusturulur. Burada  $K$  analog ve ayrik sistemlerin belirli frekans bantlarindaki kazanclarini ayarlamak icin konulmus bir sabittir. Mesela yukaridaki sistem icin dusuk frekanslarda  $\omega = 0$  civarinda analog ve ayrik filtreler ayni kazanca sahip olmasi istensin. yani  $\omega = 0$  icin  $H(j\omega) = H_D(e^{j\omega T})$  olmasi istenirse.

$$H(s)|_{\omega=0} = H_D(e^{j\omega T})|_{\omega=0} \rightarrow H(s)|_{s=0} = H_D(z)|_{z=1} \quad \#$$

$$\frac{0 + a}{0 + b} = K \frac{1 - e^{aT}}{1 - e^{bT}} \rightarrow K = \frac{a}{b} \frac{1 - e^{bT}}{1 - e^{aT}} \quad \#$$

olarak bulunur. Dolayisiyla

$$H_D(z) = \frac{a}{b} \frac{1 - e^{bT}}{1 - e^{aT}} \frac{z - e^{aT}}{z - e^{bT}} \quad \#$$

sekinde olacaktır.

Eger analog ve ayrik sistemin  $\omega = \infty$  civarindaki genlikleri ayni olmasi istenirse

$$|H(j\omega)|_{\omega=\infty} = |H_D(e^{j\omega T})|_{\omega=\infty} \quad \#$$

olmasi gerekir. Ayrik sistemin  $\omega = \infty$  icin degeri  $H_D(z)$  transfer fonksiyonunda  $z = -1$  konarak bulunur. Ayni nedenlerden dolayi transfer fonksiyonunun sonsuzda sifir ve kutuplari varsa sonsuzda olan sifir veya kutup yerine  $-1$  de sifir veya kutup varmis gibi dusunulur.

$$H(s)|_{s=\infty} = H_D(z)|_{z=-1} \quad \text{xq10f51}$$

olmasi gerekir. Yukaridaki probleme (ref: xq10f51) bagintisi uygulanirsa.

$$1 = K \frac{1 - e^{aT}}{1 - e^{bT}} \rightarrow K = \frac{1 - e^{bT}}{1 - e^{aT}} \quad \#$$

elde edilir. Dolayisiyla analog ve ayrik sistemlerin sonsuzdaki kazanclari esit olmasi istendiginde ayrik sistem transfer fonksiyonu

$$H_D(z) = \frac{1 - e^{bT}}{1 - e^{aT}} \frac{z - e^{aT}}{z - e^{bT}} \quad \#$$

sekinde olacaktır.

$H(s) = \frac{a}{s+b}$  alcak geciren filtrenin ayrik esdegerini kutup ve sifirlari  $Z$  domenine tasiyarak hesaplayin.

**Cozum:**

$$H_D(z) = K \frac{a(z+1)}{z - e^{bT}}$$

Alcak ggeciren filtre oladugundan  $w = 0$  civarinda  $H(s)$  ve  $H_D(z)$  nin esit olsun isteniyor.

$$H(s)|_{s=0} = H_D(z)|_{z=1} \quad K = \frac{a}{b} \frac{1 - e^{bT}}{2a} = \frac{1 - e^{bT}}{2b}$$

Dolayisiyla

$$H_D(z) = \frac{1 - e^{bT}}{2b} \frac{z+1}{z - e^{bT}}$$

seklinde olacaktır.

$$H(s) = \frac{1}{(s+a)^2 + b^2} = \frac{1}{(s+a+jb)(s+a-jb)}$$
 alcak geciren filtrenin ayrik esdegerini bulun.

**Cozum:**  $H(s)$ 'nin iki sonlu kutbu ve iki tane de sonsuzda sifiri var. Sonsuzdaki iki sifir icin paya iki tane  $z + 1$  terimi gelecek.

$$H_D(z) = K \frac{(z+1)(z+1)}{z - e^{-(a+jb)T} z - e^{-(a-jb)T}} = K \frac{(z+1)^2}{z - e^{-(a+jb)T} z - e^{-(a-jb)T}}$$

$w = 0$  civarinda genlikler esit olmalı.

$$H(s)|_{s=0} = H_D(z)|_{z=1} \quad \rightarrow K = \frac{1 - 2e^{-aT} \cos(bT) + e^{-2aT}}{4(a^2 + b^2)}$$

Dolayisiyla ayrik sistem transfer fonksiyonu

$$H_D(z) = \frac{1 - 2e^{-aT} \cos(bT) + e^{-2aT}}{4(a^2 + b^2)} \frac{(z+1)^2}{z - e^{-(a+jb)T} z - e^{-(a-jb)T}}$$

seklinde olacaktır.

**Analog ve ayrik sistem cevaplarinin zamana gore integrallerinin esit olmasi**

Bu yontemde analog ve ayrik sistem cevaplarinin zamana gore integre edilmeleri ile elde edilen alan esit olacak sekilde ayrik sistem tasarlanir. Bir ornek uzerinde konuyu aciklayalim. Girisi  $r(t)$  cikisi  $y(t)$  olan ve

$$H(s) = \frac{Y(s)}{R(s)} = \frac{b}{s+a} \quad \text{xq10f61}$$

transfer fonksiyonu ile verilen analog sistemi ele alalim. (ref: xq10f61) esitliginde icler dislar carpimi yapip iki tarafın ters Laplass donusumu alinirsa, sisteme iliskin diferansiyel denklem

$$\frac{dy}{dt} = -by + ar \quad \text{xq10fy1}$$

seklinde ortaya cıkar. (ref: xq10fy1) esitliginin her iki tarafını  $t = 0$  dan  $t = kT$  ye kadat

integre edelim.

$$\int_0^{kT} \frac{dy(t)}{dt} = -b \int_0^{kT} y(t)dt + a \int_0^{kT} r(t)dt \quad \text{xq10fy2}$$

Integral teoremine gore

$$\int_0^{kT} \frac{dy(t)}{dt} = y(kT) - y(0) \quad \#$$

sekinde yazilabileceginden (ref: xq10fy2) esitligi

$$y(kT) - y(0) = -b \int_0^{kT} y(t)dt + a \int_0^{kT} r(t)dt \quad \text{xq10fy3}$$

sekinde yazilabilir.

Benzer sekilde (ref: xq10fy1) esitliginin her iki tarafini  $t = 0$  dan  $t = kT - T$  ye kadar integre edilirse

$$y(kT - T) - y(0) = -b \int_0^{kT-T} y(t)dt + a \int_0^{kT-T} r(t)dt \quad \text{xq10fy5}$$

(ref: xq10fy3) den (ref: xq10fy5) taraf tarafa cikartilrsa.

$$y(kT) - y(kT - T) = -b \int_{kT-T}^{kT} y(t)dt + a \int_{kT-T}^{kT} r(t)dt \quad \text{xq10fy11}$$

elde edilir.

f?igure[hbt] geriye ve ileriye integral hesabini gosteren...

Integral islemi netice itibariyle bir alan hesabidir. (ref: xq10fy11)'in sag taradindaki birinci integral  $y(t)$ 'nin  $t = kT - T$  ile  $t = kT$  degerleri arasinda kalan alani verir.  $r(t)$  icinde durumun ayni olacagi aciktir. Simdi  $y(t)$ 'nin,  $t = kT - T$  ve  $t = kT$  noktalarindaki degerlerini kullanarak bu alani hesaplamak istiyoruz. Sekil(ref: xq10s21.a) ve (ref: xq10s21.b) 'de gosterildigi gibi en basit yontem bu alanin dikdortgen oldugunu varsaymak dikdorgenin bir kenarinin uzunlugu  $T$  diger kenari ise  $y(kT - T)$  veya  $y(kT)$  oldugunu dusunmektir. Iste Eger dikdortgenin sekilde gosterilen uzun kenari  $y(kT - T)$  olarak hesapab katilrsa buna **geriye dogru integral** alma veya geri adim integrali denir. Bunun gibi uzun kenar olarak  $y(kT)$  alinrsa bu yonteme de **ileriye dogru integral** alma veya ileri adim integrali denir. Bahsedilen alani biraz daha hassas hesaplamak icin uzun kenar  $\frac{y(kT)+y(kT-T)}{2}$  seklinde varsayilrsa bu yonteme de **ucgen kurali ile integral** denir. Simdi Bu yontemleri kullanarak ayrik model nasil olusturulur ona bakalim.

## Geriye dogru integral Yontemi

Geriye dogru integral yonteminde

$$\int_{kT-T}^{kT} y(t)dt = Ty(kT) \quad \int_{kT-T}^{kT} r(t)dt = Tr(kT) \quad \text{xq10fy13}$$

yaklasimlari yapilir. Bu yaklasim,in ne anlama geldigi sekil(ref: xq10s21.a) da



gosterilmistir. Bu yaklasim altinda (ref: xq10fy11) esitligi

$$y(kT - T) - y(kT) = -bTy(kT) + aTr(KT) \quad \text{xq10fy16}$$

haline gelir. (ref: xq10fy16) esitliginin her iki tarafinin Z donusumu alinirsa

$$z^{-1}Y(z) - Y(z) = -bTY(z) + aTR(z) \quad \text{xq10fy18}$$

veya

$$\frac{Y(z)}{R(z)} = \frac{aT}{1 - z^{-1} + bT} = \frac{a}{\frac{1+z^{-1}}{T} + b} \quad \text{xq10fy20}$$

elde edilir. Goruldugu gibi (ref: xq10f61) ile verilen  $\frac{Y(s)}{R(s)}$  ile  $\frac{Y(z)}{R(z)}$  arasindaki baginti  $s$  yerine  $\frac{1-z^{-1}}{T}$  koymus gibidir. Dolayisiyla  $H(s)$  transfer fonksiyonu verin bir sistemin bakkward difference?? yontemi ile ayrik hale getirilmesinde  $s$  yerine  $\frac{1-z^{-1}}{T}$  koymak yeterlidir.

$$H_d(z) = H(s) \Big|_{s=\frac{1-z^{-1}}{T}} \quad \text{xq10fy30}$$

Tablo(ref: xq10t11)de degisik ornekler verilmistir.

$H(s) = \frac{1}{s^2+1.6s+0.6}$  transfer fonksiyonunun geriye dogru integral yontemi ile ayrik esdegerini bulun.

**Cozum:** (ref: xq10fy30) bagintisi geregi

$$H_D(z) = \frac{1}{s^2 + 1.6s + 0.6} \Big|_{s=\frac{z-1}{zT}}$$

oldugundan

$$\begin{aligned} H_D(z) &= \frac{1}{\left(\frac{z-1}{zT}\right)^2 + 1.6\left(\frac{z-1}{zT}\right) + 0.6} = \frac{(zT)^2}{(z-1)^2 + 1.6zT(z-1) + 0.6(zT)^2} \\ &= \frac{T^2 z^2}{(0.6T^2 + 1.6T + 1)z^2 - (1.6T - 2)z + 1} \end{aligned}$$

olarak bulunur.

**Ilериye dogru integral alma yontemi**

Bu yontem de tipki ggeriye dogru integral alma yontemine benzer bu yontemde

$$\int_{kT-T}^{kT} x(t)dt = Tx(kT - T) \quad \int_{kT-T}^{kT} r(t)dt = Tr(kT - T) \quad \text{xq10f24}$$

yaklasimlari yapilir. Bu yaklasimler altinda (ref: xq10fy11) esitligi

$$x(kT - T) - x(kT) = -bTx(kT - T) + aTr(KT - T) \quad \text{xq10f16}$$

haline gelir. esitligin her iki tarafinin Z donusumu alinip  $\frac{X(z)}{R(z)}$  orani hesaplanirsa

$$\frac{X(z)}{R(z)} = \frac{aTz^{-1}}{1 - z^{-1} + bTz^{-1}} = \frac{a}{\frac{1+z^{-1}}{Tz^{-1}} + b} \quad \text{xq10f28}$$

(ref: xq10f61) ile (ref: xq10f28) esitlikleri karsilastirildiginda  $s$  yerine  $\frac{1+z^{-1}}{Tz^{-1}}$  gelmis oldugu kolayca gorulur. Dolayisiyla  $H(s)$  transfer fonksiyonu verilen bir sistemin ileriye dogru integral alma yontemi ile ayrik hale getirilmesinde  $s$  yerine  $\frac{1+z^{-1}}{Tz^{-1}}$  koymak yeterlidir.

$$H_d(z) = H(s)|_{s=\frac{1+z^{-1}}{Tz^{-1}}} \quad \text{xq10f30}$$

## Ucgen Kurali ile integral yontemi (Bilineer Donusum)

Bu yontemde de oncekilere benzzer sekilde

$$\int_{kT-T}^{kT} x(t)dt = \frac{1}{2}T[x(kT-T) + x(kT)] \quad \int_{kT-T}^{kT} r(t)dt = \frac{1}{2}T[r(kT-T) + r(kT)] \quad \text{xq10f32}$$

yaklasimlari yapilir. Bu yaklasimla sekil(ref: xq10s4.77) de gosterildigi gibi alan daha hassas olarak hesaplanmaya calisilmistir.

f?igure[hbt] ucgen kurali ile integral yontemi

Bu yaklasimlar altinda (ref: xq10fy11) esitligi

$$x(kT-T) - x(kT) = -bT\frac{1}{2}[x(kT-T) + x(kT)] + aT\frac{1}{2}[r(kT-T) + r(kT)] \quad \text{xq10fy34}$$

haline gelir. esitligin her iki tarafinin  $Z$  donusumu alinip  $\frac{X(z)}{R(z)}$  orani hesaplanirsa

$$\frac{X(z)}{R(z)} = \frac{\frac{aT}{2}(1+z^{-1})}{(1-z^{-1}) + \frac{bT}{2}(1+z^{-1})} = \frac{a}{\frac{2}{T}\frac{(1-z^{-1})}{(1+z^{-1})} + b} \quad \text{xq10fy78}$$

(ref: xq10f61) ile (ref: xq10fy78) esitlikleri karsilastirildiginda  $s$  yerine  $\frac{1+z^{-1}}{Tz^{-1}}$  gelmis oldugu kolayca gorulur. Dolayisiyla  $H(s)$  transfer fonksiyonu verin bir sistemin ileriye dogru integral yontemi ile ayrik hale getirilmesinde  $s$  yerine  $\frac{2}{T}\frac{1-z^{-1}}{1+z^{-1}}$  koymak yeterlidir.

$$H_d(z) = H(s)|_{s=\frac{2}{T}\frac{1-z^{-1}}{1+z^{-1}}} \quad \text{xq10fg50}$$

## Kararlilik Analizi

Filtrenin kararli olmasi gerektigi aciktir. Kararsiz filtre kullanilamaz. Dolayisiyla elde edilen bir filtrenin kararli olup olmadigi dikkatle incelenmelidir. Analog filtrenin  $H(s)$  transfer fonksiyonu kararli oldugu halde donusum sonucu elde edilen ayrik filtrenin  $H(z)$  transfer fonksiyonu kararsiz olabilir. Haliyle boyle bir ayrik filtre kullanilamaz.

(ref: xq7b41)den gordugumuz gibi  $H(s)$  kararli ise  $H(s)$ 'nin payda polinomunun koklerinin reel kısmi sifirdan kucuk olmalidir.  $H(z)$  kararli ise  $H(z)$ 'nin payda polinomunun kokleeri birim daire icinde bulunmalidir. Onceki bolumde inceledigimiz donusumler sonucu filtrelerin kararliliklerinde nasil bir degisiklik oluyor onu inceleyelim.

Impuls cevaplarinin ayni olmasi kriterine gore elde edilen ayrik modelde donusum bagintisi  $z = e^{sT}$  seklindedir. Bolum(ref: xq7b41)'de incelendigi gibi  $H(s)$  kararli ise bu yontemle elde edilen  $H_D(z)$  de kararlidir. Keza  $H(s)$  kararsiz ise bu yontemle elde edilen  $H_D(z)$  de kararsizdir.

Birim basamak cevaplarının aynı olması kriterine göre elde edilen ayrık modelde de durum benzeridir. Yani  $H(s)$  kararlı ise  $H_D(z)$  kararlı,  $H(s)$  kararsız ise  $H_D(z)$  kararsız olacaktır.

Integral alma yöntemleri ile elde edilen ayrık modelleri ayrı ayrı incelemek gerekir.

Geriye doğru integral alma yöntemi ile elde edilen ayrık modelde dönüşüm bağıntısı (ref: xq10fy30) ile

$$s = \frac{z-1}{Tz}$$

şeklinde verilmisti.  $z = p + jq$  koyarak durumu inceleyelim.

$$\begin{aligned} s &= \frac{z-1}{Tz} = \frac{p+jq-1}{T(p+jq)} = \frac{1}{T} \frac{p^2+q^2-p-jq}{p^2+q^2} \\ &= \frac{1}{T} \frac{p^2+q^2-p}{p^2+q^2} + \frac{1}{T} \frac{-jq}{p^2+q^2} \end{aligned}$$

#

Kararlılık için  $Re(s) < 0$  olması gerektiğinden kararlı bir  $H(s)$  için

$$Re(s) = \frac{1}{T} \frac{p^2 + q^2 - p}{p^2 + q^2} < 0$$

xq10fy42

şartı sağlanır. Peki bu şart sağlandığı zaman  $z = p + jq$  ile belirlediğimiz  $z$  nerede olur.  $p, q, T$  reel sayılar olduğundan (ref: xq10fy42) eşitsizliğinde payda daima pozitifdir ve  $Re(s)$ 'nin pozitif yada negatif olmasına bir katkısı yoktur. O halde  $Re(s)$ 'nin işareti payın işaretine bağlıdır. (ref: xq10fy42) eşitsizliği

$$p^2 + q^2 - p < 0$$

xq10fy40

haline gelir. Bu eşitsizlik

$$\left(p - \frac{1}{2}\right)^2 + q^2 < \left(\frac{1}{2}\right)^2$$

xq10fy50

şeklinde de yazılabilir.

geriye doğru integral yönteminde  $s$  ve  $z$  domenleri ileriye doğru integral yönteminde  $s$  ve  $z$  domenleri

(ref: xq10fy50) eşitsizliğinin  $z$  düzleminde gösterdiği yer şekli (ref: xq10s4.4) de gösterilmiştir.  $z$  düzleminde bir filtrenin kararlı olması için gerek ve yeter şart kutupların birim daire içinde olmasıdır. Dolayısıyla  $s$  düzlemindeki ( $Re(s) < 0$ ) şartını sağlayan bir kutup  $z$  düzleminde küçük dairenin içine düşecek yani kararlı olacaktır. İlave olarak da  $s$  düzleminde kararsız olan bazı filtreler  $z$  düzleminde birim daire içine düşecek yani yine kararlı olacaktır. Tablo (ref: xq10t11) da bu durum gösterilmiştir.

??[hbt]

| backward Integration            |  | $s = \frac{z-1}{zT}$                  |   |
|---------------------------------|--|---------------------------------------|---|
| s domeninde transfer fonksiyonu | s domeninde kutuplar                         | z domeninde transfer fonksiyonu       | z domeninde kutuplar                                    |
| $H(s) = \frac{1}{s^2+1.6s+0.6}$ | $s_1 = -1$<br>$s_2 = -0.6$<br>(kararli)      | $H_D(z) = \frac{z^2}{3.2z^2-3.62z+1}$ | $z_1 = 0.625$<br>$z_2 = 0.5$<br>(kararli)               |
| $H(s) = \frac{1}{s^2-4s+5}$     | $s_1 = 2 + j$<br>$s_2 = 2 - j$<br>(kararsiz) | $H_D(z) = \frac{z^2}{2z^2+2z+1}$      | $z_1 = -0.5 + 0.5j$<br>$z_2 = -0.5 - 0.5j$<br>(kararli) |
| $H(s) = \frac{1}{s-0.75}$       | $s=0.75$<br>(kararsiz)                       | $H_D(z) = \frac{4z}{z-4}$             | $z = 4$<br>(kararsiz)                                   |

geriye dogru integral yonteminde  $s$  ve  $z$  duzlemlerinde kutuplar

f?igure[hbt] Ileriye dogru integralde  $s$  ve  $z$  domeninde durum  
Ileriye dogru integral yonteminde

$$s = \frac{z-1}{T} \quad \#$$

oldugundan  $z = p + jq$  konuldugunda  $Re(s) < 0$  sarti

$$p < 1 \quad \#$$

olarak karsimiza cikar. Sekil(ref: xq10s63)de gosterildigi gibi bu sonuc  $s$  duzleminde kararli olan bir filtre  $z$  domeninde kararsiz olabilir anlamina gelir. Tablo((ref: xq10t13)da bu durum gosterilmistir. ??[hbt]

| Ileriye Dogru integral Yontemi  |   | $s = \frac{z-1}{T}$             |  |
|---------------------------------|---|---------------------------------|--|
| s domeninde transfer fonksiyonu | s domeninde kutuplar                          | z domeninde transfer fonksiyonu | z domeninde kutuplar                           |
| $H(s) = \frac{1}{s+1.5}$        | $s_1 = -1.5$<br>(kararli)                     | $H_D(z) = \frac{1}{z+0.5}$      | $z_1 = 0.5$<br>(kararli)                       |
| $H(s) = \frac{1}{s^2+6s+10}$    | $s_1 = -3 + j$<br>$s_2 = -3 - j$<br>(kararli) | $H_D(z) = \frac{1}{z^2+4z+5}$   | $z_1 = -2 + j$<br>$z_2 = -2 - j$<br>(kararsiz) |

ileriye dogru integral yonteminde  $s$  ve  $z$  duzlemlerinde kutuplar ( $T = 1$ )

Bilinear donusumde benzeri islemlerle

$$s = \frac{2}{T} \frac{z-1}{z+1}$$

$z = p + jq$  koyarak

$$\begin{aligned} s &= \frac{2}{T} \left[ \frac{z-1}{z+1} \right] = \frac{2}{T} \left[ \frac{p+jq-1}{p+jq+1} \right] = \frac{2}{T} \left[ \frac{(p+jq-1)(p+1-jq)}{(p+1+jq)(p+1-jq)} \right] \\ &= \frac{2}{T} \left[ \frac{p^2-1+q^2+2jq}{(p+1)^2+q^2} \right] < 0 \end{aligned}$$

#

Buradan  $Re(s) < 0$  olma sarti

$$p^2 + q^2 < 1$$

xq10f91

sekilnde yazilabilir. (ref: xq10f91) bagintisi  $Z$  duzleminde birim daireyi vermektedir. Yani  $s$  duzleminde sol yari duzlemde olan(kararli olan) bir nokta  $z$  duzleminde birim daire icinde (kararli) olacaktir. Tablo((ref: xq10t15)da bu durum gosterilmistir. ??[hbt]

| Bilinear donusum                |   | $s = \frac{2}{T} \frac{z-1}{z+1}$       |   |
|---------------------------------|---|---|---|
| s domeninde transfer fonksiyonu | s domeninde kutuplar                          | z domeninde transfer fonksiyonu         | z domeninde kutuplar  |
| $H(s) = \frac{1}{s^2+6s+10}$    | $s_1 = -3 + j$<br>$s_2 = -3 - j$<br>(kararli) | $H_D(z) = \frac{z^2+2z+1}{26z^2-12z+2}$ | $z_1 = -0.23 + 0.53j$<br>$z_2 = -0.23 - 0.53j$<br>(kararli) |
| $H(s) = \frac{1}{s^2-4s+5}$     | $s_1 = 2 + j$<br>$s_2 = 2 - j$<br>(kararsiz)  | $H_D(z) = \frac{z^2+2z+1}{z^2+2z+17}$   | $z_1 = -1 - 4j$<br>$z_2 = -1 + 4j$<br>(kararsiz)            |

bilineer donusumde  $s$  ve  $z$  duzlemlerinde kutuplar ( $T = 1$ )

Kararlilik acisindan bilinear donusum formulu  $Z$  donusumune benzer. Ancak frekans cevaplari arasinda fark vardir.  $z$  donusumunde  $z = e^{sT}$  iken bilinear donusumde  $z = \frac{2+sT}{2-sT}$  olmaktadır.  $s = jw$  koyup frekans spektrumunu inceleyelim.  $w = 0$  dan  $w = 2\pi$  kadar degisse  $z_1 = e^{jwT}$  birim daire uzerinde bir tur atar oysa  $z_2 = \frac{2+sT}{2-sT}$  birim daire uzerinde az bir mesafe kateder.

# Sayisal Filtrelerin Gerçeklemesi

Sayisal filtrelerin gerçeklemesi  $H(z) = \frac{X(z)}{R(z)}$  şeklinde transfer fonksiyonu verilen bir filtreyi bilgisayar programı haline getirilmesi işlemidir. Sayisal filtreler yaygın olarak kullanıldığından  $H(z)$  transfer fonksiyonu sadece bilgisayar programı (yazılım) olarak değil donanım olarak da gerçekleştirilebilir. Sayisal filtre donanım olarak gerçekleştirilmede özel maksatla yapılmış mikroislemciler kullanılır. Bu mikroislemcilerin toplama, çıkarma, çarpma bölme gibi işlemlerin dizideki sayıları tek bir komutla sağa sola kaydırabilme gibi fazladan özellikler bulunur. Bu tip mikroislemciler genelde A/D çevirici ve D/A çevirici ile beraber hazır bir "kit" olarak satılır. Prensipte yazılım ve donanım ile gerçekleştirme yöntemleri aynıdır. Donanım ağırlıklı gerçeklemede filtrenin blok diagramı çizilerek gerçekleştirme yapmak daha kolaydır. Yazılım olarak gerçekleştirilmede çoğu kere aşağıdaki örnekte olduğu gibi filtre transfer fonksiyonuna bakarak da bilgisayar programı yazılabilir.

Örnekle olarak  $H(z) = \frac{X(z)}{R(z)} = \frac{3z+10}{z+0.5}$  transfer fonksiyonunu ele alalım. Açıkça görüldüğü gibi,

$$\frac{X(z)}{R(z)} = \frac{3z + 10}{z + 0.5} = \frac{3 + 10z^{-1}}{1 + 0.5z^{-1}}$$

$$X(z)[1 + 0.5z^{-1}] = [3 + 10z^{-1}]R(z)$$

Her iki tarafın her Z dönüşümü alınarak

$$x(k) + 0.5x(k-1) = 3r(k) + 10r(k-1)$$

$$x(k) = -0.5x(k-1) + 3r(k) + 10r(k-1)$$

Bu sisteme ilişkin bilgisayar programı aşağıdaki gibi olacaktır.

```
Algoritma koy
cevrin_basi
r_eski=rk
(rk yi giristen oku):
x_eski=xk
xk=-0.5*x_eski + 3*rk +10*r_eski
(xk) ui cikisa ver
Cevrim_basi"na git.
```

Herhangi bir transfer fonksiyonu yukarıdaki gibi gerçekleştirilebilir. Ancak bu aşağıda anlatılan nedenlerden dolayı çoğu kere kabul edilebilir bir gerçekleştirme türü sınıfına giremez.

Sayisal filtrede önemli hata kaynakları şunlardır.

1) Filtre katsayıları yuvarlak rakamlar değildir bilgisayarda filtre katsayılarını depolamak için ayrılan bit sayısı sınırlıdır. Dolayısıyla filtre katsayıları yuvarlatılarak bilgisayarda depolanacaktır ve bu yuvarlatma işlemi belirli bir hata terimi olarak devreye girer.

2) Analog işaretin bilgisayara aktarılması (A/D çevirme) esnasında

bolum(ref: quantalama) de bahsedilen seviyeleme (quantalama) hatasi.

3)Carpma bolme gibi islemlerin sonuclarinin yuvarlatilmasindan kaynaklanan hatalar.

Bu hatalardan kurtulmak ve diger bazi avantajlari dolayisiyla degisik gercekleme teknikleri ortaya cikmistir. Bu tip gerceklemelerde hedeflenenler su sekilde siralanabilir.

- 1)Yukarida bahsedilen hatalarin sonuca etkisini minimuma indirmek.
- 2)filtre algoritmasini minimum zamanda gerceklemek, islem sayisini minimum indirmek.
- 3)filtreyi gerceklemek icin gereken hafiza miktarini minimuma indirmek.

Bu hedeflerin hepsini yerine getiren optimum bir gercekleme turu istenen ideal gercekleme turudur. Ancak hdeflerden birini yerine getiren algoritma diger hedefi gerceklemeye daha az performans gosterilebilir. Asagida degisik gercekleme turleri verilmistir.

- 1)Direk Programlama
- 2)Standart Programlama
- 3)Paralel Programlama
- 4)Seri Programlama
- 5)Merdiven tipi Programlama
- 6)Kafes Yapisinda Programlama
- 7)Durum deklemleri fomunda gercekleme

## Direk Programlama

Bu yukarida anlatilan programlama tipidir.

$$\begin{aligned} H(z) &= \frac{X(z)}{R(z)} = \frac{b_m z^m + b_{m-1} z^{m-1} + b_{m-2} z^{m-2} + \dots + b_2 z^2 + b_1 z + b_0}{z^n + a_{n-1} z^{n-1} + a_{n-2} z^{n-2} + \dots + a_2 z^2 + a_1 z + a_0} \\ &= \frac{b_m z^{m-n} + b_{m-1} z^{m-1-n} + \dots + b_2 z^{2-n} + b_1 z^{1-n} + b_0 z^{-n}}{1 + a_{n-1} z^{-1} + a_{n-2} z^{-2} + \dots + a_2 z^{-2} + a_1 z^{-1} + a_0 z^{-n}} \end{aligned}$$

xq11f01

Gerekli duzenlemeler yapilip tarz Z donusumu alinirsa

$$\begin{aligned} x(k) &= -a_1 x(k-1) - a_2 x(k-2) \dots \dots a_{n-1} x(k-n+1) - a_n x(k-n) \\ &+ b_0 r(k) + b_1 r(k-1) + b_2 r(k-2) \dots \dots + b_{n-1} r(k-n+1) - b_n r(k-n) \end{aligned}$$

xq11f03

(ref: xq11f03) esitligi ile verilen sisteme iliskin blok diyagrami sekil(ref: xq11s03)de verilmistir.

f?igure[hbt] Direk programlamaya ilisin blok diyagrami

(ref: xq11f03) esitligi yukarida oldugu gibi programlanabilir. Buradan acikca goruldugu gibi 2n tane hafiza elemanina gerek vardir. Bunu daha iyi gorebilmek icin 2. dereden bir sistem alalim.

$$H(z) = \frac{X(z)}{R(z)} = \frac{b_2 + b_1z^{-1} + b_0z^{-2}}{1 + a_1z^{-1} + a_0z^{-2}} \quad \#$$

$$x(k) = -a_1x(k-1) - a_0x(k-2) + b_2r(k) + b_1r(k-1) + b_0r(k-2) \quad \#$$

Bilgisayar algoritması ise su şekilde olacaktır.

```
cevrim_basi:
  r2=r1
  r1=rk
  (rk yi oku)
  x2=x1
  x1=xk
  xk=-a1*x1 - a0*x2 + b2*rk + b1*r1+ b0*r2
  (xk yi cikisa aktar)
  cevrim_basi'na git
```

Acıkça görüldüğü gibi  $r_2, r_1, x_2, x_1$  toplam  $2 \times n = 2 \times 2 = 4$  tane hafıza birimine ihtiyaç vardır.

## Standart Programlama

(ref: xq11f01) ile verilen  $H(z)$  transfer fonksiyonunu aşağıdaki gibi ayıralım.

$$H(z) = \frac{X(z)}{R(z)} = \frac{X(z)}{Q(z)} \frac{Q(z)}{R(z)} \quad \#$$

Buradan

$$\frac{X(z)}{Q(z)} = b_m z^{m-n} + b_{m-1} z^{m-1-n} + \dots + b_2 z^{2-n} + b_1 z^{1-n} + b_0 z^{-n} \quad \text{xq11fp41}$$

$$\frac{Q(z)}{R(z)} = \frac{1}{1 + a_{n-1} z^{-1} + a_{n-2} z^{-2} + \dots + a_2 z^{2-n} + a_1 z^{1-n} + a_0 z^{-n}} \quad \text{xq11fp42}$$

tanımlarını yapalım. (ref: xq11fp41) eşitliği

$$X(z) = b_m z^{m-n} Q(z) + b_{m-1} z^{m-1-n} Q(z) + \dots + b_1 z^{1-n} Q(z) + b_0 z^{-n} Q(z) \quad \text{xq11fp43}$$

ve (ref: xq11fp42) eşitliği de

$$Q(z) = R(z) - a_{n-1} z^{-1} Q(z) - a_{n-2} z^{-2} Q(z) + \dots + a_1 z^{1-n} Q(z) + a_0 z^{-n} Q(z) \quad \text{xq11fp44}$$

şeklinde yazılabilir. (ref: xq11fp43) eşitliğinin her iki tarafının ters  $Z$  dönüşümünü alalım.

$$x(k) = b_m q(k+m-n) + b_{m-1} q(k+m-n-1) + \dots + b_1 q(k-n+1) + b_0 q(k-n) \quad \text{xq11fp45}$$

ve (ref: xq11fp44) eşitliğinin her iki tarafının ters  $Z$  dönüşümü de

$$q(k) = r(k) - a_{n-1} q(k-1) - a_{n-2} q(k-2) + \dots + a_1 q(k-n+1) + a_0 q(k-n) \quad \text{xq11fp46}$$

şeklinde olacaktır. (ref: xq11fp45) ve (ref: xq11fp46) eşitlikleri (ref: xq11f01) ile verilen  $H(z)$  transfer fonksiyonunu bir gerçeğe uygulamada kullanılabilir. Gerçeğe uygulamaya ilişkin blok diyagramı (ref: xq11s05) de verilmiştir.

f?igure[hbt] Standart programlamaya ilişkin blok diyagramı



Durumu basit olarak gormek icin ikinci dereceden bir sistem üzerinde inceleyelim.

$$H(z) = \frac{X(z)}{R(z)} = \frac{X(z)}{Q(z)} = \frac{Q(z)}{R(z)} = \frac{b_2 + b_1z^{-1} + b_0z^{-2}}{1 + a_1z^{-1} + a_0z^{-2}} \quad \#$$

$$q(k) = r(k) - a_1q(k-1) - a_0q(k-2) \quad \#$$

$$x(k) = b_2q(k) + b_1q(k-1) + b_0q(k-2)$$

Programlama teknigi su sekilde olacaktır.

```
cevrim_basi:
  (rk yi oku)
  q2=q1
  q1=qk
  qk=rk-a1*q1 - a0* q2
  xk=b2*qk+b1*q1+ b0*q2
  (xk yi cikisa aktar)
cevrim_basi'na git
```

Algoritmadan goruldugu gibi  $q_2, q_1$  degerleri hafizada depolanmak durumundadir. Halbuku ayni transfer fonksiyonu direk programlama ile gerceklestirildiginde 4 tane degiskeni hafizada depolamak gerekiyordu. Filtrenin derecesi yukseldiginde (50-100) hafiza elemanindan yapilan tasarruf onem kazanir. Bu islemler mikroislemcinin icinde yapilmasi gerektiigi durumlarda hafiza elemaninin pahaliligi daha da artar.

## Seri Programlama

Seri programlamada toplama ve carpma islemlerinin sayisi onceki gercekleme turlerine gore biraz azaltilmis ve bunun sonucu olarak toplama carpma sonucu olusacak yuvarlatma hatalarinin derecesi biraz dusmustur, Seri programlamada  $H(z)$  transfer fonksiyonu asagidakki gibi carpanlarına ayrilir.

$$H(z) = H_1(z) H_2(z) H_3(z) \dots H_p(z) = K \prod_{i=1}^j \frac{1 + c_i z^{-1}}{1 + d_i z^{-1}} \prod_{i=j+1}^p \frac{1 + e_i z^{-1} + f_i z^{-2}}{1 + g_i z^{-1} + h_i z^{-2}} \quad \#$$

$$= K \left( \frac{1 + c_1 z^{-1}}{1 + d_1 z^{-1}} \frac{1 + c_2 z^{-1}}{1 + d_2 z^{-1}} \dots \frac{1 + c_j z^{-1}}{1 + d_j z^{-1}} \right)$$

$$* 15mm \left( \frac{1 + e_1 z^{-1} + f_1 z^{-2}}{1 + g_1 z^{-1} + h_1 z^{-2}} \frac{1 + e_2 z^{-1} + f_2 z^{-2}}{1 + g_2 z^{-1} + h_2 z^{-2}} \dots \frac{1 + e_p z^{-1} + f_p z^{-2}}{1 + g_p z^{-1} + h_p z^{-2}} \right)$$

Burada pay ve paydada reel kokler bir gurupta, kompleks kokler eslenikleri ile beraber bir gurupta toplanmistir. Esitlige carpan olarak ilave edilen  $K$  katsayisi pay ve paydaların ilk terimlerini 1 yapmak icin gereklidir.

Bu sekildeki bir ayrisimin bilgisayar algoritmasini gerceklelemek icin once her blok ayri ayri standart programlama teknigi ile gerceklenir. Daha sonra birinci blogun cikisi ikinci blogun girisi, ikinci blogun cikisi ucuncu blogun girisi .....  $p - 1$  inci blogun cikisi  $p$  inci blogun girisi olacak sekilde algoritma duzenlenir.

$$H(z) = K \frac{1 + c_1 z^{-1}}{1 + d_1 z^{-1}} \frac{1 + c_2 z^{-1}}{1 + d_2 z^{-1}} \frac{1 + c_3 z^{-1}}{1 + d_3 z^{-1}} \frac{1 + e_4 z^{-1} + f_4 z^{-2}}{1 + g_4 z^{-1} + h_4 z^{-2}}$$

#

transfer fonksiyonu ile verilen filtrenin blok diyagramini ve bilgisayar programini yapin. Gerceklemeye iliskin blok diyagrami sekil(ref: xq11s07)de verilmistir. Programa iliskin bilgisayar programi asagida verilmistir.

Figure[hbt] Seri programlamaya ilisin blok diyagrami

Cevrim\_basi:

```

-----
r1k yi oku
q11=q1k
q1k= -d1*q11 + r1k
x1k=q1k + c1*q11
-----
r2k=x1k
q21=q2k
q2k= -d2*q21 + r2k
x2k=q2k + c2*q21
-----
r3k=x2k
q31=q3k
q3k= -d3*q31 + r3k
x3k=q3k + c3*q31
-----
rk4=x3k
q42=q41
q41=q4k
q4k= -g4*q41 - h4*q42 + r4k
x4k=q4k + e4*q41 + f4*q42
x4k yi cikisa aktar.
Cevrim_basi"na git.
-----

```

## Paralel Programlama

Islem sayisini ve yuvarlatma hatalarini azaltmak icin bir baska tur programlama teknigi de paralel programlamadir Bu tur programlama tekniginde  $H(z)$  transfer fonksiyonu

$$\begin{aligned} \frac{X(z)}{R(z)} = H(z) &= K + \frac{c_1}{1 + d_1 z^{-1}} + \frac{c_2}{1 + d_2 z^{-1}} \dots \dots \dots + \frac{c_j}{1 + d_j z^{-1}} \\ &+ \frac{e_1 + f_1 z^{-1}}{1 + g_1 z^{-1} + h_1 z^{-2}} + \frac{e_2 + f_2 z^{-1}}{1 + g_2 z^{-1} + h_2 z^{-2}} \dots \dots \dots + \frac{e_p + f_p z^{-1}}{1 + g_p z^{-1} + h_p z^{-2}} \\ &= K + \sum_{i=1}^j \frac{c_i}{1 + d_i z^{-1}} + \sum_{i=j+1}^p \frac{e_i + f_i z^{-1}}{1 + g_i z^{-1} + h_i z^{-2}} \end{aligned}$$

xq11f31

sekinde basit kesirlere ayrilir. Burada paydanin reel kokleri bir grupta, paydanin kompleks kokleri eslenikleri ile beraber bir grupta toplanmistir. Esitlige ilave edilen K katsayisi payin derecesi paydaninkinden kucukse sifir olur. (ref: xq11f31)esitligini

$$H(z) = \frac{X(z)}{R(z)} = K + H_1(z) + H_2(z) + H_3(z) + \dots + H_p(z) \quad \#$$

şeklinde gösterelim. Bu şekildeki bir ayrışımın bilgisayar algoritmasını gerçekleştirmek için önce her blok ayrı ayrı standart programlama tekniği ile gerçekleştirilir. Sistem çıkışı ise

$$X(z) = KR(z) + H_1(z)R(z) + H_2(z)R(z) + H_3(z)R(z) + \dots + H_p(z)R(z) \quad \#$$

bağıntısı uyarınca çıkış her bloğun çıkışlarının toplamıdır. Gerçeklemeye ilişkin blok diyagramı şekil(ref: xq11s09)de verilmektedir.

Figure 1. Paralel programlamaya ilişkin blok diyagramı

$$H(z) = K \frac{c_1}{1 + d_1 z^{-1}} + \frac{c_2}{1 + d_2 z^{-1}} + \frac{c_3}{1 + d_3 z^{-1}} + \frac{e_4 + f_4 z^{-1}}{1 + g_4 z^{-1} + h_4 z^{-2}}$$

Transfer fonksiyonu ile verilen sistemin paralel programlama ile gerçekleştirilecek şekilde bilgisayar algoritmasını yazın. Programa ilişkin bilgisayar programı aşağıda verilmektedir.

```

Cevrim_basi:
-----
rr girisini oku
-----
r1k=rr
x11=x1k
x1k= -d1*x11 + c1*r1k
-----
r2k=rr
x21=x2k
x2k=-d2*x21 + c2*r2k
-----
r3k=rr
x31=x3k
x3k=-d3*x31 + c3*r3k
-----
r4k=rr
q42=q41
q41=q4k
q4k= -g4*q41 - h4*q42 + r4k
x4k=e4*q4k + f4*q41
-----
xcc=K*rr+x1k+x2k+x3k+x4k
xcc yi cikisa aktar.
Cevrim_basi"na git.
-----

```

Burada açıklık için ilave satırlar eklenmiştir. Normalde 1., 2., 3. bloklar  $x1k = -d1 * x1k + c1 * rr$   $x2k = -d2 * x2k + c2 * rr$   $x3k = -d3 * x3k + c3 * rr$  şeklinde tek satır olur.

## Merdiven Tipi Programlama

Bu tip programlama tekniğinde  $H(z)$  transfer fonksiyonu

$$\frac{Y(z)}{R(z)} = H(z) = A_0 + \frac{1}{B_1 z + \frac{1}{A_1 + \frac{1}{B_2 z + \frac{1}{\ddots + \frac{1}{A_{n-1} + \frac{1}{B_n z + \frac{1}{A_n}}}}}}} \quad \text{xq11fa1}$$

sekinde surekli kesirlere ayrilir. Esitlikteki  $A_0, A_1, \dots, A_n, B_1, B_2, \dots, B_n$  katsayilari surekli bolme islemi ile hesaplanir. (Bkz C.P.ref: xq11p11 )

Burada

$$H_{1B}(z) = \frac{1}{B_1 z + \frac{1}{A_1 + \frac{1}{B_2 z + \frac{1}{\ddots + \frac{1}{A_{n-1} + \frac{1}{B_n z + \frac{1}{A_n}}}}}}} \quad \#$$

tanimi yapilirsa (ref: xq11fa1) esitligi

$$\frac{Y(z)}{R(z)} = H(z) = A_0 + H_{1B}(z) \quad \text{xq11fa11}$$

sekinde yazilabilir. Benzer sekildeki tanimlarla asagidaki bagintilari yazabiliriz.

$$H_{1B}(z) = \frac{1}{B_1 z + H_{1A}(z)} \quad \text{xq11fa15}$$

$$H_{1A}(z) = \frac{1}{A_1 + H_{2B}(z)} \quad \text{xq11fa17}$$

$$H_{2B}(z) = \frac{1}{B_2 z + H_{2A}(z)} \quad \text{xq11fa19}$$

$$H_{2A}(z) = \frac{1}{A_2 + H_{3B}(z)} \quad \#$$

.....

.....

$$H_{(n-1)A}(z) = \frac{1}{A_{n-1} + H_{nB}(z)} \quad \#$$

$$H_{nB}(z) = \frac{1}{B_n z + H_{nA}(z)} \quad \#$$

$$H_{nA}(z) = \frac{1}{A_n} \quad \#$$

Ilave olarak  $X_1(z), Y_1(z), X_2(z), Y_2(z), \dots$  gibi yeni degiskenleri asagidaki gibi tanimlayalim.

$$H_{1B}(z) = \frac{Y_1(z)}{R(z)} \quad \rightarrow \quad H_{1B}(z)R(z) = Y_1(z) \quad \text{xq11fa31}$$

$$H_{1A}(z) = \frac{X_1(z)}{Y_1(z)} \quad \rightarrow \quad H_{1A}(z)Y_1(z) = X_1(z) \quad \text{xq11fa33}$$

$$H_{2B}(z) = \frac{Y_2(z)}{X_1(z)} \rightarrow H_{2B}(z)X_1(z) = Y_2(z) \quad \text{xq11fa35}$$

$$H_{2A}(z) = \frac{X_2(z)}{Y_2(z)} \rightarrow H_{2A}(z)Y_2(z) = X_2(z) \quad \text{xq11fa37}$$

.....

.....

(ref: xq11fa11)'rin her iki tarafini  $R(z)$  ile carparak

$$Y(z) = A_0R(z) + H_1B(z)R(z) \quad \text{xq11fa51}$$

elde edilir. Ote yandan  $H_1B(z)R(z)$ 'nin (ref: xq11fa31)deki degeri (ref: xq11fa51)de yerine konursa

$$Y(z) = A_0R(z) + Y_1(z) \quad \#$$

elde edilir.

(ref: xq11fa15) esitligini

$$B_1z + H_{1A}(z) = \frac{1}{H_{1B}(z)} \quad \text{xq11fa53}$$

sekinde yazip  $H_{1B}(z)$  yerine (ref: xq11fa31) deki degeri yerine konursa

$$B_1z + H_{1A}(z) = \frac{R(z)}{Y_1(z)} \rightarrow R(z) = B_1zY_1(z) + H_{1A}(z)Y_1(z) \quad \text{xq11fa55}$$

sekinde yazilabilir. Ayrica  $H_{1A}(z)Y_1(z)$  yerine (ref: xq11fa33) deki degeri yazilirs

$$R(z) = B_1zY_1(z) + X_1(z) \quad \text{xq11fa57}$$

elde edilir.

Benzeri islemler [(ref: xq11fa17), (ref: xq11fa33),(ref: xq11fa35)] , [(ref: xq11fa19), (ref: xq11fa35),(ref: xq11fa37)],..... esitlikleri icin yapilirs

$$Y_1(z) = A_1X_1(z) + Y_2(z) \quad \text{xq11fa59}$$

$$X_1(z) = B_2zY_2(z) + X_2(z) \quad \text{xq11fa61}$$

$$Y_2(z) = A_2X_2(z) + Y_3(z) \quad \text{xq11fa63}$$

$$X_2(z) = B_3zY_3z + X_3(z) \quad \text{xq11fa65}$$

.....

.....

$$Y_n(z) = A_nX_n(z) + Y_{n+1}(z) \quad \#$$

$$X_n(z) = B_{n+1}zY_{n+1}z + X_{n+1}(z) \quad \#$$

bagintilari yazilabilir.

Bundan sonraki adimda  $Y$ 'leri  $X$  cinsinden  $X$ 'leri  $Y$  cinsinden yazmaya calisalim.

(ref: xq11fa57) esitliginden  $Y_1(z)$  cekilirse

$$Y_1(z) = \frac{1}{B_1} z^{-1} [R(z) - X_1(z)] \quad \#$$

elde edilir. Benzer sekilde (ref: xq11fa61) esitliginden  $Y_2(z)$ , (ref: xq11fa65) esitliginden  $Y_3(z)$ , ..... (ref: xq11fa59) esitliginden  $X_1(z)$ , (ref: xq11fa63) esitliginden  $X_2(z)$ , cekilirse asagidaki bagintilar yazilabilir.

$$Y_2(z) = \frac{1}{B_2} z^{-1} [X_1(z) - X_2(z)] \quad \#$$

$$Y_3(z) = \frac{1}{B_3} z^{-1} [X_2(z) - X_3(z)] \quad \#$$

.....

.....

$$X_1(z) = \frac{1}{A_1} [Y_1(z) - Y_2(z)] \quad \#$$

$$X_2(z) = \frac{1}{A_2} [Y_2(z) - Y_3(z)] \quad \#$$

$$X_3(z) = \frac{1}{A_3} [Y_3(z) - Y_4(z)] \quad \#$$

.....

.....

merdiven tipi programlamanin avantajlari filtre katsayilarinin yuvarlatilmasindan dogacak hata birikimini azaltmasidir. Blok diyagram haline getirilmesi islemi sekil(ref: xq11s3.51)de gosterilmistir.

f?igure[hbt] merdiven tipi programlamada blok diyagraminin elde edilmesi Program algoritmasi ise asagidaki sekilde olacaktir.

Butun baslangic kosullarini sifir al.  
 $y_1(k-1)=y_2(k-1) \dots x_1(k-1)=x_2(k-1)=x_3(k-1)=0$

```

Cevrim_Basi:
giristen rr yi oku r(k)=rr
y1(k)=1/B1*( r(k-1) - x1(k-1) )
y2(k)=1/B2*( x1(k-1) - x2(k-1) )
y3(k)=1/B3*( x2(k-1) - x3(k-1) )
...
...
yn_1(k)=1/Bn_1*( xn_2(k-1) - xn_1(k-1) )
yn(k)=1/Bn*( xn_1(k-1) - xn(k-1) )
x1(k)=1/A1*( y1(k)-y2(k) )
x2(k)=1/A2*( y2(k)-y3(k) )
x3(k)=1/A3*( y3(k)-y4(k) )
..
..
xn(k)=1/An* yn(k)

```

$y(k) = A_0 * x(k) + y_1(k)$   
 $y(k)$  yi cikisa aktar  
 $k = k+1$   
 Cevrim\_Basina git.

Yukarida  $H(z)$  transfer fonksiyonu  $z$  in kuvvetlerine gore surekli kesirlere ayrildi.  $A_n$  ve  $B_n$  katsayilarinin bazisinin sifir olmasi durumunda gerceklemede problemler ortaya cikar. Boyle durumlarda  $H(z)$  transfer fonksiyonu  $z^{-1}$  in kuvvetlerine gore surekli kesirlere ayrilip degisik bir algoritma elde edilebilir.

$$\frac{X(z)}{R(z)} = H(z) = C_0 + \frac{1}{D_1 z^{-1} + \frac{1}{C_1 + \frac{1}{D_2 z^{-1} + \frac{1}{\dots + \frac{1}{C_{n-1} + \frac{1}{D_n z^{-1} + \frac{1}{C_n}}}}}}}$$
xq11fa71

## Kafes Yapısında Programmlama

Sekil(ref: xq11s9.12.a) daki diyagrami gozonune alalim. (192 sh) Diyagramdan acikca goruldugu gibi.

$$\begin{aligned} X_{n+1}(z) &= X_n(z) + z^{-1} K_n Y_n(z) \\ Y_{n+1}(z) &= K_n X_n(z) + z^{-1} Y_n(z) \end{aligned}$$
xq11fg02

veya matris formunda

f?igure[hbt] Iki elemanli kafes yapisi

$$\begin{bmatrix} X_{n+1}(z) \\ Y_{n+1}(z) \end{bmatrix} = \begin{bmatrix} 1 & z^{-1} K_n \\ K_n & z^{-1} \end{bmatrix} = \begin{bmatrix} X_n(z) \\ Y_n(z) \end{bmatrix}$$
xq11fh9.46

Sekil(ref: xq11s9.12.b) diyagramindan goruldugu gibi

$$\begin{aligned} X_n(z) &= X_{n+1}(z) - z^{-1} K_n Y_n(z) \\ Y_{n+1}(z) &= K_n X_n(z) + z^{-1} Y_n(z) \end{aligned}$$
#

Acikca goruldugu gibi her iki diyagram da ayni sonucu vermektedir.

f?igure[hbt] Simetrik kafes yapısında bir gercekleme turu  
 Ote yandan sekil(ref: xq11sh9.13) den goruldugu gibi

$$C(z) = \sum_{n=0}^N a_n Y_n(z)$$
xq11fh21

Simdi  $C(z)/R(z)$  oranini elde etmeye calisalim. Acikca goruldugu gibi  $R(z) = X_N(z)$  dir. O halde (ref: xq11fh21) esitligi

$$H(z) = \frac{C(z)}{R(z)} = \sum_{n=0}^N \frac{a_n Y_n(z)}{X_n(z)}$$
xq11fh23

sekinde yazilabilir. Sekil(ref: xq11sh9.13)'den acikca goruldugu gibi

$$vX_0(z) = Y_0(z)$$

xq11fh43

Islemleri kolaylastirmak icin

$$P_n(z) = \frac{X_n(z)}{X_0(z)} \quad Q_n(z) = \frac{Y_n(z)}{Y_0(z)}$$

xq11fh44

tanimlarini yapalim. (ref: xq11fh44 ve (ref: xq11fh9.46) dan dolayi

$$\begin{bmatrix} X_0(z)P_n(z) \\ Y_0(z)Q_n(z) \end{bmatrix} = \begin{bmatrix} X_n(z) \\ Y_n(z) \end{bmatrix} = \begin{bmatrix} 1 & z^{-1}K_{n-1} \\ K_{n-1} & z^{-1} \end{bmatrix} \begin{bmatrix} X_{n-1}(z) \\ Y_{n-1}(z) \end{bmatrix}$$

xq11fh9.48

veya

$$\begin{bmatrix} X_0(z)P_n(z) \\ Y_0(z)Q_n(z) \end{bmatrix} = \begin{bmatrix} 1 & z^{-1}K_{n-1} \\ K_{n-1} & z^{-1} \end{bmatrix} \begin{bmatrix} X_0P_{n-1}(z) \\ Y_0Q_{n-1}(z) \end{bmatrix}$$

xq11fh9.51

yazilabilir.  $X_0 = Y_0$  oldugundan (ref: xq11fh9.51)rin her iki tarafi  $X_0$  veya  $Y_0$  ra bolunurse.

$$\begin{bmatrix} P_n(z) \\ Q_n(z) \end{bmatrix} = \begin{bmatrix} 1 & z^{-1}K_{n-1} \\ K_{n-1} & z^{-1} \end{bmatrix} \begin{bmatrix} P_{n-1}(z) \\ Q_{n-1}(z) \end{bmatrix}$$

xq11fh901

elde edilir. Acikca goruldugu gibi

$$P_0(z) = \frac{X_0(z)}{X_0(z)} = 1 \quad Q_0(z) = \frac{Y_0(z)}{Y_0(z)} = 1$$

xq11fh903

dir.

## Kafes Yapisindan Transfer fonksiyonunun Elde Edilmesi

Sekil(ref: xq11sh9.13) de verilen lattice yapidan  $H(z) = C(z)/R(z)$  transer fonksiyonu

$$H(z) = \frac{C(z)}{R(z)} = \sum_{n=0}^N \frac{a_n Q_n(z)}{P_n(z)}$$

-8mm

(ref: xq11fh23)

$$\begin{bmatrix} P_n(z) \\ Q_n(z) \end{bmatrix} = \begin{bmatrix} 1 & z^{-1}K_{n-1} \\ K_{n-1} & z^{-1} \end{bmatrix} \begin{bmatrix} P_{n-1}(z) \\ Q_{n-1}(z) \end{bmatrix}$$

-8mm

(ref: xq11fh901)

$$P_0(z) = Q_0(z) = 1$$

-8mm

(ref: xq11fh903) bagintilari yardimiyla elde edilebilir.

$k_0 = 0.1, k_1 = 0.2, k_2 = 0.3 \quad v_0 = 4, v_1 = 5, v_2 = 6, v_3 = 1$  icin  $H(z)$  yi hesaplayin.

**Cozum:** (ref: xq11fh903)'den



$$P_0(z) = Q_0(z) = 1$$

olur. (ref: xq11fh901)'de  $n = 1$  koyarak  $P_1, Q_1$  degerlerini hesaplayabiliriz.

$$\begin{bmatrix} P_1(z) \\ Q_1(z) \end{bmatrix} = \begin{bmatrix} 1 & z^{-1}K_0 \\ K_0 & z^{-1} \end{bmatrix} \begin{bmatrix} P_0(z) \\ Q_0(z) \end{bmatrix} = \begin{bmatrix} 1 & z^{-1}K_0 \\ K_0 & z^{-1} \end{bmatrix} \begin{bmatrix} 1 \\ 1 \end{bmatrix} = \begin{bmatrix} 1 + 0.1z^{-1} \\ 0.1 + z^{-1} \end{bmatrix}$$

Benzer sekilde (ref: xq11fh901)'de  $n = 2$  koyarak  $P_2, Q_2$  degerlerini  $n = 3$  koyarak  $P_3, Q_3$  degerlerini hesaplayabiliriz.

$$\begin{bmatrix} P_2(z) \\ Q_2(z) \end{bmatrix} = \begin{bmatrix} 1 & z^{-1}K_1 \\ K_1 & z^{-1} \end{bmatrix} \begin{bmatrix} P_1(z) \\ Q_1(z) \end{bmatrix} = \begin{bmatrix} 1 + 0.12z^{-1} + 0.2z^{-2} \\ 0.2 + 0.12z^{-1} + z^{-2} \end{bmatrix}$$

$$\begin{bmatrix} P_3(z) \\ Q_3(z) \end{bmatrix} = \begin{bmatrix} 1 + 0.18z^{-1} + 0.236z^{-2} + 0.3z^{-3} \\ 0.3 + 0.236z^{-1} + 0.18z^{-2} + z^{-3} \end{bmatrix}$$

(ref: xq11fh23) esitligi kullanılarak  $H(z)$  elde edilir.

$$\begin{aligned} H(z) &= \frac{4(1)+5(0.1+z^{-1})+6(0.2+0.12z^{-1}+z^{-2})+1(0.3+0.236z^{-1}+0.18z^{-2}+z^{-3})}{1+0.18z^{-1}+0.236z^{-2}+0.3z^{-3}} \\ &= \frac{6+5.95z^{-1}+6.18z^{-2}+z^{-3}}{1+0.18z^{-1}+0.236z^{-2}+0.3z^{-3}} \end{aligned}$$

## Transfer Fonksiyonundan Lattice Yapinin Elde Edilmesi

( ref: xq11fh901) esitliginde  $P_{n-1}, Q_{n-1}$  yerine  $P_{n-2}, Q_{n-2}$  cinsinden degerlerini yazip elde edilen denklemde de  $P_{n-2}, Q_{n-2}$  yerine  $P_{n-3}, Q_{n-3}$  cinsinden degerleri yazilir ve islemler bu istikamette devam ettirilirse ve  $P_0(z) = 1, Q_0(z) = 1$  oldugu da hatirda tutulursa

$$\begin{bmatrix} P_n(z) \\ Q_n(z) \end{bmatrix} = \begin{bmatrix} 1 & z^{-1}K_{n-1} \\ K_{n-1} & z^{-1} \end{bmatrix} \cdots \begin{bmatrix} 1 & z^{-1}K_1 \\ K_1 & z^{-1} \end{bmatrix} \begin{bmatrix} 1 & z^{-1}K_0 \\ K_0 & z^{-1} \end{bmatrix} \begin{bmatrix} 1 \\ 1 \end{bmatrix}$$

xq11fh61

esitligi yazilabilir.  $n = 1$  icin (ref: xq11fh61) esitliginin ilk denkleminde  $z^{-1}$  yerine  $z$  koyalism ve esitligin her iki tarafini  $z^{-1}$  ile carpilrsa

$$z^{-1}P_1(z^{-1}) = z^{-1} + K_0 \quad \#$$

$$Q_1(z) = K_0 + z^{-1} \quad \#$$

elde edilir. Benzer islemi  $n = 2$  icin yapalim.

$$z^{-2}P_2(z^{-1}) = 1 + z^{-1}K_0 + z^{-1}K_1K_0 + z^2 \quad \#$$

$$Q_2(z^{-1}) = 1 + z^{-1}K_0 + z^{-1}K_1K_0 + z^2 \quad \#$$

gibi

$$z^{-1}P_1(z^{-1}) = Q_1 \quad z^{-2}P_2(z^{-1}) = Q_2$$

olmaktadır. Islemler  $n = 3, n = 4, \dots$  icin yapilrsa acikca gorulurki

$$z^{-n}P_n(z^{-1}) = Q_n$$

xq11fh42

olmaktadır. Bu baginti transfer fonksiyonu verilen bir filtrenin lattice katsayilarini hesaplamada buyuk kolaylik saglar.

(ref: xq11fh901)'ri asagidaki sekilde yazalim.

$$\begin{bmatrix} P_n(z) \\ Q_n(z) \end{bmatrix} = \begin{bmatrix} 1 & K_{n-1} \\ K_{n-1} & 1 \end{bmatrix} \begin{bmatrix} P_{n-1}(z) \\ z^{-1}Q_{n-1}(z) \end{bmatrix}$$

xq11fh63

Esitligin her iki tarafini

$$\begin{bmatrix} 1 & K_{n-1} \\ K_{n-1} & 1 \end{bmatrix}^{-1} = \frac{1}{1 - K_{n-1}^2} \begin{bmatrix} 1 & -K_{n-1} \\ -K_{n-1} & 1 \end{bmatrix}$$

terimi ile carpalim.

$$\begin{bmatrix} P_{n-1}(z) \\ z^{-1}Q_{n-1}(z) \end{bmatrix} = \frac{1}{1 - K_{n-1}^2} \begin{bmatrix} 1 & -K_{n-1} \\ -K_{n-1} & 1 \end{bmatrix} \begin{bmatrix} P_n(z) \\ Q_n(z) \end{bmatrix}$$

xq11fh66

elde edilir. Buradan

$$P_{n-1}(z) = \frac{1}{1 - K_{n-1}^2} [P_n(z) - K_{n-1}Q_n(z)]$$

xq11fg93

(ref: xq11fh66) bagintisini kullanarak  $Q_0, Q_1, Q_2, \dots$  ifadeleri hesaplanirsa acikca goruruz ki  $Q_1$  ifadesinde  $z^{-1}$ ,  $Q_2$  ifadesinde  $z^{-2}$ ,  $Q_3$  ifadesinde  $z^{-3}$ ..... terimlerinin katsayilari hep 1 dir.

$$\begin{aligned} Q_0 &= 1 \\ Q_1 &= K_{n-1}P_0 + z^{-1}Q_0 = \dots\dots\dots + z^{-1} \\ Q_2 &= K_{n-2}P_1 + z^{-1}Q_1 = \dots\dots\dots + z^{-2} \\ Q_3 &= K_{n-3}P_2 + z^{-1}Q_2 = \dots\dots\dots + z^{-3} \\ &\dots\dots\dots \\ Q_n &= K_0P_{n-1} + z^{-1}Q_{n-1} = \dots\dots\dots + z^{-n} \end{aligned}$$

#

Yine (ref: xq11fh66) kullanilarak gosterilebilir ki  $P_k$  ifadesinde  $z^{-k}$ 'nin katsayisi  $K_{n-k}$  dir

$$\begin{aligned} P_0 &= 1 \\ P_1 &= P_0 + K_{n-1}z^{-1}Q_0 = \dots\dots\dots + K_{n-1}z^{-1} \\ P_2 &= P_1 + K_{n-2}z^{-1}Q_1 = \dots\dots\dots + K_{n-2}z^{-2} \\ P_3 &= P_2 + K_{n-3}z^{-1}Q_2 = \dots\dots\dots + K_{n-3}z^{-3} \\ &\dots\dots\dots \\ P_n &= P_{n-1} + K_0z^{-1}Q_{n-1} = \dots\dots\dots + K_0z^{-n} \end{aligned}$$

#

O halde  $P_k$  polinomlari hesaplanabilirse  $K_k$  katsayilari da hesaplanabilir.

(ref: xq11fh21) esitligini acik olarak yazalim

$$H(z) = \sum_{n=0}^N \frac{v_1 Q_1(z) + v_1 Q_1(z) + v_1 Q_1(z) + \dots + v_n Q_n(z)}{P_n(z)}$$

xq11fg21

Buradan acikca goruldugu gibi  $H(z)$  nin payindaki  $z^{-n}$  nin katsayisi  $v_n$  dir. cunku  $Q_1, Q_2, \dots, Q_{n-1}$  polinomlarında  $z^{-n}$  yok sadece  $Q_n$  de vardır.

$$S_{n-1} = v_1 Q_1(z) + v_1 Q_1(z) + v_1 Q_1(z) + \dots + v_n Q_{n-1}(z)$$

#

sekinde bir polinom tanimlayalim. Bu polinomda  $z^{n-1}$  rin katsayisi yukaridaki bahsedilen sebeble  $v_{n-1}$  dir. Ayrica bu sekilde tanimlanan  $S_j$  polinomialari

$$S_{j-1} = S_j - v_j Q_j$$

xq11fg91

ozelligini sagladigi aciktir. O halde  $K_k$  ve  $v_k$  katsayilarini hesaplamak icin  $P_k, Q_k$  polinomlarini hesaplamak yeterlidir. Algoritmamayi asagidaki sekilde kurabiliriz.

[1]  $H(z) = \frac{B(z)}{A(z)}$

[2]  $P_n(z) = A(z) \quad S_n(z) = B(z)$

[3]  $j = n$

[4]  $K_{j-1} = P_j(z)$  polinomunda  $z^{-j}$  nin katsayisi

[5]  $v_j = S_j(z)$  polinomunda  $z^{-j}$  nin katsayisi

[6] (ref: xq11fh42) bagintisindan  $Q_j(z)$  yi hesapla.

[7] (ref: xq11fg93 ) bagintisindan  $P_{j-1}$  ri hesapla

[8] (ref: xq11fg91) bagintisindan  $S_{j-1}$  ri hesapla

[9]  $j=j-1$  yap [3] e don

$$H(z) = \frac{6 + 5.95z^{-1} + 6.18z^{-2} + z^{-3}}{1 + 0.18z^{-1} + 0.236z^{-2} + 0.3z^{-3}}$$

transfer fonksiyonunu lattice forma getiriniz.

$$P_3(z) = 1 + 0.18z^{-1} + 0.236z^{-2} + 0.3z^{-3} \quad \rightarrow K_2 = 0.3$$

$$S_3(z) = 6 + 5.95z^{-1} + 6.18z^{-2} + z^{-3} \quad \rightarrow v_3 = 1$$

$$Q_3(z) = z^{-3} P_3(z^{-1}) = 0.3 + 0.236z^{-1} + 0.18z^{-2} + z^{-3}$$

$$P_2 = \frac{1}{1 - K_2^2} P_3(z) - Q_3(z) K_2 = 1 + 0.12z^{-1} + 0.2z^{-2} \quad \rightarrow K_1 = 0.2$$

$$Q_2 = z^{-2} P_2(z^{-1}) = 0.2 + 0.12z^{-1} + z^{-2}$$

$$S_2 = S_3 - v_3 Q_3 = 5.7 + 5.714z^{-1} + 6z^{-2} \quad \rightarrow v_2 = 6$$

$$P_1 = \frac{1}{1 - K_2^1} P_2(z) - Q_2(z) K_1 = 1 + 0.1z^{-1} \rightarrow K_0 = 0.1$$

$$Q_1 = z^{-1} P_1(z^{-1}) = 0.1 + z^{-1}$$

$$S_1 = S_2 - v_2 Q_2 = 4.5 + 4.9940z^{-1} \rightarrow v_1 = 4.994$$

$$P_0 = 1 \quad Q_0 = 1 \quad S_0 = S_1 - v_1 Q_1 = 4.0006 \rightarrow v_0 = 4.0006$$

Kafes seklinde gerceklemedeki bilgisayar algoritmasi (ref: xq11fg02), (ref: xq11fh21) bagintilari yardimiyla kolayca yapilabilir. Kafes seklinde gerceklemenin avantajli hafiza elemaninin azligi ve matematiksel islem sayisinin azligi degil yuvarlatma hatalarinin minimum duzeyde olmasidir.

## Durum denklemleri formunda programlama

Transfer fonksiyonu forunda verilen denklemler once durumu denklemleri formuna getirilir. Bir ornek uzerinde aciklayalim.

$$H(z) = \frac{X(z)}{R(z)} = \frac{a}{1 + b_1 z^{-1} + b_2 z^{-2} + b_3 z^{-3}}$$

#

transfer fonksiyonunu ele alalim. Esitlik basit icler dislar carpimi ile

$$X(z)[1 + b_1 z^{-1} + b_2 z^{-2} + b_3 z^{-3}] = aR(z)$$

xq11fj01

haline gelir. (ref: xq11fj01) esitliginin ters Z donusumu alinarak

$$x(k) + b_1 x(k-1) + b_2 x(k-2) + b_3 x(k-3) = ar(k)$$

xq11fj03

elde edilir.

$$x_1(k) = x(k)$$

$$x_2(k) = x(k-1) = x_1(k-1)$$

$$x_3(k) = x(k-2) = x_2(k-1)$$

xq11fj05

tanimlarini yapalim. (ref: xq11fj03) esitligi bu tanimlar altinda

$$x_1(k) + b_1 x_1(k-1) + b_2 x_2(k-1) + b_3 x_3(k-1) = ar(k)$$

xq11fj07

seklinde veya

$$x_1(k) = -b_1 x_1(k-1) - b_2 x_2(k-1) - b_3 x_3(k-1) + ar(k)$$

xq11fj08

seklinde yazilabilir. (ref: xq11fj05) ve (ref: xq11fj08) matris formunda yazilirsas

$$\begin{bmatrix} x_1(k) \\ x_2(k) \\ x_3(k) \end{bmatrix} = \begin{bmatrix} -b_1 & -b_2 & -b_3 \\ 1 & 0 & 0 \\ 0 & 1 & 0 \end{bmatrix} \begin{bmatrix} x_1(k-1) \\ x_2(k-1) \\ x_3(k-1) \end{bmatrix} + \begin{bmatrix} a \\ 0 \\ 0 \end{bmatrix} r(k)$$

xq11fj09

haline gelir. (ref: xq11fj09) esitligi (ref: xq11fj01) ile verilen  $H(z)$  transfer fonksiyonuna iliskin durum denklemleri formu olarak adlandirilir.

$$\mathbf{X}(k) = \begin{bmatrix} x_1(k) \\ x_2(k) \\ x_3(k) \end{bmatrix}, \quad A = \begin{bmatrix} -b_1 & -b_2 & -b_3 \\ 1 & 0 & 0 \\ 0 & 1 & 0 \end{bmatrix}, \quad B = \begin{bmatrix} a \\ 0 \\ 0 \end{bmatrix} \quad \#$$

tanımları ile (ref: xq11fj09) eşitliği

$$\mathbf{X}(k) = A\mathbf{X}(k-1) + Br(k) \quad \#$$

halinde gösterilir. Burada konunun basitçe anlaşılması için basit bir transfer fonksiyonu ele alınmış ve durum denklemleri formuna getirilmiştir. Transfer fonksiyonu verilen bir sistem değişik şekillerde durum denklemleri formunda yazılabilir. Yani bir transfer fonksiyonunun birden fazla (hepsi birbirinden farklı) durum denklemleri formu vardır. Bu konu daha çok otomatik kontrol alanına girdiği için fazla incelenmeyecektir. Konu ile ilgili geniş bilgiler [ref: refdurumdenklemleri] bulunabilir.

Esasen yukarıdaki yöntem transfer fonksiyonunun payında  $z^{-k}$  li terimler bulunması halinde değişiklikler yapılması gerekir. C.P.(ref: durumdenkonrnek) de herhangi bir transfer fonksiyonunu durum denklemleri formuna çeviren genel bir yöntem verilmiştir.

Durum denklemleri şeklinde programlama diğer programlama tekniklerine göre zaman ve doğruluk açısından geride kalır. Ancak matris işlemlerinin kolaylıkla yapıldığı MATLAB gibi programlarla durum denklemleri ile sayısal filtreyi gerçeklemek daha kolay olduğu için simülasyon maksadıyla kullanılır. Durum denklemleri ile gerçekleştirme, sayısal filtrelerin otomatik kontrol sistemlerinin bir parçası olduğu durumda simülasyon için en kolay bir alet olarak karsımıza çıkar.

## Sonuçlar

Hangi gerçekleştirme şekli daha iyidir? Turu bir soru aklına takılacaktır. Her gerçekleştirme şeklinin avantajları dezavantajları olacaktır. Mesela direkt gerçekleştirme programlama açısından en kolay olanı buna karşılık durum denklemleri formu hariç en fazla hafıza elemanı gerektirir. Sürekli kesirlere ayırarak gerçekleştirme gerek hafıza elemanı gerek matematik işlemler açısından hepsinden üstündür. Fakat sürekli kesirlere ayırma esnasında yapılan hatalar filtre karakteristğini etkiler. Kafes yapısı gerçekleştirme yuvarlatma hatalarının minimum olması temel hedef olduğu durumlarda en iyi sonuç veren yöntemdir.

\*\*\*\*\*

$$(H(z)) = \frac{120z^2 + 180z + 37}{60z^2 + 80z + 6}$$

transfer fonksiyonu (ref: xq11fa1)deki formda sürekli kesirlere acin.

**Cozum:** Once pay paydaya bolunur.

Dolayisiyla

$$H(z) = \frac{120z^2 + 180z + 37}{60z^2 + 80z + 6} = 2 + \frac{20z + 25}{60z^2 + 80z + 6} = 2 + \frac{1}{\frac{60z^2 + 80z + 6}{20z + 25}}$$

olacaktır. ikinci adimda  $60z^2 + 80z + 6$  ifadesi  $20z + 25$  ye bolunur.

veya

$$H(z) = 2 + \frac{1}{\frac{60z^2 + 80z + 6}{20z + 25}} = 2 + \frac{1}{3z + \frac{5z + 6}{20z + 25}} = 2 + \frac{1}{3z + \frac{1}{\frac{20z + 25}{5z + 6}}}$$

olacagi aciktir. islemler devam ettirilerek Bu defa  $20z + 25$   $5z + 6$  ya bolunerek

$$H(z) = 2 + \frac{1}{3z + \frac{5z + 6}{20z + 25}} = 2 + \frac{1}{3z + \frac{1}{4 + \frac{1}{5z + 6}}} = 2 + \frac{1}{3z + \frac{1}{4 + \frac{1}{5z + \frac{1}{6}}}}$$

elde edilir.

$$H(z) = \frac{1440z^3 + 6468z^2 + 2195z + 105}{240z^3 + 1058z^2 + 281z + 8}$$

sekinde verilen bir transfer fonksiyonunu (ref: xq11fa1)deki formda surekli kesirlere acin.

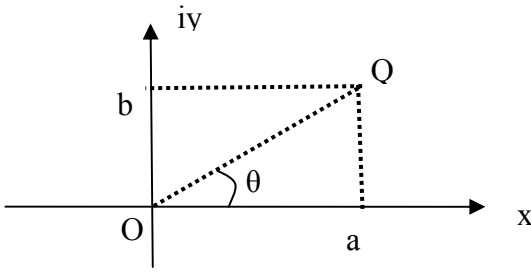
$$\text{Cevap : } H(z) = 6 + \frac{1}{2z + \frac{1}{3 + \frac{1}{5z + \frac{1}{4 + \frac{1}{2z + \frac{1}{8}}}}}}$$

$H(z)$ ..... transfer fonksiyonunu direk, standart, merdiven tipi programlama teknikleri ile gercekleyin.

$H(z)$  filtre transfer fonksiyonunu merdiven tipi programlama ile gercekleyin (ref: xq11p51 nolu problemdeki  $H(z)$  kesrini (ref: xq11fa71 )deki formda surekli kesirlere aciniz

(ref: xq11fa71) deki gibi surekli kesirlere acilan bir transfer fonksiyonu icin gerekli bilgisayar programini ve blok diyagramini yapin.

## Komplex Duzlem



$$z = a + ib, \quad |z| = r = \overline{OQ} = \sqrt{a^2 + b^2}, \quad a = r \cos \theta, \quad b = r \sin \theta$$

$$\sin \theta = \frac{b}{r}, \quad \cos \theta = \frac{a}{r}, \quad \tan \theta = \frac{b}{a}$$

**r: genlik, modulus, magnitude, amplitude, absolute value,**

**theta: aci, faz, angle, argument, phase**

## Komplex sayilarin kutupsal (polar) formu.

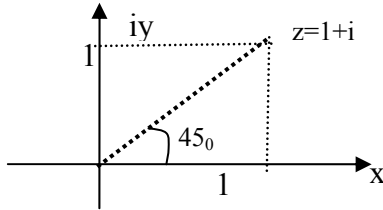
$$z = a + bi = r e^{j\theta} = r \angle \theta$$

$$r = \sqrt{a^2 + b^2} \quad \theta = \tan^{-1} \frac{b}{a}$$

**Ornek CM1:**  $z = 1 + i$  sayisini complex duzlemde gosterin ve kutupsal formda ifade edin.

**Cozum:**  $r = \sqrt{1^2 + 1^2} = \sqrt{2} = 1.41$

$$\theta = \tan^{-1} \frac{1}{1} = \tan^{-1} 1 = 45^\circ$$

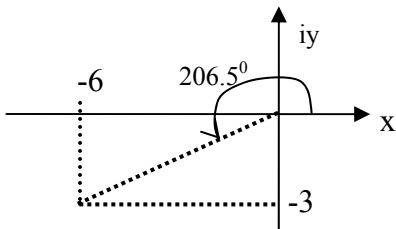


polar form is  $z = 1.41 e^{j45(\text{degree})}$   
 $z = 1.41 \angle 45^\circ$

**Ornek CM2:**  $z = -6 - 3i$  sayisini complex duzlemde gosterin ve kutupsal formda ifade edin.

**Solution:**  $r = \sqrt{6^2 + 3^2} = \sqrt{45} = 6.7$

$$\theta = \tan^{-1} \frac{-3}{-6} = 180^\circ + \tan^{-1} 0.5 = 180^\circ + 26.5^\circ = 206.5^\circ$$



polar form is  $z = 6.7 e^{j206.5(\text{degree})}$

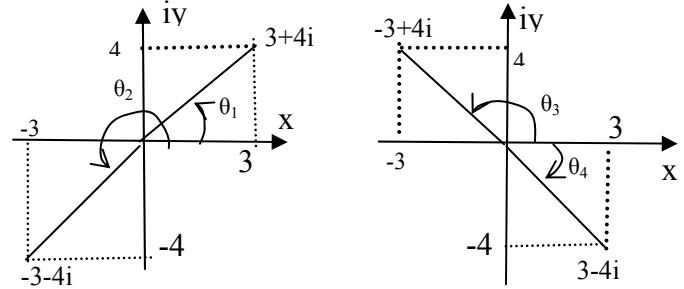
$$z = 6.7 \angle 206.5^\circ$$

**Note:**  $\frac{-3}{-6} = \frac{3}{6}$  but  $\tan^{-1} \frac{-3}{-6} \neq \tan^{-1} \frac{3}{6}$

**Ornek CM2:** Asagidaki sayilari complex duzlemde gosterin ve kutupsal formda ifade edin.

a)  $z_1 = 3 + 4i$  b)  $z_2 = -3 - 4i$  c)  $z_3 = -3 + 4i$  d)  $z_4 = 3 - 4i$

**Solution:**



a)  $z_1 = 3 + 4i$

$$\theta_1 = \tan^{-1} \frac{4}{3} = \tan^{-1} 1.33 = 53.13^\circ$$

$$r_1 = \sqrt{3^2 + 4^2} = \sqrt{25} = 5$$

Polar form  $z_1 = 5 e^{j53.1(\text{degree})} = 5 \angle 53.13^\circ$

b)  $z_2 = -3 - 4i$

$$\theta_2 = 180 + \tan^{-1} \frac{4}{3} = 180 + \tan^{-1} 1.33 = 180^\circ + 53.1^\circ = 233.1^\circ$$

$$r_2 = \sqrt{3^2 + 4^2} = \sqrt{25} = 5$$

Polar form  $z_2 = 5 e^{j233.1(\text{degree})} = 5 \angle 233.1^\circ$

c)  $z_3 = -3 + 4i$

$$\theta_3 = 180 - \tan^{-1} \frac{4}{3} = 180 - \tan^{-1} 1.33 = 180^\circ - 53.1^\circ = 126.9^\circ$$

$$r_3 = \sqrt{3^2 + 4^2} = \sqrt{25} = 5$$

Polar form  $z_3 = 5 e^{j126.9(\text{degree})} = 5 \angle 126.9^\circ$

d)  $z_4 = 3 - 4i$

$$\theta_4 = -\tan^{-1} \frac{4}{3} = -\tan^{-1} 1.33 = -53.13^\circ$$

$$r_4 = \sqrt{3^2 + 4^2} = \sqrt{25} = 5$$

Polar form  $z_4 = 5 e^{-j53.1(\text{degree})} = 5 \angle -53.1^\circ$

**Euler Formulu:**  $e^{ix} = \cos x + i \sin x$

$$e^{i60(\text{degree})} = \cos 60^\circ + i \sin 60^\circ = 0.5 + 0.866 i$$

$$e^{i170(\text{degree})} = \cos 170^\circ + i \sin 170^\circ = -0.98 + 0.17 i$$

$$e^{i220(\text{degree})} = \cos 220^\circ + i \sin 220^\circ = -0.76 - 0.64 i$$

$$e^{i335(\text{degree})} = \cos 335^\circ + i \sin 335^\circ = 0.9 - 0.42 i$$

$$e^{i2(\text{radian})} = \cos 2(\text{radian}) + i \sin 2(\text{radian}) = -0.41 + 0.9 i$$

$$e^{i2} = \cos 2 + i \sin 2 = -0.41 + 0.9 i$$

$$e^{i17} = \cos 17 + i \sin 17 = -0.27 - 0.96i$$

$$e^{-i2} = \cos (-2) + i \sin (-2) = -0.41 - 0.9i$$

$$e^{-i17} = \cos (-17) + i \sin (-17) = -0.27 + 0.96i$$

**Carpma, bolme, us alma.**

**Ornek CM5-**  $\frac{3+4i}{-4+6i}$  ifadesini hesaplayin.

**Method I.**

$$\frac{3+4i}{-4+6i} = \frac{(3+4i)(-4-6i)}{(-4+6i)(-4-6i)} = \frac{-12-18i-16i+24}{4^2+6^2}$$

$$= \frac{12-34i}{52} = 0.23 - 0.65i$$

**Method II:**  $|3+4i| = \sqrt{3^2+4^2} = 5$

$$\angle(3+4i) = \tan^{-1}(4/3) = 53.1^\circ$$

$$|-4+6i| = \sqrt{4^2+6^2} = 7.21$$

$$\angle(-4+6i) = \tan^{-1} \frac{6}{-4} = 180 - \tan^{-1} \frac{6}{4} = 180 - 56.3 = 123.7^\circ$$

**Kontrol:**  $7.21e^{i123.7(\text{degree})} = 7.21(\cos 123.7^\circ + i \sin 123.7^\circ)$

$$= 7.21(-0.55 + i 0.83)$$

$$= 7.21(-0.55 + i 0.83)$$

$$= -3.9 + 5.9i \approx -4 + 6i$$

$$\frac{3+4i}{-4+6i} = \frac{5 e^{i53.1^\circ}}{7.21 e^{i123.7^\circ}} = \frac{5}{7.21} e^{i(53.1-123.7)} = 0.69 e^{i(-70.6)}$$

$$= 0.69(\cos(-70.6) + i \sin(-70.6)) = 0.69(0.33 - i 0.94)$$

$$= 0.23 - 0.65i$$

**Ornek CM6-**

$$P = (-6+10i)(-3+i)(10-4i)(7+3i)$$

$$Q = (5+3i)(3-7i)(-5+2i)(-9+3i)$$

Calculate

$$A = \frac{P}{Q} = \frac{(-6+10i)(-3+i)(10-4i)(7+3i)}{(5+3i)(3-7i)(-5+2i)(-9+3i)}$$

**Cozum: Method 1:**

$$(-6+10i)(-3+i) = (-6)(-3) - 6i - 30i + 10i^2 = 18 - 10 - 6i - 30i$$

$$= 8 - 36i$$

$$(10-4i)(7+3i) = 82 + 2i$$

$$P = (8-36i)(82+2i) = 728 - 2936i$$

$$(5+3i)(3-7i) = 36 - 26i$$

$$(-5+2i)(-9+3i) = 39 - 33i$$

$$Q = (36-26i)(39-33i) = 546 - 2202i$$

$$A = \frac{(728 - 2936i)}{(546 - 2202i)} = \frac{(728 - 2936i)(546 + 2202i)}{(546 - 2202i)(546 + 2202i)}$$

$$\frac{6862560 + 0i}{5146920} = 1.3333 + 0i$$

**Method 2:**

Pay

$$-6+10i = \sqrt{6^2+10^2} e^{i \tan^{-1} \frac{10}{-6}} = 11.66 e^{i121i}$$

$$-3+i = 3.16 e^{i161i}$$

$$10-4i = 10.77 e^{-i21.8i}$$

$$7+3i = 7.61 e^{i23.2i}$$

$$\text{Amp} = 11.66 \times 3.16 \times 10.77 \times 7.61 = 3019.8$$

$$\text{Angle} = 121 + 161 + (-21.8) + 23.2 = 283.4$$

Payda

$$5+3i = 5.83 e^{i30.9i}$$

$$3-7i = 7.61 e^{-i66.8i}$$

$$-5+2i = 5.38 e^{i158i}$$

$$-9+3i = 9.48 e^{i161i}$$

$$\text{Amp} = 5.83 \times 7.61 \times 5.38 \times 9.48 = 2262.7$$

$$\text{Angle} = 30.9 + (-66.8) + (158) + 161 = 283.1$$

**Genlikler bolunur. Acilar cikartilir**

$$A = \frac{3019.8 e^{i283.4i}}{2262.7 e^{i283.1i}} = \frac{3019.8}{2262.7} e^{i(283.4-283.1)i}$$

$$= 1.33 e^{i0.3i} = 1.33 (\cos 0.3 + i \sin 0.3)$$

$$= 1.329 + 0.0069i$$

Method 1 ve method2 ayni sonucu verirler..

**Ornek CM2-**  $q=3-4i$  calculate a)  $q^2$  b)  $q^7$ .

**Solution:**  $3-4i = \sqrt{3^2+4^2} e^{i \tan^{-1} \frac{-4}{3}} = 5 e^{-i53.13}$

a)  $(3-4i)^2 = (5 e^{-i53.13})^2 = 5^2 e^{2(-i53.13)} = 25 e^{-i106.26}$

$$= 25(25 * (-0.279 - i 0.960)) =$$

$$= -6.999 - i 24.00025$$

b)  $(3-4i)^7 = (5 e^{-i53.3})^7 = 5^7 e^{7(-i53.3)} = 78125 e^{-i371.9}$

$$= 78125 [\cos(-371.9) + i \sin(-371.9)]$$

$$= 78125 [\cos(-371.9) + i \sin(-371.9)]$$

$$= 78125(0.97 - i 0.22)$$

$$= 76122.6 - i 17574.1$$

**Note:**

$$(3-4i)^2 = (3-4i)(3-4i) = -7-24i \text{ fakat biz}$$

$(3-4i)^2 = -6.999 - i 24.00025$  olarak bulduk. Aradaki fark yuvarlatma hatalarından dolayidir.

$$\tan^{-1}(-4/3) = -53.13 \text{ aldik gercegi}$$

$$\tan^{-1}(-4/3) = -53.13010235\dots$$